



Universidade de Brasília

Faculdade de Economia, Administração, Contabilidade e Gestão de Políticas Públicas

Programa de Pós-Graduação em Economia

Mestrado Profissional em Economia

JOSÉ ANTONIO BARBOSA DA SILVA

**GASTOS PÚBLICOS FEDERAIS COM EMENDAS PARLAMENTARES:  
UMA ANÁLISE À LUZ DA LEI DE BENFORD**

Brasília – DF

2022

SILVA, José Antonio Barbosa da

Gastos públicos federais com emendas parlamentares: uma análise à  
luz da Lei de Benford / José Antonio Barbosa da Silva - Brasília, 2022.

140 p.

Dissertação (Mestrado – Mestrado em Economia) – Universidade de  
Brasília, 2022.

Orientador: Professor Doutor Maurício Soares Bugarin.

Bibliografia.

1. Emendas parlamentares 2. Gastos Públícos 3. Lei de Benford. I.  
Bugarin, Maurício Soares, orient. II. Gastos públicos federais com  
emendas parlamentares: uma análise à luz da Lei de Benford

JOSÉ ANTONIO BARBOSA DA SILVA

**GASTOS PÚBLICOS FEDERAIS COM EMENDAS PARLAMENTARES:  
UMA ANÁLISE À LUZ DA LEI DE BENFORD**

Dissertação apresentada ao Departamento de Economia  
da Universidade de Brasília como requisito parcial à  
obtenção do título de Mestre em Economia, área de  
concentração Gestão Econômica de Finanças Públicas.

**Orientador:** Prof. Dr. Maurício Soares Bugarin.

Brasília – DF

2022

JOSÉ ANTONIO BARBOSA DA SILVA

**GASTOS PÚBLICOS FEDERAIS COM EMENDAS PARLAMENTARES:  
UMA ANÁLISE À LUZ DA LEI DE BENFORD**

Dissertação apresentada ao Departamento de Economia  
da Universidade de Brasília como requisito parcial à  
obtenção do título de Mestre em Economia, área de  
concentração Gestão Econômica de Finanças Públicas.

Aprovado em 15/08/2022.

**BANCA EXAMINADORA:**

---

Prof. Dr. Maurício Soares Bugarin - Orientador  
Departamento de Economia - UnB

---

Profa. Dra. Adriana Cuoco Portugal  
Tribunal de Contas do Distrito Federal - TCDF

---

Prof. Dr. Lúcio Remuzat Rennó Júnior  
Instituto de Ciência Política - UnB

## **AGRADECIMENTOS**

Agradeço a meus pais pelo incentivo e apoio sempre.

Agradeço à UnB e a todos os professores e funcionários ligados ao Departamento de Economia, por materializarem a educação pública e gratuita de excelência.

Agradeço ao meu orientador, Professor Dr. Maurício Bugarin, pelas valiosas contribuições para este trabalho e pela presteza em auxiliar seus orientados.

Agradeço aos amigos do mestrado, pela companhia ao longo desses dois anos.

Por fim, agradeço aos estimados amigos da Auditoria Interna da UnB, por direta ou indiretamente, contribuírem para a realização do mestrado.

*“O que importa não é o homem que critica ou aquele que aponta como o bravo tropeçou, ou quando o empreendedor poderia ter atingido maior êxito.*

*Importante, em verdade, é o homem que está na arena, com a face coberta de poeira, suor e sangue; que luta com bravura, erra e, seguidamente, tenta atingir o alvo.”*

*Theodore Roosevelt, in “O homem na arena”, 1910.*

## **RESUMO**

Este trabalho busca analisar se há ou não aderência à Lei de Benford dos gastos públicos federais com emendas parlamentares do ano de 2020. Os baixos níveis de execução de emendas individuais na gestão de Dilma Rousseff aliados ao enfraquecimento do governo levaram à aprovação da Emenda Constitucional (EC) 86/2015, que tornou as emendas individuais impositivas. Seguiram-se a EC 100/2019, que tornou as emendas de bancada impositivas, e a hipertrofia do “orçamento secreto”, expressão atribuída às emendas do relator por sua falta de transparência. Assim, essa tríade - emendas individuais, de bancada e do relator – catapultaram os gastos públicos com emendas parlamentares para mais de R\$ 16 bilhões no ano de 2020. A metodologia utilizada foi baseada em Bugarin e Cunha (2015), Cunha e Bugarin (2015), Cunha, Bugarin e Portugal (2016) e Nigrini (2012), que associa testes de hipóteses à Lei de Benford. Os dados foram analisados sob três perspectivas: o conjunto total de dados de 2020; por espectro ideológico, por meio de uma média móvel das emendas dos principais partidos de esquerda, de centro e de direita, consoante a classificação de Zucco & Power (2022) para a Legislatura 2019 – 2023; e por regiões. Os resultados mostram “não conformidade” para parte das simulações para o Teste do Primeiro Dígito, que fornece uma visão macro acerca da existência de anomalias. Já em relação ao Teste dos Dois Primeiros Dígitos, que é mais específico e mais preciso que o anterior, 100% das simulações apontam “não conformidade”, indicando uma possível manipulação de dados. Ademais, identificou-se a preponderância, entre as categorias que mais superaram os limites críticos, de valores múltiplos de 5 mil, o que pode sugerir majoração dos gastos para se atingir o valor máximo alocado pelas emendas.

Palavras-chave: Emendas parlamentares. Gastos públicos. Lei de Benford.

## **ABSTRACT**

This paper uses Benford's Law to analyze federal public spending with parliamentary amendments of the year 2020. The low levels of execution of individual amendments in the administration of Dilma Rousseff allied to the weakening of the government led to the approval of Constitutional Amendment (EC) 86/2015, which made individual amendments mandatory. This was followed by EC 100/2019, which made the bench amendments mandatory, and the hypertrophy of the “secret budget”, an expression attributed to the rapporteur's amendments for their lack of transparency. Thus, this triad - individual, bench and rapporteur amendments - catapulted public spending on parliamentary amendments to more than BRL 16 billion in 2020. The methodology used was based on Bugarin and Cunha (2015), Cunha and Bugarin ( 2015), Cunha, Bugarin and Portugal (2016) and Nigrini (2012), which associates hypothesis tests with Benford's Law. Data were analyzed from three perspectives: in general; by ideological spectrum, through a moving average of the amendments of the main left, center and right parties, according to the classification of Zucco & Power (2022) for the Legislature 2019 – 2023; and by regions. The results show “nonconformity” for part of the simulations for the First Digit Test, which provides a macro view of the existence of anomalies. In relation to the First Two Digits Test, which is more specific and more accurate than the previous one, 100% of the simulations indicate “non-compliance”, indicating a possible manipulation of data. Furthermore, a preponderance was identified among the categories that most exceeded the critical limits of multiples of 5 thousand, which may suggest an increase in expenses to reach the maximum amount allocated by the amendments.

Keywords: Benford's Law. Parliamentary Amendments. Public spending.

## LISTA DE FIGURAS

|  |    |
|--|----|
| Figura 1 Série histórica - valor pago com emendas parlamentares .....              | 17 |
| Figura 2 - Representação gráfica da Lei de Benford .....                           | 23 |
| Figura 3 - Posição ideológica Legislatura 2019-2023).....                          | 42 |
| Figura 4 - Número de emendas individuais por partido .....                         | 43 |
| Figura 5 - Valor total das emendas individuais por partido .....                   | 44 |
| Figura 6 - Número de emendas individuais por combinações de partidos.....          | 45 |
| Figura 7 - Valor total por combinações de partidos .....                           | 46 |
| Figura 8 - Número de emendas por região .....                                      | 47 |
| Figura 9 - Valor de emendas por regiões.....                                       | 48 |
| Figura 10 - Conjunto total dos dados de 2020 – Primeiro dígito .....               | 49 |
| Figura 11 - Conjunto total dos dados de 2020 – Dois primeiros dígitos .....        | 51 |
| Figura 12 - Conjunto total dos dados de 2020 – Teste da Soma .....                 | 55 |
| Figura 13 - Emendas individuais – Teste do Primeiro Dígito - Teste Z.....          | 56 |
| Figura 14 - Emendas individuais – Teste do Primeiro Dígito - QQ.....               | 57 |
| Figura 15 - Emendas individuais – Teste do Primeiro Dígito - MDA .....             | 57 |
| Figura 16 - Emendas individuais – Teste dos Dois Primeiros Dígitos - Teste Z ..... | 58 |
| Figura 17 - Emendas individuais – Teste dos Dois Primeiros Dígitos - QQ.....       | 58 |
| Figura 18 - Emendas individuais – Teste dos Dois Primeiros Dígitos - MDA .....     | 59 |
| Figura 19 - Emendas individuais por espectro ideológico – Teste da Soma.....       | 60 |
| Figura 20 - Emendas por região – Teste do Primeiro Dígito – Teste Z .....          | 61 |
| Figura 21 - Emendas por região – Teste do Primeiro Dígito – QQ.....                | 62 |
| Figura 22 - Emendas por região – Teste do Primeiro Dígito – MDA .....              | 62 |
| Figura 23 - Emendas por região – Teste dos Dois Primeiros Dígitos– Teste Z .....   | 63 |
| Figura 24 - Emendas por região – Teste dos Dois Primeiros Dígitos– QQ.....         | 64 |
| Figura 25 - Emendas por região – Teste dos Dois Primeiros Dígitos– MDA .....       | 64 |
| Figura 26 - Emendas por região – Teste da Soma.....                                | 64 |

## LISTA DE TABELAS

|  |    |
|--|----|
| Tabela 1 - Quantidade de municípios por faixa populacional com receitas próprias inferiores a 10% da receita total em pelo menos um dos anos (2015-2019) .....             | 15 |
| Tabela 2 - Evolução da programação dos recursos orçamentários e o total de recursos emendados na LOA, para investimentos federais em saneamento básico de 2015 a 2020..... | 17 |
| Tabela 3 - Frequência do primeiro e do segundo dígitos .....   | 22 |
| Tabela 4 - Cálculo das frequências relativas .....   | 23 |
| Tabela 5 - Valores críticos para vários valores da MDA .....   | 38 |
| Tabela 6 - Número de registros e o valor total de cada tipo de emenda.....   | 40 |
| Tabela 7 - Número de registros e o valor total das emendas por região.....   | 46 |
| Tabela 8 - Conjunto total dos dados de 2020 – Teste do Primeiro Dígito .....   | 50 |
| Tabela 9 - Conjunto total dos dados de 2020 – Teste dos Dois Primeiros Dígitos .....   | 51 |
| Tabela 10 - Conjunto total dos dados de 2020 - Teste da Soma .....   | 54 |
| Tabela 11 - Resultados - Resumo .....  | 66 |
| Tabela 12 - Resultados. Conjunto total dos dados de 2020 - Teste do Primeiro Dígito.....   | 67 |
| Tabela 13 - Resultados. Conjunto total dados de 2020 – Teste dos Dois Primeiros Dígitos ...  | 67 |
| Tabela 14 - Resultados. Emendas por espectro ideológico – Teste do Primeiro Dígito .....   | 68 |
| Tabela 15 - Resultados. Emendas espectro ideológico - Teste dos Dois Primeiros Dígitos ....  | 68 |
| Tabela 16 - Resultados. Emendas por região - Teste do Primeiro Dígito .....  | 69 |
| Tabela 17 - Resultados. Emendas por região - Teste dos Dois Primeiros Dígitos .....  | 69 |
| Tabela 18 - Resultados .....   | 74 |
| Tabela 19 - Resultados de trabalhos anteriores .....   | 75 |
| Tabela 18 - Conjunto total dos dados de 2020 - Aplicação do Teste do Primeiro Dígito.....  | 82 |
| Tabela 19 - Conjunto total dados de 2020 - Aplicação do Teste dos Dois Primeiros Dígitos .   | 82 |
| Tabela 20 - Conjunto total dos dados de 2020 - Teste da Soma .....   | 84 |
| Tabela 21 - Combinação 1 - Teste do Primeiro Dígito .....  | 86 |
| Tabela 22 – Combinação 1 - Teste dos Dois Primeiros Dígitos.....   | 86 |
| Tabela 23 - Combinação 1 - Teste da Soma.....  | 88 |
| Tabela 24 - Combinação 2 - Teste do Primeiro Dígito .....  | 90 |
| Tabela 25 - Combinação 2 - Teste dos Dois Primeiros Dígitos .....  | 90 |
| Tabela 26 - Combinação 2 - Teste da Soma.....  | 92 |
| Tabela 27 - Combinação 3 - Teste do Primeiro Dígito .....  | 93 |
| Tabela 28 - Combinação 3 - Teste dos Dois Primeiros Dígitos .....  | 94 |

|   |     |
|---|-----|
| Tabela 29 - Combinação 3 - Teste da Soma.....                     | 96  |
| Tabela 30 - Combinação 4 - Teste do Primeiro Dígito .....         | 97  |
| Tabela 31 - Combinação 4 - Teste dos Dois Primeiros Dígitos ..... | 98  |
| Tabela 32 - Combinação 4 - Teste da Soma.....                     | 100 |
| Tabela 33 - Combinação 5 - Teste do Primeiro Dígito .....         | 101 |
| Tabela 34 - Teste dos Dois Primeiros Dígitos.....                 | 102 |
| Tabela 35 - Combinação 5 - Teste da Soma.....                     | 104 |
| Tabela 36 - Combinação 6 - Teste do Primeiro Dígito .....         | 105 |
| Tabela 37 - Combinação 6 - Teste dos Dois Primeiros Dígitos ..... | 106 |
| Tabela 38 - Combinação 6 - Teste da Soma.....                     | 108 |
| Tabela 39 - Combinação 7 - Teste do Primeiro Dígito .....         | 109 |
| Tabela 40 - Combinação 7 - Teste dos Dois Primeiros Dígitos ..... | 109 |
| Tabela 41 - Combinação 7 - Teste da Soma.....                     | 112 |
| Tabela 42 - Combinação 8 - Teste do Primeiro Dígito .....         | 113 |
| Tabela 43 - Combinação 8 - Teste dos Dois Primeiros Dígitos ..... | 113 |
| Tabela 44 - Combinação 8 - Teste da Soma.....                     | 116 |
| Tabela 45 - Combinação 9 - Teste do Primeiro Dígito .....         | 117 |
| Tabela 46 - Combinação 9 - Teste dos Dois Primeiros Dígitos ..... | 117 |
| Tabela 47 - Combinação 9 - Teste da Soma.....                     | 120 |
| Tabela 48 - CO + N – Teste do Primeiro Dígito .....               | 121 |
| Tabela 49 - CO + N - Teste dos Dois Primeiros Dígitos.....        | 121 |
| Tabela 50 - CO + N - Teste da Soma .....                          | 124 |
| Tabela 51 - CO + S - Teste do Primeiro Dígito.....                | 125 |
| Tabela 52 - CO + S - Teste dos Dois Primeiros Dígitos .....       | 125 |
| Tabela 53 - CO + S - Teste da Soma .....                          | 127 |
| Tabela 54 - NA - Teste do Primeiro Dígito .....                   | 129 |
| Tabela 55 - NA - Teste dos Dois Primeiros Dígitos.....            | 129 |
| Tabela 56 - NA - Teste da Soma .....                              | 131 |
| Tabela 57 - NE - Teste do Primeiro Dígito .....                   | 133 |
| Tabela 58 – NE - Teste dos Dois Primeiros Dígitos.....            | 133 |
| Tabela 59 - NE - Teste da Soma.....                               | 135 |
| Tabela 60 - SE - Teste do Primeiro Dígito .....                   | 137 |
| Tabela 61 - SE- Teste dos Dois Primeiros Dígitos.....             | 137 |
| Tabela 62 – SE - Teste da Soma.....                               | 139 |

## SUMÁRIO

|          |   |           |
|----------|---|-----------|
| <b>1</b> | <b>INTRODUÇÃO .....</b>                                 | <b>14</b> |
| 1.1      | Problema de pesquisa .....                              | 17        |
| 1.2      | Justificativa.....                                      | 18        |
| 1.3      | Objetivos .....   | 19        |
| 1.3.1    | Objetivo geral .....                                    | 19        |
| 1.3.2    | Objetivos específicos.....                              | 20        |
| 1.4      | Estrutura do trabalho .....                             | 20        |
| <b>2</b> | <b>REFERENCIAL TEÓRICO .....</b>                        | <b>21</b> |
| 2.1      | A Lei de Benford .....                                  | 21        |
| 2.2      | Aplicações da Lei de Benford .....                      | 24        |
| 2.3      | As emendas ao projeto de lei do orçamento anual .....   | 27        |
| 2.4      | As Emendas Constitucionais 86/2015 e 100/2019 .....     | 29        |
| <b>3</b> | <b>METODOLOGIA .....</b>                                | <b>31</b> |
| 3.1      | Método.....   | 31        |
| 3.2      | Testes da Lei de Benford.....                           | 31        |
| 3.2.1    | Teste do Primeiro Dígito .....                          | 32        |
| 3.2.2    | Teste dos Dois Primeiros Dígitos .....                  | 33        |
| 3.2.3    | Teste da Soma.....                                      | 35        |
| 3.3      | Testes estatísticos associados .....                    | 36        |
| 3.3.1    | Teste Z .....   | 36        |
| 3.3.2    | Teste Qui-Quadrado .....                                | 37        |
| 3.3.3    | Média dos Desvios Absolutos .....                       | 37        |
| 3.4      | Fonte e composição dos dados .....                      | 38        |
| 3.4.1    | Conjunto total dos dados de 2020.....                   | 40        |
| 3.4.2    | Emendas individuais segundo o espectro ideológico ..... | 40        |
| 3.4.3    | Emendas por região .....                                | 46        |
| <b>4</b> | <b>RESULTADOS E ANÁLISES .....</b>                      | <b>49</b> |
| 4.1      | Conjunto total dos dados de 2020 .....                  | 49        |
| 4.1.1    | Teste do Primeiro Dígito .....                          | 49        |
| 4.1.2    | Teste dos Dois Primeiros Dígitos .....                  | 50        |
| 4.1.3    | Teste da Soma.....                                      | 54        |
| 4.2      | Emendas individuais por espectro ideológico .....       | 55        |
| 4.2.1    | Teste do Primeiro Dígito .....                          | 56        |

|          |  |            |
|----------|--|------------|
| 4.2.2    | Teste dos Dois Primeiros Dígitos .....   | 58         |
| 4.2.3    | Teste da Soma.....                       | 60         |
| 4.3      | Emendas por região .....                 | 61         |
| 4.3.1    | Teste do Primeiro Dígito .....           | 61         |
| 4.3.2    | Teste dos Dois Primeiros Dígitos .....   | 63         |
| 4.3.3    | Teste da Soma.....                       | 65         |
| 4.4      | Resultados em resumo.....                | 66         |
| 4.5      | Resultados de trabalhos anteriores ..... | 72         |
| <b>5</b> | <b>CONCLUSÃO .....</b>                   | <b>76</b>  |
|          | <b>REFERÊNCIAS .....</b>                 | <b>78</b>  |
|          | <b>APÊNDICE A .....</b>                  | <b>82</b>  |
|          | <b>APÊNDICE B.....</b>                   | <b>86</b>  |
|          | <b>APÊNDICE C .....</b>                  | <b>121</b> |

## 1 INTRODUÇÃO

O instrumento tradicional utilizado na gestão dos negócios do Estado é o orçamento público. Inicialmente, foi planejado como mecanismo de controle político dos parlamentares sobre o poder Executivo, e experimentou, ao longo do tempo, mudanças tanto conceituais quanto técnicas, conforme a evolução das funções do Estado (GIACOMONI, 2009).

Existem dois tipos de orçamento público: o autorizativo e o impositivo. A diferença é que no segundo tipo há a obrigatoriedade de execução da despesa tal como aprovada pelo Legislativo. No Brasil, o orçamento sempre foi autorizativo. Contudo, duas emendas constitucionais (EC) nos últimos anos (EC 86/2015 e EC 100/2019) conferiram caráter impositivo às emendas parlamentares individuais e às emendas de bancada, respectivamente. Em virtude disso, atualmente o orçamento público é híbrido.

Em suma, as emendas ao projeto de lei orçamentária anual são uma oportunidade para o parlamentar destinar um montante a ser gasto em despesas de sua escolha, atendidas algumas condições. Em tese, isso possibilita a melhoria do projeto encaminhado pelo poder Executivo.

Hartung, Mendes, e Giambiagi (2021) enfatizam que a expressiva alocação em emendas contribui para a pulverização do já baixo investimento público, importante para o aumento da competitividade e crescimento econômico. Ademais, no Brasil, as emendas possuem dimensão muito superior aos países da OCDE, ou seja, “não procede o argumento de que o que se faz aqui é comum em várias democracias” (MENDES, 2022).

Em relação à baixa capacidade de investimento, vale destacar que no período de 2015 a 2019, em 5 anos, mais de 80% dos municípios arrecadaram com tributos próprios menos que 10% de sua receita total. Em decorrência, dependem quase que exclusivamente das transferências dos fundos de participação para sua manutenção. A baixa arrecadação própria indica pouco dinamismo econômico, o que compromete geração de empregos, e a realização de investimentos.

A Tabela 1 mostra o número de municípios, a cada faixa populacional, com receitas próprias abaixo de 10% da receita total ao menos em um dos anos no período considerado.

**Tabela 1 - Quantidade de municípios por faixa populacional com receitas próprias inferiores a 10% da receita total em pelo menos um dos anos (2015-2019)**

| Faixa populacional | Total          | Em pelo menos 1 ano | Nos 5 anos       | Em 4 dos 5 anos | Em 3 dos 5 anos | Em 2 dos 5 anos | Em 1 dos 5 anos |
|--------------------|----------------|---------------------|------------------|-----------------|-----------------|-----------------|-----------------|
| Até 5 mil          | 1252           | 1245                | 1193             | 30              | 8               | 7               | 7               |
| 5 – 10 mil         | 1199           | 1175                | 1081             | 48              | 22              | 13              | 11              |
| 10 – 20 mil        | 1343           | 1303                | 1181             | 59              | 28              | 20              | 15              |
| 20 – 50 mil        | 1101           | 963                 | 808              | 50              | 36              | 30              | 39              |
| 50 – 100 mil       | 350            | 232                 | 172              | 12              | 11              | 15              | 22              |
| 100 – 500 mil      | 276            | 99                  | 62               | 12              | 11              | 5               | 9               |
| > 500 mil          | 47             | 4                   | 2                | 2               | 0               | 0               | 0               |
| Total              | 5568<br>(100%) | 5021<br>(90,17%)    | 4499<br>(80,80%) | 213<br>(3,83%)  | 116<br>(2,08)   | 90<br>(1,62%)   | 103<br>(1,85%)  |

Fonte: Grupo de Conjuntura da Dimac/IPEA. Carta de Conjuntura n. 48, 3º trimestre de 2020 *apud* Silva (2021, p. 36).

Assim, a ausência de alocação eficiente torna esse instrumento ainda mais valioso para o parlamentar, que o utiliza estrategicamente para obter vantagem eleitoral - daí as emendas serem apontadas como espécie de *pork barrel*<sup>1</sup>.

Ainda, destacam-se outras mudanças ocorridas no orçamento em 2019: a “hipertrofia” das emendas do relator, que recebeu o apelido de “orçamento secreto” pela falta de transparência em identificar o responsável pela indicação da emenda, e a aprovação da EC 105, que passou a permitir a transferência de recursos da União mediante emendas individuais diretamente a Estados, ao Distrito Federal e a Municípios sem necessidade de especificar o objeto de gasto, nem de formalização de convênios e similares (SILVA, 2021). Esses recursos são incorporados ao orçamento do ente recebedor e passam a ser fiscalizados pelo Tribunal de Contas local. Ou seja, o controle desempenhado pelo Tribunal de Contas da União sobre esses recursos foi perdido.

Nesse contexto, com todas essas mudanças, com consequente aumento do poder do parlamentar, que não necessitará barganhar com o Presidente da República na lógica do

---

<sup>1</sup> *Pork barrel* é um tipo de política com benefícios econômicos restritos a uma área geográfica específica e são arcados por toda a coletividade (SILVA, 2011).

presidencialismo de coalizão<sup>2</sup>, para a execução de suas emendas individuais, leva, em última instância, a um aumento do risco de corrupção. A razão é simples: o parlamentar direciona emendas para sua base eleitoral, onde mantém estreitas relações com políticos e empresários locais. Essa situação pode favorecer o surgimento de esquemas ilícitos, como por exemplo, fraudes em licitações. Esse risco já existia antes, mas com a obrigatoriedade das emendas, e consequente aumento do volume de recursos no total, é potencializado.

Gianturco (2021, p. 408) argumenta que as causas da corrupção estão relacionadas basicamente a duas categorias:

**Causas antropológicas:** Todas as teorias de acordo com as quais a corrupção é uma questão de costume, de hábito, de “jeitinho”, de genética, de cultura, de gênero, de nacionalidade, de religião, de ganância, de sede pelo poder, são subteorias da teoria antropológica, segundo a qual a causa é o homem e sua natureza.

**Causas sistêmicas:** Segundo esta visão, é uma questão de incentivos, de regras, de sistema, como: muito poder aos agentes políticos, poder arbitrário, estado forte, intervencionismo, incentivos perversos, sanções fracas, salários estatais baixos.

Para esse autor, possíveis soluções contra a corrupção na seara antropológica são apontadas como as seguintes: “confiar na boa-fé dos agentes políticos e econômicos; operação cultural-ético religiosa; substituir agentes, ou seja, colocar a pessoa certa, os puros, os honestos, os incorruptíveis”.

Já como soluções sistêmicas, aponta, entre outras: limitar o poder político, transparência, metas claras, meritocracia, auditoria e *accountability*, propagandear casos, aumentar salários de policiais e de vários burocratas.

Dessa forma, as recentes alterações no orçamento vão na contramão de medidas apontadas como soluções sistêmicas para o combate à corrupção, em especial, a de limitar o poder político. Afinal, a obrigatoriedade de execução da emenda aumenta o poder do parlamentar ao permitir que recursos expressivos do orçamento sejam destinados para suas bases por critérios exclusivamente políticos.

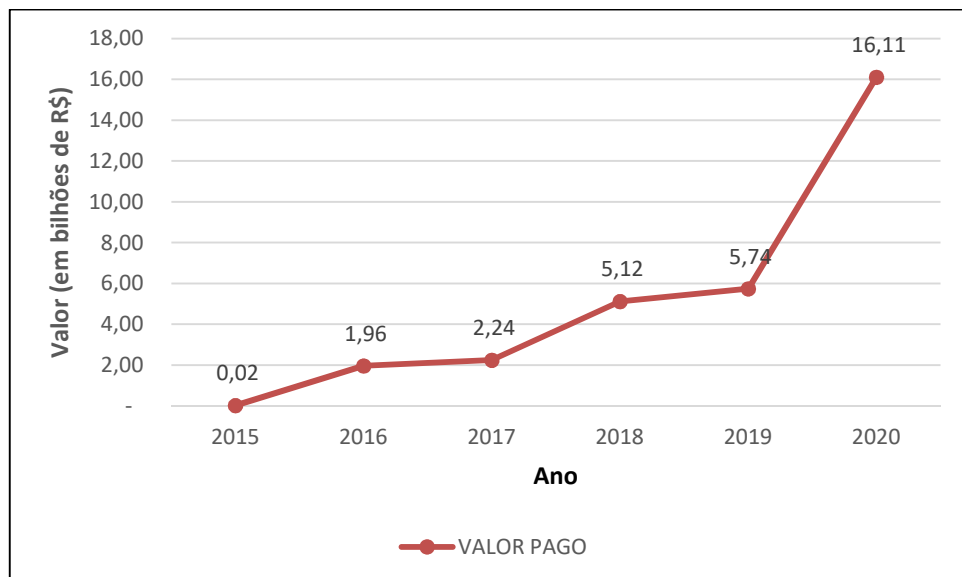
---

<sup>2</sup> Característica do Brasil como o “único país que, além de combinar a proporcionalidade, o multipartidarismo e “presidencialismo imperial”, organiza o Executivo com base em grandes coalizões” (ABRANCHES, 1988, p.21).

## 1.1 Problema de pesquisa

Em virtude da aprovação do orçamento impositivo e do aumento do montante das emendas de relator, os gastos públicos com emendas parlamentares experimentaram enorme evolução nos últimos anos, passando de R\$24 milhões, em 2015, para R\$16,11 bilhões, em 2020:

**Figura 1 Série histórica - valor pago com emendas parlamentares**



Fonte: Elaborado pelo autor a partir de dados do Portal da Transparência da CGU

Para demonstrar a magnitude dos gastos com emendas em 2020 (R\$16,11 bilhões), as despesas federais previstas com investimento em saneamento básico em todo o período de 2015 a 2020 foram de R\$10,18 bilhões, conforme é evidenciado na Tabela 2.

**Tabela 2 - Evolução da programação dos recursos orçamentários e o total de recursos emendados na LOA, para investimentos federais em saneamento básico de 2015 a 2020**

| Ano   | PLOA          | LOA            | Acréscimo pelo Congresso Nacional |
|-------|---------------|----------------|-----------------------------------|
| 2015  | 2.016.601.378 | 3.134.718.861  | 1.118.117.483                     |
| 2016  | 914.940.354   | 1.210.242.031  | 295.301.677                       |
| 2017  | 1.576.082.176 | 2.003.651.191  | 427.569.015                       |
| 2018  | 1.328.608.003 | 1.601.202.681  | 272.594.678                       |
| 2019  | 835.562.185   | 981.066.103    | 145.503.918                       |
| 2020  | 661.031.480   | 1.252.415.133  | 591.383.653                       |
| Total | 7.332.825.576 | 10.183.296.000 | 2.850.470.424                     |

Fonte: Tribunal de Contas da União (2020, p.25 )

Nessa conjuntura, diversas ferramentas de análise de dados vêm sendo propostas para auxiliar na fiscalização da aplicação dos recursos públicos. São baseadas na detecção de anomalias dentro de uma amostra/população de dados, as quais correspondem a um *red flag*, ou seja, um candidato natural a ser investigado em uma auditoria.

O presente trabalho utiliza uma dessas ferramentas para analisar os gastos com emendas parlamentares: a Lei de Benford associada a testes de hipóteses (BUGARIN E CUNHA, 2015; CUNHA E BUGARIN, 2015; CUNHA, BUGARIN E PORTUGAL, 2016; NIGRINI, 2012).

Os gastos analisados são os do ano de 2020, em virtude de ter sido nesse ano o ápice da série histórica dos gastos públicos com emendas parlamentares (R\$16,11 bilhões).

A Lei de Benford se aplica à análise de dados financeiros. Portanto, como se trata de dados de execução financeira, em princípio, deveria se aplicar. Todavia, trata-se de uma intervenção política e, mesmo que os dados financeiros sejam passíveis de satisfazer a Lei de Benford, esses dados são passíveis de manipulação, não só sob o aspecto da corrupção, mas também sob o aspecto de incentivo a se usar a totalidade do orçamento dirigido ao ente subnacional. Dessa forma, se as emendas já congregam a manipulação política em sua essência, os dados financeiros, em tese, refletirão essa característica, inclusive quanto à tendência de exaurir o montante alocado.

Diante do exposto, este trabalho busca responder à seguinte pergunta de pesquisa: Os gastos públicos federais com emendas parlamentares no ano de 2020 apresentam ou não aderência à Lei de Benford?

## 1.2 Justificativa

As emendas parlamentares são destinadas às mais diversas localidades e instituições. No âmbito do próprio orçamento federal, por exemplo, a UnB é beneficiária anualmente de diversas emendas parlamentares. Em 2020, por exemplo, a UnB recebeu 6 (seis) emendas individuais e uma de relator. A emenda de relator foi inicialmente prevista na LOA de 2020 no valor de R\$ 25 milhões e teve o cancelamento integral desse valor. Em relação às emendas individuais, o valor total foi de R\$ 2,9 milhões. Já em 2021, o valor previsto na LOA foi de R\$ 4,9 milhões oriundos de 13 (treze) emendas individuais e de R\$ 52,1 milhões para emendas de bancada, totalizando R\$ 57,0 milhões (BRASIL, 2021, pp. 18/21).

Assim, as emendas se prestam a contribuições relevantes para o orçamento dos entes subnacionais, à medida que permite a transferência de recursos em alguns casos, ou mesmo para os próprios órgãos e entidades federais.

No entanto, considerando a aprovação do orçamento impositivo, o montante expressivo destinado às emendas requer acompanhamento cuidadoso, tendo em vista episódios recorrentes de corrupção envolvendo recursos de emendas, a exemplo dos casos: anões do orçamento, em 1993; a máfia das sanguessugas, em 2006; o caso que levou o número dois do Ministério do Turismo à prisão por envolvimento em desvio de emendas, em 2011.

Ainda que não se possa generalizar a associação entre emendas e corrupção, visto serem recursos que na maioria dos casos não são envolvidos com esse tipo de prática, é prudente que sejam analisados por técnicas de seleção de amostras com base em identificação de anomalias.

Ademais, segundo a Transparência Internacional (2021), no ano de 2021, o Brasil obteve nota 38 e ocupou a posição 96 no Índice de Percepção da Corrupção (IPC), índice que avalia 180 países e territórios com notas entre 0 e 100. Quanto maior a nota, melhor é a situação do país em termos de percepção de ausência de corrupção e melhor é sua classificação. A média global foi de 43 pontos. A média dos países do G20 foi de 54 pontos e a dos países dos BRICS foi de 39 pontos. Demonstra, pois, que a posição relativa do Brasil no ranking de percepção da corrupção está próxima dos BRICS, mas muito distante dos países desenvolvidos.

Portanto, a utilização de técnicas que podem colaborar com o trabalho do controle a que esses recursos estão submetidos tem o potencial de contribuir para o aperfeiçoamento da gestão e da eficiência públicas.

### **1.3 Objetivos**

#### **1.3.1 Objetivo geral**

Analisar se há ou não aderência à Lei de Benford dos gastos públicos federais com emendas parlamentares do ano de 2020.

### **1.3.2 Objetivos específicos**

- Analisar a evidência de não conformidade do conjunto total dos dados de 2020;
- Analisar se a evidência de não conformidade está associada ao espectro ideológico dos principais partidos com representação no Congresso Nacional;
- Analisar a evidência de não conformidade por região geográfica.

### **1.4 Estrutura do trabalho**

Esta dissertação se divide em mais quatro seções, além desta introdução.

A seção 2 traz o referencial teórico, com as origens da Lei de Benford, sua definição e uma exposição de aplicações em trabalhos recentes (período de 2012 a 2021). Apresenta também um tópico com os tipos de emendas parlamentares passíveis de serem apresentadas ao projeto de lei de orçamento anual as quais compõem o objeto de análise do presente trabalho, bem como um breve tópico abordando as alterações trazidas pelas Emendas Constitucionais 86/2015 e 100/2019, que introduziram o orçamento impositivo no Brasil.

A seção 3 trata da metodologia. São apresentados os conceitos necessários para a compreensão do método relacionado à Lei de Benford baseado em Bugarin e Cunha (2015), Cunha e Bugarin (2015), Bugarin, Cunha e Portugal (2016) e Nigrini (2012). Ainda, são apresentados os dados e as agregações utilizadas nesta pesquisa.

A seção 4 apresenta os resultados e respectivas análises da aplicação da Lei de Benford aos gastos federais com emendas parlamentares no ano de 2020.

Por fim, a seção 5 é a conclusão do trabalho.

## 2 REFERENCIAL TEÓRICO

Esta seção apresenta uma revisão da literatura sobre a Lei de Benford e sua aplicação em trabalhos anteriores. Contém, também, tópico acerca dos tipos de emendas parlamentares passíveis de serem apresentadas ao projeto de lei de orçamento anual. Apresenta, ainda, tópico sobre as Emendas Constitucionais 86/2015 e 100/2019, em que se abordam as alterações realizadas no art. 166 da CF/1988.

### 2.1 A Lei de Benford

O astrônomo e matemático Simon Newcomb, em 1881, e o físico Frank Benford, em 1938, publicaram trabalhos independentes sobre o mesmo fenômeno empírico: a Lei dos Números Anômalos ou Lei de Benford ou, ainda, Lei do Primeiro Dígito (LOLBERT, 2008 apud PRADO et. al, 2017).

Newcomb, que trabalhou no *United States Naval Observatory* em Washington D.C., notou ao manusear os livros com as tábuas de logaritmos usadas para realizar cálculos que as páginas dos logaritmos cujo primeiro dígito eram números menores (1 ou 2) apresentavam maior deterioração do que as páginas dos logaritmos maiores (8 e 9). A partir disso, Newcomb publicou um artigo sobre a probabilidade de ocorrência dos primeiros dígitos de um número natural, o qual não chamou a atenção da comunidade científica à época (CAVALCANTI, 2014).

A Lei de Benford evidencia que a ocorrência do primeiro dígito de um conjunto de dados não segue a proporção de 1/9 e sim uma escala logarítmica (NEWCOMB, 1881 apud PRADO et. al, 2017).

No artigo intitulado “Note on the Frequency of Use of the Different Digits in Natural Numbers”, Newcomb afirma que a probabilidade de ocorrência do primeiro e segundo dígitos significantes de um número natural segue um padrão.

A Tabela 3 apresenta a frequência do primeiro e do segundo dígitos proposta por Newcomb:

**Tabela 3 - Frequência do primeiro e do segundo dígitos**

| Dígito | Primeiro dígito | Segundo dígito |
|--------|-----------------|----------------|
| 0      | -               | 0,119679269    |
| 1      | 0,301029996     | 0,113890103    |
| 2      | 0,176091259     | 0,108821499    |
| 3      | 0,124938737     | 0,10432956     |
| 4      | 0,096910013     | 0,100308202    |
| 5      | 0,079181246     | 0,096677236    |
| 6      | 0,06694679      | 0,093374736    |
| 7      | 0,057991947     | 0,090351989    |
| 8      | 0,051152522     | 0,087570054    |
| 9      | 0,045757491     | 0,084997352    |

Fonte: Newcomb (1881, p. 40)

Benford (1938, p. 553), por sua vez, mais de 50 anos depois notou a existência do mesmo fenômeno. Após 20.229 observações de diferentes tipos de fontes, concluiu que essa distribuição se aplicava a diversos conjuntos de dados, como por exemplo:

- Áreas das superfícies de rios;
- Tamanhos de populações dos Estados Unidos;
- Constantes físicas;
- Pesos moleculares;
- Números em um livro de matemática;
- Números contidos em uma edição de Reader's Digest;
- Taxas de mortalidade.

Esse fenômeno ficou mais conhecido como Lei de Benford, embora seja também chamado de Lei de Newcomb-Benford, Lei dos Números Anômalos ou Lei do Primeiro Dígito.

O modelo teórico foi demonstrado por Benford, em que a probabilidade de ocorrência do dígito  $d$  como primeiro dígito, é na forma do logaritmo (KIRA; TEIXEIRA, 2009):

$$P(d) = \log (1+1/d), \text{ em que } d=1,2,\dots,9.$$

A Tabela 4 mostra os percentuais de ocorrência de cada dígito de 1 a 9 como primeiro dígito, segundo a equação proposta por Berford.

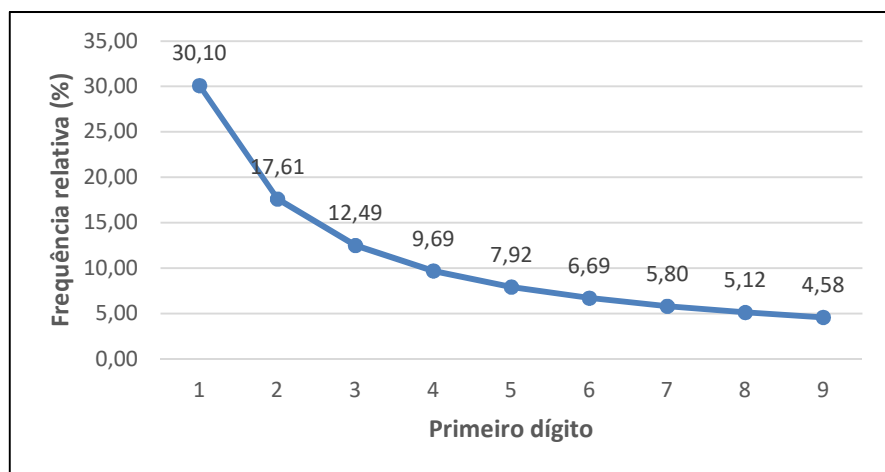
**Tabela 4 - Cálculo das frequências relativas**

| Dígito ( $d$ ) | $\log (1+1/d)$ | %     |
|----------------|----------------|-------|
| 1              | 0,301          | 30,10 |
| 2              | 0,176          | 17,61 |
| 3              | 0,125          | 12,49 |
| 4              | 0,097          | 9,69  |
| 5              | 0,079          | 7,92  |
| 6              | 0,067          | 6,69  |
| 7              | 0,058          | 5,80  |
| 8              | 0,051          | 5,12  |
| 9              | 0,046          | 4,58  |

Fonte: Elaborado pelo autor a partir do logaritmo proposto por Benford

A Figura 2 ilustra a Lei de Benford com os dados da Tabela 2:

**Figura 2 - Representação gráfica da Lei de Benford**



Fonte: Elaborado pelo autor a partir dos dados da Tabela 2.

A Lei de Benford também prever a frequência de ocorrência dos dois primeiros dígitos, conforme será exposto na seção metodologia.

Ressalta-se que a Lei de Benford se aplica a uma distribuição para os primeiros dígitos de dados obtidos de forma orgânica, sem aleatoriedade. Portanto, não se aplica a dados obtidos com manipulação.

Rocha (2005, apud FORSTER, 2006) assevera que a distribuição de Benford não se aplica a números gerados aleatoriamente, como a loteria esportiva. Também não se aplica a números inventados por seres humanos. Todavia, isso não é uma desvantagem, visto que serve como uma maneira de identificar se os dados foram fraudados por seres humanos (FORSTER, 2006).

## **2.2 Aplicações da Lei de Benford**

Nigrini (1992 apud CAVALCANTI, 2014) foi um dos pioneiros na aplicação da Lei de Benford, demonstrando que o modelo apontava, com bastante precisão, manipulações ou fraudes envolvendo evasão fiscal.

Nos últimos anos, a Lei de Benford tem sido aplicada em diversos campos, como por exemplo, Ciência Política, Comunicação Social, Contabilidade, Economia e Saúde (RABELO, 2016; SILVA, 2015; GOLBECK 2015; PRADO et al. 2017; BUGARIN E CUNHA, 2014; VIANA, 2021; BUGARIN, 2020).

A seguir, discorre-se sobre algumas pesquisas recentes (período entre 2012 e 2021).

Costa, Santos e Travassos (2012) investigaram se existiam desvios na distribuição relativa a gastos públicos estaduais em relação à Lei de Benford. A pesquisa analisou o primeiro e o segundo dígito dos dados, os quais consistiram em 134.281 notas de empenhos emitidas por 20 unidades gestoras de dois estados. O resultado indicou a existência de desvios em relação à ocorrência dos dígitos 7 e 8 (excesso de ocorrências) e 9 e 6 (escassez de ocorrências). Esse padrão sugere um comportamento de não realização de licitações – o que os autores chamaram de fuga à realização de processos licitatórios. Quanto ao segundo dígito, verificou-se um excesso de ocorrências para os números 0 e 5, indicando, segundo os autores, a utilização de arredondamentos no empenho.

Cunha (2013) utilizou a Lei de Benford como ferramenta para auxiliar na seleção de amostra para auditoria de obras públicas. Demonstrou-se a aplicabilidade da Lei de Benford às planilhas orçamentárias de modo geral. Ressalta-se que a autora propôs um modelo de análise com base no modelo contabilométrico proposto por Nigrini (2012, apud CUNHA,

2013, pp. 120/121) com uma mudança: o modelo de Nigrini utiliza a Lei de Benford associada a uma série de testes de hipóteses (Teste Z, Teste Qui-Quadrado, Kolmogorov-Smirnoff (K-S) e Média dos Desvios Absolutos - MDA). Como o teste Estatístico K-S não acrescentou nada às análises, a proposta é que ele seja dispensado. Assim, os testes propostos são os seguintes: Teste Z, Teste Qui-Quadrado e Teste MDA.

Cunha e Bugarin (2014) aplicaram a Lei de Benford e testes associados à obra de reforma do estádio do Maracanã. A obra em comento foi escolhida por ter sido objeto de auditoria pelo TCU, o que permite a comparação dos resultados dos testes com aqueles da auditoria realizada pelo tribunal de contas. Os resultados da pesquisa mostram que os dígitos selecionados pelos testes correspondem a mais de 70% do sobrepreço total encontrado pelo TCU.

Vieira (2014) realizou estudo com o objetivo de verificar a aplicabilidade da Lei de Benford na seleção de amostra de contribuintes para inclusão em auditoria fiscal. O resultado indicou a aplicabilidade da Lei de Benford, não obstante a análise de dados do Simples Nacional não ter apresentado divergências. Em relação aos dados declarados pelos contribuintes e os obtidos junto a terceiros foi identificado um padrão de desvios indicando possível subavaliação na declaração.

A Lei de Benford também tem sido aplicada à análise de redes sociais. Nesse sentido, destaca-se o trabalho de Golbeck (2015). A autora aplicou o algoritmo a dados oriundos das 5 maiores redes sociais nos Estados Unidos (Facebook, Twitter, Google Plus, Pinterest e LiveJournal). Concluiu que a distribuição dos primeiros dígitos do número de amigos e de seguidores dessas redes sociais seguem o padrão da Lei de Benford. Nos dados do twitter, 89,7% dos dados dos usuários apresentaram correlação maior que 0,9. Da amostra de 21.135 usuários, somente 170, ou seja, menos de 1% apresentaram correlação menor que 0,5. Na investigação dessas contas com baixa correlação, quase todas as contas (168) pareciam engajadas em atividades suspeitas. Em alguns casos, eram *spam*, mas a maior parte se tratava de *bots*<sup>3</sup> russos que realizavam posts aleatórios sobre literatura ou citações.

Cunha, Bugarin e Portugal (2016) apresentam um roteiro didático para a aplicação da Lei de Benford associada a testes de hipóteses para seleção de amostra de auditoria em orçamentos de obras públicas. A metodologia apresentada foi aplicada à planilha

<sup>3</sup> São programas utilizados para simular o comportamento humano em sites e redes sociais. Por vezes, são utilizados para disseminar *fake news*.

orçamentária da obra de construção da Arena da Amazônia para a obtenção de amostra de auditoria. Anteriormente, a obra em apreço havia sido objeto de auditoria pelo TCU o que possibilitou a comparação dos resultados da aplicação da metodologia proposta pelos autores com o resultado da auditoria daquela Corte de Contas. Verificou-se forte convergência entre os resultados – obtidos pela aplicação do algoritmo proposto pelos autores e o do TCU. O sobrepreço verificado foi de R\$77.760.930,67 (data-base fev/2010), que corresponde a 88,59% do sobrepreço total identificado pelo TCU (R\$87.781.021,88).

A Lei de Benford também foi aplicada à auditoria da reforma do Aeroporto Internacional de Minas Gerais. Bugarin e Cunha (2017) aplicaram o algoritmo de seleção de amostra de auditoria baseado na Lei de Benford. Tal como o caso anterior, a obra fora escolhida em razão da possibilidade de comparação com os resultados da auditoria realizada pelo TCU. Entre as conclusões, observou-se que a aplicação da metodologia detectou 86,66% (R\$ 51.690.164,28 – data-base set/2010) das reduções nos preços da obra realizada pela Infraero posteriormente à fiscalização do TCU.

Em pesquisa realizada por Cella e Rech (2017), foi avaliada a aplicabilidade da Lei de Benford para a detecção de fraude ocorrida na Petrobras. Os autores constataram que os resultados da distribuição da Petrobras apresentaram discrepâncias em relação ao proposto pela Lei de Benford. Contudo, os dados de 40 empresas listadas na BM&FBovespa apresentaram discrepâncias maiores à verificada na Petrobras. Assim, a conclusão da pesquisa foi de que a aplicação da Lei de Benford somente ao primeiro dígito não foi eficiente para a detecção de fraude.

Ramos, Ellery e Nascimento (2021) utilizaram a Lei de Benford para analisar os dados fornecidos pelo TSE das 4 últimas eleições no Brasil. Os achados da pesquisa indicam que as distribuições dos anos de 2016 e 2020 seguem a distribuição, ao passo que as dos anos de 2014 e 2018 apresentaram inconformidades. Os autores ressaltam que a inconformidade não significa adulteração de urna ou indicativo de ataque externo. Contudo, pode indicar a existência de evento no sentido de mudar o curso da eleição, a exemplo da compra de votos ou do uso de fake news para a alteração da escolha por parte do eleitorado, com impacto nos resultados.

Crisan et. al (2021) analisaram a compressão de imagens JPEG do ponto de vista da Lei de Benford com objetivo de detectar imagens digitais fraudulentas. O algoritmo utilizado atingiu uma precisão de 89% para 500 imagens aleatórias. Além disso, o algoritmo teve uma precisão de 100% ao detectar as imagens compactadas com fatores de qualidade 80 e 90. Em

decorrência, a Lei de Benford também é importante instrumento na identificação de alterações fraudulentas em imagens digitais.

Café, Bugarin e Portugal (2021) analisaram, por meio da Lei de Benford, planilha de custos relativa à implantação do Expresso Sul, que já havia sido analisada pelo TCDF e constatado superfaturamento. Os resultados indicaram 73,40% do superfaturamento apontado pelo TCDF.

### **2.3 As emendas ao projeto de lei do orçamento anual**

Neste tópico, apresentam-se os tipos de emendas ao projeto de lei do orçamento anual quanto ao autor.

Consoante previsão do art. 166 da CF/1988, cabe a uma Comissão mista permanente de Senadores e Deputados a apreciação do projeto de lei de orçamento anual:

Art. 166. Os projetos de lei relativos ao plano plurianual, às diretrizes orçamentárias, ao orçamento anual e aos créditos adicionais serão apreciados pelas duas Casas do Congresso Nacional, na forma do regimento comum.

**§ 1º Caberá a uma Comissão mista permanente de Senadores e Deputados:**

I - examinar e emitir parecer sobre os projetos referidos neste artigo e sobre as contas apresentadas anualmente pelo Presidente da República;

II - examinar e emitir parecer sobre os planos e programas nacionais, regionais e setoriais previstos nesta Constituição e exercer o acompanhamento e a fiscalização orçamentária, sem prejuízo da atuação das demais comissões do Congresso Nacional e de suas Casas, criadas de acordo com o art. 58.

**§ 2º As emendas serão apresentadas na Comissão mista, que sobre elas emitirá parecer, e apreciadas, na forma regimental, pelo Plenário das duas Casas do Congresso Nacional.**

**§ 3º As emendas** ao projeto de lei do orçamento anual ou aos projetos que o modifiquem somente podem ser aprovadas caso:

I - sejam compatíveis com o plano plurianual e com a lei de diretrizes orçamentárias;  
II - indiquem os recursos necessários, admitidos apenas os provenientes de anulação de despesa, excluídas as que incidam sobre:

a) dotações para pessoal e seus encargos;

b) serviço da dívida;

c) transferências tributárias constitucionais para Estados, Municípios e Distrito Federal; ou

III - sejam relacionadas:

- a) com a correção de erros ou omissões; ou
- b) com os dispositivos do texto do projeto de lei. (Grifo nosso)

Esse regramento é um dos mais importantes para as atividades do Congresso Nacional: a atinente à apreciação das leis orçamentárias.

O exame inicial das leis orçamentárias é competência de uma Comissão mista permanente de Deputados e Senadores, cabendo-lhe, ainda, emitir parecer sobre as emendas (§ 2º). A apreciação final ocorre pelo Plenário das duas Casas do Congresso Nacional, na forma regimental.

A Resolução nº 1/2006 – CN<sup>4</sup> é a norma vigente que regulamenta as atividades da Comissão mista. Essa resolução prevê 4 (quatro) tipos de emendas passíveis de serem apresentadas ao projeto de lei orçamentária anual:

1. De bancada;
2. De comissões;
3. Individuais;
4. Do Relator.

As emendas individuais são propostas por cada Deputado ou Senador. As de bancada são propostas de modo coletivo pelas bancadas de cada Estado e do DF. As de comissão, por sua vez, são de competências das comissões permanentes do Senado Federal e da Câmara dos Deputados. Ainda, são emendas de comissão as apresentadas pelas mesas diretoras do Senado Federal e da Câmara dos Deputados. Em relação às emendas de relator, são apresentadas pelo parlamentar designado como relator do orçamento daquele exercício. Há, ainda, a designação de relatores parciais, os quais ficam responsáveis por áreas temáticas específicas (BRASIL, 2006).

---

<sup>4</sup> Resolução nº 1, de 22 de dezembro de 2006 (alterada pelas Resoluções nº 3, de 2008-CN; nº 3, de 2013-CN e nº 3, de 2015-CN). Dispõe sobre a Comissão Mista Permanente a que se refere o § 1º do art. 166 da Constituição, bem como a tramitação das matérias a que se refere o mesmo artigo.

## 2.4 As Emendas Constitucionais 86/2015 e 100/2019

Greggianin e Silva (2015) atribuem a aprovação da EC 86/2015, com ampla margem de votos<sup>5</sup>, ao descontentamento parlamentar com os baixos níveis de execução de emendas individuais.

A EC 86/2015 alterou os artigos 165, 166 e 198 da CF/1988. Por sua relevância para o presente trabalho, centram-se nas alterações empreendidas ao art. 166 da CF/1988:

Art. 166. ....

§ 9º As emendas individuais ao projeto de lei orçamentária serão aprovadas no limite de 1,2% (um inteiro e dois décimos por cento) da receita corrente líquida prevista no projeto encaminhado pelo Poder Executivo, sendo que a metade deste percentual será destinada a ações e serviços públicos de saúde.

§ 10. A execução do montante destinado a ações e serviços públicos de saúde previsto no § 9º, inclusive custeio, será computada para fins do cumprimento do inciso I do § 2º do art. 198, vedada a destinação para pagamento de pessoal ou encargos sociais.

§ 11. É obrigatória a execução orçamentária e financeira das programações a que se refere o § 9º deste artigo, em montante correspondente a 1,2% (um inteiro e dois décimos por cento) da receita corrente líquida realizada no exercício anterior, conforme os critérios para a execução equitativa da programação definidos na lei complementar prevista no § 9º do art. 165.

§ 12. As programações orçamentárias previstas no § 9º deste artigo não serão de execução obrigatória nos casos dos impedimentos de ordem técnica.

(...)

Verifica-se que foi estabelecido como limite de aprovação das emendas individuais o correspondente a 1,2% da receita corrente líquida prevista no projeto de lei orçamentária

<sup>5</sup> A votação em segundo turno ocorreu em 10/02/2015 e teve a seguinte composição: a favor da aprovação da PEC: 452; contrários à aprovação da PEC: 18; abstenção: 01, total: 471. Portanto, mais de 95% dos votantes foram favoráveis. O art. 60 da CF/1988 prevê os requisitos para Constituição ser emendada. Consoante o artigo segundo desse artigo, a PEC é discutida e votada em dois turnos em cada Casa do Congresso Nacional e será aprovada se obtiver, na Câmara e no Senado, três quintos dos votos dos deputados (308) e dos senadores (49). Somando-se os mínimos de cada Casa, obtém-se o número de votos mínimos: 317.

encaminhado pelo poder Executivo. Contudo, esse limite é o de aprovação das emendas. Em relação ao limite de execução orçamentária e financeira, ou seja, aquele que incide a obrigatoriedade de pagamento, o valor é calculado em relação à receita corrente líquida realizada no exercício anterior. Metade do valor previsto para aprovação das emendas, será destinado a ações e serviços públicos de saúde.

Ademais, a obrigatoriedade das programações previstas será afastada, naturalmente, em caso de impedimentos de ordem técnica. Quando se tratar de transferência da União oriunda de emenda individual de execução obrigatória para Estados, Distrito Federal e Municípios, não será exigida a adimplência do ente recebedor, tampouco integrará os limites de despesa com pessoal estabelecidos pela LRF.

A EC 100/2019 alterou os arts. 165 e 166 da CF/1988. Entre as alterações promovidas no art. 166, destaca-se:

Art. 166. ....

§ 12. A garantia de execução de que trata o § 11 deste artigo aplica-se também às programações incluídas por **todas as emendas de iniciativa de bancada de parlamentares de Estado ou do Distrito Federal, no montante de até 1% (um por cento) da receita corrente líquida realizada no exercício anterior.**

Constata-se que a garantia de execução das emendas individuais foi expandida para as emendas de bancada de Estado ou do DF. Nesse caso, o montante é de até 1% da RCL realizada no exercício anterior.

As mesmas previsões aplicadas às emendas individuais, como o afastamento da obrigatoriedade das programações previstas em caso de impedimentos de ordem técnica e de não observância aos limites de despesa com pessoal quando se tratar de transferência oriunda de emenda de bancada de execução obrigatória para Estados, Distrito Federal e Municípios. Além disso, quando as emendas foram destinadas a investimentos com duração de mais de um exercício financeiro, a bancada respectiva deverá, a cada exercício, incluir nova emenda até a conclusão do investimento.

### **3        METODOLOGIA**

Nesta seção são abordados o método baseado na Lei de Benford, a fonte e a composição dos dados utilizados no presente trabalho.

#### **3.1    Método**

A aplicação da Lei de Benford realizada neste trabalho segue o método proposto por Bugarin e Cunha (2015), Cunha e Bugarin (2015), Cunha, Bugarin e Portugal (2016), baseado em Nigrini (2012).

Cunha, Bugarin e Portugal (2016) apresentam um roteiro que permite a seleção de amostras de auditoria.

Neste trabalho, optou-se por aplicar as seguintes etapas, de modo a avaliar a conformidade do banco de dados, segundo a Lei de Benford e testes associados:

- a.     Obter a frequência do primeiro e dos dois primeiros dígitos a fim de se obter as frequências observadas;
- b.     Comparar as frequências observadas do primeiro e dos dois primeiros dígitos com as frequências esperadas segundo o padrão definido pela Lei de Benford;
- c.     Aplicar testes de hipóteses com o objetivo de diminuir a margem de erro para concluir se os resultados apresentam ou não desconformidade com o padrão do ponto de vista estatístico. Os testes utilizados são: Teste Z, Teste Qui-quadrado e Teste da Média dos Desvios Absolutos (MDA).
- d.     Aplicar o Teste da Soma.

A seguir, detalha-se cada um dos testes da Lei de Benford e os testes estatísticos associados.

#### **3.2    Testes da Lei de Benford**

Preliminarmente, é necessário o exame do perfil dos dados. Esse exame visa a avaliar se os dados são passíveis de serem analisados segundo os testes da Lei de Benford. Nigrini (2012) propõe um roteiro para essa análise com a contagem dos valores:

- 1) 10,00 ou acima;

- 2) De 0,01 a 9,99;
- 3) Igual a zero;
- 4) -0,01 a -9,99;
- 5) -10,00 ou abaixo;
- 6) 0,01 a 50,00;
- 7) 100.000 ou acima.

O exame do perfil dos dados analisa a viabilidade de aplicar os Testes da Lei de Benford, permitindo a avaliação da composição dos valores (CAFÉ, BUGARIN e PORTUGAL, 2021).

Em relação ao perfil dos dados, todas as amostras analisadas no presente trabalho atenderam aos critérios, ou seja, não apresentaram números negativos, iguais a zero. Apresentam números acima de 100.000, mas neste caso não é um fator limitante para uso do teste, apenas descritivo da composição dos dados.

### 3.2.1 Teste do Primeiro Dígito

O Teste do Primeiro Dígito obtém a frequência de ocorrência dos números de 1 a 9 enquanto primeiro dígito de uma amostra ou população de dados. Em momento posterior, essa frequência é comparada com a frequência da distribuição da Lei de Benford.

Conforme se expôs na seção relativa ao Referencial Teórico, a probabilidade de ocorrência do dígito  $d$  como primeiro dígito, é dada pelo logaritmo (KIRA; TEIXEIRA, 2009):

$$P(d) = \log (1+1/d), \text{ em que } d=1,2,\dots,9.$$

Segundo Nigrini (2012, p. 74), o Teste do Primeiro Dígito pode ser muito útil em uma amostra com poucos registros (em torno de 300).

Ademais, esse autor afirma que uma conformidade fraca com a Lei de Benford é usualmente um sinal de que os dados contêm duplicações e anomalias:

A weak fit to Benford's Law is usually a signal that the data set contains abnormal duplications and anomalies. If an auditor has four data sets and three of them have a good fit to Benford's Law, the strategy should be to focus on the fourth

nonconforming data set because it has the highest risk for errors or fraud. Also, if a single company had three quarters of conforming data and one quarter of nonconforming data, the nonconforming data has the highest risks of errors or fraud. The problem with the first digits test is that the first digits might show a conforming pattern even though the data has some serious issues that show that it doesn't conform to the spirit of Benford's Law (...) (NIGRINI, 2012, p. 74).

Como enfatizado no trecho transcrito acima, um problema do Teste do Primeiro Dígito é que ele pode apontar conformidade, apesar de os dados não estarem livres de problemas.

Os limiares dos testes estatísticos associados para indicar conformidade são os seguintes<sup>6</sup>:

- Teste Z: 1 ocorrência acima do valor crítico (1,96).
- Qui-quadrado (nível de significância estatística de 5%): até 15,507;
- MDA valores indicados no tópico 3.3.3.

### **3.2.2 Teste dos Dois Primeiros Dígitos**

O Teste dos Dois Primeiros Dígitos é mais específico que o anterior. Segundo (NIGRINI, 2012, p. 87):

The first-two digits test is also useful for findings biases in data. Biases occur because people have gravitated to certain numbers due to psychological thresholds

<sup>6</sup> Como o Teste do Primeiro Dígito fornece uma visão geral dos dados, dividindo a amostra em 9, Nigrini não define para o Teste Z um número de ocorrências como indicador de não conformidade. No caso de serem poucos registros, a análise detalhada deve recair sobre os dados que não apresentam conformidade. Para possibilitar uma avaliação objetiva, adotou-se neste trabalho o valor de 1 ocorrência acima do valor crítico, vez que 1 representa 11,11% do total de dígitos. Esse valor foi baseado no critério que o autor adota para o Teste Z no Teste dos Dois Primeiros Dígitos (5% do número de grupos). No caso do Teste do Primeiro Dígito, o número de grupos é 9, então o número inteiro mais próximo é 1. No caso do Qui-Quadrado e da MDA, Nigrini define os valores de referência.

(e.g., \$1,000) or due to thresholds at which additional internal controls are activated.  
This test is also useful at detecting invented numbers

Dessa forma, é útil para detectar vieses em razão de limiares psicológicos, ou valores que se repetem para evitar superar limites que acionam controles internos. É útil, ainda, para auxiliar na detecção de números inventados.

A baixa conformidade com o padrão estipulado pela Lei de Benford geralmente indica elevado risco de erro ou fraude (NIGRINI, 2012, p. 87).

No Teste do Primeiro Dígito há nove possíveis primeiros dígitos (1, 2, 3, ..., 9). Já no teste dos Dois Primeiros Dígitos, há 90 categorias possíveis (10, 11, ..., 99). Assim, os possíveis resultados variam de 10 a 99. Este teste “divide o banco de dados em amostras de auditoria bem menores que o teste anterior, sendo, portanto, mais preciso ao apontar indícios de manipulação” (CUNHA, BUGARIN e PORTUGAL, 2016, p. 16).

A frequência esperada dos dois primeiros dígitos é dada por:

$$\text{Prob}(D_1D_2 = d_1d_2) = \log \left( 1 + \frac{1}{d_1d_2} \right)$$

Onde:

$D_1D_2$  = Dois Primeiros Dígitos

$d_1d_2 \in \{10, 11, \dots, 99\}$

O número mínimo de registros para a aplicação desse teste é de 800 (Idem, p. 31). Portanto, requer um banco de dados superior àquele necessário para a aplicação do Teste do Primeiro Dígito.

Os limiares dos testes estatísticos associados para indicar conformidade são os seguintes:

- Teste Z (nível de significância estatística de 5%): até 5 ocorrências superiores ao valor crítico de 1,96.<sup>7</sup>
- Qui-quadrado (nível de significância estatística de 5%): até 112,022;
- MDA valores indicados no tópico 3.3.3.

---

<sup>7</sup> O número de ocorrências é calculado considerando 5% do número de dígitos possíveis (90 x 5%) (NIGRINI, 2012, p.151).

### 3.2.3 Teste da Soma

O Teste da Soma (ou Teorema da Soma) foi desenvolvido por Nigrini (2012) em sua dissertação de PhD e se mostrou um instrumento viável para aplicação conjunta com a Lei de Benford no caso de dados financeiros por fornecer informações em relação à materialidade dos valores associados a cada dígito.

De acordo com Nigrini (2012), espera-se que as somas dos números com dígitos de 10 a 99 sejam iguais. Como o total de grupos é igual a 90 (a contagem é de 10 a 99), o autor observou que o total de cada grupo corresponde a valores aproximadamente iguais, cujo valor é dado por  $1/90 = 0,011$ , ou seja, 1,1% do valor total.

Aplicações do teste da soma mostraram que os conjuntos de dados do mundo real raramente mostram o padrão, não obstante, a expectativa teórica é correta. Isso ocorre porque o mundo real os dados contêm alguns números anormalmente grandes ou duplicações de números de tamanho médio, e é exatamente para isso que o teste de soma nos alerta (NIGRINI, 2012, p. 70).

Cunha, Bugarin e Portugal (2016) destacam, ainda, as diferenças em relação à Curva ABC. Nas palavras dos autores:

Apesar de possuir diferenças em relação à Curva ABC, a qual considera apenas os itens mais caros, o Teste da Soma também traz para a análise os serviços de valor relevante, mas, em vez de verificar a importância do item individualmente, ele examina a importância do grupo de dois primeiros dígitos no orçamento (CUNHA, BUGARIN e PORTUGAL, 2016, p. 19).

Portanto, como existe uma expectativa teórica de que cada grupo (10, 11, ..., 99) apresente soma correspondente a 1,1% do valor total, aqueles valores que destoam significativamente deste padrão são um indicativo que pode ter havido manipulação naquele grupo de dois primeiros dígitos. Enfatiza-se que se trata de indicativo, não significa uma conclusão cabal sobre a existência de erro ou fraude. Necessita de análises caso a caso para se concluir sobre a regularidade ou não da discrepância em relação ao valor teórico.

O critério para selecionar as categorias de dois primeiros dígitos por Cunha, Bugarin e Portugal (2016, p. 34) são os resultados da diferença entre a proporção real e Benford superiores a 0,011.

Neste trabalho, optou-se por utilizar o citado critério. Ou seja, a diferença entre a proporção real e Benford superiores a 0,011, o que corresponde a valores de proporção real de cada categoria de dois primeiros dígitos superiores a 0,022.

### 3.3 Testes estatísticos associados

#### 3.3.1 Teste Z

O Teste Z mensura se a frequência obtida para o dígito<sup>8</sup> difere estatisticamente da frequência dada pela Lei de Benford. Esse teste leva em conta a magnitude da diferença entre a frequência obtida e a frequência esperada, o tamanho do banco de dados e a proporção esperada (Nigrini, 2012, p. 172).

$$Z = \frac{| PR - PE | - (1/2n)}{\sqrt{\frac{PE(1 - PE)}{n}}}$$

Onde:

PR = Proporção real

PE = Proporção esperada

n = número de registros

$1/2n$  = é um termo de correção e só é usado quando ele é menor que o primeiro termo no numerador

O nível de significância adotado nesta pesquisa é de 5%, o que corresponde ao valor crítico para o Teste Z igual a 1,96.

Nesse teste, é aceitável cinco ocorrências acima do limite para o Teste dos Dois Primeiros Dígitos (Nigrini, 2012).

As hipóteses a serem testadas são:

- Hipótese nula:  $H_0: po = pe$

Não existe diferença estatisticamente relevante entre as probabilidades observadas ( $po$ ) e as esperadas ( $pe$ );

- Hipótese experimental:  $H_1: po \neq pe$

<sup>8</sup> Na aplicação do teste Z, “dígito” também se refere à combinação dos Dois Primeiros Dígitos.

Existe diferença estatisticamente relevante entre as probabilidades observadas (po) e as esperadas (pe).

### 3.3.2 Teste Qui-Quadrado (QQ)

Este teste é utilizado para testar a aderência da distribuição dos dígitos com a prevista pela Lei de Benford (VIANA, 2021). O cálculo é realizado pela fórmula:

$$QQ = \sum_{i=1}^k \frac{(CR - CE)^2}{CE}$$

Onde:

CR = Contagem real

CE = Contagem esperada

k = número de dígitos (por exemplo, 9 ou 90)

O número de graus de liberdade é dado por  $k - 1$ . Em decorrência, para o Teste do Primeiro Dígito, que possui 9 dígitos, o número de graus de liberdade é igual a 8. Para o Teste dos Dois Primeiros Dígitos, o qual possui 90 valores em potencial, há 89 graus de liberdade.

No presente trabalho o nível de significância adotado é de 5%. Em decorrência, têm-se os seguintes valores críticos do Teste Qui-quadrado:

- 15,507 para o Teste do Primeiro Dígito;
- 112,022 para o Teste dos Dois Primeiros Dígitos.

### 3.3.3 Média dos Desvios Absolutos

Esse teste não leva em conta o tamanho do banco de dados – em oposição aos anteriores. Segundo Nigrini (2012, p. 158), os testes anteriores se tornam mais sensíveis a desvios à medida que o número de dados cresce, de modo que um resultado próximo à perfeição requer um conjunto de dados de 25.000 registros ou mais.

A fórmula do Teste da Média dos Desvios Absolutos (MDA) é a seguinte:

$$MDA = \sum_{i=1}^K \frac{|PR - PE|}{K}$$

Onde:

PR = Proporção real

PE = Proporção esperada

K = Número de séries de dígitos (para o Teste do Primeiro Dígito K = 9, para o Teste dos Dois Primeiros Dígitos, K = 90)

Para esse teste, não existem valores críticos pré-determinados. Drake e Nigrini (2000, apud CUNHA, BUGARIN e PORTUGAL, 2016) propuseram um banco de valores para servir como parâmetro, baseado em suas experiências pessoais:

**Tabela 5 - Valores críticos para vários valores da MDA**

| DÍGITOS                | INTERVALO       | CONCLUSÃO                       |
|------------------------|-----------------|---------------------------------|
| Primeiro Dígito        | 0.000 a 0.006   | Conformidade aproximada         |
|                        | 0.006 a 0.012   | Conformidade aceitável          |
|                        | 0.012 a 0.015   | Conformidade marginal aceitável |
|                        | Acima de 0.015  | Não conformidade                |
| Dois Primeiros Dígitos | 0.0000 a 0.0012 | Conformidade aproximada         |
|                        | 0.0012 a 0.0018 | Conformidade aceitável          |
|                        | 0.0018 a 0.0022 | Conformidade marginal aceitável |
|                        | Acima de 0.0022 | Não conformidade                |

Fonte: Cunha, Bugarin e Portugal (2016, p. 29).

### 3.4 Fonte e composição dos dados

Os dados dos gastos públicos via emendas parlamentares do ano de 2020 foram obtidos no Portal da Transparência da CGU.

Optou-se por utilizar o valor das despesas liquidadas. Essa escolha se justifica porque entre as fases da despesa pública (empenho, liquidação e pagamento), a liquidação é aquela que já assegura ao credor o direito de recebimento do pagamento, uma vez que o serviço foi

prestado ou o bem entregue ou o contrato assim previu. Em decorrência, ainda que não haja saída de caixa no exercício de pagamento, o valor do serviço ou produto já fora estabelecido.

A Lei 4.320/1964 em seu art. 63 assim dispõe:

**Art. 63. A liquidação da despesa consiste na verificação do direito adquirido pelo credor tendo por base os títulos e documentos comprobatórios do respectivo crédito.**

§ 1º Essa verificação tem por fim apurar:

I - a origem e o objeto do que se deve pagar;

II - a importância exata a pagar;

III - a quem se deve pagar a importância, para extinguir a obrigação.

§ 2º A liquidação da despesa por fornecimentos feitos ou serviços prestados terá por base:

I - o contrato, ajuste ou acordo respectivo;

II - a nota de empenho;

III - os comprovantes da entrega de material ou da prestação efetiva do serviço (grifos nossos) (BRASIL, 1964).

Ademais, conforme ensina Giacomoni (2009), a depender do objetivo da transação, a liquidação pode exigir um conjunto amplo de verificações com o propósito de avaliar o cumprimento, pelo credor, das obrigações pactuadas:

Dependendo do objetivo da transação, a liquidação pode exigir um conjunto bastante amplo de verificações. No caso da execução de obra contratada por empreitada global, com pagamentos por etapas, sujeitos a reajustamentos, a liquidação de cada etapa considerará uma série de aspectos, tais como: cumprimento dos prazos por parte do empreiteiro, testes de verificação da qualidade do material e do serviço, adequação dos índices de reajuste aplicados, etc. Numa situação dessas, a responsabilidade pela liquidação será dividida entre um variado número de funcionários, de diversos níveis hierárquicos (GIACOMONI, 2009, p. 303).

Desse modo, a despesa liquidada já passou por verificações que asseguram com um grau razoável de certeza o montante do serviço prestado ou do bem adquirido que será efetivamente desembolsado.

Ressalta-se que as despesas liquidadas totalizaram R\$16,69 bi ao passo que as pagas totalizaram R\$16,11, resultando em diferença da ordem de R\$580 milhões a ser pagas por meio de restos a pagar.

### **3.4.1 Conjunto total dos dados de 2020**

A composição dos dados, ou seja, o número de registros e o valor total de cada tipo de emenda, no ano de 2020, consta da Tabela 6.

**Tabela 6 - Número de registros e o valor total de cada tipo de emenda**

| Tipo        | Registros | %      | Valor                 | %      |
|-------------|-----------|--------|-----------------------|--------|
| Bancada     | 200       | 4,04   | R\$ 3.451.212.827,34  | 20,68  |
| Comissões   | 71        | 1,43   | R\$ 284.357.894,95    | 1,70   |
| Individuais | 4408      | 89,02  | R\$ 5.458.027.021,62  | 32,70  |
| Relator     | 273       | 5,51   | R\$ 7.496.682.326,41  | 44,92  |
| Total       | 4952      | 100,00 | R\$ 16.690.280.070,32 | 100,00 |

Fonte: Elaborado pelo autor.

Observa-se que todos os tipos de emenda somam valores expressivos, mas as emendas de relator concentram os maior montante, seguidas das individuais.

### **3.4.2 Emendas individuais segundo o espectro ideológico**

Um dos objetivos específicos da pesquisa é “analisar se a evidência de não conformidade está associada ao espectro ideológico dos principais partidos com representação no Congresso Nacional”. A ideia inicial era analisar em relação a cada partido isoladamente. Contudo, como evidenciado pela Figura 4, o número de registros por partido é inferior a 800. Portanto, isso inviabilizou a análise individualizada, vez que o número é inferior ao mínimo

necessário para a aplicação do Teste dos Dois Primeiros Dígitos. Desta forma, consideraram-se conjuntos de partidos com proximidade ideológica.

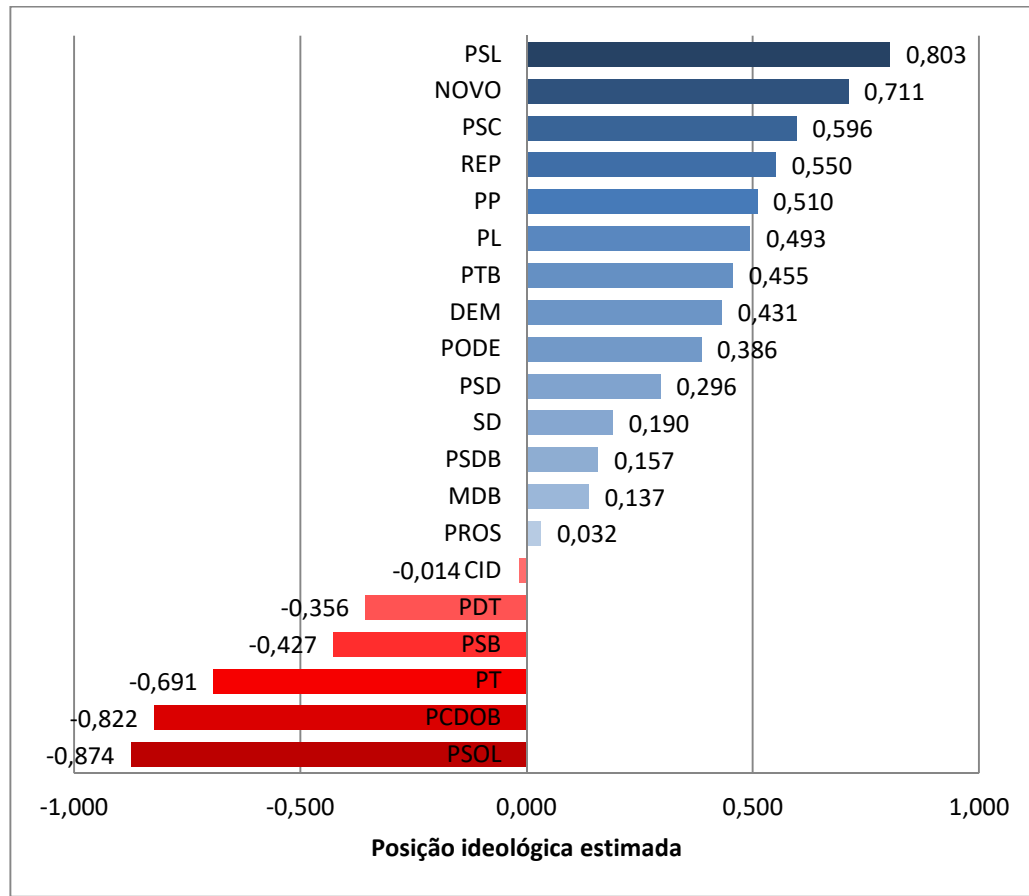
Utilizou-se a classificação de Zucco & Power (2022) para a definição do espectro ideológico. Esses autores realizaram diversos ciclos de pesquisas legislativas, englobando desde a 48<sup>a</sup> legislatura, eleita em 1986, até a 56<sup>a</sup>, eleita em 2018 para a legislatura 2019 - 2023. Assim, essas pesquisas se constituem em vasto banco de dados que abrange todo o período pós-redemocratização.

Em linhas gerais, a posição ideológica é determinada por um algoritmo a partir da combinação das respostas dos participantes (parlamentares) considerando como posiciona a si próprio e como posiciona os demais partidos dentro do espectro ideológico.

Após, o resultado é padronizado na forma de uma distribuição normal.

A estimativa da ideologia do ciclo de 2021 é evidenciada na Figura 3. O intervalo considerado é de -1 a 1. Quanto mais próximo de -1 mais à esquerda e quanto mais próximo de 1, mais à direita é a ideologia.

**Figura 3 - Posição ideológica dos principais partidos brasileiros - 2021(Legislatura 2019-2023)**



← Esquerda

Direita →

Fonte: Elaborado pelo autor a partir de dados de Zucco & Power (2022)

Observa-se que a amplitude dos partidos de esquerda é maior que a dos partidos de direita:

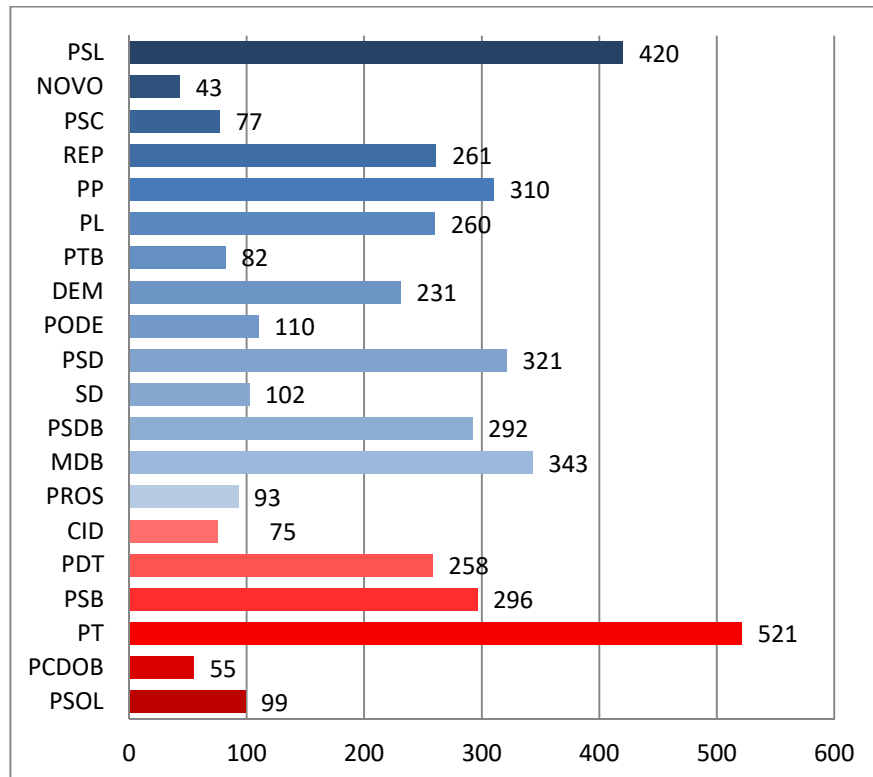
$$\text{Esquerda} = |-0,874| - |-0,014| = 0,860$$

$$\text{Direita} = |0,803| - |0,032| = 0,771$$

Por conseguinte, os dados sugerem que os partidos de esquerda são mais diversos entre si no aspecto ideologia do que os partidos de direita, que apresentam índices mais próximos entre si, indicando maior homogeneidade.

O número de emendas individuais por partido é informado na Figura 4,

**Figura 4 - Número de emendas individuais por partido<sup>9</sup>**

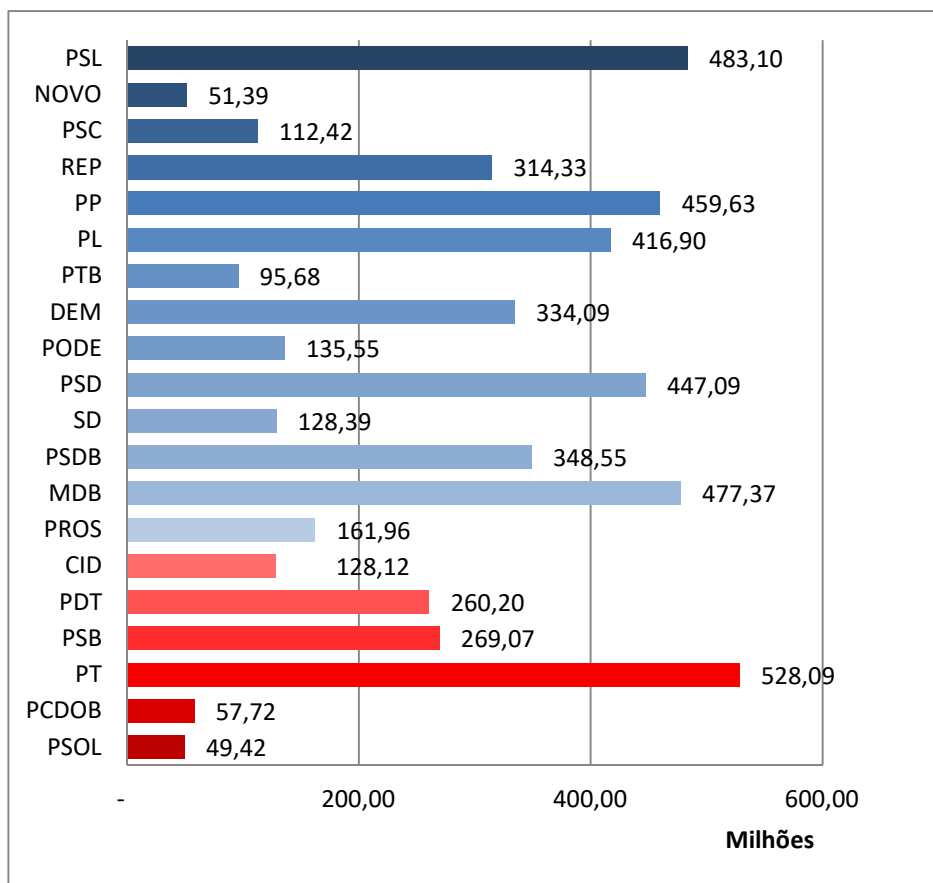


Fonte: Elaborado pelo autor com base nos dados disponíveis no Portal da Transparência

---

<sup>9</sup> Como os dados disponíveis no Portal da Transparência da CGU não indicam o partido ao qual o parlamentar era vinculado à época da apresentação da emenda, adotou-se como critério para determinação do partido: aquele ao qual estava vinculado em 31/12/2020. Para os parlamentares que estavam sem partido em 31/12/2020, considerou-se a filiação partidária imediatamente anterior. O critério adotado pareceu ser o menos impreciso dada a incompletude dos dados disponíveis no principal portal de transparência governamental, posto que não informa o partido do congressista que apresentou a emenda. Os dados relativos à filiação/mudança partidária foram obtidos nos sites da Câmara dos Deputados, do Senado Federal e do TSE.

**Figura 5 - Valor total das emendas individuais por partido**



Fonte: Elaborado pelo autor com base nos dados disponíveis no Portal da Transparência.

A fim de analisar as emendas individuais segundo o espectro ideológico dos partidos, adotou-se como critério para organizar os dados:

- 1) A ideia de “média móvel”, ou seja, a combinação de diferentes partidos ao longo do espectro ideológico;
- 2) Número total de emendas entre 1.100 e 1200.

A partir daí, definiu-se nove combinações de partidos, a saber:

Combinação 1: PSL + NOVO + PSC + REP + PP

Combinação 2: PSC + REP + PP + PL + DEM

Combinação 3: PP + PL + DEM + PODE + SD + PROS

Combinação 4: DEM + PODE + PSD + SD + PROS + PSDB

Combinação 5: PSD + SD + PSDB + MDB + PROS

Combinação 6: SD+PSDB+PROS+CID+PDT+PSB

Combinação 7: CID + PDT + PSB + PT

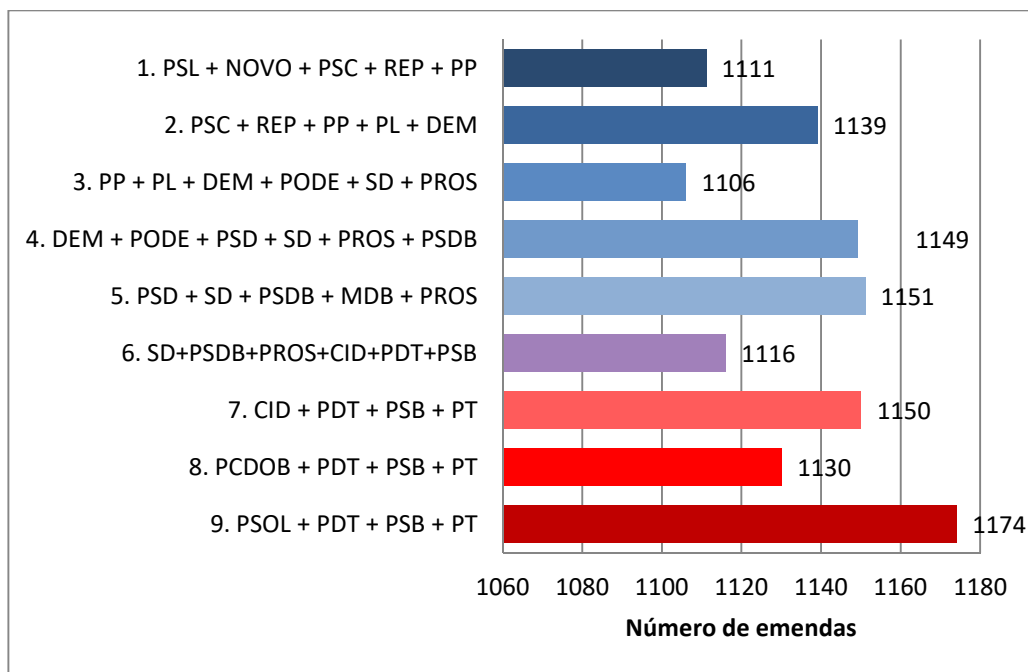
Combinação 8: PCDOB + PDT + PSB + PT

Combinação 9: PSOL + PDT + PSB + PT

Ressalta-se que existem diversas possibilidades para se juntar as emendas de vários partidos, pois existem muitas combinações possíveis de partidos. No entanto, optou-se por utilizar a ideologia partidária por ser um claro fator de aproximação entre partidos.

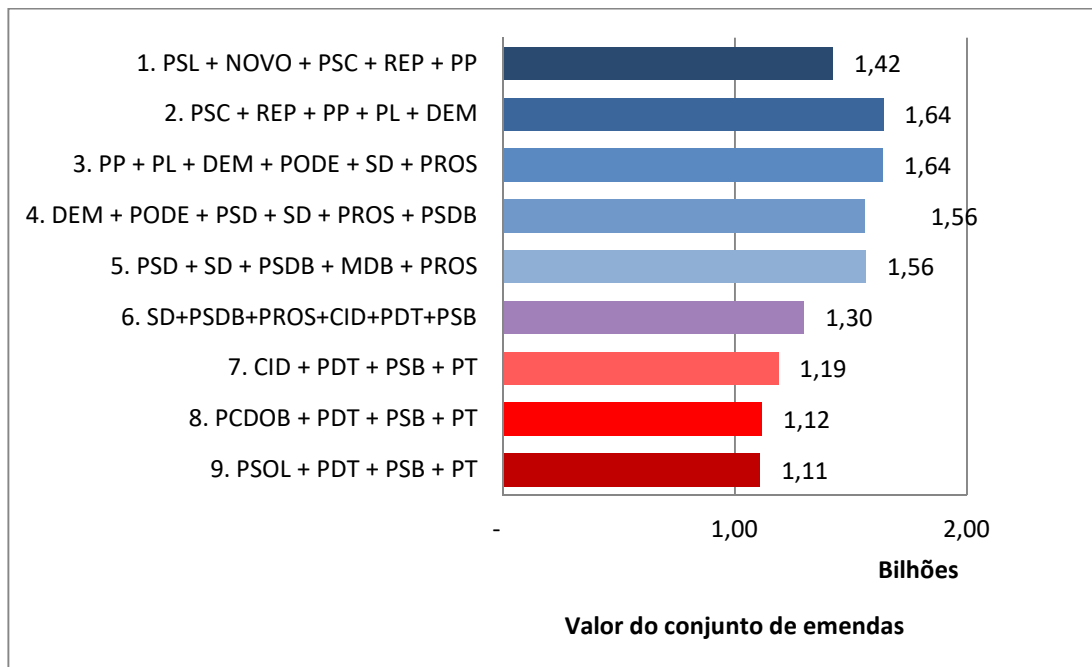
O número de emendas por cada combinação de partidos é indicado na Tabela 6.

**Figura 6 - Número de emendas individuais por combinações de partidos**



Fonte: Elaborado pelo autor.

O valor total por cada combinação de partidos é indicado na Figura 7.

**Figura 7 - Valor total por combinações de partidos**

Fonte: Elaborado pelo autor.

### 3.4.3 Emendas por região

A Tabela 7 contém o número de registros e o valor total das emendas por região:

**Tabela 7 - Número de registros e o valor total das emendas por região**

| Região       | Emendas | %      | Valor                 | %      |
|--------------|---------|--------|-----------------------|--------|
| Centro-Oeste | 369     | 7,45   | R\$ 735.152.049,41    | 4,40   |
| Exterior     | 5       | 0,10   | R\$ 2.298.720,88      | 0,01   |
| Nacional     | 902     | 18,21  | R\$ 7.563.771.522,75  | 45,32  |
| Nordeste     | 1137    | 22,96  | R\$ 3.202.855.579,57  | 19,19  |
| Norte        | 552     | 11,15  | R\$ 1.495.181.792,54  | 8,96   |
| Sudeste      | 1376    | 27,79  | R\$ 2.484.091.900,62  | 14,88  |
| Sul          | 611     | 12,34  | R\$ 1.206.928.504,55  | 7,23   |
| Total        | 4952    | 100,00 | R\$ 16.690.280.070,32 | 100,00 |

Fonte: Elaborado pelo autor.

Conforme se constata, as regiões com número de emendas igual ou superior a 800 registros são: Nacional, Nordeste e Sudeste.

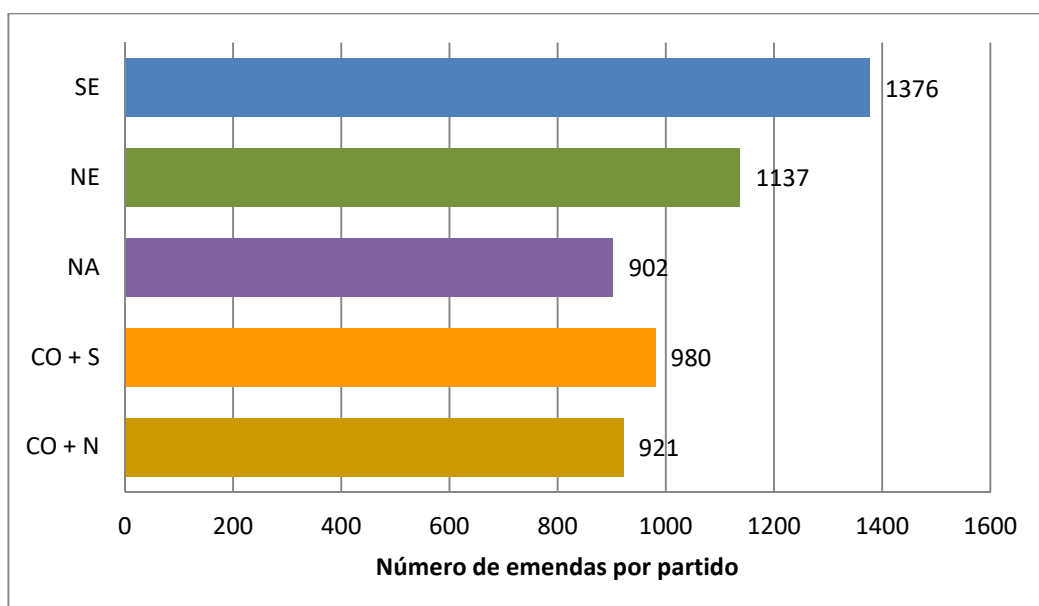
Com o propósito de contemplar também as regiões centro-oeste, norte e sul, definiram-se as seguintes combinações para serem analisadas: Centro-Oeste + Norte e Centro-Oeste + Sul. Dessa forma, serão analisadas as seguintes regiões:

- 1) Centro-Oeste + Norte = CO + N;
- 2) Centro-Oeste + Sul = CO + S;
- 3) Nacionais = NA;
- 4) Nordeste = NE;
- 5) Sudeste = SE.

Vale ressaltar que as regiões consideradas são aquelas previstas na LOA, por tal razão há a região “Nacional”, pois existem emendas que se referem a gastos em mais de uma região. Ainda, a aglutinação das regiões CO+N e CO+S se deu em virtude de essas regiões possuírem número de registros inferior a 800.

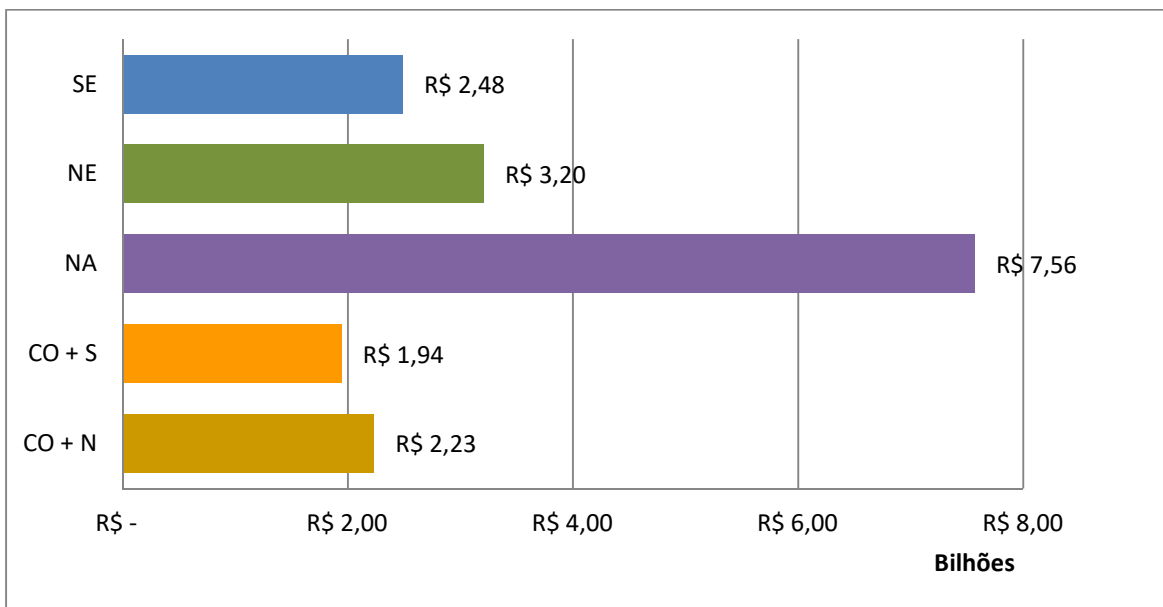
As Figuras 8 e 9 mostram o número de emendas por região e o valor total por região, respectivamente.

**Figura 8 - Número de emendas por região**



Fonte: Elaborado pelo autor.

**Figura 9 - Valor de emendas por regiões**



Fonte: Elaborado pelo autor.

## 4 RESULTADOS E ANÁLISES

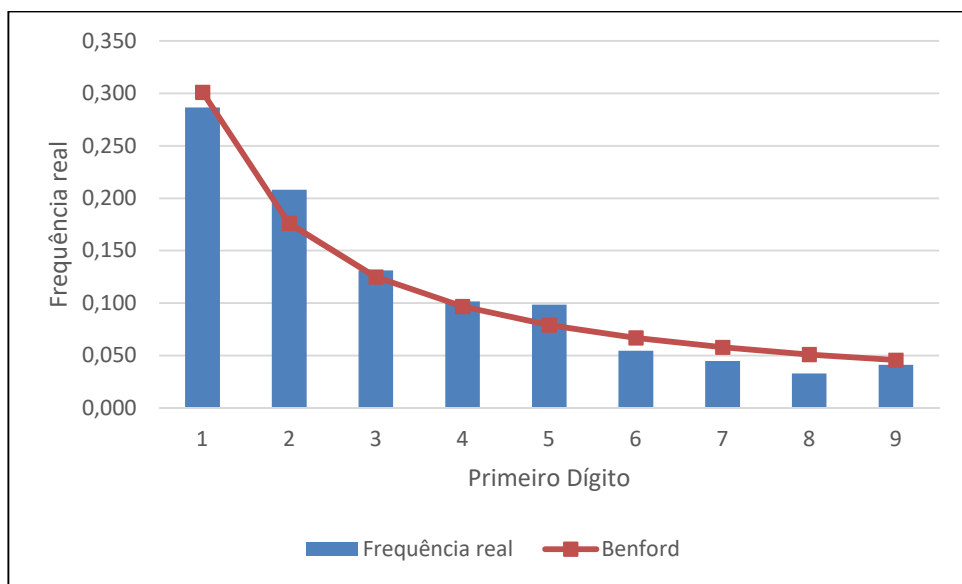
Apresentam-se, a seguir, os resultados da aplicação da Lei de Benford e testes associados ao conjunto total dos dados de 2020, segundo o espectro ideológico e por regiões.

### 4.1 Conjunto total dos dados de 2020

#### 4.1.1 Teste do Primeiro Dígito

A Figura 10 mostra a frequência do primeiro do dígito do conjunto total dos dados de 2020, bem como a frequência de Benford para o primeiro dígito.

**Figura 10 - Conjunto total dos dados de 2020 – Primeiro dígito**



Fonte: Elaborado pelo autor.

Graficamente, os dígitos que apresentam maior diferença em relação à Lei de Benford são 2, 5, 7 e 8.

A Tabela 8 contém a aplicação do Teste do Primeiro Dígito ao conjunto total dos dados de 2020.

**Tabela 8 - Conjunto total dos dados de 2020 – Teste do Primeiro Dígito**

| Dígito   | Contagem real (cr) | Contagem esperada (fb x N) | Frequência real (fr) | Benford (fb) | Diferença (fr - fb) | Teste Z | QQ      | MDA   |
|----------|--------------------|----------------------------|----------------------|--------------|---------------------|---------|---------|-------|
| <b>1</b> | 1418               | 1490,70                    | 0,286                | 0,301        | -0,015              | 2,237   | 3,546   | 0,015 |
| <b>2</b> | 1030               | 872,00                     | 0,208                | 0,176        | 0,032               | 5,876   | 28,627  | 0,032 |
| <b>3</b> | 650                | 618,70                     | 0,131                | 0,125        | 0,006               | 1,324   | 1,584   | 0,006 |
| <b>4</b> | 504                | 479,90                     | 0,102                | 0,097        | 0,005               | 1,134   | 1,210   | 0,005 |
| <b>5</b> | 489                | 392,11                     | 0,099                | 0,079        | 0,020               | 5,073   | 23,944  | 0,020 |
| <b>6</b> | 271                | 331,52                     | 0,055                | 0,067        | -0,012              | 3,413   | 11,048  | 0,012 |
| <b>7</b> | 222                | 287,18                     | 0,045                | 0,058        | -0,013              | 3,932   | 14,792  | 0,013 |
| <b>8</b> | 164                | 253,31                     | 0,033                | 0,051        | -0,018              | 5,728   | 31,487  | 0,018 |
| <b>9</b> | 204                | 226,80                     | 0,041                | 0,046        | -0,005              | 1,516   | 2,292   | 0,005 |
| <b>N</b> | 4952               |                            | 1,000                | 1,000        |                     |         | 118,530 | 0,014 |

Fonte: Elaborado pelo autor.

O Teste Z indicou que os dígitos 1, 2, 5, 6, 7 e 8 apresentaram valores superiores ao valor crítico (1,96), devendo-se, nestes casos, rejeitar a hipótese nula  $H_0: p_o = p_e$ .

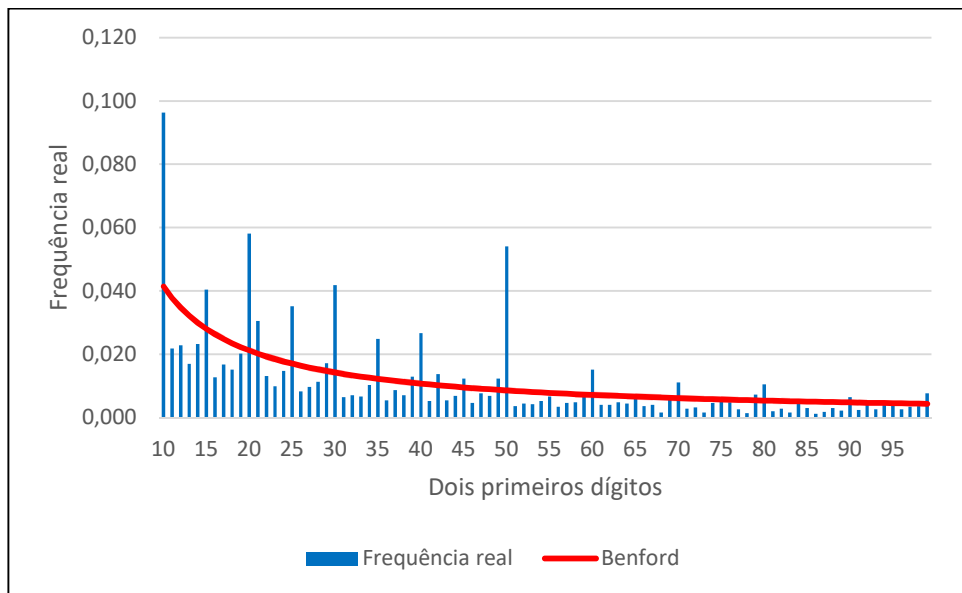
O Teste de Qui-quadrado apresentou o valor de 118,53, muito superior ao crítico (15,507), indicando não conformidade da amostra como um todo.

O Teste MDA resultou no valor de 0,014, portanto, segundo esse critério, a amostra apresentou “conformidade marginal aceitável”.

Conclui-se que em 2 dos 3 testes apresentou não conformidade.

#### 4.1.2 Teste dos Dois Primeiros Dígitos

A frequência dos Dois Primeiros Dígitos do conjunto total dos dados de 2020 e a frequência de Benford são evidenciadas na Figura 11:

**Figura 11 - Conjunto total dos dados de 2020 – Dois primeiros dígitos**

Fonte: Elaborado pelo autor

As maiores diferenças são para os dígitos 10, 15, 20, 25, 30, 35, 50 e 60.

O Teste dos Dois Primeiros Dígitos é evidenciado na Tabela 9.

**Tabela 9 - Conjunto total dos dados de 2020 – Teste dos Dois Primeiros Dígitos**

| Dígito | Contagem real | Contagem esperada (fb x N) | Frequência real (fr) | Benford (fb) | Diferença (fr - fb) | Teste Z | QQ      | MDA   |
|--------|---------------|----------------------------|----------------------|--------------|---------------------|---------|---------|-------|
| 10     | 477           | 204,977                    | 0,096                | 0,041        | 0,055               | 19,370  | 361,001 | 0,055 |
| 11     | 108           | 187,129                    | 0,022                | 0,038        | -0,016              | 5,860   | 33,460  | 0,016 |
| 12     | 113           | 172,142                    | 0,023                | 0,035        | -0,012              | 4,549   | 20,319  | 0,012 |
| 13     | 84            | 159,379                    | 0,017                | 0,032        | -0,015              | 6,029   | 35,651  | 0,015 |
| 14     | 115           | 148,378                    | 0,023                | 0,030        | -0,007              | 2,740   | 7,508   | 0,007 |
| 15     | 200           | 138,798                    | 0,040                | 0,028        | 0,012               | 5,226   | 26,986  | 0,012 |
| 16     | 63            | 130,381                    | 0,013                | 0,026        | -0,014              | 5,936   | 34,822  | 0,014 |
| 17     | 83            | 122,926                    | 0,017                | 0,025        | -0,008              | 3,601   | 12,968  | 0,008 |
| 18     | 75            | 116,278                    | 0,015                | 0,023        | -0,008              | 3,827   | 14,654  | 0,008 |
| 19     | 100           | 110,313                    | 0,020                | 0,022        | -0,002              | 0,945   | 0,964   | 0,002 |
| 20     | 288           | 104,929                    | 0,058                | 0,021        | 0,037               | 18,015  | 319,404 | 0,037 |
| 21     | 151           | 100,047                    | 0,030                | 0,020        | 0,010               | 5,096   | 25,950  | 0,010 |
| 22     | 65            | 95,599                     | 0,013                | 0,019        | -0,006              | 3,109   | 9,794   | 0,006 |
| 23     | 49            | 91,530                     | 0,010                | 0,018        | -0,009              | 4,434   | 19,762  | 0,009 |
| 24     | 73            | 87,793                     | 0,015                | 0,018        | -0,003              | 1,539   | 2,493   | 0,003 |
| 25     | 174           | 84,349                     | 0,035                | 0,017        | 0,018               | 9,791   | 95,286  | 0,018 |

|    |     |        |       |       |        |        |          |       |
|----|-----|--------|-------|-------|--------|--------|----------|-------|
| 26 | 41  | 81,165 | 0,008 | 0,016 | -0,008 | 4,439  | 19,876   | 0,008 |
| 27 | 48  | 78,213 | 0,010 | 0,016 | -0,006 | 3,387  | 11,671   | 0,006 |
| 28 | 56  | 75,468 | 0,011 | 0,015 | -0,004 | 2,200  | 5,022    | 0,004 |
| 29 | 85  | 72,910 | 0,017 | 0,015 | 0,002  | 1,368  | 2,005    | 0,002 |
| 30 | 207 | 70,519 | 0,042 | 0,014 | 0,028  | 16,310 | 264,145  | 0,028 |
| 31 | 32  | 68,280 | 0,006 | 0,014 | -0,007 | 4,360  | 19,277   | 0,007 |
| 32 | 35  | 66,178 | 0,007 | 0,013 | -0,006 | 3,797  | 14,689   | 0,006 |
| 33 | 33  | 64,203 | 0,007 | 0,013 | -0,006 | 3,857  | 15,165   | 0,006 |
| 34 | 51  | 62,341 | 0,010 | 0,013 | -0,002 | 1,382  | 2,063    | 0,002 |
| 35 | 123 | 60,585 | 0,025 | 0,012 | 0,013  | 8,004  | 64,300   | 0,013 |
| 36 | 27  | 58,925 | 0,005 | 0,012 | -0,006 | 4,118  | 17,297   | 0,006 |
| 37 | 43  | 57,353 | 0,009 | 0,012 | -0,003 | 1,840  | 3,592    | 0,003 |
| 38 | 35  | 55,864 | 0,007 | 0,011 | -0,004 | 2,740  | 7,792    | 0,004 |
| 39 | 64  | 54,449 | 0,013 | 0,011 | 0,002  | 1,233  | 1,675    | 0,002 |
| 40 | 132 | 53,105 | 0,027 | 0,011 | 0,016  | 10,816 | 117,212  | 0,016 |
| 41 | 26  | 51,825 | 0,005 | 0,010 | -0,005 | 3,536  | 12,869   | 0,005 |
| 42 | 68  | 50,605 | 0,014 | 0,010 | 0,004  | 2,387  | 5,979    | 0,004 |
| 43 | 27  | 49,442 | 0,005 | 0,010 | -0,005 | 3,136  | 10,186   | 0,005 |
| 44 | 34  | 48,331 | 0,007 | 0,010 | -0,003 | 1,999  | 4,249    | 0,003 |
| 45 | 61  | 47,268 | 0,012 | 0,010 | 0,003  | 1,934  | 3,989    | 0,003 |
| 46 | 23  | 46,252 | 0,005 | 0,009 | -0,005 | 3,361  | 11,689   | 0,005 |
| 47 | 38  | 45,278 | 0,008 | 0,009 | -0,001 | 1,012  | 1,170    | 0,001 |
| 48 | 34  | 44,344 | 0,007 | 0,009 | -0,002 | 1,485  | 2,413    | 0,002 |
| 49 | 61  | 43,448 | 0,012 | 0,009 | 0,004  | 2,598  | 7,090    | 0,004 |
| 50 | 268 | 42,588 | 0,054 | 0,009 | 0,046  | 34,613 | 1193,071 | 0,046 |
| 51 | 18  | 41,761 | 0,004 | 0,008 | -0,005 | 3,615  | 13,519   | 0,005 |
| 52 | 22  | 40,966 | 0,004 | 0,008 | -0,004 | 2,897  | 8,780    | 0,004 |
| 53 | 21  | 40,200 | 0,004 | 0,008 | -0,004 | 2,961  | 9,170    | 0,004 |
| 54 | 26  | 39,462 | 0,005 | 0,008 | -0,003 | 2,072  | 4,592    | 0,003 |
| 55 | 33  | 38,751 | 0,007 | 0,008 | -0,001 | 0,847  | 0,854    | 0,001 |
| 56 | 17  | 38,065 | 0,003 | 0,008 | -0,004 | 3,346  | 11,657   | 0,004 |
| 57 | 23  | 37,403 | 0,005 | 0,008 | -0,003 | 2,282  | 5,546    | 0,003 |
| 58 | 24  | 36,764 | 0,005 | 0,007 | -0,003 | 2,030  | 4,431    | 0,003 |
| 59 | 37  | 36,146 | 0,007 | 0,007 | 0,000  | 0,059  | 0,020    | 0,000 |
| 60 | 75  | 35,548 | 0,015 | 0,007 | 0,008  | 6,557  | 43,784   | 0,008 |
| 61 | 20  | 34,970 | 0,004 | 0,007 | -0,003 | 2,456  | 6,409    | 0,003 |
| 62 | 20  | 34,411 | 0,004 | 0,007 | -0,003 | 2,380  | 6,035    | 0,003 |
| 63 | 24  | 33,869 | 0,005 | 0,007 | -0,002 | 1,615  | 2,876    | 0,002 |
| 64 | 22  | 33,344 | 0,004 | 0,007 | -0,002 | 1,884  | 3,859    | 0,002 |
| 65 | 36  | 32,835 | 0,007 | 0,007 | 0,001  | 0,467  | 0,305    | 0,001 |
| 66 | 18  | 32,341 | 0,004 | 0,007 | -0,003 | 2,442  | 6,359    | 0,003 |
| 67 | 20  | 31,862 | 0,004 | 0,006 | -0,002 | 2,019  | 4,416    | 0,002 |
| 68 | 8   | 31,397 | 0,002 | 0,006 | -0,005 | 4,099  | 17,435   | 0,005 |
| 69 | 28  | 30,945 | 0,006 | 0,006 | -0,001 | 0,441  | 0,280    | 0,001 |
| 70 | 55  | 30,506 | 0,011 | 0,006 | 0,005  | 4,358  | 19,667   | 0,005 |
| 71 | 14  | 30,079 | 0,003 | 0,006 | -0,003 | 2,849  | 8,595    | 0,003 |
| 72 | 16  | 29,664 | 0,003 | 0,006 | -0,003 | 2,424  | 6,294    | 0,003 |
| 73 | 8   | 29,261 | 0,002 | 0,006 | -0,004 | 3,849  | 15,448   | 0,004 |

|     |      |        |       |       |        |       |          |       |     |
|-----|------|--------|-------|-------|--------|-------|----------|-------|-----|
| ... |      |        |       | ...   |        |       |          |       | ... |
| 77  | 13   | 27,750 | 0,003 | 0,006 | -0,003 | 2,713 | 7,840    | 0,003 |     |
| 78  | 7    | 27,397 | 0,001 | 0,006 | -0,004 | 3,812 | 15,185   | 0,004 |     |
| 79  | 36   | 27,052 | 0,007 | 0,005 | 0,002  | 1,629 | 2,960    | 0,002 |     |
| 80  | 52   | 26,716 | 0,011 | 0,005 | 0,005  | 4,808 | 23,928   | 0,005 |     |
| 81  | 10   | 26,388 | 0,002 | 0,005 | -0,003 | 3,101 | 10,178   | 0,003 |     |
| 82  | 14   | 26,069 | 0,003 | 0,005 | -0,002 | 2,272 | 5,587    | 0,002 |     |
| 83  | 8    | 25,756 | 0,002 | 0,005 | -0,004 | 3,409 | 12,241   | 0,004 |     |
| 84  | 24   | 25,451 | 0,005 | 0,005 | 0,000  | 0,189 | 0,083    | 0,000 |     |
| 85  | 15   | 25,154 | 0,003 | 0,005 | -0,002 | 1,930 | 4,099    | 0,002 |     |
| 86  | 6    | 24,863 | 0,001 | 0,005 | -0,004 | 3,692 | 14,311   | 0,004 |     |
| 87  | 9    | 24,579 | 0,002 | 0,005 | -0,003 | 3,049 | 9,874    | 0,003 |     |
| 88  | 15   | 24,301 | 0,003 | 0,005 | -0,002 | 1,790 | 3,560    | 0,002 |     |
| 89  | 11   | 24,030 | 0,002 | 0,005 | -0,003 | 2,562 | 7,065    | 0,003 |     |
| 90  | 32   | 23,764 | 0,006 | 0,005 | 0,002  | 1,591 | 2,854    | 0,002 |     |
| 91  | 12   | 23,504 | 0,002 | 0,005 | -0,002 | 2,275 | 5,631    | 0,002 |     |
| 92  | 21   | 23,250 | 0,004 | 0,005 | 0,000  | 0,364 | 0,218    | 0,000 |     |
| 93  | 13   | 23,002 | 0,003 | 0,005 | -0,002 | 1,986 | 4,349    | 0,002 |     |
| ... |      |        | ...   |       |        |       |          |       | ... |
| 97  | 17   | 22,058 | 0,003 | 0,004 | -0,001 | 0,973 | 1,160    | 0,001 |     |
| 98  | 18   | 21,834 | 0,004 | 0,004 | -0,001 | 0,715 | 0,673    | 0,001 |     |
| 99  | 38   | 21,615 | 0,008 | 0,004 | 0,003  | 3,424 | 12,421   | 0,003 |     |
| N   | 4952 |        | 1     | 1     |        |       | 3190,626 | 0,006 |     |

Fonte: Elaborado pelo autor.

A tabela acima informa:

- Teste Z: 61 ocorrências com valores superiores ao valor crítico (1,96), para os quais a hipótese nula  $H_0: p_o = p_e$  deve ser rejeitada, com destaque para os dígitos 10, 20, 30 e 50, que apresentaram os maiores valores;
- Teste de Qui-quadrado: apresentou o valor de 3190,626, bastante superior ao crítico (112,022);
- Teste MDA: resultou no valor de 0,006, ou seja, a amostra apresentou “não conformidade”, uma vez que é superior a 0,0022.

Portanto, os três testes indicam não conformidade do conjunto total dos dados de 2020 à Lei de Benford.

#### 4.1.3 Teste da Soma

A Tabela 10 contém a aplicação do Teste da Soma ao conjunto total dos dados de 2020. Por sua vez, a Figura 12 ilustra o resultado graficamente.

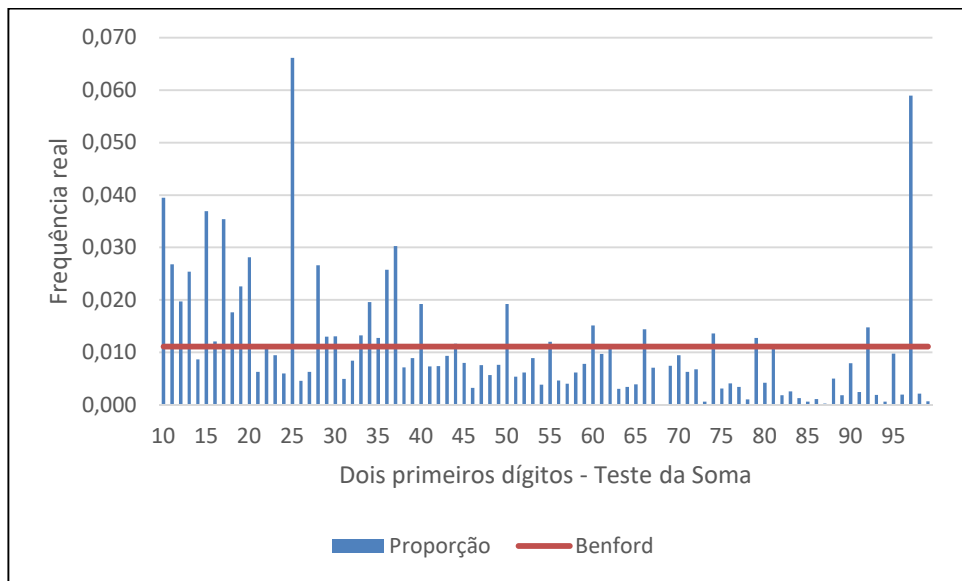
Os dígitos com maiores diferenças em relação ao padrão de Benford são: 10, 25 e 95.

**Tabela 10 - Conjunto total dos dados de 2020 - Teste da Soma**

| Dígito | Soma (R\$)       | Proporção | Benford | Dígito | Soma (R\$)     | Proporção | Benford |
|--------|------------------|-----------|---------|--------|----------------|-----------|---------|
| 10     | 659.108.136,89   | 0,039     | 0,011   | 55     | 201.096.180,81 | 0,012     | 0,011   |
| 11     | 447.133.483,56   | 0,027     | 0,011   | 56     | 77.447.618,33  | 0,005     | 0,011   |
| 12     | 329.488.315,20   | 0,020     | 0,011   | 57     | 67.580.159,30  | 0,004     | 0,011   |
| 13     | 423.906.793,22   | 0,025     | 0,011   | 58     | 102.861.517,25 | 0,006     | 0,011   |
| 14     | 144.742.581,67   | 0,009     | 0,011   | 59     | 131.141.547,14 | 0,008     | 0,011   |
| 15     | 616.679.673,65   | 0,037     | 0,011   | 60     | 252.459.333,06 | 0,015     | 0,011   |
| 16     | 201.950.419,58   | 0,012     | 0,011   | 61     | 161.946.363,29 | 0,010     | 0,011   |
| 17     | 590.554.673,64   | 0,035     | 0,011   | 62     | 178.159.087,64 | 0,011     | 0,011   |
| 18     | 295.027.807,09   | 0,018     | 0,011   | 63     | 51.731.423,75  | 0,003     | 0,011   |
| 19     | 376.674.521,73   | 0,023     | 0,011   | 64     | 57.533.061,14  | 0,003     | 0,011   |
| 20     | 469.785.156,80   | 0,028     | 0,011   | 65     | 65.359.715,50  | 0,004     | 0,011   |
| ...    |                  |           |         | ...    |                |           | ...     |
| 25     | 1.103.429.133,94 | 0,066     | 0,011   | 70     | 158.395.862,59 | 0,009     | 0,011   |
| 26     | 76.280.632,47    | 0,005     | 0,011   | 71     | 105.340.104,86 | 0,006     | 0,011   |
| 27     | 104.879.317,67   | 0,006     | 0,011   | 72     | 113.480.126,68 | 0,007     | 0,011   |
| 28     | 444.303.321,10   | 0,027     | 0,011   | 73     | 10.457.902,28  | 0,001     | 0,011   |
| ...    |                  |           |         | ...    |                |           | ...     |
| 36     | 430.074.958,28   | 0,026     | 0,011   | 81     | 182.843.186,54 | 0,011     | 0,011   |
| 37     | 505.112.142,00   | 0,030     | 0,011   | 82     | 30.690.807,73  | 0,002     | 0,011   |
| ...    |                  |           |         | ...    |                |           | ...     |
| 52     | 103.208.830,91   | 0,006     | 0,011   | 97     | 983.503.640,15 | 0,059     | 0,011   |
| 53     | 149.142.630,02   | 0,009     | 0,011   | 98     | 36.068.245,21  | 0,002     | 0,011   |
| 54     | 64.913.011,29    | 0,004     | 0,011   | 99     | 11.779.311,21  | 0,001     | 0,011   |

Fonte: Elaborado pelo autor.

**Figura 12 - Conjunto total dos dados de 2020 – Teste da Soma**



Fonte: Elaborado pelo autor.

O resultado do Teste da Soma mostra que houve 12 categorias acima de 0,022: 10, 11, 13, 15, 17, 19, 20, 25, 28, 36, 37 e 97.

As categorias 25 e 97 são as que reúnem valores mais elevados, com R\$1.103.429.133,94 e R\$ 983.503.640,15, respectivamente.

O Teste dos Dois Primeiros Dígitos indicou que a categoria 25 é composta por 174 itens e a categoria 97, por 17 itens. De modo que em uma auditoria, a segunda categoria seria escolhida preferencialmente, visto reunir 10 vezes menos itens.

#### 4.2 Emendas individuais por espectro ideológico

Inicialmente, foram realizados os procedimentos para cálculo dos testes. Considerando que são os mesmos aplicados na seção 4.1, optou-se por apresentar a seguir somente os resultados.

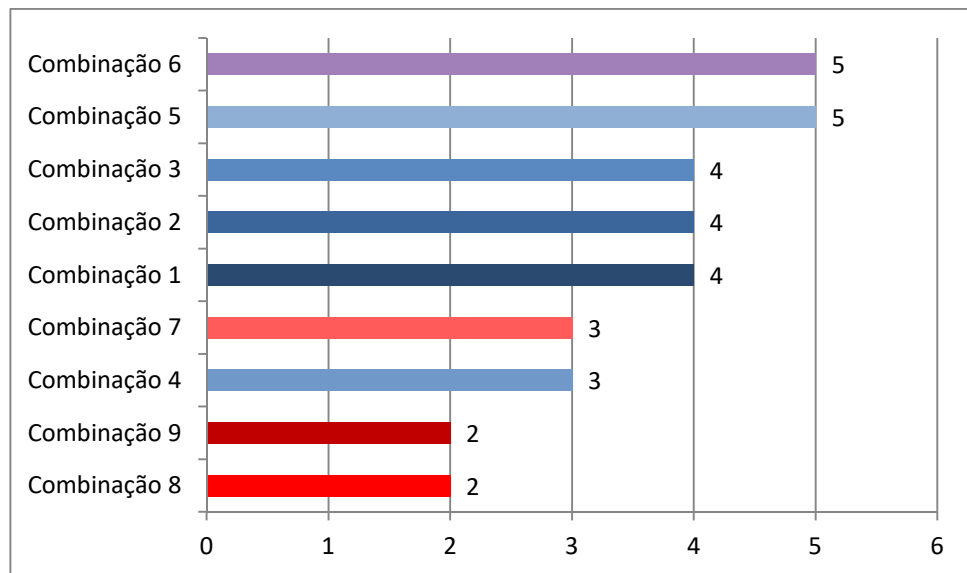
O Teste Z se refere à avaliação de cada dígito de forma individualizada.

Por outro lado, os Testes Qui-Quadrado e o MDA se referem à avaliação do conjunto dos dígitos.

#### 4.2.1 Teste do Primeiro Dígito

As Figuras 13, 14 e 15 contêm os resultados dos testes Z<sup>10</sup>, Qui-Quadrado e MDA do Teste do Primeiro Dígito aplicado às combinações de partidos por espectro ideológico.

**Figura 13 - Emendas individuais por espectro ideológico – Teste do Primeiro Dígito - Teste Z**

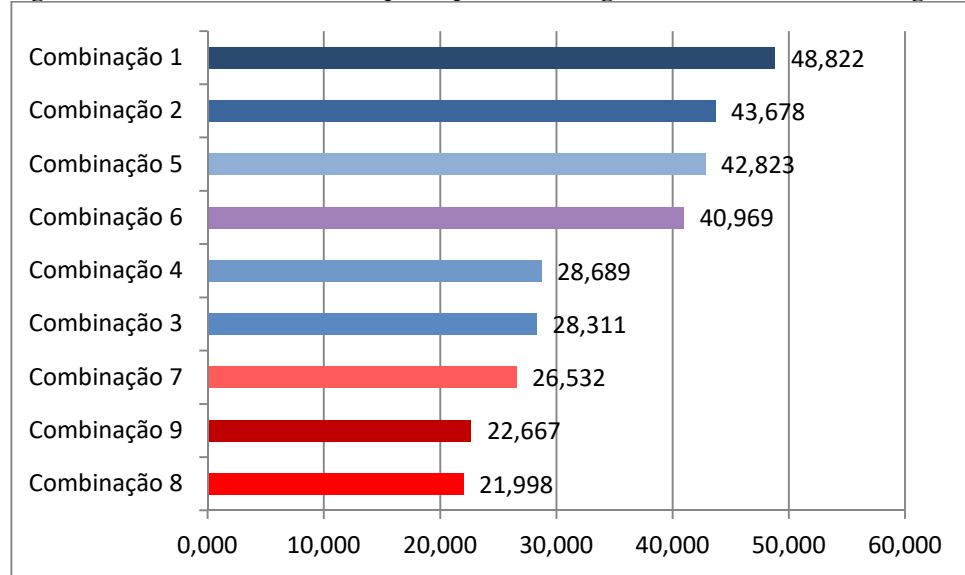


Fonte: Elaborado pelo autor.

Todas as combinações apresentaram resultados acima do critério adotado (1 ocorrência no Teste Z). As combinações 8 e 9 obtiveram dois picos, sendo o melhor resultado entre a amostra. As combinações 5 e 6 apresentaram 5 picos, com o pior resultado.

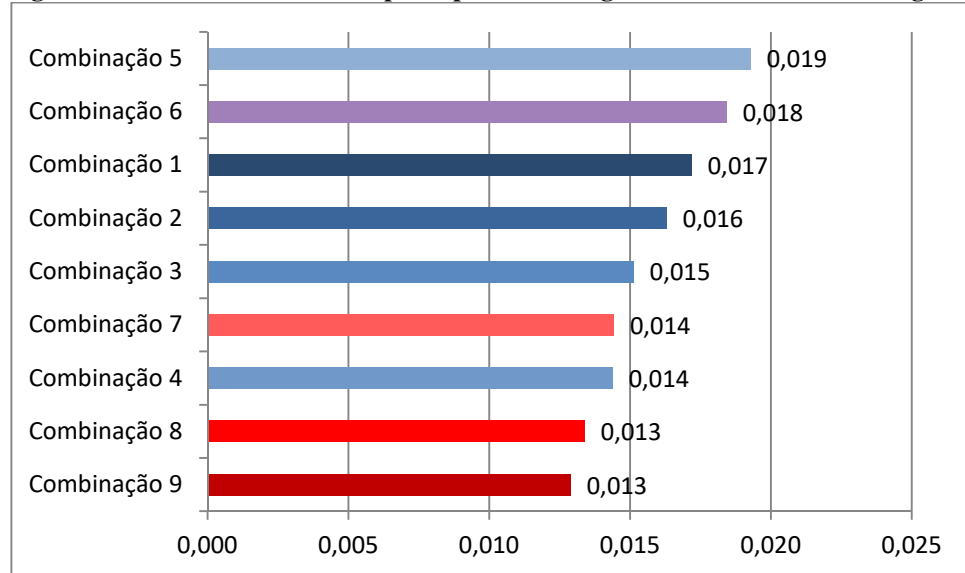
---

<sup>10</sup> Número de ocorrências do Teste Z com resultado acima do valor crítico (1,96).

**Figura 14 - Emendas individuais por espectro ideológico – Teste do Primeiro Dígito - QQ**

Fonte: Elaborado pelo autor.

No quesito Qui-quadrado, todas as combinações também pontuaram acima do valor limite (15,507). As combinações 8 e 9 também apresentaram melhor desempenho. Ao passo que as combinações 1 e 2 ficaram na pior posição.

**Figura 15 - Emendas individuais por espectro ideológico – Teste do Primeiro Dígito - MDA**

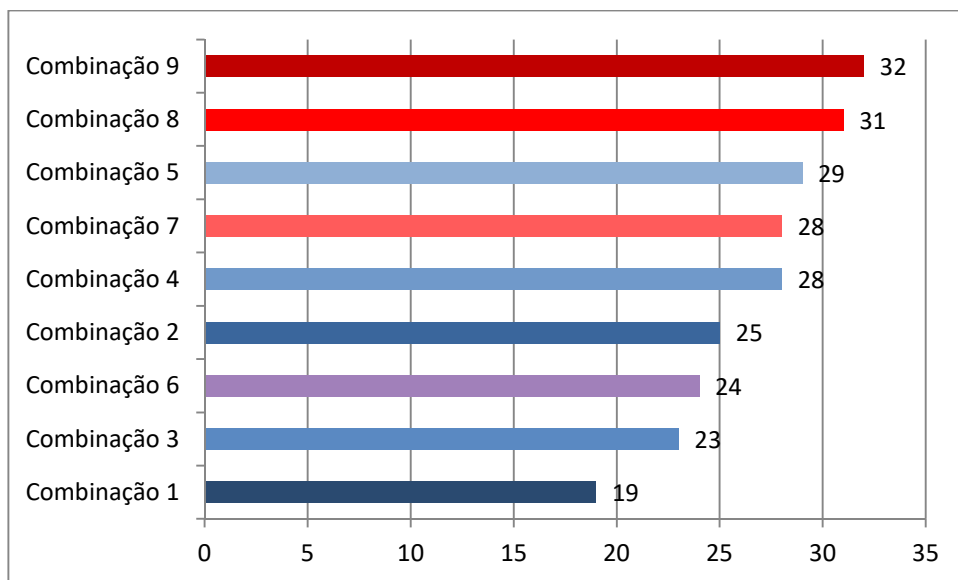
Fonte: Elaborado pelo autor.

Em relação ao MDA, quatro combinações ficaram com valor abaixo do limite (0,015): combinações 4, 7, 8 e 9.

#### 4.2.2 Teste dos Dois Primeiros Dígitos

Os resultados dos Testes Z, Qui-quadrado e MDA estão nas Figuras 16, 17 e 18:

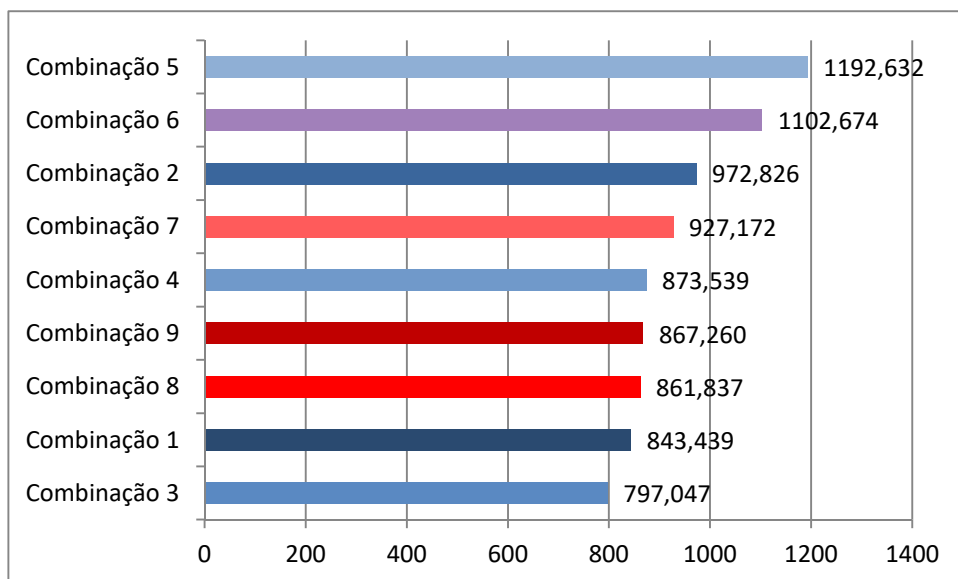
**Figura 16 - Emendas individuais por espectro ideológico – Teste dos Dois Primeiros Dígitos - Teste Z**



Fonte: Elaborado pelo autor

Todas as combinações obtiveram mais ocorrências que o valor crítico (5). As combinações 1 e 3 obtiveram 19 e 23 ocorrências, respectivamente, apresentando o melhor resultado entre a amostra. As combinações 8 e 9 apresentaram 31 e 32 picos, com o pior resultado.

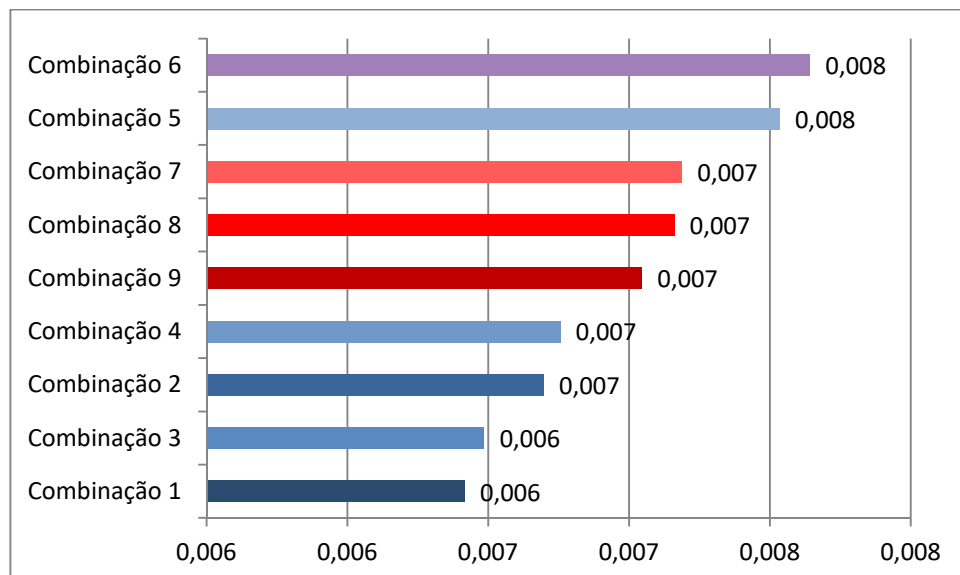
**Figura 17 - Emendas individuais por espectro ideológico – Teste dos Dois Primeiros Dígitos - QQ**



Fonte: Elaborado pelo autor

No Qui-Quadrado, todas combinações apresentaram pontuação superior ao limite (112,022). As combinações 1 e 3 também obtiveram o melhor resultado entre a mostra. As combinações 5 e 6, o pior.

**Figura 18 - Emendas individuais por espectro ideológico – Teste dos Dois Primeiros Dígitos - MDA**



Fonte: Elaborado pelo autor.

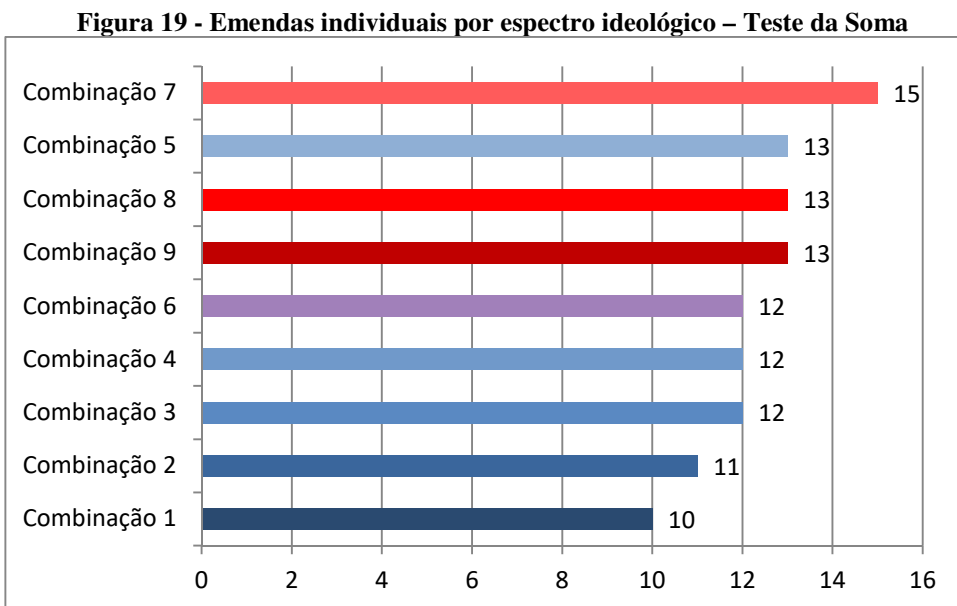
No Teste do MDA, todas apresentaram valores acima do crítico (0,0022). As combinações 1 e 3 se mantiveram com melhor desempenho, assim como nos testes anteriores. As combinações 5 e 6, com o pior resultado.

Ressalta-se que esse resultado aponta para a não conformidade de todas as combinações, visto que nos 3 testes foram superados, em muito, os valores críticos.

Comparando-se entre si, no entanto, as combinações 1 e 3 obtiveram melhor desempenho nos 3 testes. E as combinações 5 e 6, o pior visto serem apontadas em 2 dos 3 testes como as com maior não conformidade.

#### 4.2.3 Teste da Soma

Os resultados da aplicação do Teste da Soma são evidenciados na Figura 19.



Fonte: Elaborado pelo autor.

As combinações 1 e 2 apresentam o menor número de ocorrências acima do limite de 0,022, com 10 e 11, respectivamente. Já as combinações 5 e 7, os maiores com 13 e 15, respectivamente.

Cabe ressaltar que o Teste da Soma não aponta não conformidade à Lei de Benford. Trata-se de um teste complementar que aponta valores muito elevados em determinados dígitos. O uso desse teste contribui justamente para alertar a respeito dessa concentração de valores já que a Lei de Benford alerta quanto à concentração de primeiros dígitos em relação ao número de produtos/serviços.

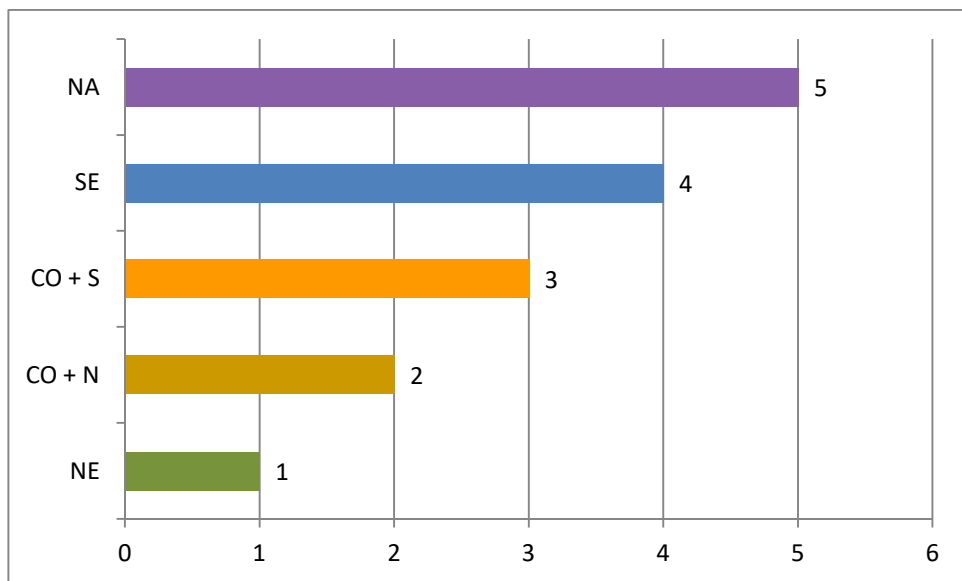
O emprego das duas ferramentas permite avaliar se o grupo que se repete muito possui materialidade e deve ser objeto de análise mais profunda em uma auditoria, ou se apesar de se repetir muito, respondem por pouca materialidade.

## 4.3 Emendas por região

### 4.3.1 Teste do Primeiro Dígito

As Figuras 20, 21 e 22 contêm os resultados dos testes Z, Qui-Quadrado e MDA das emendas por região, respectivamente.

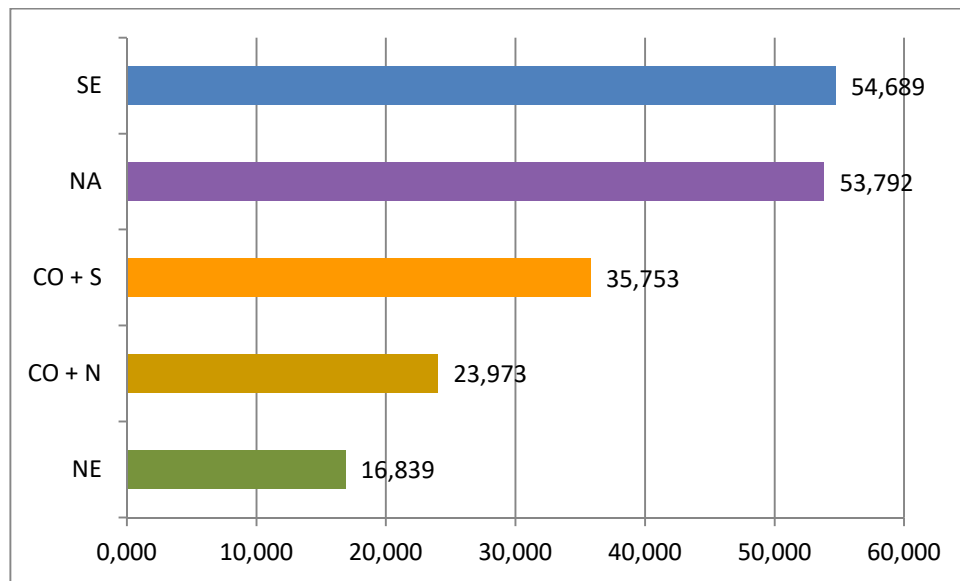
**Figura 20 - Emendas por região – Teste do Primeiro Dígito – Teste Z**



Fonte: Elaborado pelo autor.

Todas as regiões apresentaram resultados acima do critério adotado (1 ocorrência no Teste Z). As regiões NE e CO + N obtiveram o melhor resultado entre a amostra. As regiões NA e SE, o pior resultado.

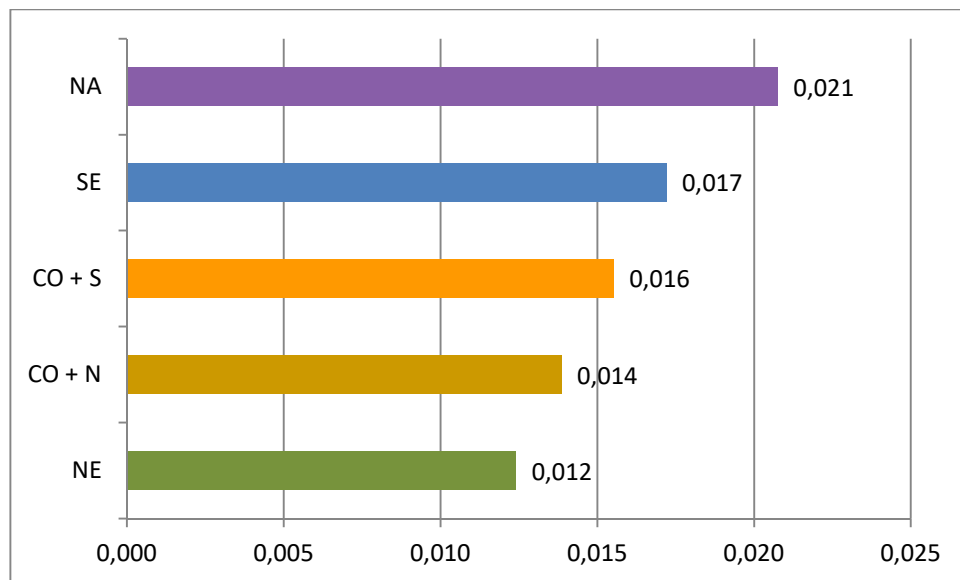
**Figura 21 - Emendas por região – Teste do Primeiro Dígito – QQ**



Fonte: Elaborado pelo autor.

No Qui-quadrado, todas as regiões também pontuaram acima do valor limite (15,507). As regiões NE e CO + N também apresentaram melhor desempenho. Ao passo que SE e NA ficaram na pior posição.

**Figura 22 - Emendas por região – Teste do Primeiro Dígito – MDA**



Fonte: Elaborado pelo autor.

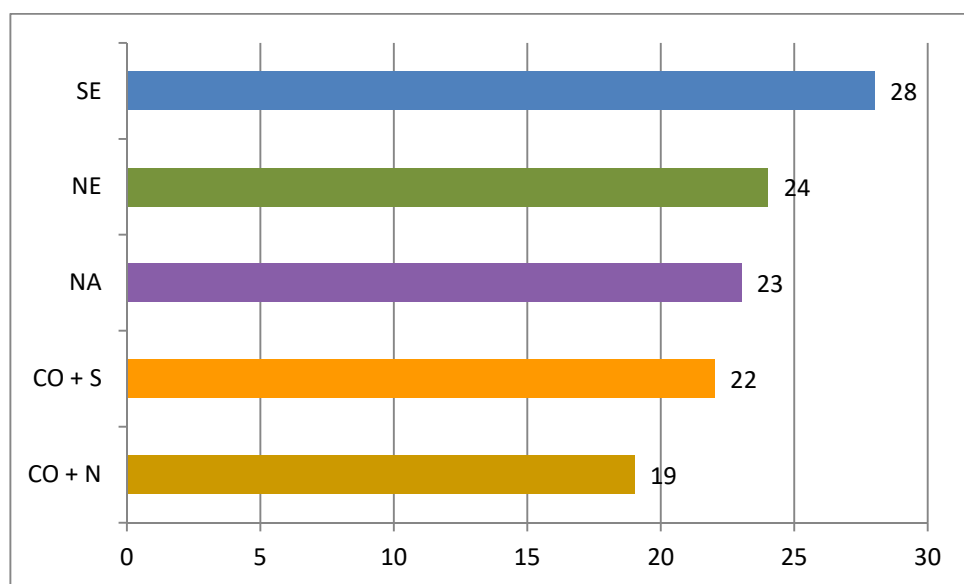
Quanto ao Teste MDA, duas regiões apresentaram valores abaixo do crítico (0,015): regiões NE e CO + N. Enquanto o pior resultado ficou com as regiões NA e SE.

Desta forma, os resultados por região demonstram conformidade para as regiões CO + N e NE em relação ao teste MDA.

#### 4.3.2 Teste dos Dois Primeiros Dígitos

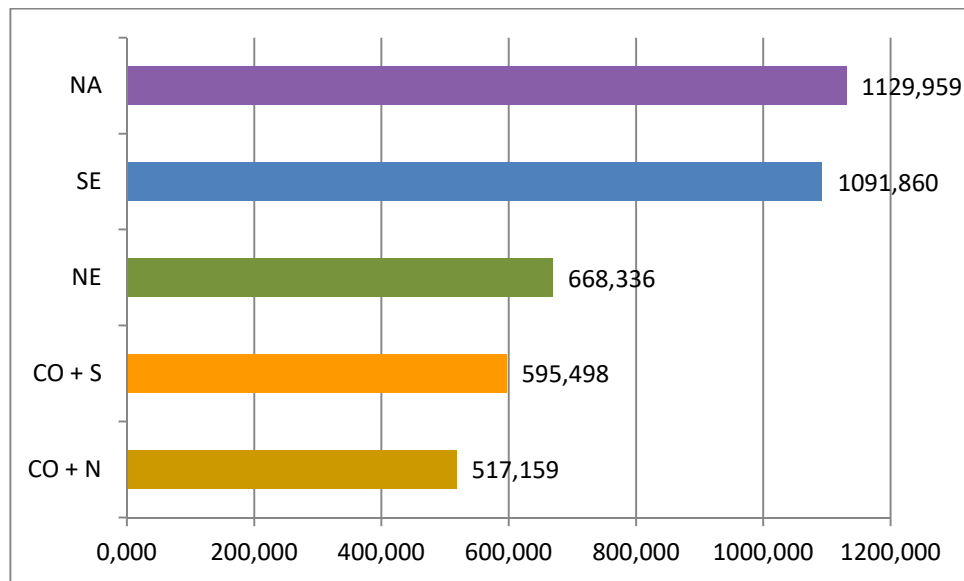
As Figuras 23, 24 e 25 mostram os resultados dos testes Z, Qui-quadrado e MDA, respectivamente.

**Figura 23 - Emendas por região – Teste dos Dois Primeiros Dígitos– Teste Z**



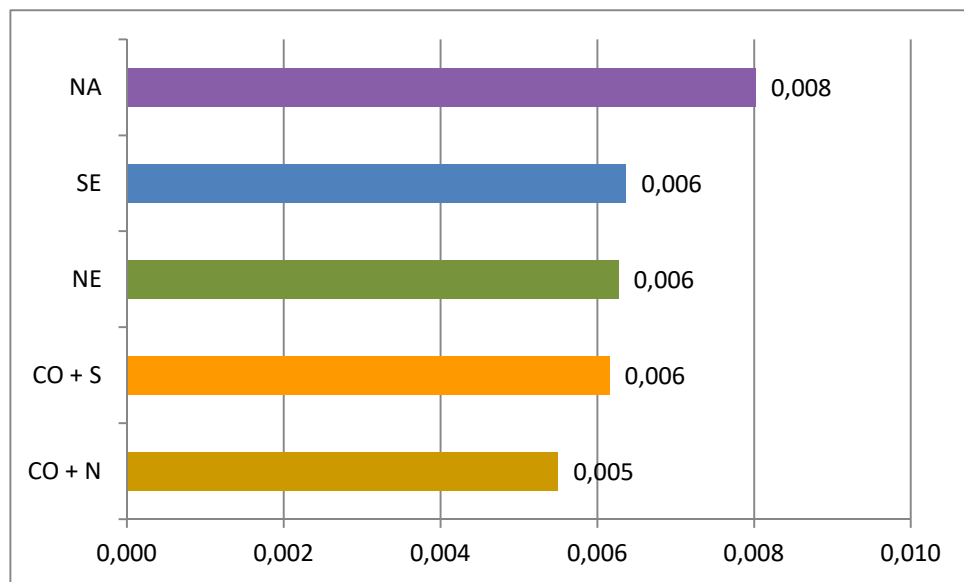
Fonte: Elaborado pelo autor.

Todas as regiões apresentaram mais ocorrências que o valor crítico (5). As regiões CO + N e CO + S obtiveram 19 e 22 ocorrências, respectivamente, apresentando o melhor resultado entre a mostra. As regiões NE e SE apresentaram 24 e 28 picos, respectivamente, com o pior resultado.

**Figura 24 - Emendas por região – Teste dos Dois Primeiros Dígitos– QQ**

Fonte: Elaborado pelo autor.

No Qui-Quadrado, todas regiões apresentaram pontuação superior ao limite (112,022). As regiões CO + N E CO + S também obtiveram o melhor resultado entre a mostra. As combinações SE e NA, o pior.

**Figura 25 - Emendas por região – Teste dos Dois Primeiros Dígitos– MDA**

Fonte: Elaborado pelo autor.

Em relação ao Teste MDA, todas apresentaram valores acima do crítico (0,0022). As regiões CO + N e CO + S se mantiveram com melhor desempenho, assim como nos testes anteriores. As combinações SE e NA, com o pior resultado.

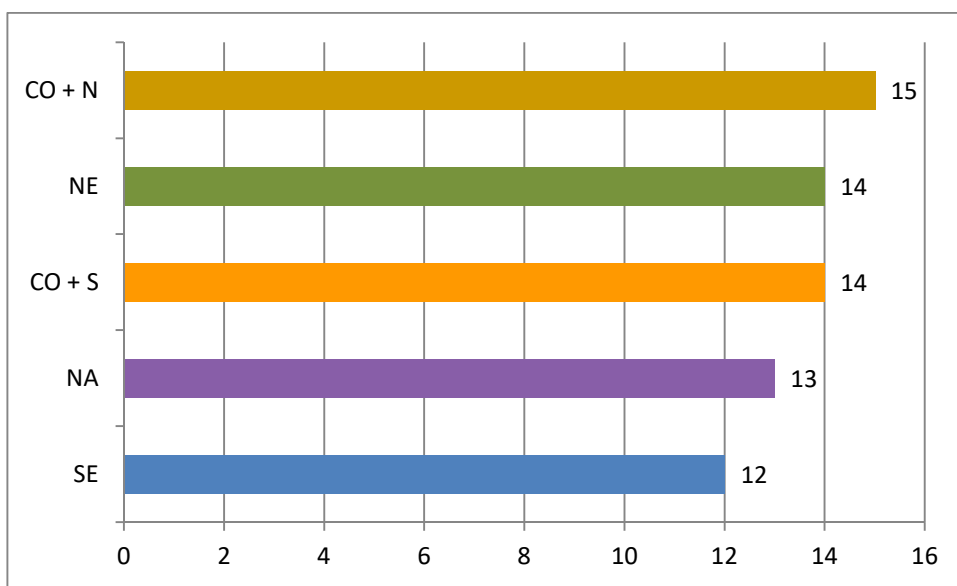
Assim, em relação ao Teste dos Dois Primeiros Dígitos, as regiões CO + N e CO + S tiveram melhor desempenho. Já as regiões NA e SE, o pior desempenho, posto figurarem em dois dos três testes com os maiores indicadores.

De todo modo, todas superaram os valores limites para os três testes associados ao Teste dos Dois Primeiros Dígitos, indicando não conformidade à Lei de Benford.

#### 4.3.3 Teste da Soma

O resultado do Teste da Soma consta da Figura 26.

**Figura 26 - Emendas por região – Teste da Soma**



Fonte: Elaborado pelo autor.

O Teste da Soma mostrou desempenho muito similar entre as regiões em termos de ocorrências que superaram 0,022 do valor total.

Como já destacado, o Teste da Soma não aponta não conformidade à Lei de Benford. Esse teste aponta a valores muito elevados em determinados dígitos. Isso é útil para destacar que valores elevados se concentram em determinados dígitos.

#### 4.4 Resultados em resumo

Os resultados foram organizados em tabelas para facilitar a comparação. A Tabela 11 mostra todas as amostras, assim como todos os testes associados à Lei de Benford e respectivos resultados.

**Tabela 11 - Resultados - Resumo**

| Emendas                          | Teste do Primeiro Dígito |             |             |             | Testes dos Dois Primeiros Dígitos |             |              |              |
|----------------------------------|--------------------------|-------------|-------------|-------------|-----------------------------------|-------------|--------------|--------------|
|                                  | N                        | Teste Z (1) | QQ (15,507) | MDA (0,015) | N                                 | Teste Z (5) | QQ (112,022) | MDA (0,0022) |
| Conjunto total dos dados de 2020 | 4952                     | 6           | 118,530     | 0,014       | 4952                              | 61          | 3190,626     | 0,006        |
| Combinação 1                     | 1111                     | 4           | 48,822      | 0,017       | 1111                              | 19          | 843,439      | 0,006        |
| Combinação 2                     | 1139                     | 4           | 43,678      | 0,016       | 1139                              | 25          | 972,826      | 0,007        |
| Combinação 3                     | 1106                     | 4           | 28,311      | 0,015       | 1106                              | 23          | 797,047      | 0,006        |
| Combinação 4                     | 1149                     | 3           | 28,689      | 0,014       | 1149                              | 28          | 873,539      | 0,007        |
| Combinação 5                     | 1151                     | 5           | 42,823      | 0,019       | 1151                              | 29          | 1192,632     | 0,008        |
| Combinação 6                     | 1116                     | 5           | 40,969      | 0,018       | 1116                              | 24          | 1102,674     | 0,008        |
| Combinação 7                     | 1150                     | 3           | 26,532      | 0,014       | 1150                              | 28          | 927,172      | 0,007        |
| Combinação 8                     | 1130                     | 2           | 21,998      | 0,013       | 1130                              | 31          | 861,837      | 0,007        |
| Combinação 9                     | 1174                     | 2           | 22,667      | 0,013       | 1174                              | 32          | 867,260      | 0,007        |
| CO + N                           | 921                      | 2           | 23,973      | 0,014       | 921                               | 19          | 517,159      | 0,005        |
| CO + S                           | 980                      | 3           | 35,753      | 0,016       | 980                               | 22          | 595,498      | 0,006        |
| NA                               | 902                      | 5           | 53,792      | 0,021       | 902                               | 23          | 1129,959     | 0,008        |
| NE                               | 1137                     | 1           | 16,839      | 0,012       | 1137                              | 24          | 668,336      | 0,006        |
| SE                               | 1376                     | 4           | 54,689      | 0,017       | 1376                              | 28          | 1091,860     | 0,006        |

Fonte: Elaborado pelo autor.

Onde:

N = número de registros;

Teste Z = número total de ocorrências acima do limite crítico de 1,96;

QQ = Valor obtido no Teste Qui-Quadrado;

MDA = Valor obtido no Teste MDA

Valores entre parênteses = limite considerado para conformidade.

Nesse momento, vale retomar os objetivos específicos estabelecidos para este trabalho:

- Analisar a evidência de não conformidade do conjunto total dos dados de 2020;
- Analisar se a evidência de não conformidade está associada ao espectro ideológico dos principais partidos com representação no Congresso Nacional;
- Analisar a evidência de não conformidade por região geográfica.

Para responder a cada um deles, a seguir, os resultados são agrupados por desempenho sob cada perspectiva.

A classificação seguiu a seguinte ordem: MDA, QQ e Teste Z. Essa escolha se deu pelo fato de o MDA avaliar a conformidade sem levar em conta o número de itens que compõem a amostra, vez que não possui N em sua fórmula. O QQ leva em conta o tamanho da amostra. Já o Teste Z é um teste por excelência para avaliar os itens individualmente e não a amostra de forma total, por isso ficou como terceiro critério.

**Tabela 12 - Resultados. Conjunto total dos dados de 2020 - Teste do Primeiro Dígito**

| Posição | Emendas                          | N    | Teste Z (1) | QQ (15,507) | MDA (0,015) |
|---------|----------------------------------|------|-------------|-------------|-------------|
| 1       | Conjunto total dos dados de 2020 | 4952 | 6           | 118,530     | 0,014       |

Fonte: Elaborado pelo autor.

**Tabela 13 - Resultados. Conjunto total dos dados de 2020 – Teste dos Dois Primeiros Dígitos**

| Posição | Emendas                          | N    | Teste Z (5) | QQ (112,022) | MDA (0,0022) |
|---------|----------------------------------|------|-------------|--------------|--------------|
| 1       | Conjunto total dos dados de 2020 | 4952 | 61          | 3190,626     | 0,006        |

Fonte: Elaborado pelo autor.

Onde:

N = número de registros;

Teste Z = número total de ocorrências acima do limite crítico de 1,96;

QQ = Valor obtido no Teste Qui-Quadrado;

MDA = Valor obtido no Teste MDA

Valores entre parênteses = limite considerado para conformidade.

**Tabela 14 - Resultados. Emendas por espectro ideológico – Teste do Primeiro Dígito**

| Posição | Emendas      | N    | Teste Z (1) | QQ (15,507) | MDA (0,015) <sup>11</sup> |
|---------|--------------|------|-------------|-------------|---------------------------|
| 1       | Combinação 9 | 1174 | 2           | 22,667      | 0,013                     |
| 2       | Combinação 8 | 1130 | 2           | 21,998      | 0,013                     |
| 3       | Combinação 4 | 1149 | 3           | 28,689      | 0,014                     |
| 4       | Combinação 7 | 1150 | 3           | 26,532      | 0,014                     |
| 5       | Combinação 3 | 1106 | 4           | 28,311      | 0,015                     |
| 6       | Combinação 2 | 1139 | 4           | 43,678      | 0,016                     |
| 7       | Combinação 1 | 1111 | 4           | 48,822      | 0,017                     |
| 8       | Combinação 6 | 1116 | 5           | 40,969      | 0,018                     |
| 9       | Combinação 5 | 1151 | 5           | 42,823      | 0,019                     |

Fonte: Elaborado pelo autor.

Onde:

N = número de registros;

Teste Z = número total de ocorrências acima do limite crítico de 1,96;

QQ = Valor obtido no Teste Qui-Quadrado;

MDA = Valor obtido no Teste MDA

Valores entre parênteses = limite considerado para conformidade.

**Tabela 15 - Resultados. Emendas por espectro ideológico - Teste dos Dois Primeiros Dígitos**

| Posição | Emendas      | N    | Teste Z (5) | QQ (112,022) | MDA (0,0022) |
|---------|--------------|------|-------------|--------------|--------------|
| 1       | Combinação 1 | 1111 | 19          | 843,439      | 0,006        |
| 2       | Combinação 3 | 1106 | 23          | 797,047      | 0,006        |
| 3       | Combinação 2 | 1139 | 25          | 972,826      | 0,007        |
| 4       | Combinação 4 | 1149 | 28          | 873,539      | 0,007        |
| 5       | Combinação 9 | 1174 | 32          | 867,260      | 0,007        |
| 6       | Combinação 8 | 1130 | 31          | 861,837      | 0,007        |
| 7       | Combinação 7 | 1150 | 28          | 927,172      | 0,007        |
| 8       | Combinação 5 | 1151 | 29          | 1192,632     | 0,008        |
| 9       | Combinação 6 | 1116 | 24          | 1102,674     | 0,008        |

Fonte: Elaborado pelo autor.

---

<sup>11</sup> Os resultados são mostrados com 3 casas decimais, porém, possuem mais casas. A organização fornecida pelo Microsoft Excel foi mantida em obediência à ordem do filtro por MDA, em seguida por QQ e, por último, por Teste Z.

Onde:

$N$  = número de registros;

Teste  $Z$  = número total de ocorrências acima do limite crítico de 1,96;

$QQ$  = Valor obtido no Teste Qui-Quadrado;

$MDA$  = Valor obtido no Teste MDA

Valores entre parênteses = limite considerado para conformidade.

**Tabela 16 - Resultados. Emendas por região - Teste do Primeiro Dígito**

| Posição | Emendas | N    | Teste Z (1) | QQ (15,507) | MDA (0,015) |
|---------|---------|------|-------------|-------------|-------------|
| 1       | NE      | 1137 | 1           | 16,839      | 0,012       |
| 2       | CO + N  | 921  | 2           | 23,973      | 0,014       |
| 3       | CO + S  | 980  | 3           | 35,753      | 0,016       |
| 4       | SE      | 1376 | 4           | 54,689      | 0,017       |
| 5       | NA      | 902  | 5           | 53,792      | 0,021       |

Fonte: Elaborado pelo autor.

Onde:

$N$  = número de registros;

Teste  $Z$  = número total de ocorrências acima do limite crítico de 1,96;

$QQ$  = Valor obtido no Teste Qui-Quadrado;

$MDA$  = Valor obtido no Teste MDA

Valores entre parênteses = limite considerado para conformidade.

**Tabela 17 - Resultados. Emendas por região - Teste dos Dois Primeiros Dígitos**

| Posição | Emendas | N    | Teste Z (5) | QQ (112,022) | MDA (0,0022) |
|---------|---------|------|-------------|--------------|--------------|
| 1       | CO + N  | 921  | 19          | 517,159      | 0,005        |
| 2       | CO + S  | 980  | 22          | 595,498      | 0,006        |
| 3       | NE      | 1137 | 24          | 668,336      | 0,006        |
| 4       | SE      | 1376 | 28          | 1091,860     | 0,006        |
| 5       | NA      | 902  | 23          | 1129,959     | 0,008        |

Fonte: Elaborado pelo autor.

Onde:

N = número de registros;

Teste Z = número total de ocorrências acima do limite crítico de 1,96;

QQ = Valor obtido no Teste Qui-Quadrado;

MDA = Valor obtido no Teste MDA

Valores entre parênteses = limite considerado para conformidade.

Constata-se que as emendas do conjunto total dos dados de 2020 não apresentaram conformidade à Lei de Benford em praticamente todos os testes. A única exceção foi teste MDA que ficou abaixo do valor crítico (0,014 ante a 0,015).

Ademais, em relação ao espectro ideológico, a evidência de não conformidade mostra que, no Teste do Primeiro Dígito, os partidos de esquerda pontuaram melhor e ficaram nas posições 1 e 2 (combinações 9 e 8). No MDA, apresentam 0,013, valor inferior ao limite, apontando conformidade de acordo com esse teste. No caso do QQ, as combinações 9 e 8 superaram em 46% e 41% o limite crítico e, relação ao Teste Z, 100% e 200% o limite.

A combinação 4, de partidos de direita, também apresentou MDA igual a 0,014, inferior ao limite, indicando conformidade nesse critério.

Os últimos lugares foram ocupados pelas combinações 5 e 6, que superaram, respectivamente, o MDA em 20% e 26%, o QQ em 176% e 164% e o Teste Z em 400%.

No Teste dos Dois Primeiros Dígitos, ao contrário do teste anterior, os partidos de direita ficaram com as primeiras posições. Ocuparam as posições de 1 a 4, com as combinações 1, 3, 2 e 4. Superaram o valor limite entre 172% e 218% no MDA, entre 611% e 768% no QQ, e entre 280% e 460% no Teste Z.

Enfatiza-se que os valores obtidos pelas combinações dos partidos de esquerda superaram os limites do MDA em 218%, do QQ entre 674% e 727% e do Teste Z entre 460% e 540%.

Aqui também os últimos lugares foram ocupados pelas combinações 5 e 6, as quais apenas trocaram de ordem em relação ao Teste do Primeiro Dígito. Superaram o MDA em 263%, o QQ entre 884% e 964%, e o Teste Z entre 380% e 480%.

Em relação às regiões, as posições quase sempre se mantiveram em ambos os testes.

No Teste do Primeiro Dígito, a região nordeste pontuou dentro dos parâmetros estabelecidos tanto para o MDA, com 0,012 quanto para o Teste Z com uma ocorrência. O valor obtido no teste QQ ficou 8,5% acima do valor crítico (15,507). Portanto, foi a região que ficou mais bem colocada. As demais superaram os valores críticos, com destaque para o sudeste e as emendas nacionais que superaram, respectivamente, 13% e 40% o limite MDA, 252% e 246% o limite do teste QQ e 300% e 400% o limite do Teste Z.

No Teste dos Dois Primeiros Dígitos, todas as regiões apresentaram não conformidade à Lei de Benford. Quanto ao desempenho relativo de cada uma, as regiões compostas por centro-oeste e norte e centro-oeste e sul ficaram nas duas primeiras posições, superando os limites do Teste MDA em 127% e 172%, do teste QQ em 361% e 431%, e do Teste Z em 280% e 340%, respectivamente.

O nordeste ficou no meio termo, em terceiro lugar, superando em 172% o limite do teste MDA, em 496% do Teste QQ e em 380% do Teste Z.

As emendas do sudeste e as nacionais ficaram nas últimas posições. Superaram os limites, respectivamente, em 172% e 263% no MDA e 874% e 908% no QQ, e 460% e 360% no Teste Z.

Vale mencionar, ainda, interessante constatação acerca dos resultados do Teste Z no Teste dos Dois Primeiros Dígitos. Conforme pode ser observado nos apêndices A, B e C, os maiores valores desse teste tendem a serem múltiplos de 5 mil, ou seja, há preponderância entre as categorias que mais superaram o limite crítico nesse teste de resultados “cheios”, a exemplo de:

Conjunto total dos dados de 2020: dígitos 10, 20, 25, 30, 40, 50;

Emendas por espectro ideológico: 10, 20, 25, 30, 35, 40, 50;

Emendas por região: 10, 20, 30, 35, 40, 50, 70.

Essa tendência é corroborada pelos resultados do Teste da Soma, que na maioria dos casos, aponta concentração de valores nas categorias “cheias” aludidas.

Isso sugere um “ajuste” nos gastos para se atingir o valor máximo alocado. É natural que no momento da alocação dos recursos isso ocorra. No entanto, não o é na execução. Esse resultado parece com o resultado do “comportamento incremental”, que induz os órgãos e

entidades a gastarem todo o orçamento, mesmo que não realmente necessário (PROTÁSIO; BUGARIN; BUGARIN, 2004).<sup>12</sup>

Nessa perspectiva, enquanto no “comportamento incremental” os órgãos empenham para não perderem dinheiro com a chegada do final do exercício financeiro, no caso em tela o ajuste é realizado no valor liquidado, o que sugere que quem executa a obra pode estar majorando os valores para chegar ao valor máximo alocado.

Os resultados sugerem problemas em todas as amostras analisadas em relação ao padrão estipulado pela Lei de Benford. O Teste do Primeiro Dígito apresentou, em alguns casos, resultados de MDA abaixo do valor crítico de 0,015. Contudo, esse teste fornece uma visão geral dos dados, o Teste dos Dois Primeiros Dígitos é mais detalhista e fornece avaliação mais precisa, conforme Nigrini (2012).

Assim, os resultados dos testes associados ao Teste dos Dois Primeiros Dígitos foram unâimes em apontar a não conformidade de todas as amostras analisadas. Já em relação à graduação do nível de desconformidade, conforme exposto acima, as combinações de partidos de esquerda pontuaram melhor no Teste do Primeiro Dígito ao passo que os partidos de direita ocuparam as primeiras posições no Teste dos Dois Primeiros Dígitos.

Por fim, ressalta-se que a preponderância de números cheios entre aqueles que superaram os limites críticos nos testes Z e da Soma podem sugerir um “ajuste” nos gastos para atingir o valor máximo alocado. Em outras palavras, podem indicar superfaturamento de gastos.

#### **4.5      Resultados de trabalhos anteriores**

Trabalhos anteriores mostraram que as anormalidades apontadas pela Lei de Benford coincidiram fortemente com irregularidades identificadas por Tribunais de Contas quando da análise do mesmo conjunto de dados.

Nesse sentido, pesquisa de Cunha e Bugarin (2017) analisou a planilha da obra de reforma do Aeroporto Internacional de Minas Gerais utilizando algoritmo de seleção de amostras de auditoria baseado na Lei de Benford. Os resultados mostram que 86% do

<sup>12</sup> Segundo Protásio, Bugarin e Bugarin (2004, p.12), o “comportamento incremental” faz com que “a dotação orçamentária da unidade seja muitas vezes executada em sua totalidade, mesmo que não seja em gastos prioritários, para evitar que orçamentos futuros sofram reduções.”

sobrepreço identificado em auditoria do Tribunal de Contas da União utilizando a curva ABC como método de seleção de amostra foram apontados pelo algoritmo da Lei de Benford. Os autores também realizaram estudo analisando o sobrepreço da Arena Amazônia. Todos os testes aplicados (Teste Z, Qui-quadrado e Média dos Desvios Absolutos apontaram não conformidade dos dados com a Lei de Benford (CUNHA E BUGARIN, 2015). A aplicação do algoritmo baseado em Benford identificou 71,37% do sobrepreço apurado pelo TCU.

Ainda, pesquisa com a aplicação de algoritmo baseado na Lei de Benford na planilha orçamentária da obra do corredor Expresso DF Sul no Distrito Federal apontou 73,40% do superfaturamento apontado pelo Tribunal de Contas do Distrito Federal (CAFÉ, BUGARIN E PORTUGAL, 2021). Cunha e Bugarin (2014) avaliaram também as planilhas de preços da obra de reforma do Maracanã utilizando o algoritmo baseado na Lei de Benford. Os resultados apontaram boa conformidade marginal com o padrão de Benford. Contudo, identificaram-se 17 serviços da planilha que não apresentaram conformidade à Lei de Benford e corresponderam a 71,54% de sobrepreço identificado em auditoria realizada pelo TCU.

Mencionam-se, ainda, pesquisas que não contaram com comparação de resultados de auditorias de tribunais de contas sobre o mesmo objeto, mas que também analisaram gastos públicos:

Cavalcanti (2014) analisou gastos com cartões corporativos do governo federal do ano de 2013. Foram aplicados os testes da Soma, Score-Z, Qui-quadrado de Pearson, Kolmogorov-Smirnoff e DMA. Concluiu-se que os resultados dos testes apresentaram desvios estatisticamente significantes em relação ao padrão de Benford. Os resultados demonstraram que os gastos com cartões do governo federal não seguem a distribuição esperada do modelo, principalmente aquelas protegidas por sigilo legal, o que leva a crer que são necessárias análises detalhadas dessas despesas.

Já Costa et. al (2012) analisaram, a partir da aplicação dos testes do primeiro e segundo dígitos da Lei de Benford, 134.281 notas de empenho emitidas por 20 unidades gestoras de dois estados da região norte do país. Foram aplicados os testes Z e Qui-quadrado. Como resultados, para os primeiros dígitos, observou-se a ocorrência de maiores desvios para as notas de empenho iniciadas por 7 e 8 (excesso de ocorrências) e por 9 e 6 (escassez de ocorrências). Os autores interpretaram esse resultado como um possível comportamento de fuga à realização de licitações nos gastos públicos. Em relação aos segundos dígitos, verificou-se a ocorrências de desvios significativos positivos (excesso de ocorrência) apenas para os dígitos 0 e 5 como segundo dígitos, o que sugere a realização de arredondamentos nos valores nos valores dos empenhos.

A fim de possibilitar a comparação entre os resultados obtidos neste trabalho e aqueles obtidos nos trabalhos anteriores, apresentam-se as tabelas seguintes.

A Tabela 18 contém os resultados da pesquisa objeto desta dissertação. Ao passo que a Tabela 19 se refere aos trabalhos anteriores.

**Tabela 18 - Resultados**

|                                  | Teste do Primeiro Dígito |                | Teste dos Dois Primeiros Dígitos |                 |
|----------------------------------|--------------------------|----------------|----------------------------------|-----------------|
|                                  | QQ<br>(15,507)           | MDA<br>(0,015) | QQ<br>(112,022)                  | MDA<br>(0,0022) |
| Emendas                          |                          |                |                                  |                 |
| Conjunto total dos dados de 2020 | 118,530                  | 0,014          | 3190,626                         | 0,006           |
| Combinação 1                     | 48,822                   | 0,017          | 843,439                          | 0,006           |
| Combinação 2                     | 43,678                   | 0,016          | 972,826                          | 0,007           |
| Combinação 3                     | 28,311                   | 0,015          | 797,047                          | 0,006           |
| Combinação 4                     | 28,689                   | 0,014          | 873,539                          | 0,007           |
| Combinação 5                     | 42,823                   | 0,019          | 1192,632                         | 0,008           |
| Combinação 6                     | 40,969                   | 0,018          | 1102,674                         | 0,008           |
| Combinação 7                     | 26,532                   | 0,014          | 927,172                          | 0,007           |
| Combinação 8                     | 21,998                   | 0,013          | 861,837                          | 0,007           |
| Combinação 9                     | 22,667                   | 0,013          | 867,260                          | 0,007           |
| CO + N                           | 23,973                   | 0,014          | 517,159                          | 0,005           |
| CO + S                           | 35,753                   | 0,016          | 595,498                          | 0,006           |
| NA                               | 53,792                   | 0,021          | 1129,959                         | 0,008           |
| NE                               | 16,839                   | 0,012          | 668,336                          | 0,006           |
| SE                               | 54,689                   | 0,017          | 1091,860                         | 0,006           |

Fonte: Elaborado pelo autor.

**Tabela 19 - Resultados de trabalhos anteriores**

|                                 | Teste do Primeiro Dígito |                | Teste dos Dois Primeiros Dígitos |                 |
|---------------------------------|--------------------------|----------------|----------------------------------|-----------------|
| Trabalho anterior               | QQ<br>(15,507)           | MDA<br>(0,015) | QQ<br>(112,022)                  | MDA<br>(0,0022) |
| Aeroporto Internacional de MG   | -                        | -              | 166,43                           | 0,0022          |
| Arena Amazônia                  | 60,423                   | 0,016          | 663,711                          | 0,0049          |
| Expresso DF Sul                 | 17,54                    | 0,008          | 413,24                           | 0,0034          |
| Reforma do Maracanã             | -                        | -              | 106,65                           | 0,0032          |
| Gastos com cartões corporativos | 3.390,55                 | -              | 59.765,01                        | -               |
| Notas de empenho                | 3.214,32                 | -              | -                                | -               |

Fonte: Elaborado a partir dos trabalhos de Cavalcanti (2014), Costa et. al (2012), Cunha e Bugarin (2014; 2015; 2017); Café, Bugarin e Portugal (2021)

A partir da análise das tabelas 18 e 19, constata-se que, focando no Teste dos Dois Primeiros Dígitos, tanto Qui-quadrado como MDA, os resultados das análises das emendas mostram uma não conformidade sensivelmente maior que os outros estudos, com exceção dos cartões corporativos.

Conforme mencionado no início desta seção, naqueles casos em que os resultados foram comparados com auditorias realizadas por tribunais de contas, houve elevada correlação das anomalias apontadas pela Lei de Benford com a identificação de irregularidades.

Dessa forma, a desconformidade com a Lei de Benford é um indicador que sugere análises minuciosas daquele grupo de dados financeiros com o propósito de avaliar o que deu causa à discrepância. Isso permite o aperfeiçoamento dos controles a que os gastos públicos estão sujeitos em vários contextos, como por exemplo, durante a realização de licitações a partir da análise de planilhas de preços, ou por meio da despesa empenhada, liquidada ou paga.

## 5 CONCLUSÃO

Os gastos públicos com emendas parlamentares no período de 2015 a 2020 experimentaram um surpreendente aumento. A dinâmica responsável por esse incremento tem a ver com o contexto político do período. A piora da relação entre o chefe do poder Executivo e o Congresso Nacional levou a um novo balanceamento de forças - em favor do legislativo – no contexto do orçamento público. Evidência disso é a aprovação das EC 86/2015 e 100/2019, que tornaram obrigatória a execução das emendas parlamentares individuais e de bancada, respectivamente, bem como o aumento dos gastos discricionários com emendas do relator.

O presente trabalho buscou avaliar os gastos públicos federais com emendas parlamentares por meio da aplicação da Lei de Benford. Para tanto, utilizou-se como amostra os gastos com emendas do ano de 2020. A escolha desse ano se deu em razão de ter sido nele a ocorrência do maior valor da série histórica para gastos da espécie. A metodologia utilizada foi baseada em Bugarin e Cunha (2015), Cunha e Bugarin (2015), Cunha, Bugarin e Portugal (2016) e Nigrini (2012), englobando os Testes do Primeiro Dígito, dos Dois Primeiros Dígitos e o Teste da Soma, em associação aos testes estatísticos Teste Z, Qui-quadrado e Média dos Desvios absolutos (MDA).

Os dados foram analisados de três modos: o conjunto total dos dados de 2020; as emendas por espectro ideológico; e as emendas por região.

Os resultados mostraram que as emendas parlamentares do ano de 2020, do conjunto total dos dados de 2020, bem como agregadas por espectro ideológico e por região apresentaram “não conformidade” aos testes aplicados. Houve exceções em relação ao teste MDA, no teste do primeiro dígito. Contudo, os resultados do Teste dos Dois Primeiros Dígitos, que é mais específico que o anterior, portanto, mais adequado para auxiliar na detecção de números inventados, indicaram, em todos os casos, “não conformidade”. No caso do Teste Z, Nigrini (2012) afirma serem aceitáveis cinco ocorrências acima do valor crítico e houve, no mínimo, 19 ocorrências. No caso do Teste Qui-quadrado, todos os resultados foram acima do valor crítico estipulado tanto para o Teste do Primeiro Dígito como os Dois Primeiros Dígitos. Quanto ao MDA, Nigrini (2012) aponta como limite 0,0022 e o melhor desempenho pontuou 0,005, ou seja, 2,27 vezes superior àquele valor.

Os resultados de trabalhos anteriores mostram que as evidências de anomalias em relação ao padrão da Lei de Benford apresentam considerável correlação com irregularidades identificadas por tribunais de contas durante auditorias. Portanto, o uso da Lei de Benford se

constitui em valiosa ferramenta para a análise de gastos públicos, em especial, aqueles compostos por expressivo número de registros, posto que essa técnica permite a avaliação global do banco de dados.

Sugerem-se para pesquisas futuras aplicar a Lei de Benford aos dados das emendas parlamentares do período anterior às mudanças legislativas dos últimos anos (EC 86/2015 e 100/2019), compreendendo um exercício financeiro ou abrangendo maior período, bem como analisar se houve manutenção, aumento ou diminuição de casos de corrupção envolvendo recursos de emendas parlamentares após as mudanças referidas, além de outras evidências, como maior incidência de dispensa de licitação, maior direcionamento a obras de construção civil, média de valores por emenda maior ou menor que antes, entre outros.

## REFERÊNCIAS

ABRANCHES, Sérgio Henrique Hudson de. Presidencialismo de coalizão: o dilema institucional brasileiro. Publicado na Revista Dados Vol. 31, No. 1, 1988, 5-32.

BENFORD, Frank. “The Law of Anomalous Numbers.” *Proceedings of the American Philosophical Society*, vol. 78, no. 4, American Philosophical Society, 1938, pp. 551–572.

BRASIL (1988). Constituição da República Federativa do Brasil, de 05.10.1988. Disponível em: <[http://www.planalto.gov.br/ccivil\\_03/constituicao/constituicao.htm](http://www.planalto.gov.br/ccivil_03/constituicao/constituicao.htm)>. Acesso em : 10 Mar. 2022.

BRASIL (2006). Congresso Nacional. Resolução nº 1, de 21 de dezembro de 2006. Dispõe sobre a Comissão Mista Permanente a que se refere o § 1º do art. 166 da Constituição, bem como a tramitação das matérias a que se refere o mesmo artigo. Diário Oficial da União, Brasília, p. 4, seção 1, 26 dez. 2006.

BRASIL (2015). Emenda Constitucional n.º 86/2015, de 18.03.2015. Altera os arts. 165, 166 e 198 da Constituição Federal, para tornar obrigatória a execução da programação orçamentária que especifica. Brasília, 2015. Disponível em: <[http://www.planalto.gov.br/ccivil\\_03/constituicao/emendas/emc/emc86.htm](http://www.planalto.gov.br/ccivil_03/constituicao/emendas/emc/emc86.htm)>. Acesso em: 10 Mar. 2022.

BRASIL (2019). Emenda Constitucional n.º 100/2019, de 26.06.2019. Altera os arts. 165 e 166 da Constituição Federal para tornar obrigatória a execução da programação orçamentária proveniente de emendas de bancada de parlamentares de Estado ou do Distrito Federal. Brasília, 2019. Disponível em: <[http://www.planalto.gov.br/ccivil\\_03/constituicao/emendas/emc/emc100.htm](http://www.planalto.gov.br/ccivil_03/constituicao/emendas/emc/emc100.htm)>. Acesso em: 10 Mar. 2022.

BRASIL (2021). Universidade de Brasília, Decanato de Planejamento, Orçamento e Avaliação Institucional - DPO. Relatório de Execução Orçamentária 2020 e Lei Orçamentária Anual 2021. Disponível em <[http://dpo.unb.br/images/phocadownload/dor/relatorios/210521\\_LOA\\_2021\\_e\\_Execucao\\_LO\\_A\\_2020\\_CONSUNI.pdf](http://dpo.unb.br/images/phocadownload/dor/relatorios/210521_LOA_2021_e_Execucao_LO_A_2020_CONSUNI.pdf)>. Acesso em 10 abr. 2022.

BRASIL (2022). Portal da Transparência da CGU – Disponível em: <<http://www.portaltransparencia.gov.br/>>. Acesso em: 22 mar. 2022.

BRASIL (2020). Tribunal de Contas da União. Política Pública de Saneamento Básico: uma análise do orçamento do Governo Federal de 2015 a 2019.

BUGARIN, Maurício. COVID-19 e a inevitável Lei dos Números Anômalos: Resultados Preliminares. Revista Conceito Jurídico, ano IV, nº 46, outubro de 2020.

BUGARIN, Mauricio; Cunha, Flávia. “A didactic note on the use of Benford’s Law in public works auditing, with an application to the construction of the Brazilian “Amazon Arena” 2014 World Cup soccer stadium”. Economia (Yokohama), 66(1):23-55, 2015.

BUGARIN, Mauricio; CUNHA, Flávia. Lei de Benford aplicada à auditoria da reforma do Aeroporto Internacional de Minas Gerais. Revista do Setor Público, 2017.

CAFÉ, Renata Motta; BUGARIN, Mauricio; PORTUGAL, Adriana. “Auditoria de obras públicas e Lei de Benford – o caso do Expresso DF Sul no Distrito Federal”. Revista do Serviço Público, 2021.

CAVALCANTI, Gustavo Henrique de Vasconcellos. Aplicação da Lei de Newcomb-Benford na Identificação de Irregularidades: o exemplo dos gastos com cartões de pagamento do governo federal – CPGF. Disponível em <[https://repositorio.cgu.gov.br/bitstream/1/29781/13/Artigo\\_Lei\\_Newcomb\\_Bedford\\_identificacao\\_irregularidades.pdf](https://repositorio.cgu.gov.br/bitstream/1/29781/13/Artigo_Lei_Newcomb_Bedford_identificacao_irregularidades.pdf)>. Acesso em: 29 Mar. 2022.

CELLA, Ricardo Sartori; RECH, Ilírio José. Caso Petrobras: A Lei de Benford Poderia Detectar a Fraude? Revista de Gestão, Finanças e Contabilidade, ISSN 2238-5320, UNEB, Salvador, v. 7, n. 3, p. 86-104, set./dez., 2017.

COSTA, José Isídio de Freitas Costa; SANTOS, Josenildo dos; TRAVASSOS, Silvana Karina de Melo. Análise de Conformidade nos Gastos Públicos dos Entes Federativos: Aplicação da Lei de Newcomb-Benford para o Primeiro e Segundo Dígitos dos Gastos em Dois Estados Brasileiros. R. Cont. Fin. – USP, São Paulo, v. 23, n. 60, p. p. 187-198, set./out./nov./dez. 2012.

CRISAN, D.; IRIMIA, A.; GOTA, D.; MICLEA, L.; PUSCASIU, A.; STAN, O.; VALEAN, H. Analyzing Benford’s Law’s Powerful Applications in Image Forensics. Appl. Sci. 2021, 11, 11482. <https://doi.org/10.3390/app112311482>

CUNHA, F.C.R. (2013), “Aplicações da Lei Newcomb-Benford à Auditoria de Obras Públicas”. Dissertação (Mestrado em Regulação e Gestão de Negócios) – Universidade de Brasília, Brasília, 486p.

CUNHA, F.C.R; BUGARIN, M. S. Lei de Benford e Auditoria de Obras Públicas: uma análise de sobrepreço na reforma do Maracanã. Revista do TCU, (131), 46-53, 2014.

CUNHA, Flávia; BUGARIN, Mauricio. “Benford Law for audit of public works: An analysis of overpricing in Maracanã soccer arena’s renovation”. Economics Bulletin 35(2):A120-129, 2015.

CUNHA, Flávia C. R.; BUGARIN, Maurício S.; PORTUGAL, Adriana C. Seleção de amostra de auditoria de obras públicas pela Lei de Benford – versão estendida. IBRAOP, 2016.

FORSTER, Rubens Peres. Auditoria contábil em entidades do terceiro setor: uma aplicação da Lei Newcomb-Benford. 2006. Dissertação (Mestrado) – Programa Multiinstitucional e Inter-Regional da Universidade de Pós Graduação. Brasília, Brasília.

GIACOMONI, James. Orçamento Público. 14 ed. São Paulo: Atlas, 2009.

GIANTURCO, Adriano. A ciência da política: uma introdução. 3. Ed [2<sup>a</sup> Reimpr.]. – Rio de Janeiro: Forense Universitária, 2021.

GOLBECK, Jennifer (2015) Benford's Law Applies to Online Social Networks. PLoS ONE 10(8): e0135169. doi:10.1371/journal.pone.0135169

GREGGIANIN, Eugênio; SILVA, José de Ribamar Pereira da. O Orçamento Impositivo das Emendas Individuais – Disposições da Emenda Constitucional nº 86, de 2015, e da LDO 2015. Orçamento em discussão, n. 16, 2015.

HARTUNG, P., MENDES, M. e GIAMBIAGI, F. (2021) As emendas parlamentares como novo instrumento de captura do orçamento. Conjuntura Econômica, set/21. Disponível em: <[https://ibre.fgv.br/sites/ibre.fgv.br/files/arquivos/u65/09ce2021\\_macro\\_paulo\\_hartung.pdf](https://ibre.fgv.br/sites/ibre.fgv.br/files/arquivos/u65/09ce2021_macro_paulo_hartung.pdf)>. Acesso em 26 Jun 2022.

KIRA, Elisabeti; TEIXEIRA, Alexandre Cano. Lei de Benford e aplicações. IME/USP, 2009.

MENDES, Marcos. Emendas parlamentares e controle do orçamento pelo legislativo: uma comparação do Brasil com países da OCDE. Millenium papers, 2022.

NEWCOMB, Simon. Note on the Frequency of Use of the Different Digits in Natural Numbers. American Journal of Mathematics, Vol. 4, No. 1. (1881), pp. 39-40.

NIGRINI, M. J. (2012). Benford's law: applications for forensic accounting, auditing, and fraud detection, The Wiley Corporate F&A series.

PRADO, J. W.; ALCÂNTARA, V. C.; CORRÊA, U.; SANTOS, A. C.; CARVALHO, F. M. Em busca de Números Anômalos: Aplicação da lei de Newcomb-Benford em Notas de Empenho de um Instituto Federal. XVII International Conference in Accounting, USP, 2017.

PROTÁSIO, Carla; BUGARIN, Mauricio; BUGARIN, Mirta. “À Espera da Reforma Orçamentária: Um Mecanismo Temporário para Redução de Gastos Públicos”, Revista de Estudos Econômicos, 34(1):5-41, 2004.

RABELO, Érica da Silva Gomes. A Lei de Benford e Fraudes Eleitorais: O Caso das Eleições Presidenciais Brasileiras de 2014. Trabalho de Conclusão de Curso (Graduação em Ciências Econômicas) – Universidade de Brasília, Brasília, 2016, 95p.

RAMOS, P. C. Roxo; ELLERY JUNIOR, R. de Goes ; NASCIMENTO JUNIOR, Antônio. Lei de Benford e Inteligência artificial: uma integração no trabalho de auditoria em uma em uma perspectiva regional. DRPES, Goiânia, v.2, n. 1, janeiro/junho de 2021.

SILVA, José Antonio Barbosa da. Uma análise das implicações das Emendas Constitucionais nº86/2015, 100/2019 e 105/2019 para o federalismo (Monografia graduação em Ciência Política – Universidade de Brasília), 2021.

SILVA, Patrick. O pork barrel do Município de São Paulo: A produção legislativa dos vereadores paulistanos. Centros de Estudos da Metrópole, 2011.

SILVA, R. R. Oliveira da. Em busca de transparência: a Lei de Benford aplicada às despesas eleitorais. 2015. Trabalho de Conclusão de Curso (Graduação em Ciências Econômicas) – Universidade de Brasília, Brasília, 85p.

TRANSPARÊNCIA INTERNACIONAL. Índice de percepção da corrupção 2021. Disponível em <<https://comunidade.transparenciainternacional.org.br/indice-de-percepcao-da-corrupcao-2021>>. Acesso em: 20 mar 2021.

VIANA, Mayra Cruz. Lei de Benford aplicada aos números de casos e de mortes por COVID-19 no Brasil. Trabalho de Conclusão de Curso (Graduação em Ciências Econômicas) – Universidade de Brasília, Brasília, 2021, 149p.

VIEIRA, Alexandra da Silva. A Lei de Newcomb-Benford como critério de seleção amostral no processo de auditoria fiscal. Cad. Fin. Públ., Brasília, n. 14, p. 139-167, dez. 2014.

ZUCCO, Cesar; POWER, Timothy J. (2022); Elite Ideological Obfuscation in Post-Authoritarian Settings: The Transformation of the Brazilian Right. “under review”.

## APÊNDICE A – Testes aplicados ao conjunto total dos dados de 2020

**Tabela 20 - Conjunto total dos dados de 2020 - Aplicação do Teste do Primeiro Dígito**

| Dígito   | Contagem real (cr) | Contagem esperada (fb x N) | Frequência real (fr) | Benford (fb) | Diferença (fr - fb) | Teste Z | QQ      | MDA   |
|----------|--------------------|----------------------------|----------------------|--------------|---------------------|---------|---------|-------|
| <b>1</b> | 1418               | 1490,70                    | 0,286                | 0,301        | -0,015              | 2,237   | 3,546   | 0,015 |
| <b>2</b> | 1030               | 872,00                     | 0,208                | 0,176        | 0,032               | 5,876   | 28,627  | 0,032 |
| <b>3</b> | 650                | 618,70                     | 0,131                | 0,125        | 0,006               | 1,324   | 1,584   | 0,006 |
| <b>4</b> | 504                | 479,90                     | 0,102                | 0,097        | 0,005               | 1,134   | 1,210   | 0,005 |
| <b>5</b> | 489                | 392,11                     | 0,099                | 0,079        | 0,020               | 5,073   | 23,944  | 0,020 |
| <b>6</b> | 271                | 331,52                     | 0,055                | 0,067        | -0,012              | 3,413   | 11,048  | 0,012 |
| <b>7</b> | 222                | 287,18                     | 0,045                | 0,058        | -0,013              | 3,932   | 14,792  | 0,013 |
| <b>8</b> | 164                | 253,31                     | 0,033                | 0,051        | -0,018              | 5,728   | 31,487  | 0,018 |
| <b>9</b> | 204                | 226,80                     | 0,041                | 0,046        | -0,005              | 1,516   | 2,292   | 0,005 |
| <b>N</b> | 4952               |                            | 1,000                | 1,000        |                     |         | 118,530 | 0,014 |

Fonte: Elaborado pelo autor

**Tabela 21 - Conjunto total dos dados de 2020 - Aplicação do Teste dos Dois Primeiros Dígitos**

| Dígito | Contagem real | Contagem esperada (fb x N) | Frequência real (fr) | Benford (fb) | Diferença (fr - fb) | Teste Z | QQ      | MDA   |
|--------|---------------|----------------------------|----------------------|--------------|---------------------|---------|---------|-------|
| 10     | 477           | 204,977                    | 0,096                | 0,041        | 0,055               | 19,370  | 361,001 | 0,055 |
| 11     | 108           | 187,129                    | 0,022                | 0,038        | -0,016              | 5,860   | 33,460  | 0,016 |
| 12     | 113           | 172,142                    | 0,023                | 0,035        | -0,012              | 4,549   | 20,319  | 0,012 |
| 13     | 84            | 159,379                    | 0,017                | 0,032        | -0,015              | 6,029   | 35,651  | 0,015 |
| 14     | 115           | 148,378                    | 0,023                | 0,030        | -0,007              | 2,740   | 7,508   | 0,007 |
| 15     | 200           | 138,798                    | 0,040                | 0,028        | 0,012               | 5,226   | 26,986  | 0,012 |
| 16     | 63            | 130,381                    | 0,013                | 0,026        | -0,014              | 5,936   | 34,822  | 0,014 |
| 17     | 83            | 122,926                    | 0,017                | 0,025        | -0,008              | 3,601   | 12,968  | 0,008 |
| 18     | 75            | 116,278                    | 0,015                | 0,023        | -0,008              | 3,827   | 14,654  | 0,008 |
| 19     | 100           | 110,313                    | 0,020                | 0,022        | -0,002              | 0,945   | 0,964   | 0,002 |
| 20     | 288           | 104,929                    | 0,058                | 0,021        | 0,037               | 18,015  | 319,404 | 0,037 |
| 21     | 151           | 100,047                    | 0,030                | 0,020        | 0,010               | 5,096   | 25,950  | 0,010 |
| 22     | 65            | 95,599                     | 0,013                | 0,019        | -0,006              | 3,109   | 9,794   | 0,006 |
| 23     | 49            | 91,530                     | 0,010                | 0,018        | -0,009              | 4,434   | 19,762  | 0,009 |
| 24     | 73            | 87,793                     | 0,015                | 0,018        | -0,003              | 1,539   | 2,493   | 0,003 |

|    |     |        |       |       |        |        |          |       |
|----|-----|--------|-------|-------|--------|--------|----------|-------|
| 25 | 174 | 84,349 | 0,035 | 0,017 | 0,018  | 9,791  | 95,286   | 0,018 |
| 26 | 41  | 81,165 | 0,008 | 0,016 | -0,008 | 4,439  | 19,876   | 0,008 |
| 27 | 48  | 78,213 | 0,010 | 0,016 | -0,006 | 3,387  | 11,671   | 0,006 |
| 28 | 56  | 75,468 | 0,011 | 0,015 | -0,004 | 2,200  | 5,022    | 0,004 |
| 29 | 85  | 72,910 | 0,017 | 0,015 | 0,002  | 1,368  | 2,005    | 0,002 |
| 30 | 207 | 70,519 | 0,042 | 0,014 | 0,028  | 16,310 | 264,145  | 0,028 |
| 31 | 32  | 68,280 | 0,006 | 0,014 | -0,007 | 4,360  | 19,277   | 0,007 |
| 32 | 35  | 66,178 | 0,007 | 0,013 | -0,006 | 3,797  | 14,689   | 0,006 |
| 33 | 33  | 64,203 | 0,007 | 0,013 | -0,006 | 3,857  | 15,165   | 0,006 |
| 34 | 51  | 62,341 | 0,010 | 0,013 | -0,002 | 1,382  | 2,063    | 0,002 |
| 35 | 123 | 60,585 | 0,025 | 0,012 | 0,013  | 8,004  | 64,300   | 0,013 |
| 36 | 27  | 58,925 | 0,005 | 0,012 | -0,006 | 4,118  | 17,297   | 0,006 |
| 37 | 43  | 57,353 | 0,009 | 0,012 | -0,003 | 1,840  | 3,592    | 0,003 |
| 38 | 35  | 55,864 | 0,007 | 0,011 | -0,004 | 2,740  | 7,792    | 0,004 |
| 39 | 64  | 54,449 | 0,013 | 0,011 | 0,002  | 1,233  | 1,675    | 0,002 |
| 40 | 132 | 53,105 | 0,027 | 0,011 | 0,016  | 10,816 | 117,212  | 0,016 |
| 41 | 26  | 51,825 | 0,005 | 0,010 | -0,005 | 3,536  | 12,869   | 0,005 |
| 42 | 68  | 50,605 | 0,014 | 0,010 | 0,004  | 2,387  | 5,979    | 0,004 |
| 43 | 27  | 49,442 | 0,005 | 0,010 | -0,005 | 3,136  | 10,186   | 0,005 |
| 44 | 34  | 48,331 | 0,007 | 0,010 | -0,003 | 1,999  | 4,249    | 0,003 |
| 45 | 61  | 47,268 | 0,012 | 0,010 | 0,003  | 1,934  | 3,989    | 0,003 |
| 46 | 23  | 46,252 | 0,005 | 0,009 | -0,005 | 3,361  | 11,689   | 0,005 |
| 47 | 38  | 45,278 | 0,008 | 0,009 | -0,001 | 1,012  | 1,170    | 0,001 |
| 48 | 34  | 44,344 | 0,007 | 0,009 | -0,002 | 1,485  | 2,413    | 0,002 |
| 49 | 61  | 43,448 | 0,012 | 0,009 | 0,004  | 2,598  | 7,090    | 0,004 |
| 50 | 268 | 42,588 | 0,054 | 0,009 | 0,046  | 34,613 | 1193,071 | 0,046 |
| 51 | 18  | 41,761 | 0,004 | 0,008 | -0,005 | 3,615  | 13,519   | 0,005 |
| 52 | 22  | 40,966 | 0,004 | 0,008 | -0,004 | 2,897  | 8,780    | 0,004 |
| 53 | 21  | 40,200 | 0,004 | 0,008 | -0,004 | 2,961  | 9,170    | 0,004 |
| 54 | 26  | 39,462 | 0,005 | 0,008 | -0,003 | 2,072  | 4,592    | 0,003 |
| 55 | 33  | 38,751 | 0,007 | 0,008 | -0,001 | 0,847  | 0,854    | 0,001 |
| 56 | 17  | 38,065 | 0,003 | 0,008 | -0,004 | 3,346  | 11,657   | 0,004 |
| 57 | 23  | 37,403 | 0,005 | 0,008 | -0,003 | 2,282  | 5,546    | 0,003 |
| 58 | 24  | 36,764 | 0,005 | 0,007 | -0,003 | 2,030  | 4,431    | 0,003 |
| 59 | 37  | 36,146 | 0,007 | 0,007 | 0,000  | 0,059  | 0,020    | 0,000 |
| 60 | 75  | 35,548 | 0,015 | 0,007 | 0,008  | 6,557  | 43,784   | 0,008 |
| 61 | 20  | 34,970 | 0,004 | 0,007 | -0,003 | 2,456  | 6,409    | 0,003 |
| 62 | 20  | 34,411 | 0,004 | 0,007 | -0,003 | 2,380  | 6,035    | 0,003 |
| 63 | 24  | 33,869 | 0,005 | 0,007 | -0,002 | 1,615  | 2,876    | 0,002 |
| 64 | 22  | 33,344 | 0,004 | 0,007 | -0,002 | 1,884  | 3,859    | 0,002 |
| 65 | 36  | 32,835 | 0,007 | 0,007 | 0,001  | 0,467  | 0,305    | 0,001 |
| 66 | 18  | 32,341 | 0,004 | 0,007 | -0,003 | 2,442  | 6,359    | 0,003 |
| 67 | 20  | 31,862 | 0,004 | 0,006 | -0,002 | 2,019  | 4,416    | 0,002 |

|    |      |        |       |       |        |       |          |       |
|----|------|--------|-------|-------|--------|-------|----------|-------|
| 68 | 8    | 31,397 | 0,002 | 0,006 | -0,005 | 4,099 | 17,435   | 0,005 |
| 69 | 28   | 30,945 | 0,006 | 0,006 | -0,001 | 0,441 | 0,280    | 0,001 |
| 70 | 55   | 30,506 | 0,011 | 0,006 | 0,005  | 4,358 | 19,667   | 0,005 |
| 71 | 14   | 30,079 | 0,003 | 0,006 | -0,003 | 2,849 | 8,595    | 0,003 |
| 72 | 16   | 29,664 | 0,003 | 0,006 | -0,003 | 2,424 | 6,294    | 0,003 |
| 73 | 8    | 29,261 | 0,002 | 0,006 | -0,004 | 3,849 | 15,448   | 0,004 |
| 74 | 23   | 28,868 | 0,005 | 0,006 | -0,001 | 1,002 | 1,193    | 0,001 |
| 75 | 26   | 28,486 | 0,005 | 0,006 | -0,001 | 0,373 | 0,217    | 0,001 |
| 76 | 24   | 28,113 | 0,005 | 0,006 | -0,001 | 0,683 | 0,602    | 0,001 |
| 77 | 13   | 27,750 | 0,003 | 0,006 | -0,003 | 2,713 | 7,840    | 0,003 |
| 78 | 7    | 27,397 | 0,001 | 0,006 | -0,004 | 3,812 | 15,185   | 0,004 |
| 79 | 36   | 27,052 | 0,007 | 0,005 | 0,002  | 1,629 | 2,960    | 0,002 |
| 80 | 52   | 26,716 | 0,011 | 0,005 | 0,005  | 4,808 | 23,928   | 0,005 |
| 81 | 10   | 26,388 | 0,002 | 0,005 | -0,003 | 3,101 | 10,178   | 0,003 |
| 82 | 14   | 26,069 | 0,003 | 0,005 | -0,002 | 2,272 | 5,587    | 0,002 |
| 83 | 8    | 25,756 | 0,002 | 0,005 | -0,004 | 3,409 | 12,241   | 0,004 |
| 84 | 24   | 25,451 | 0,005 | 0,005 | 0,000  | 0,189 | 0,083    | 0,000 |
| 85 | 15   | 25,154 | 0,003 | 0,005 | -0,002 | 1,930 | 4,099    | 0,002 |
| 86 | 6    | 24,863 | 0,001 | 0,005 | -0,004 | 3,692 | 14,311   | 0,004 |
| 87 | 9    | 24,579 | 0,002 | 0,005 | -0,003 | 3,049 | 9,874    | 0,003 |
| 88 | 15   | 24,301 | 0,003 | 0,005 | -0,002 | 1,790 | 3,560    | 0,002 |
| 89 | 11   | 24,030 | 0,002 | 0,005 | -0,003 | 2,562 | 7,065    | 0,003 |
| 90 | 32   | 23,764 | 0,006 | 0,005 | 0,002  | 1,591 | 2,854    | 0,002 |
| 91 | 12   | 23,504 | 0,002 | 0,005 | -0,002 | 2,275 | 5,631    | 0,002 |
| 92 | 21   | 23,250 | 0,004 | 0,005 | 0,000  | 0,364 | 0,218    | 0,000 |
| 93 | 13   | 23,002 | 0,003 | 0,005 | -0,002 | 1,986 | 4,349    | 0,002 |
| 94 | 21   | 22,758 | 0,004 | 0,005 | 0,000  | 0,264 | 0,136    | 0,000 |
| 95 | 19   | 22,520 | 0,004 | 0,005 | -0,001 | 0,638 | 0,550    | 0,001 |
| 96 | 13   | 22,286 | 0,003 | 0,005 | -0,002 | 1,865 | 3,870    | 0,002 |
| 97 | 17   | 22,058 | 0,003 | 0,004 | -0,001 | 0,973 | 1,160    | 0,001 |
| 98 | 18   | 21,834 | 0,004 | 0,004 | -0,001 | 0,715 | 0,673    | 0,001 |
| 99 | 38   | 21,615 | 0,008 | 0,004 | 0,003  | 3,424 | 12,421   | 0,003 |
| N  | 4952 |        | 1,000 | 1,000 |        |       | 3190,626 | 0,006 |

Fonte: Elaborado pelo autor

**Tabela 22 - Conjunto total dos dados de 2020 - Teste da Soma**

| Dígitos | Soma (R\$)     | Proporção | Benford | Dígitos | Soma (R\$)     | Proporção | Benford |
|---------|----------------|-----------|---------|---------|----------------|-----------|---------|
| 10      | 659.108.136,89 | 0,039     | 0,011   | 55      | 201.096.180,81 | 0,012     | 0,011   |
| 11      | 447.133.483,56 | 0,027     | 0,011   | 56      | 77.447.618,33  | 0,005     | 0,011   |
| 12      | 329.488.315,20 | 0,020     | 0,011   | 57      | 67.580.159,30  | 0,004     | 0,011   |
| 13      | 423.906.793,22 | 0,025     | 0,011   | 58      | 102.861.517,25 | 0,006     | 0,011   |

|    |                  |       |       |    |                |       |       |
|----|------------------|-------|-------|----|----------------|-------|-------|
| 14 | 144.742.581,67   | 0,009 | 0,011 | 59 | 131.141.547,14 | 0,008 | 0,011 |
| 15 | 616.679.673,65   | 0,037 | 0,011 | 60 | 252.459.333,06 | 0,015 | 0,011 |
| 16 | 201.950.419,58   | 0,012 | 0,011 | 61 | 161.946.363,29 | 0,010 | 0,011 |
| 17 | 590.554.673,64   | 0,035 | 0,011 | 62 | 178.159.087,64 | 0,011 | 0,011 |
| 18 | 295.027.807,09   | 0,018 | 0,011 | 63 | 51.731.423,75  | 0,003 | 0,011 |
| 19 | 376.674.521,73   | 0,023 | 0,011 | 64 | 57.533.061,14  | 0,003 | 0,011 |
| 20 | 469.785.156,80   | 0,028 | 0,011 | 65 | 65.359.715,50  | 0,004 | 0,011 |
| 21 | 104.752.051,59   | 0,006 | 0,011 | 66 | 241.087.414,75 | 0,014 | 0,011 |
| 22 | 190.748.744,12   | 0,011 | 0,011 | 67 | 118.527.651,64 | 0,007 | 0,011 |
| 23 | 158.370.249,19   | 0,009 | 0,011 | 68 | 2.840.794,10   | 0,000 | 0,011 |
| 24 | 99.829.352,03    | 0,006 | 0,011 | 69 | 124.422.485,12 | 0,007 | 0,011 |
| 25 | 1.103.429.133,94 | 0,066 | 0,011 | 70 | 158.395.862,59 | 0,009 | 0,011 |
| 26 | 76.280.632,47    | 0,005 | 0,011 | 71 | 105.340.104,86 | 0,006 | 0,011 |
| 27 | 104.879.317,67   | 0,006 | 0,011 | 72 | 113.480.126,68 | 0,007 | 0,011 |
| 28 | 444.303.321,10   | 0,027 | 0,011 | 73 | 10.457.902,28  | 0,001 | 0,011 |
| 29 | 217.007.091,05   | 0,013 | 0,011 | 74 | 227.784.804,77 | 0,014 | 0,011 |
| 30 | 217.866.398,55   | 0,013 | 0,011 | 75 | 52.483.390,95  | 0,003 | 0,011 |
| 31 | 83.020.856,87    | 0,005 | 0,011 | 76 | 68.390.092,01  | 0,004 | 0,011 |
| 32 | 141.200.467,40   | 0,008 | 0,011 | 77 | 57.382.107,33  | 0,003 | 0,011 |
| 33 | 220.883.197,47   | 0,013 | 0,011 | 78 | 17.250.322,02  | 0,001 | 0,011 |
| 34 | 326.806.317,74   | 0,020 | 0,011 | 79 | 212.979.911,38 | 0,013 | 0,011 |
| 35 | 212.841.008,34   | 0,013 | 0,011 | 80 | 70.995.566,08  | 0,004 | 0,011 |
| 36 | 430.074.958,28   | 0,026 | 0,011 | 81 | 182.843.186,54 | 0,011 | 0,011 |
| 37 | 505.112.142,00   | 0,030 | 0,011 | 82 | 30.690.807,73  | 0,002 | 0,011 |
| 38 | 119.201.210,95   | 0,007 | 0,011 | 83 | 42.746.118,90  | 0,003 | 0,011 |
| 39 | 148.602.278,38   | 0,009 | 0,011 | 84 | 21.613.452,73  | 0,001 | 0,011 |
| 40 | 320.667.306,40   | 0,019 | 0,011 | 85 | 10.493.808,01  | 0,001 | 0,011 |
| 41 | 122.251.372,43   | 0,007 | 0,011 | 86 | 18.273.669,67  | 0,001 | 0,011 |
| 42 | 123.819.654,95   | 0,007 | 0,011 | 87 | 4.720.059,62   | 0,000 | 0,011 |
| 43 | 155.831.107,95   | 0,009 | 0,011 | 88 | 84.217.107,19  | 0,005 | 0,011 |
| 44 | 194.926.763,73   | 0,012 | 0,011 | 89 | 30.727.498,92  | 0,002 | 0,011 |
| 45 | 133.567.095,41   | 0,008 | 0,011 | 90 | 133.171.142,09 | 0,008 | 0,011 |
| 46 | 54.488.463,63    | 0,003 | 0,011 | 91 | 41.543.094,09  | 0,002 | 0,011 |
| 47 | 126.343.452,63   | 0,008 | 0,011 | 92 | 247.118.256,26 | 0,015 | 0,011 |
| 48 | 95.483.902,97    | 0,006 | 0,011 | 93 | 32.023.624,13  | 0,002 | 0,011 |
| 49 | 127.617.443,16   | 0,008 | 0,011 | 94 | 10.127.424,57  | 0,001 | 0,011 |
| 50 | 321.124.137,97   | 0,019 | 0,011 | 95 | 163.162.018,36 | 0,010 | 0,011 |
| 51 | 89.521.757,60    | 0,005 | 0,011 | 96 | 33.155.837,95  | 0,002 | 0,011 |
| 52 | 103.208.830,91   | 0,006 | 0,011 | 97 | 983.503.640,15 | 0,059 | 0,011 |
| 53 | 149.142.630,02   | 0,009 | 0,011 | 98 | 36.068.245,21  | 0,002 | 0,011 |
| 54 | 64.913.011,29    | 0,004 | 0,011 | 99 | 11.779.311,21  | 0,001 | 0,011 |

Fonte: Elaborado pelo autor

## APÊNDICE B – Testes aplicados às emendas por espectro ideológico

**Tabela 23 - Combinação 1 - Teste do Primeiro Dígito**

| Dígito   | Contagem real (cr) | Contagem esperada (fb x N) | Frequência real (fr) | Benford (fb) | Diferença (fr - fb) | Teste Z | QQ     | MDA   |
|----------|--------------------|----------------------------|----------------------|--------------|---------------------|---------|--------|-------|
| <b>1</b> | 322                | 334,44                     | 0,290                | 0,301        | -0,011              | 0,781   | 0,463  | 0,011 |
| <b>2</b> | 232                | 195,64                     | 0,209                | 0,176        | 0,033               | 2,825   | 6,759  | 0,033 |
| <b>3</b> | 142                | 138,81                     | 0,128                | 0,125        | 0,003               | 0,244   | 0,073  | 0,003 |
| <b>4</b> | 123                | 107,67                     | 0,111                | 0,097        | 0,014               | 1,504   | 2,184  | 0,014 |
| <b>5</b> | 119                | 87,97                      | 0,107                | 0,079        | 0,028               | 3,392   | 10,945 | 0,028 |
| <b>6</b> | 56                 | 74,38                      | 0,050                | 0,067        | -0,017              | 2,146   | 4,541  | 0,017 |
| <b>7</b> | 56                 | 64,43                      | 0,050                | 0,058        | -0,008              | 1,018   | 1,103  | 0,008 |
| <b>8</b> | 24                 | 56,83                      | 0,022                | 0,051        | -0,030              | 4,403   | 18,966 | 0,030 |
| <b>9</b> | 37                 | 50,88                      | 0,033                | 0,046        | -0,012              | 1,921   | 3,788  | 0,012 |
| <b>N</b> | 1111               |                            | 1,000                | 1,000        |                     |         | 48,822 | 0,017 |

Fonte: Elaborado pelo autor

**Tabela 24 – Combinação 1 - Teste dos Dois Primeiros Dígitos**

| Dígito | Contagem real | Contagem esperada (fb x N) | Frequência real (fr) | Benford (fb) | Diferença (fr - fb) | Teste Z | QQ      | MDA   |
|--------|---------------|----------------------------|----------------------|--------------|---------------------|---------|---------|-------|
| 10     | 114           | 45,987                     | 0,103                | 0,041        | 0,061               | 10,168  | 100,587 | 0,061 |
| 11     | 24            | 41,983                     | 0,022                | 0,038        | -0,016              | 2,751   | 7,703   | 0,016 |
| 12     | 22            | 38,621                     | 0,020                | 0,035        | -0,015              | 2,640   | 7,153   | 0,015 |
| 13     | 13            | 35,757                     | 0,012                | 0,032        | -0,020              | 3,783   | 14,484  | 0,020 |
| 14     | 23            | 33,289                     | 0,021                | 0,030        | -0,009              | 1,723   | 3,180   | 0,009 |
| 15     | 46            | 31,140                     | 0,041                | 0,028        | 0,013               | 2,610   | 7,091   | 0,013 |
| 16     | 18            | 29,251                     | 0,016                | 0,026        | -0,010              | 2,015   | 4,328   | 0,010 |
| 17     | 20            | 27,579                     | 0,018                | 0,025        | -0,007              | 1,365   | 2,083   | 0,007 |
| 18     | 16            | 26,087                     | 0,014                | 0,023        | -0,009              | 1,900   | 3,901   | 0,009 |
| 19     | 26            | 24,749                     | 0,023                | 0,022        | 0,001               | 0,153   | 0,063   | 0,001 |
| 20     | 56            | 23,541                     | 0,050                | 0,021        | 0,029               | 6,658   | 44,754  | 0,029 |
| 21     | 36            | 22,446                     | 0,032                | 0,020        | 0,012               | 2,784   | 8,185   | 0,012 |
| 22     | 18            | 21,448                     | 0,016                | 0,019        | -0,003              | 0,643   | 0,554   | 0,003 |
| 23     | 8             | 20,535                     | 0,007                | 0,018        | -0,011              | 2,681   | 7,652   | 0,011 |
| 24     | 21            | 19,697                     | 0,019                | 0,018        | 0,001               | 0,183   | 0,086   | 0,001 |
| 25     | 41            | 18,924                     | 0,037                | 0,017        | 0,020               | 5,003   | 25,753  | 0,020 |

|    |    |        |       |       |        |        |         |       |
|----|----|--------|-------|-------|--------|--------|---------|-------|
| 26 | 8  | 18,210 | 0,007 | 0,016 | -0,009 | 2,294  | 5,724   | 0,009 |
| 27 | 9  | 17,547 | 0,008 | 0,016 | -0,008 | 1,936  | 4,163   | 0,008 |
| 28 | 14 | 16,932 | 0,013 | 0,015 | -0,003 | 0,595  | 0,508   | 0,003 |
| 29 | 21 | 16,358 | 0,019 | 0,015 | 0,004  | 1,032  | 1,318   | 0,004 |
| 30 | 49 | 15,821 | 0,044 | 0,014 | 0,030  | 8,275  | 69,580  | 0,030 |
| 31 | 4  | 15,319 | 0,004 | 0,014 | -0,010 | 2,783  | 8,363   | 0,010 |
| 32 | 9  | 14,847 | 0,008 | 0,013 | -0,005 | 1,397  | 2,303   | 0,005 |
| 33 | 5  | 14,404 | 0,005 | 0,013 | -0,008 | 2,361  | 6,140   | 0,008 |
| 34 | 7  | 13,987 | 0,006 | 0,013 | -0,006 | 1,745  | 3,490   | 0,006 |
| 35 | 31 | 13,592 | 0,028 | 0,012 | 0,016  | 4,614  | 22,293  | 0,016 |
| 36 | 7  | 13,220 | 0,006 | 0,012 | -0,006 | 1,583  | 2,927   | 0,006 |
| 37 | 11 | 12,867 | 0,010 | 0,012 | -0,002 | 0,383  | 0,271   | 0,002 |
| 38 | 7  | 12,533 | 0,006 | 0,011 | -0,005 | 1,430  | 2,443   | 0,005 |
| 39 | 12 | 12,216 | 0,011 | 0,011 | 0,000  | 0,062  | 0,004   | 0,000 |
| 40 | 36 | 11,914 | 0,032 | 0,011 | 0,022  | 6,870  | 48,692  | 0,022 |
| 41 | 5  | 11,627 | 0,005 | 0,010 | -0,006 | 1,806  | 3,777   | 0,006 |
| 42 | 15 | 11,353 | 0,014 | 0,010 | 0,003  | 0,939  | 1,171   | 0,003 |
| 43 | 7  | 11,092 | 0,006 | 0,010 | -0,004 | 1,084  | 1,510   | 0,004 |
| 44 | 9  | 10,843 | 0,008 | 0,010 | -0,002 | 0,410  | 0,313   | 0,002 |
| 45 | 10 | 10,605 | 0,009 | 0,010 | -0,001 | 0,032  | 0,034   | 0,001 |
| 46 | 7  | 10,377 | 0,006 | 0,009 | -0,003 | 0,897  | 1,099   | 0,003 |
| 47 | 11 | 10,158 | 0,010 | 0,009 | 0,001  | 0,108  | 0,070   | 0,001 |
| 48 | 9  | 9,949  | 0,008 | 0,009 | -0,001 | 0,143  | 0,090   | 0,001 |
| 49 | 14 | 9,748  | 0,013 | 0,009 | 0,004  | 1,207  | 1,855   | 0,004 |
| 50 | 66 | 9,555  | 0,059 | 0,009 | 0,051  | 18,177 | 333,452 | 0,051 |
| 51 | 4  | 9,369  | 0,004 | 0,008 | -0,005 | 1,598  | 3,077   | 0,005 |
| 52 | 4  | 9,191  | 0,004 | 0,008 | -0,005 | 1,554  | 2,932   | 0,005 |
| 53 | 3  | 9,019  | 0,003 | 0,008 | -0,005 | 1,845  | 4,017   | 0,005 |
| 54 | 10 | 8,853  | 0,009 | 0,008 | 0,001  | 0,218  | 0,148   | 0,001 |
| 55 | 2  | 8,694  | 0,002 | 0,008 | -0,006 | 2,109  | 5,154   | 0,006 |
| 56 | 3  | 8,540  | 0,003 | 0,008 | -0,005 | 1,731  | 3,594   | 0,005 |
| 57 | 9  | 8,392  | 0,008 | 0,008 | 0,001  | 0,038  | 0,044   | 0,001 |
| 58 | 5  | 8,248  | 0,005 | 0,007 | -0,003 | 0,960  | 1,279   | 0,003 |
| 59 | 13 | 8,109  | 0,012 | 0,007 | 0,004  | 1,547  | 2,949   | 0,004 |
| 60 | 11 | 7,975  | 0,010 | 0,007 | 0,003  | 0,897  | 1,147   | 0,003 |
| 61 | 3  | 7,846  | 0,003 | 0,007 | -0,004 | 1,557  | 2,993   | 0,004 |
| 62 | 6  | 7,720  | 0,005 | 0,007 | -0,002 | 0,441  | 0,383   | 0,002 |
| 63 | 8  | 7,599  | 0,007 | 0,007 | 0,000  | 0,146  | 0,021   | 0,000 |
| 64 | 7  | 7,481  | 0,006 | 0,007 | 0,000  | 0,176  | 0,031   | 0,000 |
| 65 | 5  | 7,367  | 0,005 | 0,007 | -0,002 | 0,690  | 0,760   | 0,002 |
| 66 | 4  | 7,256  | 0,004 | 0,007 | -0,003 | 1,026  | 1,461   | 0,003 |
| 67 | 3  | 7,148  | 0,003 | 0,006 | -0,004 | 1,369  | 2,407   | 0,004 |
| 68 | 4  | 7,044  | 0,004 | 0,006 | -0,003 | 0,962  | 1,315   | 0,003 |

|    |      |       |       |       |        |       |         |       |
|----|------|-------|-------|-------|--------|-------|---------|-------|
| 69 | 5    | 6,943 | 0,005 | 0,006 | -0,002 | 0,549 | 0,544   | 0,002 |
| 70 | 10   | 6,844 | 0,009 | 0,006 | 0,003  | 1,018 | 1,455   | 0,003 |
| 71 | 6    | 6,748 | 0,005 | 0,006 | -0,001 | 0,096 | 0,083   | 0,001 |
| 72 | 5    | 6,655 | 0,005 | 0,006 | -0,001 | 0,449 | 0,412   | 0,001 |
| 73 | 3    | 6,565 | 0,003 | 0,006 | -0,003 | 1,200 | 1,936   | 0,003 |
| 74 | 4    | 6,477 | 0,004 | 0,006 | -0,002 | 0,779 | 0,947   | 0,002 |
| 75 | 6    | 6,391 | 0,005 | 0,006 | 0,000  | 0,155 | 0,024   | 0,000 |
| 76 | 6    | 6,307 | 0,005 | 0,006 | 0,000  | 0,123 | 0,015   | 0,000 |
| 77 | 3    | 6,226 | 0,003 | 0,006 | -0,003 | 1,096 | 1,671   | 0,003 |
| 78 | 2    | 6,147 | 0,002 | 0,006 | -0,004 | 1,475 | 2,797   | 0,004 |
| 79 | 11   | 6,069 | 0,010 | 0,005 | 0,004  | 1,803 | 4,006   | 0,004 |
| 80 | 9    | 5,994 | 0,008 | 0,005 | 0,003  | 1,026 | 1,508   | 0,003 |
| 81 | 1    | 5,920 | 0,001 | 0,005 | -0,004 | 1,822 | 4,089   | 0,004 |
| 82 | 2    | 5,849 | 0,002 | 0,005 | -0,003 | 1,388 | 2,532   | 0,003 |
| 83 | 0    | 5,779 | 0,000 | 0,005 | -0,005 | 2,202 | 5,779   | 0,005 |
| 84 | 2    | 5,710 | 0,002 | 0,005 | -0,003 | 1,347 | 2,411   | 0,003 |
| 85 | 1    | 5,643 | 0,001 | 0,005 | -0,004 | 1,749 | 3,821   | 0,004 |
| 86 | 2    | 5,578 | 0,002 | 0,005 | -0,003 | 1,307 | 2,295   | 0,003 |
| 87 | 2    | 5,514 | 0,002 | 0,005 | -0,003 | 1,287 | 2,240   | 0,003 |
| 88 | 3    | 5,452 | 0,003 | 0,005 | -0,002 | 0,838 | 1,103   | 0,002 |
| 89 | 2    | 5,391 | 0,002 | 0,005 | -0,003 | 1,248 | 2,133   | 0,003 |
| 90 | 6    | 5,332 | 0,005 | 0,005 | 0,001  | 0,073 | 0,084   | 0,001 |
| 91 | 1    | 5,273 | 0,001 | 0,005 | -0,004 | 1,647 | 3,463   | 0,004 |
| 92 | 3    | 5,216 | 0,003 | 0,005 | -0,002 | 0,753 | 0,942   | 0,002 |
| 93 | 6    | 5,160 | 0,005 | 0,005 | 0,001  | 0,150 | 0,137   | 0,001 |
| 94 | 4    | 5,106 | 0,004 | 0,005 | -0,001 | 0,269 | 0,240   | 0,001 |
| 95 | 4    | 5,052 | 0,004 | 0,005 | -0,001 | 0,246 | 0,219   | 0,001 |
| 96 | 1    | 5,000 | 0,001 | 0,005 | -0,004 | 1,569 | 3,200   | 0,004 |
| 97 | 4    | 4,949 | 0,004 | 0,004 | -0,001 | 0,202 | 0,182   | 0,001 |
| 98 | 4    | 4,899 | 0,004 | 0,004 | -0,001 | 0,180 | 0,165   | 0,001 |
| 99 | 4    | 4,849 | 0,004 | 0,004 | -0,001 | 0,159 | 0,149   | 0,001 |
| N  | 1111 |       | 1,000 | 1,000 |        |       | 843,439 | 0,006 |

Fonte: Elaborado pelo autor

**Tabela 25 - Combinação 1 - Teste da Soma**

| Dígitos | Soma (R\$)    | Proporção | Benford | Dígitos | Soma (R\$)    | Proporção | Benford |
|---------|---------------|-----------|---------|---------|---------------|-----------|---------|
| 10      | 65.981.889,19 | 0,046     | 0,011   | 55      | 6.050.000,00  | 0,004     | 0,011   |
| 11      | 33.764.058,27 | 0,024     | 0,011   | 56      | 6.266.397,34  | 0,004     | 0,011   |
| 12      | 13.402.069,88 | 0,009     | 0,011   | 57      | 29.475.580,24 | 0,021     | 0,011   |
| 13      | 8.749.351,25  | 0,006     | 0,011   | 58      | 11.774.625,00 | 0,008     | 0,011   |
| 14      | 12.888.012,20 | 0,009     | 0,011   | 59      | 23.807.183,40 | 0,017     | 0,011   |
| 15      | 36.714.416,69 | 0,026     | 0,011   | 60      | 22.350.495,84 | 0,016     | 0,011   |

|    |               |       |       |    |               |       |       |
|----|---------------|-------|-------|----|---------------|-------|-------|
| 16 | 9.660.015,89  | 0,007 | 0,011 | 61 | 6.871.225,00  | 0,005 | 0,011 |
| 17 | 16.861.880,26 | 0,012 | 0,011 | 62 | 25.658.365,00 | 0,018 | 0,011 |
| 18 | 12.456.885,80 | 0,009 | 0,011 | 63 | 7.043.391,58  | 0,005 | 0,011 |
| 19 | 22.180.935,46 | 0,016 | 0,011 | 64 | 9.706.687,91  | 0,007 | 0,011 |
| 20 | 54.635.163,77 | 0,038 | 0,011 | 65 | 20.934.268,16 | 0,015 | 0,011 |
| 21 | 6.050.669,42  | 0,004 | 0,011 | 66 | 7.382.976,83  | 0,005 | 0,011 |
| 22 | 28.004.283,01 | 0,020 | 0,011 | 67 | 8.089.043,00  | 0,006 | 0,011 |
| 23 | 14.615.193,06 | 0,010 | 0,011 | 68 | 709.848,34    | 0,000 | 0,011 |
| 24 | 24.278.790,43 | 0,017 | 0,011 | 69 | 16.006.845,35 | 0,011 | 0,011 |
| 25 | 30.121.225,00 | 0,021 | 0,011 | 70 | 11.266.266,00 | 0,008 | 0,011 |
| 26 | 6.336.243,31  | 0,004 | 0,011 | 71 | 16.426.189,00 | 0,012 | 0,011 |
| 27 | 14.508.336,23 | 0,010 | 0,011 | 72 | 16.697.075,00 | 0,012 | 0,011 |
| 28 | 23.859.165,91 | 0,017 | 0,011 | 73 | 8.173.520,20  | 0,006 | 0,011 |
| 29 | 21.290.032,52 | 0,015 | 0,011 | 74 | 15.667.335,00 | 0,011 | 0,011 |
| 30 | 44.371.587,00 | 0,031 | 0,011 | 75 | 16.651.661,07 | 0,012 | 0,011 |
| 31 | 4.122.367,69  | 0,003 | 0,011 | 76 | 17.587.507,00 | 0,012 | 0,011 |
| 32 | 5.533.660,09  | 0,004 | 0,011 | 77 | 8.504.050,40  | 0,006 | 0,011 |
| 33 | 6.965.065,47  | 0,005 | 0,011 | 78 | 15.660.000,00 | 0,011 | 0,011 |
| 34 | 14.637.204,71 | 0,010 | 0,011 | 79 | 79.801.166,00 | 0,056 | 0,011 |
| 35 | 34.982.844,70 | 0,025 | 0,011 | 80 | 14.400.973,00 | 0,010 | 0,011 |
| 36 | 5.451.141,70  | 0,004 | 0,011 | 81 | 812.432,00    | 0,001 | 0,011 |
| 37 | 23.338.974,27 | 0,016 | 0,011 | 82 | 1.640.227,00  | 0,001 | 0,011 |
| 38 | 15.761.449,81 | 0,011 | 0,011 | 83 | -             | 0,000 | 0,011 |
| 39 | 33.225.078,00 | 0,023 | 0,011 | 84 | 92.772,00     | 0,000 | 0,011 |
| 40 | 47.028.226,00 | 0,033 | 0,011 | 85 | 855.600,00    | 0,001 | 0,011 |
| 41 | 12.402.952,36 | 0,009 | 0,011 | 86 | 8.649.094,00  | 0,006 | 0,011 |
| 42 | 9.425.383,26  | 0,007 | 0,011 | 87 | 957.574,95    | 0,001 | 0,011 |
| 43 | 14.447.288,86 | 0,010 | 0,011 | 88 | 18.568.873,00 | 0,013 | 0,011 |
| 44 | 16.063.047,09 | 0,011 | 0,011 | 89 | 908.913,55    | 0,001 | 0,011 |
| 45 | 7.300.162,94  | 0,005 | 0,011 | 90 | 4.590.000,00  | 0,003 | 0,011 |
| 46 | 6.095.432,21  | 0,004 | 0,011 | 91 | 9.163.318,00  | 0,006 | 0,011 |
| 47 | 25.636.845,33 | 0,018 | 0,011 | 92 | 194.566,97    | 0,000 | 0,011 |
| 48 | 20.694.908,60 | 0,015 | 0,011 | 93 | 1.152.395,99  | 0,001 | 0,011 |
| 49 | 23.396.338,81 | 0,016 | 0,011 | 94 | 2.079.142,94  | 0,001 | 0,011 |
| 50 | 53.824.315,99 | 0,038 | 0,011 | 95 | 12.402.495,00 | 0,009 | 0,011 |
| 51 | 15.557.128,68 | 0,011 | 0,011 | 96 | 967.000,00    | 0,001 | 0,011 |
| 52 | 6.257.659,21  | 0,004 | 0,011 | 97 | 3.017.150,00  | 0,002 | 0,011 |
| 53 | 6.461.195,00  | 0,005 | 0,011 | 98 | 2.174.333,89  | 0,002 | 0,011 |
| 54 | 19.133.978,33 | 0,013 | 0,011 | 99 | 1.209.734,71  | 0,001 | 0,011 |

Fonte: Elaborado pelo autor

**Tabela 26 - Combinação 2 - Teste do Primeiro Dígito**

| Dígito   | Contagem real (cr) | Contagem esperada (fb x N) | Frequência real (fr) | Benford (fb) | Diferença (fr - fb) | Teste Z | QQ     | MDA   |
|----------|--------------------|----------------------------|----------------------|--------------|---------------------|---------|--------|-------|
| <b>1</b> | 330                | 342,87                     | 0,290                | 0,301        | -0,011              | 0,799   | 0,483  | 0,011 |
| <b>2</b> | 240                | 200,57                     | 0,211                | 0,176        | 0,035               | 3,029   | 7,752  | 0,035 |
| <b>3</b> | 147                | 142,31                     | 0,129                | 0,125        | 0,004               | 0,376   | 0,155  | 0,004 |
| <b>4</b> | 116                | 110,38                     | 0,102                | 0,097        | 0,005               | 0,513   | 0,286  | 0,005 |
| <b>5</b> | 124                | 90,19                      | 0,109                | 0,079        | 0,030               | 3,656   | 12,677 | 0,030 |
| <b>6</b> | 51                 | 76,25                      | 0,045                | 0,067        | -0,022              | 2,935   | 8,363  | 0,022 |
| <b>7</b> | 53                 | 66,05                      | 0,047                | 0,058        | -0,011              | 1,591   | 2,579  | 0,011 |
| <b>8</b> | 34                 | 58,26                      | 0,030                | 0,051        | -0,021              | 3,196   | 10,104 | 0,021 |
| <b>9</b> | 44                 | 52,17                      | 0,039                | 0,046        | -0,007              | 1,087   | 1,278  | 0,007 |
| <b>N</b> | 1139               |                            | 1,000                | 1,000        |                     |         | 43,678 | 0,016 |

Fonte: Elaborado pelo autor

**Tabela 27 - Combinação 2 - Teste dos Dois Primeiros Dígitos**

| Dígito | Contagem real | Contagem esperada (fb x N) | Frequência real (fr) | Benford (fb) | Diferença (fr - fb) | Teste Z | QQ      | MDA   |
|--------|---------------|----------------------------|----------------------|--------------|---------------------|---------|---------|-------|
| 10     | 118           | 47,146                     | 0,104                | 0,041        | 0,062               | 10,465  | 106,482 | 0,062 |
| 11     | 25            | 43,041                     | 0,022                | 0,038        | -0,016              | 2,726   | 7,562   | 0,016 |
| 12     | 19            | 39,594                     | 0,017                | 0,035        | -0,018              | 3,250   | 10,712  | 0,018 |
| 13     | 22            | 36,658                     | 0,019                | 0,032        | -0,013              | 2,377   | 5,861   | 0,013 |
| 14     | 26            | 34,128                     | 0,023                | 0,030        | -0,007              | 1,326   | 1,936   | 0,007 |
| 15     | 54            | 31,925                     | 0,047                | 0,028        | 0,019               | 3,873   | 15,265  | 0,019 |
| 16     | 11            | 29,989                     | 0,010                | 0,026        | -0,017              | 3,422   | 12,024  | 0,017 |
| 17     | 16            | 28,274                     | 0,014                | 0,025        | -0,011              | 2,242   | 5,328   | 0,011 |
| 18     | 14            | 26,745                     | 0,012                | 0,023        | -0,011              | 2,396   | 6,073   | 0,011 |
| 19     | 25            | 25,373                     | 0,022                | 0,022        | 0,000               | 0,075   | 0,005   | 0,000 |
| 20     | 64            | 24,135                     | 0,056                | 0,021        | 0,035               | 8,099   | 65,849  | 0,035 |
| 21     | 30            | 23,012                     | 0,026                | 0,020        | 0,006               | 1,366   | 2,122   | 0,006 |
| 22     | 19            | 21,989                     | 0,017                | 0,019        | -0,003              | 0,536   | 0,406   | 0,003 |
| 23     | 9             | 21,053                     | 0,008                | 0,018        | -0,011              | 2,541   | 6,900   | 0,011 |
| 24     | 19            | 20,193                     | 0,017                | 0,018        | -0,001              | 0,156   | 0,070   | 0,001 |
| 25     | 43            | 19,401                     | 0,038                | 0,017        | 0,021               | 5,289   | 28,705  | 0,021 |
| 26     | 6             | 18,669                     | 0,005                | 0,016        | -0,011              | 2,840   | 8,597   | 0,011 |
| 27     | 16            | 17,990                     | 0,014                | 0,016        | -0,002              | 0,354   | 0,220   | 0,002 |
| 28     | 13            | 17,358                     | 0,011                | 0,015        | -0,004              | 0,933   | 1,094   | 0,004 |

|    |    |        |       |       |        |        |         |       |
|----|----|--------|-------|-------|--------|--------|---------|-------|
| 29 | 21 | 16,770 | 0,018 | 0,015 | 0,004  | 0,918  | 1,067   | 0,004 |
| 30 | 54 | 16,220 | 0,047 | 0,014 | 0,033  | 9,323  | 87,999  | 0,033 |
| 31 | 8  | 15,705 | 0,007 | 0,014 | -0,007 | 1,831  | 3,780   | 0,007 |
| 32 | 3  | 15,222 | 0,003 | 0,013 | -0,011 | 3,025  | 9,813   | 0,011 |
| 33 | 4  | 14,767 | 0,004 | 0,013 | -0,009 | 2,689  | 7,851   | 0,009 |
| 34 | 10 | 14,339 | 0,009 | 0,013 | -0,004 | 1,020  | 1,313   | 0,004 |
| 35 | 30 | 13,935 | 0,026 | 0,012 | 0,014  | 4,195  | 18,520  | 0,014 |
| 36 | 9  | 13,553 | 0,008 | 0,012 | -0,004 | 1,108  | 1,530   | 0,004 |
| 37 | 10 | 13,192 | 0,009 | 0,012 | -0,003 | 0,745  | 0,772   | 0,003 |
| 38 | 7  | 12,849 | 0,006 | 0,011 | -0,005 | 1,501  | 2,663   | 0,005 |
| 39 | 12 | 12,524 | 0,011 | 0,011 | 0,000  | 0,007  | 0,022   | 0,000 |
| 40 | 30 | 12,214 | 0,026 | 0,011 | 0,016  | 4,973  | 25,898  | 0,016 |
| 41 | 8  | 11,920 | 0,007 | 0,010 | -0,003 | 0,996  | 1,289   | 0,003 |
| 42 | 13 | 11,640 | 0,011 | 0,010 | 0,001  | 0,253  | 0,159   | 0,001 |
| 43 | 7  | 11,372 | 0,006 | 0,010 | -0,004 | 1,154  | 1,681   | 0,004 |
| 44 | 10 | 11,116 | 0,009 | 0,010 | -0,001 | 0,186  | 0,112   | 0,001 |
| 45 | 12 | 10,872 | 0,011 | 0,010 | 0,001  | 0,191  | 0,117   | 0,001 |
| 46 | 5  | 10,638 | 0,004 | 0,009 | -0,005 | 1,583  | 2,988   | 0,005 |
| 47 | 10 | 10,414 | 0,009 | 0,009 | 0,000  | 0,129  | 0,016   | 0,000 |
| 48 | 9  | 10,200 | 0,008 | 0,009 | -0,001 | 0,220  | 0,141   | 0,001 |
| 49 | 12 | 9,993  | 0,011 | 0,009 | 0,002  | 0,479  | 0,403   | 0,002 |
| 50 | 73 | 9,796  | 0,064 | 0,009 | 0,055  | 20,121 | 407,816 | 0,055 |
| 51 | 3  | 9,605  | 0,003 | 0,008 | -0,006 | 1,978  | 4,542   | 0,006 |
| 52 | 5  | 9,422  | 0,004 | 0,008 | -0,004 | 1,283  | 2,076   | 0,004 |
| 53 | 1  | 9,246  | 0,001 | 0,008 | -0,007 | 2,558  | 7,354   | 0,007 |
| 54 | 12 | 9,077  | 0,011 | 0,008 | 0,003  | 0,808  | 0,942   | 0,003 |
| 55 | 4  | 8,913  | 0,004 | 0,008 | -0,004 | 1,484  | 2,708   | 0,004 |
| 56 | 3  | 8,755  | 0,003 | 0,008 | -0,005 | 1,783  | 3,783   | 0,005 |
| 57 | 4  | 8,603  | 0,004 | 0,008 | -0,004 | 1,404  | 2,463   | 0,004 |
| 58 | 5  | 8,456  | 0,004 | 0,007 | -0,003 | 1,020  | 1,412   | 0,003 |
| 59 | 14 | 8,314  | 0,012 | 0,007 | 0,005  | 1,805  | 3,889   | 0,005 |
| 60 | 14 | 8,176  | 0,012 | 0,007 | 0,005  | 1,868  | 4,148   | 0,005 |
| 61 | 2  | 8,043  | 0,002 | 0,007 | -0,005 | 1,962  | 4,541   | 0,005 |
| 62 | 3  | 7,915  | 0,003 | 0,007 | -0,004 | 1,575  | 3,052   | 0,004 |
| 63 | 7  | 7,790  | 0,006 | 0,007 | -0,001 | 0,104  | 0,080   | 0,001 |
| 64 | 6  | 7,669  | 0,005 | 0,007 | -0,001 | 0,424  | 0,363   | 0,001 |
| 65 | 5  | 7,552  | 0,004 | 0,007 | -0,002 | 0,749  | 0,863   | 0,002 |
| 66 | 2  | 7,439  | 0,002 | 0,007 | -0,005 | 1,817  | 3,976   | 0,005 |
| 67 | 1  | 7,328  | 0,001 | 0,006 | -0,006 | 2,160  | 5,465   | 0,006 |
| 68 | 5  | 7,221  | 0,004 | 0,006 | -0,002 | 0,643  | 0,683   | 0,002 |
| 69 | 6  | 7,118  | 0,005 | 0,006 | -0,001 | 0,232  | 0,175   | 0,001 |
| 70 | 5  | 7,017  | 0,004 | 0,006 | -0,002 | 0,574  | 0,580   | 0,002 |
| 71 | 4  | 6,918  | 0,004 | 0,006 | -0,003 | 0,922  | 1,231   | 0,003 |

|    |      |       |       |       |        |       |         |       |
|----|------|-------|-------|-------|--------|-------|---------|-------|
| 72 | 3    | 6,823 | 0,003 | 0,006 | -0,003 | 1,276 | 2,142   | 0,003 |
| 73 | 2    | 6,730 | 0,002 | 0,006 | -0,004 | 1,635 | 3,325   | 0,004 |
| 74 | 4    | 6,640 | 0,004 | 0,006 | -0,002 | 0,833 | 1,050   | 0,002 |
| 75 | 7    | 6,552 | 0,006 | 0,006 | 0,000  | 0,176 | 0,031   | 0,000 |
| 76 | 10   | 6,466 | 0,009 | 0,006 | 0,003  | 1,196 | 1,931   | 0,003 |
| 77 | 3    | 6,383 | 0,003 | 0,006 | -0,003 | 1,144 | 1,793   | 0,003 |
| 78 | 2    | 6,302 | 0,002 | 0,006 | -0,004 | 1,519 | 2,936   | 0,004 |
| 79 | 13   | 6,222 | 0,011 | 0,005 | 0,006  | 2,524 | 7,383   | 0,006 |
| 80 | 12   | 6,145 | 0,011 | 0,005 | 0,005  | 2,166 | 5,579   | 0,005 |
| 81 | 4    | 6,070 | 0,004 | 0,005 | -0,002 | 0,639 | 0,706   | 0,002 |
| 82 | 3    | 5,996 | 0,003 | 0,005 | -0,003 | 1,022 | 1,497   | 0,003 |
| 83 | 0    | 5,924 | 0,000 | 0,005 | -0,005 | 2,234 | 5,924   | 0,005 |
| 84 | 3    | 5,854 | 0,003 | 0,005 | -0,003 | 0,975 | 1,391   | 0,003 |
| 85 | 2    | 5,786 | 0,002 | 0,005 | -0,003 | 1,369 | 2,477   | 0,003 |
| 86 | 1    | 5,719 | 0,001 | 0,005 | -0,004 | 1,769 | 3,894   | 0,004 |
| 87 | 5    | 5,653 | 0,004 | 0,005 | -0,001 | 0,065 | 0,076   | 0,001 |
| 88 | 2    | 5,589 | 0,002 | 0,005 | -0,003 | 1,310 | 2,305   | 0,003 |
| 89 | 2    | 5,527 | 0,002 | 0,005 | -0,003 | 1,291 | 2,251   | 0,003 |
| 90 | 6    | 5,466 | 0,005 | 0,005 | 0,000  | 0,015 | 0,052   | 0,000 |
| 91 | 1    | 5,406 | 0,001 | 0,005 | -0,004 | 1,684 | 3,591   | 0,004 |
| 92 | 4    | 5,348 | 0,004 | 0,005 | -0,001 | 0,367 | 0,340   | 0,001 |
| 93 | 5    | 5,291 | 0,004 | 0,005 | 0,000  | 0,127 | 0,016   | 0,000 |
| 94 | 7    | 5,235 | 0,006 | 0,005 | 0,002  | 0,554 | 0,595   | 0,002 |
| 95 | 5    | 5,180 | 0,004 | 0,005 | 0,000  | 0,079 | 0,006   | 0,000 |
| 96 | 1    | 5,126 | 0,001 | 0,005 | -0,004 | 1,605 | 3,321   | 0,004 |
| 97 | 6    | 5,073 | 0,005 | 0,004 | 0,001  | 0,190 | 0,169   | 0,001 |
| 98 | 7    | 5,022 | 0,006 | 0,004 | 0,002  | 0,661 | 0,779   | 0,002 |
| 99 | 2    | 4,972 | 0,002 | 0,004 | -0,003 | 1,111 | 1,776   | 0,003 |
| N  | 1139 |       | 1,000 | 1,000 |        |       | 972,826 | 0,007 |

Fonte: Elaborado pelo autor

**Tabela 28 - Combinação 2 - Teste da Soma**

|    |               |        |       |    |               |       |       |
|----|---------------|--------|-------|----|---------------|-------|-------|
| 10 | 84.899.951,05 | 0,052  | 0,011 | 55 | 22.149.670,00 | 0,014 | 0,011 |
| 11 | 36.135.715,88 | 0,0221 | 0,011 | 56 | 6.266.232,00  | 0,004 | 0,011 |
| 12 | 24.265.405,44 | 0,015  | 0,011 | 57 | 11.584.136,24 | 0,007 | 0,011 |
| 13 | 41.834.706,93 | 0,026  | 0,011 | 58 | 23.395.289,00 | 0,014 | 0,011 |
| 14 | 16.611.186,77 | 0,010  | 0,011 | 59 | 34.608.009,09 | 0,021 | 0,011 |
| 15 | 41.729.680,69 | 0,025  | 0,011 | 60 | 23.556.643,84 | 0,014 | 0,011 |
| 16 | 4.040.554,55  | 0,002  | 0,011 | 61 | 6.809.489,00  | 0,004 | 0,011 |
| 17 | 8.545.973,31  | 0,005  | 0,011 | 62 | 18.740.454,00 | 0,011 | 0,011 |
| 18 | 6.448.742,70  | 0,004  | 0,011 | 63 | 12.719.234,06 | 0,008 | 0,011 |
| 19 | 23.530.682,23 | 0,014  | 0,011 | 64 | 14.876.629,91 | 0,009 | 0,011 |
| 20 | 65.452.744,94 | 0,040  | 0,011 | 65 | 14.420.782,00 | 0,009 | 0,011 |

|    |               |       |       |    |               |       |       |
|----|---------------|-------|-------|----|---------------|-------|-------|
| 21 | 5.785.317,18  | 0,004 | 0,011 | 66 | 72.976,83     | 0,000 | 0,011 |
| 22 | 30.192.475,59 | 0,018 | 0,011 | 67 | 6.739.568,00  | 0,004 | 0,011 |
| 23 | 12.255.241,12 | 0,007 | 0,011 | 68 | 1.399.624,41  | 0,001 | 0,011 |
| 24 | 26.454.888,58 | 0,016 | 0,011 | 69 | 29.107.230,00 | 0,018 | 0,011 |
| 25 | 28.469.325,76 | 0,017 | 0,011 | 70 | 2.115.597,81  | 0,001 | 0,011 |
| 26 | 5.758.695,31  | 0,004 | 0,011 | 71 | 15.701.313,00 | 0,010 | 0,011 |
| 27 | 28.758.002,32 | 0,018 | 0,011 | 72 | 8.035.074,20  | 0,005 | 0,011 |
| 28 | 21.282.028,74 | 0,013 | 0,011 | 73 | 8.100.227,00  | 0,005 | 0,011 |
| 29 | 16.287.569,47 | 0,010 | 0,011 | 74 | 23.130.114,00 | 0,014 | 0,011 |
| 30 | 45.675.367,00 | 0,028 | 0,011 | 75 | 24.151.943,36 | 0,015 | 0,011 |
| 31 | 10.776.027,69 | 0,007 | 0,011 | 76 | 40.618.108,29 | 0,025 | 0,011 |
| 32 | 981.055,41    | 0,001 | 0,011 | 77 | 15.498.425,40 | 0,009 | 0,011 |
| 33 | 9.900.338,00  | 0,006 | 0,011 | 78 | 15.660.000,00 | 0,010 | 0,011 |
| 34 | 24.777.129,54 | 0,015 | 0,011 | 79 | 89.262.091,00 | 0,055 | 0,011 |
| 35 | 30.671.268,00 | 0,019 | 0,011 | 80 | 16.874.102,28 | 0,010 | 0,011 |
| 36 | 6.179.006,90  | 0,004 | 0,011 | 81 | 10.616.914,00 | 0,006 | 0,011 |
| 37 | 23.585.950,80 | 0,014 | 0,011 | 82 | 9.844.493,00  | 0,006 | 0,011 |
| 38 | 19.522.815,30 | 0,012 | 0,011 | 83 | -             | 0,000 | 0,011 |
| 39 | 40.442.170,00 | 0,025 | 0,011 | 84 | 25.200,00     | 0,000 | 0,011 |
| 40 | 40.904.392,00 | 0,025 | 0,011 | 85 | 941.242,40    | 0,001 | 0,011 |
| 41 | 16.548.229,17 | 0,010 | 0,011 | 86 | 8.640.454,00  | 0,005 | 0,011 |
| 42 | 4.322.098,14  | 0,003 | 0,011 | 87 | 2.791.247,15  | 0,002 | 0,011 |
| 43 | 22.680.269,00 | 0,014 | 0,011 | 88 | 9.698.072,00  | 0,006 | 0,011 |
| 44 | 32.535.204,38 | 0,020 | 0,011 | 89 | 908.661,55    | 0,001 | 0,011 |
| 45 | 16.417.803,94 | 0,010 | 0,011 | 90 | 4.590.000,00  | 0,003 | 0,011 |
| 46 | 10.176.920,00 | 0,006 | 0,011 | 91 | 9.163.318,00  | 0,006 | 0,011 |
| 47 | 29.515.443,59 | 0,018 | 0,011 | 92 | 1.032.419,42  | 0,001 | 0,011 |
| 48 | 19.809.578,54 | 0,012 | 0,011 | 93 | 215.167,99    | 0,000 | 0,011 |
| 49 | 13.916.318,96 | 0,008 | 0,011 | 94 | 2.278.219,65  | 0,001 | 0,011 |
| 50 | 51.803.419,87 | 0,032 | 0,011 | 95 | 21.895.495,00 | 0,013 | 0,011 |
| 51 | 10.361.038,00 | 0,006 | 0,011 | 96 | 9.655,69      | 0,000 | 0,011 |
| 52 | 10.934.021,59 | 0,007 | 0,011 | 97 | 4.081.377,40  | 0,002 | 0,011 |
| 53 | 5.350.000,00  | 0,003 | 0,011 | 98 | 3.164.744,00  | 0,002 | 0,011 |
| 54 | 34.343.345,43 | 0,021 | 0,011 | 99 | 1.009.788,08  | 0,001 | 0,011 |

Fonte: Elaborado pelo autor

**Tabela 29 - Combinação 3 - Teste do Primeiro Dígito**

| Dígito   | Contagem real (cr) | Contagem esperada (fb x N) | Frequência real (fr) | Benford (fb) | Diferença (fr - fb) | Teste Z | QQ    | MDA   |
|----------|--------------------|----------------------------|----------------------|--------------|---------------------|---------|-------|-------|
| <b>1</b> | 310                | 332,94                     | 0,280                | 0,301        | -0,021              | 1,471   | 1,580 | 0,021 |
| <b>2</b> | 233                | 194,76                     | 0,211                | 0,176        | 0,035               | 2,980   | 7,510 | 0,035 |
| <b>3</b> | 145                | 138,18                     | 0,131                | 0,125        | 0,006               | 0,575   | 0,336 | 0,006 |

|          |      |        |       |       |        |       |        |       |
|----------|------|--------|-------|-------|--------|-------|--------|-------|
| <b>4</b> | 118  | 107,18 | 0,107 | 0,097 | 0,010  | 1,049 | 1,092  | 0,010 |
| <b>5</b> | 107  | 87,57  | 0,097 | 0,079 | 0,018  | 2,108 | 4,309  | 0,018 |
| <b>6</b> | 56   | 74,04  | 0,051 | 0,067 | -0,016 | 2,111 | 4,397  | 0,016 |
| <b>7</b> | 49   | 64,14  | 0,044 | 0,058 | -0,014 | 1,883 | 3,573  | 0,014 |
| <b>8</b> | 39   | 56,57  | 0,035 | 0,051 | -0,016 | 2,330 | 5,460  | 0,016 |
| <b>9</b> | 49   | 50,65  | 0,044 | 0,046 | -0,001 | 0,166 | 0,054  | 0,001 |
| <b>N</b> | 1106 |        | 1,000 | 1,000 |        |       | 28,311 | 0,015 |

Fonte: Elaborado pelo autor

**Tabela 30 - Combinação 3 - Teste dos Dois Primeiros Dígitos**

| Dígito | Contagem real | Contagem esperada (fb x N) | Frequência real (fr) | Benford (fb) | Diferença (fr - fb) | Teste Z | QQ     | MDA   |
|--------|---------------|----------------------------|----------------------|--------------|---------------------|---------|--------|-------|
| 10     | 111           | 45,780                     | 0,100                | 0,041        | 0,059               | 9,770   | 92,913 | 0,059 |
| 11     | 17            | 41,794                     | 0,015                | 0,038        | -0,022              | 3,831   | 14,709 | 0,022 |
| 12     | 30            | 38,447                     | 0,027                | 0,035        | -0,008              | 1,305   | 1,856  | 0,008 |
| 13     | 20            | 35,596                     | 0,018                | 0,032        | -0,014              | 2,572   | 6,833  | 0,014 |
| 14     | 28            | 33,139                     | 0,025                | 0,030        | -0,005              | 0,818   | 0,797  | 0,005 |
| 15     | 41            | 31,000                     | 0,037                | 0,028        | 0,009               | 1,731   | 3,226  | 0,009 |
| 16     | 12            | 29,120                     | 0,011                | 0,026        | -0,015              | 3,121   | 10,065 | 0,015 |
| 17     | 9             | 27,455                     | 0,008                | 0,025        | -0,017              | 3,470   | 12,405 | 0,017 |
| 18     | 17            | 25,970                     | 0,015                | 0,023        | -0,008              | 1,682   | 3,098  | 0,008 |
| 19     | 25            | 24,638                     | 0,023                | 0,022        | 0,000               | 0,074   | 0,005  | 0,000 |
| 20     | 61            | 23,435                     | 0,055                | 0,021        | 0,034               | 7,739   | 60,212 | 0,034 |
| 21     | 32            | 22,345                     | 0,029                | 0,020        | 0,009               | 1,957   | 4,172  | 0,009 |
| 22     | 14            | 21,352                     | 0,013                | 0,019        | -0,007              | 1,497   | 2,531  | 0,007 |
| 23     | 10            | 20,443                     | 0,009                | 0,018        | -0,009              | 2,220   | 5,334  | 0,009 |
| 24     | 23            | 19,608                     | 0,021                | 0,018        | 0,003               | 0,659   | 0,587  | 0,003 |
| 25     | 39            | 18,839                     | 0,035                | 0,017        | 0,018               | 4,569   | 21,576 | 0,018 |
| 26     | 5             | 18,128                     | 0,005                | 0,016        | -0,012              | 2,990   | 9,507  | 0,012 |
| 27     | 17            | 17,468                     | 0,015                | 0,016        | 0,000               | 0,113   | 0,013  | 0,000 |
| 28     | 11            | 16,855                     | 0,010                | 0,015        | -0,005              | 1,314   | 2,034  | 0,005 |
| 29     | 21            | 16,284                     | 0,019                | 0,015        | 0,004               | 1,053   | 1,366  | 0,004 |
| 30     | 50            | 15,750                     | 0,045                | 0,014        | 0,031               | 8,565   | 74,481 | 0,031 |
| 31     | 10            | 15,250                     | 0,009                | 0,014        | -0,005              | 1,225   | 1,807  | 0,005 |
| 32     | 4             | 14,781                     | 0,004                | 0,013        | -0,010              | 2,692   | 7,863  | 0,010 |
| 33     | 3             | 14,339                     | 0,003                | 0,013        | -0,010              | 2,881   | 8,967  | 0,010 |
| 34     | 8             | 13,924                     | 0,007                | 0,013        | -0,005              | 1,463   | 2,520  | 0,005 |
| 35     | 33            | 13,531                     | 0,030                | 0,012        | 0,018               | 5,188   | 28,011 | 0,018 |
| 36     | 5             | 13,161                     | 0,005                | 0,012        | -0,007              | 2,124   | 5,060  | 0,007 |

|    |    |        |       |       |        |        |         |       |
|----|----|--------|-------|-------|--------|--------|---------|-------|
| 37 | 10 | 12,810 | 0,009 | 0,012 | -0,003 | 0,649  | 0,616   | 0,003 |
| 38 | 7  | 12,477 | 0,006 | 0,011 | -0,005 | 1,417  | 2,404   | 0,005 |
| 39 | 15 | 12,161 | 0,014 | 0,011 | 0,003  | 0,674  | 0,663   | 0,003 |
| 40 | 26 | 11,861 | 0,024 | 0,011 | 0,013  | 3,982  | 16,856  | 0,013 |
| 41 | 9  | 11,575 | 0,008 | 0,010 | -0,002 | 0,613  | 0,573   | 0,002 |
| 42 | 16 | 11,302 | 0,014 | 0,010 | 0,004  | 1,255  | 1,952   | 0,004 |
| 43 | 5  | 11,043 | 0,005 | 0,010 | -0,005 | 1,676  | 3,307   | 0,005 |
| 44 | 10 | 10,794 | 0,009 | 0,010 | -0,001 | 0,090  | 0,058   | 0,001 |
| 45 | 15 | 10,557 | 0,014 | 0,010 | 0,004  | 1,219  | 1,870   | 0,004 |
| 46 | 3  | 10,330 | 0,003 | 0,009 | -0,007 | 2,135  | 5,201   | 0,007 |
| 47 | 11 | 10,113 | 0,010 | 0,009 | 0,001  | 0,122  | 0,078   | 0,001 |
| 48 | 8  | 9,904  | 0,007 | 0,009 | -0,002 | 0,448  | 0,366   | 0,002 |
| 49 | 15 | 9,704  | 0,014 | 0,009 | 0,005  | 1,546  | 2,890   | 0,005 |
| 50 | 61 | 9,512  | 0,055 | 0,009 | 0,047  | 16,604 | 278,711 | 0,047 |
| 51 | 4  | 9,327  | 0,004 | 0,008 | -0,005 | 1,587  | 3,043   | 0,005 |
| 52 | 6  | 9,149  | 0,005 | 0,008 | -0,003 | 0,880  | 1,084   | 0,003 |
| 53 | 1  | 8,978  | 0,001 | 0,008 | -0,007 | 2,506  | 7,090   | 0,007 |
| 54 | 9  | 8,814  | 0,008 | 0,008 | 0,000  | 0,063  | 0,004   | 0,000 |
| 55 | 5  | 8,655  | 0,005 | 0,008 | -0,003 | 1,077  | 1,543   | 0,003 |
| 56 | 2  | 8,502  | 0,002 | 0,008 | -0,006 | 2,066  | 4,972   | 0,006 |
| 57 | 6  | 8,354  | 0,005 | 0,008 | -0,002 | 0,644  | 0,663   | 0,002 |
| 58 | 5  | 8,211  | 0,005 | 0,007 | -0,003 | 0,950  | 1,256   | 0,003 |
| 59 | 8  | 8,073  | 0,007 | 0,007 | 0,000  | 0,026  | 0,001   | 0,000 |
| 60 | 14 | 7,940  | 0,013 | 0,007 | 0,005  | 1,981  | 4,626   | 0,005 |
| 61 | 1  | 7,810  | 0,001 | 0,007 | -0,006 | 2,266  | 5,938   | 0,006 |
| 62 | 3  | 7,685  | 0,003 | 0,007 | -0,004 | 1,515  | 2,856   | 0,004 |
| 63 | 8  | 7,564  | 0,007 | 0,007 | 0,000  | 0,159  | 0,025   | 0,000 |
| 64 | 6  | 7,447  | 0,005 | 0,007 | -0,001 | 0,348  | 0,281   | 0,001 |
| 65 | 8  | 7,333  | 0,007 | 0,007 | 0,001  | 0,062  | 0,061   | 0,001 |
| 66 | 2  | 7,223  | 0,002 | 0,007 | -0,005 | 1,763  | 3,777   | 0,005 |
| 67 | 1  | 7,116  | 0,001 | 0,006 | -0,006 | 2,112  | 5,257   | 0,006 |
| 68 | 5  | 7,012  | 0,005 | 0,006 | -0,002 | 0,573  | 0,577   | 0,002 |
| 69 | 8  | 6,911  | 0,007 | 0,006 | 0,001  | 0,225  | 0,171   | 0,001 |
| 70 | 6  | 6,813  | 0,005 | 0,006 | -0,001 | 0,120  | 0,097   | 0,001 |
| 71 | 2  | 6,718  | 0,002 | 0,006 | -0,004 | 1,632  | 3,313   | 0,004 |
| 72 | 2  | 6,625  | 0,002 | 0,006 | -0,004 | 1,608  | 3,229   | 0,004 |
| 73 | 2  | 6,535  | 0,002 | 0,006 | -0,004 | 1,583  | 3,147   | 0,004 |
| 74 | 5  | 6,447  | 0,005 | 0,006 | -0,001 | 0,374  | 0,325   | 0,001 |
| 75 | 6  | 6,362  | 0,005 | 0,006 | 0,000  | 0,144  | 0,021   | 0,000 |
| 76 | 9  | 6,279  | 0,008 | 0,006 | 0,002  | 0,889  | 1,179   | 0,002 |
| 77 | 4  | 6,198  | 0,004 | 0,006 | -0,002 | 0,684  | 0,779   | 0,002 |
| 78 | 2  | 6,119  | 0,002 | 0,006 | -0,004 | 1,467  | 2,773   | 0,004 |
| 79 | 11 | 6,042  | 0,010 | 0,005 | 0,004  | 1,819  | 4,069   | 0,004 |

|    |      |       |       |       |        |       |         |       |
|----|------|-------|-------|-------|--------|-------|---------|-------|
| 80 | 14   | 5,967 | 0,013 | 0,005 | 0,007  | 3,092 | 10,815  | 0,007 |
| 81 | 3    | 5,894 | 0,003 | 0,005 | -0,003 | 0,989 | 1,421   | 0,003 |
| 82 | 4    | 5,822 | 0,004 | 0,005 | -0,002 | 0,549 | 0,570   | 0,002 |
| 83 | 1    | 5,753 | 0,001 | 0,005 | -0,004 | 1,778 | 3,926   | 0,004 |
| 84 | 4    | 5,684 | 0,004 | 0,005 | -0,002 | 0,498 | 0,499   | 0,002 |
| 85 | 3    | 5,618 | 0,003 | 0,005 | -0,002 | 0,896 | 1,220   | 0,002 |
| 86 | 1    | 5,553 | 0,001 | 0,005 | -0,004 | 1,724 | 3,733   | 0,004 |
| 87 | 4    | 5,490 | 0,004 | 0,005 | -0,001 | 0,423 | 0,404   | 0,001 |
| 88 | 3    | 5,428 | 0,003 | 0,005 | -0,002 | 0,829 | 1,086   | 0,002 |
| 89 | 2    | 5,367 | 0,002 | 0,005 | -0,003 | 1,241 | 2,112   | 0,003 |
| 90 | 7    | 5,308 | 0,006 | 0,005 | 0,002  | 0,519 | 0,540   | 0,002 |
| 91 | 1    | 5,250 | 0,001 | 0,005 | -0,004 | 1,640 | 3,440   | 0,004 |
| 92 | 4    | 5,193 | 0,004 | 0,005 | -0,001 | 0,305 | 0,274   | 0,001 |
| 93 | 2    | 5,137 | 0,002 | 0,005 | -0,003 | 1,166 | 1,916   | 0,003 |
| 94 | 8    | 5,083 | 0,007 | 0,005 | 0,003  | 1,075 | 1,674   | 0,003 |
| 95 | 7    | 5,030 | 0,006 | 0,005 | 0,002  | 0,657 | 0,772   | 0,002 |
| 96 | 2    | 4,978 | 0,002 | 0,005 | -0,003 | 1,113 | 1,781   | 0,003 |
| 97 | 5    | 4,927 | 0,005 | 0,004 | 0,000  | 0,033 | 0,001   | 0,000 |
| 98 | 7    | 4,876 | 0,006 | 0,004 | 0,002  | 0,737 | 0,925   | 0,002 |
| 99 | 6    | 4,827 | 0,005 | 0,004 | 0,001  | 0,307 | 0,285   | 0,001 |
| N  | 1106 |       | 1,000 | 1,000 |        |       | 797,047 | 0,006 |

Fonte: Elaborado pelo autor

**Tabela 31 - Combinação 3 - Teste da Soma**

| Dígito | Soma (R\$)    | Proporção | Benford | Dígito | Soma (R\$)    | Proporção | Benford |
|--------|---------------|-----------|---------|--------|---------------|-----------|---------|
| 10     | 84.408.130,82 | 0,052     | 0,011   | 55     | 22.210.014,47 | 0,014     | 0,011   |
| 11     | 31.402.815,05 | 0,019     | 0,011   | 56     | 5.696.454,00  | 0,003     | 0,011   |
| 12     | 44.667.168,41 | 0,027     | 0,011   | 57     | 6.554.692,99  | 0,004     | 0,011   |
| 13     | 40.358.143,68 | 0,025     | 0,011   | 58     | 12.381.089,00 | 0,008     | 0,011   |
| 14     | 20.788.422,97 | 0,013     | 0,011   | 59     | 25.645.169,69 | 0,016     | 0,011   |
| 15     | 32.831.586,69 | 0,020     | 0,011   | 60     | 28.985.209,84 | 0,018     | 0,011   |
| 16     | 8.970.524,89  | 0,005     | 0,011   | 61     | 610.000,00    | 0,000     | 0,011   |
| 17     | 3.029.123,66  | 0,002     | 0,011   | 62     | 18.740.454,00 | 0,011     | 0,011   |
| 18     | 13.617.702,70 | 0,008     | 0,011   | 63     | 19.039.648,06 | 0,012     | 0,011   |
| 19     | 23.511.070,16 | 0,014     | 0,011   | 64     | 14.885.042,32 | 0,009     | 0,011   |
| 20     | 56.890.492,94 | 0,035     | 0,011   | 65     | 14.617.067,43 | 0,009     | 0,011   |
| 21     | 7.486.647,02  | 0,005     | 0,011   | 66     | 6.626.886,64  | 0,004     | 0,011   |
| 22     | 23.186.815,00 | 0,014     | 0,011   | 67     | 6.753,36      | 0,000     | 0,011   |
| 23     | 14.596.223,12 | 0,009     | 0,011   | 68     | 2.076.356,74  | 0,001     | 0,011   |
| 24     | 25.280.618,18 | 0,015     | 0,011   | 69     | 43.007.918,00 | 0,026     | 0,011   |
| 25     | 29.966.508,00 | 0,018     | 0,011   | 70     | 2.122.597,81  | 0,001     | 0,011   |
| 26     | 8.092.222,00  | 0,005     | 0,011   | 71     | 14.277.321,00 | 0,009     | 0,011   |

|    |               |       |       |    |               |       |       |
|----|---------------|-------|-------|----|---------------|-------|-------|
| 27 | 26.568.456,47 | 0,016 | 0,011 | 72 | 737.074,20    | 0,000 | 0,011 |
| 28 | 17.906.816,20 | 0,011 | 0,011 | 73 | 1.464.620,00  | 0,001 | 0,011 |
| 29 | 21.862.135,02 | 0,013 | 0,011 | 74 | 30.600.341,00 | 0,019 | 0,011 |
| 30 | 58.035.779,00 | 0,035 | 0,011 | 75 | 23.467.103,29 | 0,014 | 0,011 |
| 31 | 13.938.304,50 | 0,009 | 0,011 | 76 | 39.853.145,89 | 0,024 | 0,011 |
| 32 | 1.013.802,71  | 0,001 | 0,011 | 77 | 16.253.404,40 | 0,010 | 0,011 |
| 33 | 6.600.338,00  | 0,004 | 0,011 | 78 | 7.847.858,01  | 0,005 | 0,011 |
| 34 | 21.216.714,00 | 0,013 | 0,011 | 79 | 65.431.463,00 | 0,040 | 0,011 |
| 35 | 37.067.336,00 | 0,023 | 0,011 | 80 | 24.889.638,28 | 0,015 | 0,011 |
| 36 | 1.498.028,52  | 0,001 | 0,011 | 81 | 9.804.482,00  | 0,006 | 0,011 |
| 37 | 20.192.950,80 | 0,012 | 0,011 | 82 | 10.671.493,00 | 0,007 | 0,011 |
| 38 | 23.272.459,00 | 0,014 | 0,011 | 83 | 838.258,00    | 0,001 | 0,011 |
| 39 | 37.745.336,61 | 0,023 | 0,011 | 84 | 33.600,00     | 0,000 | 0,011 |
| 40 | 39.326.006,00 | 0,024 | 0,011 | 85 | 1.785.642,40  | 0,001 | 0,011 |
| 41 | 17.000.645,79 | 0,010 | 0,011 | 86 | 8.640.454,00  | 0,005 | 0,011 |
| 42 | 4.760.414,14  | 0,003 | 0,011 | 87 | 1.921.247,15  | 0,001 | 0,011 |
| 43 | 17.884.118,00 | 0,011 | 0,011 | 88 | 18.548.072,00 | 0,011 | 0,011 |
| 44 | 28.562.637,38 | 0,017 | 0,011 | 89 | 908.661,55    | 0,001 | 0,011 |
| 45 | 21.826.988,94 | 0,013 | 0,011 | 90 | 13.590.000,00 | 0,008 | 0,011 |
| 46 | 9.277.924,00  | 0,006 | 0,011 | 91 | 9.163.318,00  | 0,006 | 0,011 |
| 47 | 29.972.862,59 | 0,018 | 0,011 | 92 | 1.032.419,42  | 0,001 | 0,011 |
| 48 | 20.282.306,12 | 0,012 | 0,011 | 93 | 18.715,20     | 0,000 | 0,011 |
| 49 | 14.084.839,16 | 0,009 | 0,011 | 94 | 3.136.529,19  | 0,002 | 0,011 |
| 50 | 50.303.419,87 | 0,031 | 0,011 | 95 | 22.931.657,58 | 0,014 | 0,011 |
| 51 | 10.412.591,14 | 0,006 | 0,011 | 96 | 9.675.109,69  | 0,006 | 0,011 |
| 52 | 11.044.842,59 | 0,007 | 0,011 | 97 | 3.983.454,40  | 0,002 | 0,011 |
| 53 | 5.350.000,00  | 0,003 | 0,011 | 98 | 3.164.744,00  | 0,002 | 0,011 |
| 54 | 28.368.084,00 | 0,017 | 0,011 | 99 | 4.186.134,73  | 0,003 | 0,011 |

Fonte: Elaborado pelo autor

**Tabela 32 - Combinação 4 - Teste do Primeiro Dígito**

| Dígito   | Contagem real (cr) | Contagem esperada (fb x N) | Frequência real (fr) | Benford (fb) | Diferença (fr - fb) | Teste Z | QQ     | MDA   |
|----------|--------------------|----------------------------|----------------------|--------------|---------------------|---------|--------|-------|
| <b>1</b> | 326                | 345,88                     | 0,284                | 0,301        | -0,017              | 1,247   | 1,143  | 0,017 |
| <b>2</b> | 252                | 202,33                     | 0,219                | 0,176        | 0,043               | 3,808   | 12,194 | 0,043 |
| <b>3</b> | 137                | 143,55                     | 0,119                | 0,125        | -0,006              | 0,540   | 0,299  | 0,006 |
| <b>4</b> | 120                | 111,35                     | 0,104                | 0,097        | 0,008               | 0,813   | 0,672  | 0,008 |
| <b>5</b> | 107                | 90,98                      | 0,093                | 0,079        | 0,014               | 1,696   | 2,821  | 0,014 |
| <b>6</b> | 67                 | 76,92                      | 0,058                | 0,067        | -0,009              | 1,112   | 1,280  | 0,009 |
| <b>7</b> | 50                 | 66,63                      | 0,044                | 0,058        | -0,014              | 2,036   | 4,152  | 0,014 |

|          |      |       |       |       |        |              |               |       |
|----------|------|-------|-------|-------|--------|--------------|---------------|-------|
| <b>8</b> | 40   | 58,77 | 0,035 | 0,051 | -0,016 | <b>2,447</b> | 5,997         | 0,016 |
| <b>9</b> | 50   | 52,62 | 0,044 | 0,046 | -0,002 | 0,300        | 0,131         | 0,002 |
| <b>N</b> | 1149 |       | 1,000 | 1,000 |        |              | <b>28,689</b> | 0,014 |

Fonte: Elaborado pelo autor

**Tabela 33 - Combinação 4 - Teste dos Dois Primeiros Dígitos**

| Dígito | Contagem real | Contagem esperada (fb x N) | Frequência real (fr) | Benford (fb) | Diferença (fr - fb) | Teste Z      | QQ     | MDA   |
|--------|---------------|----------------------------|----------------------|--------------|---------------------|--------------|--------|-------|
| 10     | 115           | 47,560                     | 0,100                | 0,041        | 0,059               | 9,914        | 95,629 | 0,059 |
| 11     | 18            | 43,419                     | 0,016                | 0,038        | -0,022              | 3,855        | 14,881 | 0,022 |
| 12     | 37            | 39,942                     | 0,032                | 0,035        | -0,003              | 0,393        | 0,217  | 0,003 |
| 13     | 20            | 36,980                     | 0,017                | 0,032        | -0,015              | 2,755        | 7,797  | 0,015 |
| 14     | 30            | 34,428                     | 0,026                | 0,030        | -0,004              | 0,680        | 0,569  | 0,004 |
| 15     | 39            | 32,205                     | 0,034                | 0,028        | 0,006               | 1,125        | 1,434  | 0,006 |
| 16     | 14            | 30,252                     | 0,012                | 0,026        | -0,014              | 2,902        | 8,731  | 0,014 |
| 17     | 14            | 28,522                     | 0,012                | 0,025        | -0,013              | 2,659        | 7,394  | 0,013 |
| 18     | 15            | 26,980                     | 0,013                | 0,023        | -0,010              | 2,237        | 5,319  | 0,010 |
| 19     | 24            | 25,596                     | 0,021                | 0,022        | -0,001              | 0,219        | 0,099  | 0,001 |
| 20     | 72            | 24,347                     | 0,063                | 0,021        | 0,041               | <b>9,659</b> | 93,272 | 0,041 |
| 21     | 32            | 23,214                     | 0,028                | 0,020        | 0,008               | 1,737        | 3,326  | 0,008 |
| 22     | 17            | 22,182                     | 0,015                | 0,019        | -0,005              | 1,004        | 1,210  | 0,005 |
| 23     | 13            | 21,237                     | 0,011                | 0,018        | -0,007              | 1,695        | 3,195  | 0,007 |
| 24     | 19            | 20,370                     | 0,017                | 0,018        | -0,001              | 0,195        | 0,092  | 0,001 |
| 25     | 51            | 19,571                     | 0,044                | 0,017        | 0,027               | 7,052        | 50,470 | 0,027 |
| 26     | 5             | 18,833                     | 0,004                | 0,016        | -0,012              | 3,098        | 10,160 | 0,012 |
| 27     | 14            | 18,148                     | 0,012                | 0,016        | -0,004              | 0,863        | 0,948  | 0,004 |
| 28     | 11            | 17,511                     | 0,010                | 0,015        | -0,006              | 1,447        | 2,421  | 0,006 |
| 29     | 18            | 16,917                     | 0,016                | 0,015        | 0,001               | 0,143        | 0,069  | 0,001 |
| 30     | 49            | 16,362                     | 0,043                | 0,014        | 0,028               | 8,002        | 65,102 | 0,028 |
| 31     | 8             | 15,843                     | 0,007                | 0,014        | -0,007              | 1,858        | 3,882  | 0,007 |
| 32     | 3             | 15,355                     | 0,003                | 0,013        | -0,011              | <b>3,046</b> | 9,941  | 0,011 |
| 33     | 7             | 14,897                     | 0,006                | 0,013        | -0,007              | 1,929        | 4,186  | 0,007 |
| 34     | 6             | 14,465                     | 0,005                | 0,013        | -0,007              | 2,108        | 4,954  | 0,007 |
| 35     | 32            | 14,057                     | 0,028                | 0,012        | 0,016               | 4,681        | 22,902 | 0,016 |
| 36     | 5             | 13,672                     | 0,004                | 0,012        | -0,008              | 2,223        | 5,501  | 0,008 |
| 37     | 4             | 13,308                     | 0,003                | 0,012        | -0,008              | 2,428        | 6,510  | 0,008 |
| 38     | 9             | 12,962                     | 0,008                | 0,011        | -0,003              | 0,967        | 1,211  | 0,003 |
| 39     | 14            | 12,634                     | 0,012                | 0,011        | 0,001               | 0,245        | 0,148  | 0,001 |
| 40     | 40            | 12,322                     | 0,035                | 0,011        | 0,024               | <b>7,784</b> | 62,174 | 0,024 |
| 41     | 12            | 12,025                     | 0,010                | 0,010        | 0,000               | 0,007        | 0,000  | 0,000 |

|    |    |        |       |       |        |        |         |       |
|----|----|--------|-------|-------|--------|--------|---------|-------|
| 42 | 13 | 11,742 | 0,011 | 0,010 | 0,001  | 0,222  | 0,135   | 0,001 |
| 43 | 2  | 11,472 | 0,002 | 0,010 | -0,008 | 2,662  | 7,821   | 0,008 |
| 44 | 7  | 11,214 | 0,006 | 0,010 | -0,004 | 1,115  | 1,584   | 0,004 |
| 45 | 16 | 10,968 | 0,014 | 0,010 | 0,004  | 1,375  | 2,309   | 0,004 |
| 46 | 5  | 10,732 | 0,004 | 0,009 | -0,005 | 1,605  | 3,061   | 0,005 |
| 47 | 7  | 10,506 | 0,006 | 0,009 | -0,003 | 0,932  | 1,170   | 0,003 |
| 48 | 5  | 10,289 | 0,004 | 0,009 | -0,005 | 1,500  | 2,719   | 0,005 |
| 49 | 13 | 10,081 | 0,011 | 0,009 | 0,003  | 0,765  | 0,845   | 0,003 |
| 50 | 55 | 9,882  | 0,048 | 0,009 | 0,039  | 14,255 | 206,006 | 0,039 |
| 51 | 4  | 9,690  | 0,003 | 0,008 | -0,005 | 1,674  | 3,341   | 0,005 |
| 52 | 10 | 9,505  | 0,009 | 0,008 | 0,000  | 0,161  | 0,026   | 0,000 |
| 53 | 2  | 9,327  | 0,002 | 0,008 | -0,006 | 2,245  | 5,756   | 0,006 |
| 54 | 4  | 9,156  | 0,003 | 0,008 | -0,004 | 1,545  | 2,904   | 0,004 |
| 55 | 9  | 8,991  | 0,008 | 0,008 | 0,000  | 0,003  | 0,000   | 0,000 |
| 56 | 3  | 8,832  | 0,003 | 0,008 | -0,005 | 1,801  | 3,851   | 0,005 |
| 57 | 5  | 8,679  | 0,004 | 0,008 | -0,003 | 1,083  | 1,559   | 0,003 |
| 58 | 5  | 8,530  | 0,004 | 0,007 | -0,003 | 1,041  | 1,461   | 0,003 |
| 59 | 10 | 8,387  | 0,009 | 0,007 | 0,001  | 0,386  | 0,310   | 0,001 |
| 60 | 21 | 8,248  | 0,018 | 0,007 | 0,011  | 4,281  | 19,714  | 0,011 |
| 61 | 3  | 8,114  | 0,003 | 0,007 | -0,004 | 1,626  | 3,223   | 0,004 |
| 62 | 2  | 7,984  | 0,002 | 0,007 | -0,005 | 1,948  | 4,485   | 0,005 |
| 63 | 5  | 7,858  | 0,004 | 0,007 | -0,002 | 0,844  | 1,040   | 0,002 |
| 64 | 8  | 7,737  | 0,007 | 0,007 | 0,000  | 0,095  | 0,009   | 0,000 |
| 65 | 11 | 7,619  | 0,010 | 0,007 | 0,003  | 1,047  | 1,501   | 0,003 |
| 66 | 2  | 7,504  | 0,002 | 0,007 | -0,005 | 1,833  | 4,037   | 0,005 |
| 67 | 5  | 7,393  | 0,004 | 0,006 | -0,002 | 0,698  | 0,774   | 0,002 |
| 68 | 1  | 7,285  | 0,001 | 0,006 | -0,005 | 2,150  | 5,422   | 0,005 |
| 69 | 9  | 7,180  | 0,008 | 0,006 | 0,002  | 0,494  | 0,461   | 0,002 |
| 70 | 15 | 7,078  | 0,013 | 0,006 | 0,007  | 2,798  | 8,866   | 0,007 |
| 71 | 1  | 6,979  | 0,001 | 0,006 | -0,005 | 2,080  | 5,122   | 0,005 |
| 72 | 3  | 6,883  | 0,003 | 0,006 | -0,003 | 1,293  | 2,191   | 0,003 |
| 73 | 1  | 6,789  | 0,001 | 0,006 | -0,005 | 2,036  | 4,937   | 0,005 |
| 74 | 4  | 6,698  | 0,003 | 0,006 | -0,002 | 0,852  | 1,087   | 0,002 |
| 75 | 7  | 6,609  | 0,006 | 0,006 | 0,000  | 0,152  | 0,023   | 0,000 |
| 76 | 7  | 6,523  | 0,006 | 0,006 | 0,000  | 0,187  | 0,035   | 0,000 |
| 77 | 3  | 6,439  | 0,003 | 0,006 | -0,003 | 1,161  | 1,837   | 0,003 |
| 78 | 3  | 6,357  | 0,003 | 0,006 | -0,003 | 1,136  | 1,773   | 0,003 |
| 79 | 6  | 6,277  | 0,005 | 0,005 | 0,000  | 0,111  | 0,012   | 0,000 |
| 80 | 19 | 6,199  | 0,017 | 0,005 | 0,011  | 4,954  | 26,435  | 0,011 |
| 81 | 0  | 6,123  | 0,000 | 0,005 | -0,005 | 2,278  | 6,123   | 0,005 |
| 82 | 4  | 6,049  | 0,003 | 0,005 | -0,002 | 0,631  | 0,694   | 0,002 |
| 83 | 2  | 5,976  | 0,002 | 0,005 | -0,003 | 1,426  | 2,645   | 0,003 |
| 84 | 4  | 5,905  | 0,003 | 0,005 | -0,002 | 0,580  | 0,615   | 0,002 |

|    |      |       |       |       |        |       |         |       |
|----|------|-------|-------|-------|--------|-------|---------|-------|
| 85 | 5    | 5,836 | 0,004 | 0,005 | -0,001 | 0,140 | 0,120   | 0,001 |
| 86 | 0    | 5,769 | 0,000 | 0,005 | -0,005 | 2,199 | 5,769   | 0,005 |
| 87 | 2    | 5,703 | 0,002 | 0,005 | -0,003 | 1,345 | 2,404   | 0,003 |
| 88 | 3    | 5,639 | 0,003 | 0,005 | -0,002 | 0,903 | 1,235   | 0,002 |
| 89 | 1    | 5,576 | 0,001 | 0,005 | -0,004 | 1,730 | 3,755   | 0,004 |
| 90 | 9    | 5,514 | 0,008 | 0,005 | 0,003  | 1,275 | 2,204   | 0,003 |
| 91 | 1    | 5,454 | 0,001 | 0,005 | -0,004 | 1,697 | 3,637   | 0,004 |
| 92 | 5    | 5,395 | 0,004 | 0,005 | 0,000  | 0,170 | 0,029   | 0,000 |
| 93 | 1    | 5,337 | 0,001 | 0,005 | -0,004 | 1,665 | 3,524   | 0,004 |
| 94 | 6    | 5,281 | 0,005 | 0,005 | 0,001  | 0,096 | 0,098   | 0,001 |
| 95 | 5    | 5,225 | 0,004 | 0,005 | 0,000  | 0,099 | 0,010   | 0,000 |
| 96 | 2    | 5,171 | 0,002 | 0,005 | -0,003 | 1,177 | 1,945   | 0,003 |
| 97 | 5    | 5,118 | 0,004 | 0,004 | 0,000  | 0,052 | 0,003   | 0,000 |
| 98 | 5    | 5,066 | 0,004 | 0,004 | 0,000  | 0,029 | 0,001   | 0,000 |
| 99 | 11   | 5,015 | 0,010 | 0,004 | 0,005  | 2,455 | 7,142   | 0,005 |
| N  | 1149 |       | 1,000 | 1,000 |        |       | 873,539 | 0,007 |

Fonte: Elaborado pelo autor

**Tabela 34 - Combinação 4 - Teste da Soma**

| Dígito | Soma (R\$)    | Proporção | Benford | Dígito | Soma (R\$)    | Proporção | Benford |
|--------|---------------|-----------|---------|--------|---------------|-----------|---------|
| 10     | 85.573.955,97 | 0,055     | 0,011   | 55     | 34.330.241,47 | 0,0221    | 0,011   |
| 11     | 18.824.576,12 | 0,012     | 0,011   | 56     | 1.183.403,51  | 0,001     | 0,011   |
| 12     | 75.164.861,89 | 0,048     | 0,011   | 57     | 7.036.237,75  | 0,005     | 0,011   |
| 13     | 26.560.984,98 | 0,017     | 0,011   | 58     | 7.599.383,87  | 0,005     | 0,011   |
| 14     | 26.830.314,68 | 0,017     | 0,011   | 59     | 32.200.092,05 | 0,021     | 0,011   |
| 15     | 35.427.354,33 | 0,023     | 0,011   | 60     | 37.901.628,40 | 0,024     | 0,011   |
| 16     | 12.137.093,25 | 0,008     | 0,011   | 61     | 677.213,33    | 0,000     | 0,011   |
| 17     | 6.824.153,66  | 0,004     | 0,011   | 62     | 6.256.213,20  | 0,004     | 0,011   |
| 18     | 15.479.405,25 | 0,010     | 0,011   | 63     | 12.762.094,06 | 0,008     | 0,011   |
| 19     | 24.899.987,15 | 0,016     | 0,011   | 64     | 14.901.004,84 | 0,010     | 0,011   |
| 20     | 64.548.783,08 | 0,041     | 0,011   | 65     | 17.165.335,43 | 0,011     | 0,011   |
| 21     | 8.791.991,17  | 0,006     | 0,011   | 66     | 6.686.552,97  | 0,004     | 0,011   |
| 22     | 29.572.159,28 | 0,019     | 0,011   | 67     | 6.858.247,69  | 0,004     | 0,011   |
| 23     | 15.483.853,42 | 0,010     | 0,011   | 68     | 683.583,00    | 0,000     | 0,011   |
| 24     | 17.391.048,25 | 0,011     | 0,011   | 69     | 43.097.878,00 | 0,028     | 0,011   |
| 25     | 44.391.595,00 | 0,029     | 0,011   | 70     | 32.945.505,81 | 0,021     | 0,011   |
| 26     | 5.840.224,00  | 0,004     | 0,011   | 71     | 7.112,27      | 0,000     | 0,011   |
| 27     | 15.906.727,88 | 0,010     | 0,011   | 72     | 2.168.588,75  | 0,001     | 0,011   |
| 28     | 10.237.223,16 | 0,007     | 0,011   | 73     | 734.620,00    | 0,000     | 0,011   |
| 29     | 23.735.890,53 | 0,015     | 0,011   | 74     | 23.150.908,00 | 0,015     | 0,011   |
| 30     | 62.906.046,40 | 0,040     | 0,011   | 75     | 2.476.577,89  | 0,002     | 0,011   |

|    |               |       |       |    |               |       |       |
|----|---------------|-------|-------|----|---------------|-------|-------|
| 31 | 13.218.719,81 | 0,008 | 0,011 | 76 | 31.421.229,60 | 0,020 | 0,011 |
| 32 | 392.439,30    | 0,000 | 0,011 | 77 | 16.245.654,00 | 0,010 | 0,011 |
| 33 | 17.217.005,89 | 0,011 | 0,011 | 78 | 23.556,73     | 0,000 | 0,011 |
| 34 | 14.421.831,00 | 0,009 | 0,011 | 79 | 25.590.933,99 | 0,016 | 0,011 |
| 35 | 27.114.391,00 | 0,017 | 0,011 | 80 | 26.003.022,56 | 0,017 | 0,011 |
| 36 | 4.460.887,29  | 0,003 | 0,011 | 81 | -             | 0,000 | 0,011 |
| 37 | 1.166.380,98  | 0,001 | 0,011 | 82 | 1.742.427,90  | 0,001 | 0,011 |
| 38 | 30.952.767,00 | 0,020 | 0,011 | 83 | 921.679,62    | 0,001 | 0,011 |
| 39 | 26.602.290,61 | 0,017 | 0,011 | 84 | 1.696.871,00  | 0,001 | 0,011 |
| 40 | 63.133.993,00 | 0,041 | 0,011 | 85 | 3.500.658,19  | 0,002 | 0,011 |
| 41 | 17.482.603,21 | 0,011 | 0,011 | 86 | -             | 0,000 | 0,011 |
| 42 | 13.167.716,00 | 0,008 | 0,011 | 87 | 963.444,20    | 0,001 | 0,011 |
| 43 | 8.692.399,00  | 0,006 | 0,011 | 88 | 18.632.454,00 | 0,012 | 0,011 |
| 44 | 15.120.502,00 | 0,010 | 0,011 | 89 | 89.927,00     | 0,000 | 0,011 |
| 45 | 35.294.445,00 | 0,023 | 0,011 | 90 | 21.870.871,19 | 0,014 | 0,011 |
| 46 | 10.298.742,66 | 0,007 | 0,011 | 91 | 919.239,00    | 0,001 | 0,011 |
| 47 | 20.004.610,96 | 0,013 | 0,011 | 92 | 3.705.988,26  | 0,002 | 0,011 |
| 48 | 10.199.406,18 | 0,007 | 0,011 | 93 | 9.350.000,00  | 0,006 | 0,011 |
| 49 | 7.655.510,38  | 0,005 | 0,011 | 94 | 3.024.968,70  | 0,002 | 0,011 |
| 50 | 66.854.160,00 | 0,043 | 0,011 | 95 | 12.445.961,58 | 0,008 | 0,011 |
| 51 | 6.215.885,39  | 0,004 | 0,011 | 96 | 9.761.583,59  | 0,006 | 0,011 |
| 52 | 22.042.863,67 | 0,014 | 0,011 | 97 | 3.983.454,40  | 0,003 | 0,011 |
| 53 | 5.830.000,00  | 0,004 | 0,011 | 98 | 2.171.962,32  | 0,001 | 0,011 |
| 54 | 1.106.051,00  | 0,001 | 0,011 | 99 | 5.583.225,42  | 0,004 | 0,011 |

Fonte: Elaborado pelo autor

**Tabela 35 - Combinação 5 - Teste do Primeiro Dígito**

| Dígito   | Contagem real (cr) | Contagem esperada (fb x N) | Frequência real (fr) | Benford (fb) | Diferença (fr - fb) | Teste Z | QQ     | MDA   |
|----------|--------------------|----------------------------|----------------------|--------------|---------------------|---------|--------|-------|
| <b>1</b> | 303                | 346,49                     | 0,263                | 0,301        | -0,038              | 2,762   | 5,458  | 0,038 |
| <b>2</b> | 242                | 202,68                     | 0,210                | 0,176        | 0,034               | 3,004   | 7,628  | 0,034 |
| <b>3</b> | 169                | 143,80                     | 0,147                | 0,125        | 0,022               | 2,201   | 4,414  | 0,022 |
| <b>4</b> | 117                | 111,54                     | 0,102                | 0,097        | 0,005               | 0,494   | 0,267  | 0,005 |
| <b>5</b> | 121                | 91,14                      | 0,105                | 0,079        | 0,026               | 3,205   | 9,785  | 0,026 |
| <b>6</b> | 70                 | 77,06                      | 0,061                | 0,067        | -0,006              | 0,773   | 0,646  | 0,006 |
| <b>7</b> | 42                 | 66,75                      | 0,036                | 0,058        | -0,022              | 3,058   | 9,176  | 0,022 |
| <b>8</b> | 45                 | 58,88                      | 0,039                | 0,051        | -0,012              | 1,790   | 3,271  | 0,012 |
| <b>9</b> | 42                 | 52,72                      | 0,036                | 0,046        | -0,009              | 1,440   | 2,178  | 0,009 |
| <b>N</b> | 1151               |                            | 1,000                | 1,000        |                     |         | 42,823 | 0,019 |

Fonte: Elaborado pelo autor

**Tabela 36 - Teste dos Dois Primeiros Dígitos**

| Dígito | Contagem real | Contagem esperada (fb x N) | Frequência real (fr) | Benford (fb) | Diferença (fr - fb) | Teste Z | QQ      | MDA   |
|--------|---------------|----------------------------|----------------------|--------------|---------------------|---------|---------|-------|
| 10     | 107           | 47,643                     | 0,093                | 0,041        | 0,052               | 8,709   | 73,951  | 0,052 |
| 11     | 21            | 43,495                     | 0,018                | 0,038        | -0,020              | 3,400   | 11,634  | 0,020 |
| 12     | 28            | 40,011                     | 0,024                | 0,035        | -0,010              | 1,852   | 3,606   | 0,010 |
| 13     | 19            | 37,045                     | 0,017                | 0,032        | -0,016              | 2,930   | 8,790   | 0,016 |
| 14     | 29            | 34,488                     | 0,025                | 0,030        | -0,005              | 0,862   | 0,873   | 0,005 |
| 15     | 33            | 32,261                     | 0,029                | 0,028        | 0,001               | 0,043   | 0,017   | 0,001 |
| 16     | 9             | 30,305                     | 0,008                | 0,026        | -0,019              | 3,830   | 14,977  | 0,019 |
| 17     | 15            | 28,572                     | 0,013                | 0,025        | -0,012              | 2,476   | 6,447   | 0,012 |
| 18     | 19            | 27,027                     | 0,017                | 0,023        | -0,007              | 1,465   | 2,384   | 0,007 |
| 19     | 23            | 25,640                     | 0,020                | 0,022        | -0,002              | 0,427   | 0,272   | 0,002 |
| 20     | 81            | 24,389                     | 0,070                | 0,021        | 0,049               | 11,484  | 131,405 | 0,049 |
| 21     | 35            | 23,254                     | 0,030                | 0,020        | 0,010               | 2,356   | 5,933   | 0,010 |
| 22     | 12            | 22,220                     | 0,010                | 0,019        | -0,009              | 2,082   | 4,701   | 0,009 |
| 23     | 10            | 21,274                     | 0,009                | 0,018        | -0,010              | 2,358   | 5,975   | 0,010 |
| 24     | 18            | 20,406                     | 0,016                | 0,018        | -0,002              | 0,426   | 0,284   | 0,002 |
| 25     | 44            | 19,605                     | 0,038                | 0,017        | 0,021               | 5,443   | 30,354  | 0,021 |
| 26     | 3             | 18,865                     | 0,003                | 0,016        | -0,014              | 3,567   | 13,342  | 0,014 |
| 27     | 8             | 18,179                     | 0,007                | 0,016        | -0,009              | 2,288   | 5,700   | 0,009 |
| 28     | 10            | 17,541                     | 0,009                | 0,015        | -0,007              | 1,694   | 3,242   | 0,007 |
| 29     | 21            | 16,946                     | 0,018                | 0,015        | 0,004               | 0,870   | 0,970   | 0,004 |
| 30     | 63            | 16,391                     | 0,055                | 0,014        | 0,040               | 11,471  | 132,540 | 0,040 |
| 31     | 7             | 15,870                     | 0,006                | 0,014        | -0,008              | 2,116   | 4,958   | 0,008 |
| 32     | 7             | 15,382                     | 0,006                | 0,013        | -0,007              | 2,023   | 4,567   | 0,007 |
| 33     | 9             | 14,923                     | 0,008                | 0,013        | -0,005              | 1,413   | 2,351   | 0,005 |
| 34     | 11            | 14,490                     | 0,010                | 0,013        | -0,003              | 0,790   | 0,841   | 0,003 |
| 35     | 34            | 14,082                     | 0,030                | 0,012        | 0,017               | 5,207   | 28,173  | 0,017 |
| 36     | 3             | 13,696                     | 0,003                | 0,012        | -0,009              | 2,772   | 8,353   | 0,009 |
| 37     | 6             | 13,331                     | 0,005                | 0,012        | -0,006              | 1,882   | 4,031   | 0,006 |
| 38     | 9             | 12,984                     | 0,008                | 0,011        | -0,003              | 0,972   | 1,223   | 0,003 |
| 39     | 20            | 12,656                     | 0,017                | 0,011        | 0,006               | 1,935   | 4,262   | 0,006 |
| 40     | 41            | 12,343                     | 0,036                | 0,011        | 0,025               | 8,058   | 66,532  | 0,025 |
| 41     | 7             | 12,046                     | 0,006                | 0,010        | -0,004              | 1,317   | 2,114   | 0,004 |
| 42     | 13            | 11,762                     | 0,011                | 0,010        | 0,001               | 0,216   | 0,130   | 0,001 |
| 43     | 4             | 11,492                     | 0,003                | 0,010        | -0,007              | 2,073   | 4,884   | 0,007 |
| 44     | 5             | 11,234                     | 0,004                | 0,010        | -0,005              | 1,719   | 3,459   | 0,005 |
| 45     | 19            | 10,987                     | 0,017                | 0,010        | 0,007               | 2,278   | 5,845   | 0,007 |

|    |    |        |       |       |        |        |         |       |
|----|----|--------|-------|-------|--------|--------|---------|-------|
| 46 | 4  | 10,750 | 0,003 | 0,009 | -0,006 | 1,915  | 4,239   | 0,006 |
| 47 | 5  | 10,524 | 0,004 | 0,009 | -0,005 | 1,556  | 2,900   | 0,005 |
| 48 | 4  | 10,307 | 0,003 | 0,009 | -0,005 | 1,817  | 3,859   | 0,005 |
| 49 | 15 | 10,099 | 0,013 | 0,009 | 0,004  | 1,391  | 2,379   | 0,004 |
| 50 | 74 | 9,899  | 0,064 | 0,009 | 0,056  | 20,303 | 415,097 | 0,056 |
| 51 | 4  | 9,707  | 0,003 | 0,008 | -0,005 | 1,678  | 3,355   | 0,005 |
| 52 | 6  | 9,522  | 0,005 | 0,008 | -0,003 | 0,983  | 1,303   | 0,003 |
| 53 | 4  | 9,344  | 0,003 | 0,008 | -0,005 | 1,591  | 3,056   | 0,005 |
| 54 | 3  | 9,172  | 0,003 | 0,008 | -0,005 | 1,880  | 4,153   | 0,005 |
| 55 | 8  | 9,007  | 0,007 | 0,008 | -0,001 | 0,170  | 0,113   | 0,001 |
| 56 | 6  | 8,848  | 0,005 | 0,008 | -0,002 | 0,792  | 0,916   | 0,002 |
| 57 | 3  | 8,694  | 0,003 | 0,008 | -0,005 | 1,768  | 3,729   | 0,005 |
| 58 | 5  | 8,545  | 0,004 | 0,007 | -0,003 | 1,046  | 1,471   | 0,003 |
| 59 | 8  | 8,401  | 0,007 | 0,007 | 0,000  | 0,139  | 0,019   | 0,000 |
| 60 | 22 | 8,263  | 0,019 | 0,007 | 0,012  | 4,622  | 22,840  | 0,012 |
| 61 | 3  | 8,128  | 0,003 | 0,007 | -0,004 | 1,629  | 3,235   | 0,004 |
| 62 | 2  | 7,998  | 0,002 | 0,007 | -0,005 | 1,951  | 4,498   | 0,005 |
| 63 | 5  | 7,872  | 0,004 | 0,007 | -0,002 | 0,848  | 1,048   | 0,002 |
| 64 | 7  | 7,750  | 0,006 | 0,007 | -0,001 | 0,090  | 0,073   | 0,001 |
| 65 | 12 | 7,632  | 0,010 | 0,007 | 0,004  | 1,405  | 2,500   | 0,004 |
| 66 | 2  | 7,517  | 0,002 | 0,007 | -0,005 | 1,836  | 4,049   | 0,005 |
| 67 | 8  | 7,406  | 0,007 | 0,006 | 0,001  | 0,035  | 0,048   | 0,001 |
| 68 | 1  | 7,298  | 0,001 | 0,006 | -0,005 | 2,153  | 5,435   | 0,005 |
| 69 | 8  | 7,193  | 0,007 | 0,006 | 0,001  | 0,115  | 0,091   | 0,001 |
| 70 | 14 | 7,091  | 0,012 | 0,006 | 0,006  | 2,414  | 6,733   | 0,006 |
| 71 | 1  | 6,991  | 0,001 | 0,006 | -0,005 | 2,083  | 5,134   | 0,005 |
| 72 | 5  | 6,895  | 0,004 | 0,006 | -0,002 | 0,533  | 0,521   | 0,002 |
| 73 | 1  | 6,801  | 0,001 | 0,006 | -0,005 | 2,039  | 4,948   | 0,005 |
| 74 | 3  | 6,710  | 0,003 | 0,006 | -0,003 | 1,243  | 2,051   | 0,003 |
| 75 | 5  | 6,621  | 0,004 | 0,006 | -0,001 | 0,437  | 0,397   | 0,001 |
| 76 | 4  | 6,534  | 0,003 | 0,006 | -0,002 | 0,798  | 0,983   | 0,002 |
| 77 | 3  | 6,450  | 0,003 | 0,006 | -0,003 | 1,165  | 1,845   | 0,003 |
| 78 | 2  | 6,368  | 0,002 | 0,006 | -0,004 | 1,537  | 2,996   | 0,004 |
| 79 | 4  | 6,288  | 0,003 | 0,005 | -0,002 | 0,715  | 0,832   | 0,002 |
| 80 | 20 | 6,210  | 0,017 | 0,005 | 0,012  | 5,348  | 30,625  | 0,012 |
| 81 | 0  | 6,133  | 0,000 | 0,005 | -0,005 | 2,281  | 6,133   | 0,005 |
| 82 | 4  | 6,059  | 0,003 | 0,005 | -0,002 | 0,635  | 0,700   | 0,002 |
| 83 | 2  | 5,987  | 0,002 | 0,005 | -0,003 | 1,429  | 2,655   | 0,003 |
| 84 | 7  | 5,916  | 0,006 | 0,005 | 0,001  | 0,241  | 0,199   | 0,001 |
| 85 | 4  | 5,847  | 0,003 | 0,005 | -0,002 | 0,558  | 0,583   | 0,002 |
| 86 | 2  | 5,779  | 0,002 | 0,005 | -0,003 | 1,367  | 2,471   | 0,003 |
| 87 | 1  | 5,713  | 0,001 | 0,005 | -0,004 | 1,767  | 3,888   | 0,004 |
| 88 | 3  | 5,648  | 0,003 | 0,005 | -0,002 | 0,906  | 1,242   | 0,002 |

|    |      |       |       |       |        |       |          |       |
|----|------|-------|-------|-------|--------|-------|----------|-------|
| 89 | 2    | 5,585 | 0,002 | 0,005 | -0,003 | 1,309 | 2,301    | 0,003 |
| 90 | 9    | 5,524 | 0,008 | 0,005 | 0,003  | 1,270 | 2,188    | 0,003 |
| 91 | 1    | 5,463 | 0,001 | 0,005 | -0,004 | 1,700 | 3,646    | 0,004 |
| 92 | 3    | 5,404 | 0,003 | 0,005 | -0,002 | 0,821 | 1,069    | 0,002 |
| 93 | 1    | 5,346 | 0,001 | 0,005 | -0,004 | 1,667 | 3,533    | 0,004 |
| 94 | 6    | 5,290 | 0,005 | 0,005 | 0,001  | 0,092 | 0,095    | 0,001 |
| 95 | 3    | 5,234 | 0,003 | 0,005 | -0,002 | 0,760 | 0,954    | 0,002 |
| 96 | 2    | 5,180 | 0,002 | 0,005 | -0,003 | 1,180 | 1,952    | 0,003 |
| 97 | 3    | 5,127 | 0,003 | 0,004 | -0,002 | 0,720 | 0,882    | 0,002 |
| 98 | 2    | 5,075 | 0,002 | 0,004 | -0,003 | 1,146 | 1,863    | 0,003 |
| 99 | 12   | 5,024 | 0,010 | 0,004 | 0,006  | 2,896 | 9,687    | 0,006 |
| N  | 1151 |       | 1,000 | 1,000 |        |       | 1192,632 | 0,008 |

Fonte: Elaborado pelo autor

**Tabela 37 - Combinação 5 - Teste da Soma**

| Dígito | Soma (R\$)    | Proporção | Benford | Dígito | Soma (R\$)    | Proporção | Benford |
|--------|---------------|-----------|---------|--------|---------------|-----------|---------|
| 10     | 77.593.899,26 | 0,050     | 0,011   | 55     | 28.716.116,47 | 0,018     | 0,011   |
| 11     | 44.858.883,52 | 0,029     | 0,011   | 56     | 7.404.457,51  | 0,005     | 0,011   |
| 12     | 58.554.420,35 | 0,037     | 0,011   | 57     | 6.407.809,75  | 0,004     | 0,011   |
| 13     | 21.359.138,55 | 0,014     | 0,011   | 58     | 7.599.383,87  | 0,005     | 0,011   |
| 14     | 36.288.542,79 | 0,023     | 0,011   | 59     | 14.407.620,05 | 0,009     | 0,011   |
| 15     | 23.676.778,33 | 0,015     | 0,011   | 60     | 44.474.803,40 | 0,028     | 0,011   |
| 16     | 6.711.513,45  | 0,004     | 0,011   | 61     | 677.213,33    | 0,000     | 0,011   |
| 17     | 10.137.113,24 | 0,006     | 0,011   | 62     | 6.226.213,20  | 0,004     | 0,011   |
| 18     | 17.789.651,01 | 0,011     | 0,011   | 63     | 12.761.829,32 | 0,008     | 0,011   |
| 19     | 20.757.623,86 | 0,013     | 0,011   | 64     | 14.190.323,84 | 0,009     | 0,011   |
| 20     | 71.762.484,49 | 0,046     | 0,011   | 65     | 11.355.186,07 | 0,007     | 0,011   |
| 21     | 8.855.234,47  | 0,006     | 0,011   | 66     | 6.686.552,97  | 0,004     | 0,011   |
| 22     | 22.518.459,28 | 0,014     | 0,011   | 67     | 21.596.721,33 | 0,014     | 0,011   |
| 23     | 8.459.919,72  | 0,005     | 0,011   | 68     | 68.898,69     | 0,000     | 0,011   |
| 24     | 10.080.319,25 | 0,006     | 0,011   | 69     | 42.400.878,00 | 0,027     | 0,011   |
| 25     | 40.186.480,06 | 0,026     | 0,011   | 70     | 32.243.908,00 | 0,021     | 0,011   |
| 26     | 3.217.606,00  | 0,002     | 0,011   | 71     | 7.112,27      | 0,000     | 0,011   |
| 27     | 4.389.301,27  | 0,003     | 0,011   | 72     | 9.441.765,52  | 0,006     | 0,011   |
| 28     | 12.827.306,06 | 0,008     | 0,011   | 73     | 734.620,00    | 0,000     | 0,011   |
| 29     | 29.711.362,98 | 0,019     | 0,011   | 74     | 15.680.681,00 | 0,010     | 0,011   |
| 30     | 66.836.525,40 | 0,043     | 0,011   | 75     | 2.325.771,60  | 0,001     | 0,011   |
| 31     | 7.522.747,81  | 0,005     | 0,011   | 76     | 8.471.811,60  | 0,005     | 0,011   |
| 32     | 10.366.534,98 | 0,007     | 0,011   | 77     | 16.200.187,00 | 0,010     | 0,011   |
| 33     | 20.869.692,89 | 0,013     | 0,011   | 78     | 15.698,72     | 0,000     | 0,011   |
| 34     | 28.607.943,00 | 0,018     | 0,011   | 79     | 24.711.184,99 | 0,016     | 0,011   |
| 35     | 17.364.991,48 | 0,011     | 0,011   | 80     | 33.145.815,56 | 0,021     | 0,011   |

|    |               |       |       |    |               |       |       |
|----|---------------|-------|-------|----|---------------|-------|-------|
| 36 | 4.055.697,58  | 0,003 | 0,011 | 81 | -             | 0,000 | 0,011 |
| 37 | 1.540.873,98  | 0,001 | 0,011 | 82 | 1.000.658,89  | 0,001 | 0,011 |
| 38 | 30.952.984,00 | 0,020 | 0,011 | 83 | 921.679,62    | 0,001 | 0,011 |
| 39 | 53.920.915,72 | 0,034 | 0,011 | 84 | 11.841.876,00 | 0,008 | 0,011 |
| 40 | 74.286.872,00 | 0,048 | 0,011 | 85 | 2.650.658,19  | 0,002 | 0,011 |
| 41 | 12.917.726,42 | 0,008 | 0,011 | 86 | 875.096,20    | 0,001 | 0,011 |
| 42 | 17.393.617,00 | 0,011 | 0,011 | 87 | 876.000,00    | 0,001 | 0,011 |
| 43 | 17.334.821,00 | 0,011 | 0,011 | 88 | 18.628.716,00 | 0,012 | 0,011 |
| 44 | 6.190.757,00  | 0,004 | 0,011 | 89 | 9.014.072,00  | 0,006 | 0,011 |
| 45 | 36.198.951,80 | 0,023 | 0,011 | 90 | 20.979.871,19 | 0,013 | 0,011 |
| 46 | 5.667.288,66  | 0,004 | 0,011 | 91 | 919.239,00    | 0,001 | 0,011 |
| 47 | 14.758.302,89 | 0,009 | 0,011 | 92 | 2.775.236,00  | 0,002 | 0,011 |
| 48 | 9.747.255,00  | 0,006 | 0,011 | 93 | 9.350.000,00  | 0,006 | 0,011 |
| 49 | 8.652.828,02  | 0,006 | 0,011 | 94 | 4.806.014,18  | 0,003 | 0,011 |
| 50 | 94.737.219,60 | 0,061 | 0,011 | 95 | 2.005.306,58  | 0,001 | 0,011 |
| 51 | 6.215.885,39  | 0,004 | 0,011 | 96 | 105.778,95    | 0,000 | 0,011 |
| 52 | 11.055.337,08 | 0,007 | 0,011 | 97 | 2.037.602,50  | 0,001 | 0,011 |
| 53 | 6.420.705,06  | 0,004 | 0,011 | 98 | 1.084.162,32  | 0,001 | 0,011 |
| 54 | 6.515.388,00  | 0,004 | 0,011 | 99 | 5.682.678,59  | 0,004 | 0,011 |

Fonte: Elaborado pelo autor

**Tabela 38 - Combinação 6 - Teste do Primeiro Dígito**

| Dígito   | Contagem real (cr) | Contagem esperada (fb x N) | Frequência real (fr) | Benford (fb) | Diferença (fr - fb) | Teste Z | QQ     | MDA   |
|----------|--------------------|----------------------------|----------------------|--------------|---------------------|---------|--------|-------|
| <b>1</b> | 307                | 335,95                     | 0,275                | 0,301        | -0,026              | 1,857   | 2,495  | 0,026 |
| <b>2</b> | 230                | 196,52                     | 0,206                | 0,176        | 0,030               | 2,592   | 5,705  | 0,030 |
| <b>3</b> | 169                | 139,43                     | 0,151                | 0,125        | 0,026               | 2,632   | 6,270  | 0,026 |
| <b>4</b> | 113                | 108,15                     | 0,101                | 0,097        | 0,004               | 0,440   | 0,217  | 0,004 |
| <b>5</b> | 113                | 88,37                      | 0,101                | 0,079        | 0,022               | 2,675   | 6,867  | 0,022 |
| <b>6</b> | 62                 | 74,71                      | 0,056                | 0,067        | -0,011              | 1,463   | 2,163  | 0,011 |
| <b>7</b> | 42                 | 64,72                      | 0,038                | 0,058        | -0,020              | 2,846   | 7,975  | 0,020 |
| <b>8</b> | 35                 | 57,09                      | 0,031                | 0,051        | -0,020              | 2,933   | 8,545  | 0,020 |
| <b>9</b> | 45                 | 51,11                      | 0,040                | 0,046        | -0,005              | 0,804   | 0,731  | 0,005 |
| <b>N</b> | 1116               |                            | 1,000                | 1,000        |                     |         | 40,969 | 0,018 |

Fonte: Elaborado pelo autor

**Tabela 39 - Combinação 6 - Teste dos Dois Primeiros Dígitos**

| Dígito | Contagem real | Contagem esperada (fb x N) | Frequência real (fr) | Benford (fb) | Diferença (fr - fb) | Teste Z | QQ      | MDA   |
|--------|---------------|----------------------------|----------------------|--------------|---------------------|---------|---------|-------|
| 10     | 125           | 46,194                     | 0,112                | 0,041        | 0,071               | 11,767  | 134,440 | 0,071 |
| 11     | 14            | 42,172                     | 0,013                | 0,038        | -0,025              | 4,344   | 18,820  | 0,025 |
| 12     | 27            | 38,795                     | 0,024                | 0,035        | -0,011              | 1,846   | 3,586   | 0,011 |
| 13     | 12            | 35,918                     | 0,011                | 0,032        | -0,021              | 3,972   | 15,927  | 0,021 |
| 14     | 27            | 33,439                     | 0,024                | 0,030        | -0,006              | 1,043   | 1,240   | 0,006 |
| 15     | 41            | 31,280                     | 0,037                | 0,028        | 0,009               | 1,672   | 3,020   | 0,009 |
| 16     | 10            | 29,383                     | 0,009                | 0,026        | -0,017              | 3,530   | 12,786  | 0,017 |
| 17     | 13            | 27,703                     | 0,012                | 0,025        | -0,013              | 2,733   | 7,804   | 0,013 |
| 18     | 18            | 26,205                     | 0,016                | 0,023        | -0,007              | 1,523   | 2,569   | 0,007 |
| 19     | 20            | 24,860                     | 0,018                | 0,022        | -0,004              | 0,884   | 0,950   | 0,004 |
| 20     | 67            | 23,647                     | 0,060                | 0,021        | 0,039               | 8,907   | 79,479  | 0,039 |
| 21     | 47            | 22,547                     | 0,042                | 0,020        | 0,022               | 5,096   | 26,520  | 0,022 |
| 22     | 10            | 21,545                     | 0,009                | 0,019        | -0,010              | 2,403   | 6,186   | 0,010 |
| 23     | 12            | 20,627                     | 0,011                | 0,018        | -0,008              | 1,806   | 3,608   | 0,008 |
| 24     | 15            | 19,785                     | 0,013                | 0,018        | -0,004              | 0,972   | 1,157   | 0,004 |
| 25     | 36            | 19,009                     | 0,032                | 0,017        | 0,015               | 3,815   | 15,187  | 0,015 |
| 26     | 4             | 18,292                     | 0,004                | 0,016        | -0,013              | 3,251   | 11,166  | 0,013 |
| 27     | 10            | 17,626                     | 0,009                | 0,016        | -0,007              | 1,711   | 3,300   | 0,007 |
| 28     | 11            | 17,008                     | 0,010                | 0,015        | -0,005              | 1,346   | 2,122   | 0,005 |
| 29     | 18            | 16,431                     | 0,016                | 0,015        | 0,001               | 0,266   | 0,150   | 0,001 |
| 30     | 57            | 15,892                     | 0,051                | 0,014        | 0,037               | 10,260  | 106,331 | 0,037 |
| 31     | 12            | 15,388                     | 0,011                | 0,014        | -0,003              | 0,741   | 0,746   | 0,003 |
| 32     | 9             | 14,914                     | 0,008                | 0,013        | -0,005              | 1,411   | 2,345   | 0,005 |
| 33     | 6             | 14,469                     | 0,005                | 0,013        | -0,008              | 2,109   | 4,957   | 0,008 |
| 34     | 13            | 14,049                     | 0,012                | 0,013        | -0,001              | 0,148   | 0,078   | 0,001 |
| 35     | 37            | 13,654                     | 0,033                | 0,012        | 0,021               | 6,221   | 39,920  | 0,021 |
| 36     | 2             | 13,280                     | 0,002                | 0,012        | -0,010              | 2,976   | 9,581   | 0,010 |
| 37     | 11            | 12,925                     | 0,010                | 0,012        | -0,002              | 0,399   | 0,287   | 0,002 |
| 38     | 6             | 12,590                     | 0,005                | 0,011        | -0,006              | 1,726   | 3,449   | 0,006 |
| 39     | 16            | 12,271                     | 0,014                | 0,011        | 0,003               | 0,927   | 1,133   | 0,003 |
| 40     | 32            | 11,968                     | 0,029                | 0,011        | 0,018               | 5,677   | 33,531  | 0,018 |
| 41     | 5             | 11,679                     | 0,004                | 0,010        | -0,006              | 1,818   | 3,820   | 0,006 |
| 42     | 18            | 11,405                     | 0,016                | 0,010        | 0,006               | 1,814   | 3,814   | 0,006 |
| 43     | 8             | 11,142                     | 0,007                | 0,010        | -0,003              | 0,796   | 0,886   | 0,003 |
| 44     | 3             | 10,892                     | 0,003                | 0,010        | -0,007              | 2,251   | 5,718   | 0,007 |
| 45     | 19            | 10,653                     | 0,017                | 0,010        | 0,007               | 2,416   | 6,541   | 0,007 |
| 46     | 6             | 10,423                     | 0,005                | 0,009        | -0,004              | 1,221   | 1,877   | 0,004 |

|    |    |        |       |       |        |        |         |       |
|----|----|--------|-------|-------|--------|--------|---------|-------|
| 47 | 7  | 10,204 | 0,006 | 0,009 | -0,003 | 0,850  | 1,006   | 0,003 |
| 48 | 5  | 9,994  | 0,004 | 0,009 | -0,004 | 1,428  | 2,495   | 0,004 |
| 49 | 10 | 9,792  | 0,009 | 0,009 | 0,000  | 0,067  | 0,004   | 0,000 |
| 50 | 69 | 9,598  | 0,062 | 0,009 | 0,053  | 19,095 | 367,649 | 0,053 |
| 51 | 4  | 9,411  | 0,004 | 0,008 | -0,005 | 1,608  | 3,111   | 0,005 |
| 52 | 7  | 9,232  | 0,006 | 0,008 | -0,002 | 0,572  | 0,540   | 0,002 |
| 53 | 3  | 9,060  | 0,003 | 0,008 | -0,005 | 1,855  | 4,053   | 0,005 |
| 54 | 4  | 8,893  | 0,004 | 0,008 | -0,004 | 1,479  | 2,692   | 0,004 |
| 55 | 9  | 8,733  | 0,008 | 0,008 | 0,000  | 0,091  | 0,008   | 0,000 |
| 56 | 4  | 8,579  | 0,004 | 0,008 | -0,004 | 1,398  | 2,444   | 0,004 |
| 57 | 5  | 8,429  | 0,004 | 0,008 | -0,003 | 1,013  | 1,395   | 0,003 |
| 58 | 5  | 8,285  | 0,004 | 0,007 | -0,003 | 0,971  | 1,303   | 0,003 |
| 59 | 3  | 8,146  | 0,003 | 0,007 | -0,005 | 1,634  | 3,251   | 0,005 |
| 60 | 13 | 8,011  | 0,012 | 0,007 | 0,004  | 1,592  | 3,107   | 0,004 |
| 61 | 5  | 7,881  | 0,004 | 0,007 | -0,003 | 0,851  | 1,053   | 0,003 |
| 62 | 5  | 7,755  | 0,004 | 0,007 | -0,002 | 0,813  | 0,979   | 0,002 |
| 63 | 6  | 7,633  | 0,005 | 0,007 | -0,001 | 0,411  | 0,349   | 0,001 |
| 64 | 7  | 7,514  | 0,006 | 0,007 | 0,000  | 0,005  | 0,035   | 0,000 |
| 65 | 11 | 7,400  | 0,010 | 0,007 | 0,003  | 1,144  | 1,752   | 0,003 |
| 66 | 4  | 7,288  | 0,004 | 0,007 | -0,003 | 1,036  | 1,484   | 0,003 |
| 67 | 3  | 7,180  | 0,003 | 0,006 | -0,004 | 1,378  | 2,434   | 0,004 |
| 68 | 0  | 7,076  | 0,000 | 0,006 | -0,006 | 2,480  | 7,076   | 0,006 |
| 69 | 8  | 6,974  | 0,007 | 0,006 | 0,001  | 0,200  | 0,151   | 0,001 |
| 70 | 20 | 6,875  | 0,018 | 0,006 | 0,012  | 4,830  | 25,058  | 0,012 |
| 71 | 3  | 6,779  | 0,003 | 0,006 | -0,003 | 1,263  | 2,106   | 0,003 |
| 72 | 2  | 6,685  | 0,002 | 0,006 | -0,004 | 1,624  | 3,284   | 0,004 |
| 73 | 2  | 6,594  | 0,002 | 0,006 | -0,004 | 1,599  | 3,201   | 0,004 |
| 74 | 5  | 6,506  | 0,004 | 0,006 | -0,001 | 0,395  | 0,349   | 0,001 |
| 75 | 3  | 6,420  | 0,003 | 0,006 | -0,003 | 1,156  | 1,822   | 0,003 |
| 76 | 1  | 6,336  | 0,001 | 0,006 | -0,005 | 1,927  | 4,494   | 0,005 |
| 77 | 1  | 6,254  | 0,001 | 0,006 | -0,005 | 1,906  | 4,414   | 0,005 |
| 78 | 1  | 6,174  | 0,001 | 0,006 | -0,005 | 1,886  | 4,336   | 0,005 |
| 79 | 4  | 6,097  | 0,004 | 0,005 | -0,002 | 0,648  | 0,721   | 0,002 |
| 80 | 15 | 6,021  | 0,013 | 0,005 | 0,008  | 3,465  | 13,391  | 0,008 |
| 81 | 0  | 5,947  | 0,000 | 0,005 | -0,005 | 2,240  | 5,947   | 0,005 |
| 82 | 4  | 5,875  | 0,004 | 0,005 | -0,002 | 0,569  | 0,598   | 0,002 |
| 83 | 2  | 5,805  | 0,002 | 0,005 | -0,003 | 1,375  | 2,494   | 0,003 |
| 84 | 6  | 5,736  | 0,005 | 0,005 | 0,000  | 0,111  | 0,012   | 0,000 |
| 85 | 2  | 5,669  | 0,002 | 0,005 | -0,003 | 1,334  | 2,374   | 0,003 |
| 86 | 1  | 5,603  | 0,001 | 0,005 | -0,004 | 1,738  | 3,782   | 0,004 |
| 87 | 1  | 5,539  | 0,001 | 0,005 | -0,004 | 1,720  | 3,720   | 0,004 |
| 88 | 1  | 5,477  | 0,001 | 0,005 | -0,004 | 1,703  | 3,659   | 0,004 |
| 89 | 3  | 5,415  | 0,003 | 0,005 | -0,002 | 0,825  | 1,077   | 0,002 |

|    |      |       |       |       |        |       |          |       |
|----|------|-------|-------|-------|--------|-------|----------|-------|
| 90 | 11   | 5,356 | 0,010 | 0,005 | 0,005  | 2,228 | 5,949    | 0,005 |
| 91 | 1    | 5,297 | 0,001 | 0,005 | -0,004 | 1,654 | 3,486    | 0,004 |
| 92 | 4    | 5,240 | 0,004 | 0,005 | -0,001 | 0,324 | 0,293    | 0,001 |
| 93 | 1    | 5,184 | 0,001 | 0,005 | -0,004 | 1,622 | 3,377    | 0,004 |
| 94 | 2    | 5,129 | 0,002 | 0,005 | -0,003 | 1,163 | 1,909    | 0,003 |
| 95 | 2    | 5,075 | 0,002 | 0,005 | -0,003 | 1,146 | 1,863    | 0,003 |
| 96 | 2    | 5,023 | 0,002 | 0,005 | -0,003 | 1,128 | 1,819    | 0,003 |
| 97 | 5    | 4,971 | 0,004 | 0,004 | 0,000  | 0,013 | 0,000    | 0,000 |
| 98 | 4    | 4,921 | 0,004 | 0,004 | -0,001 | 0,190 | 0,172    | 0,001 |
| 99 | 13   | 4,871 | 0,012 | 0,004 | 0,007  | 3,464 | 13,565   | 0,007 |
| N  | 1116 |       | 1,000 | 1,000 |        |       | 1102,674 | 0,008 |

Fonte: Elaborado pelo autor

**Tabela 40 - Combinação 6 - Teste da Soma**

| Dígito | Soma (R\$)    | Proporção | Benford | Dígito | Soma (R\$)    | Proporção | Benford |
|--------|---------------|-----------|---------|--------|---------------|-----------|---------|
| 10     | 77.073.634,36 | 0,059     | 0,011   | 55     | 29.319.895,47 | 0,023     | 0,011   |
| 11     | 17.246.432,17 | 0,013     | 0,011   | 56     | 6.836.532,76  | 0,005     | 0,011   |
| 12     | 42.025.925,70 | 0,032     | 0,011   | 57     | 17.859.781,70 | 0,014     | 0,011   |
| 13     | 11.082.167,17 | 0,009     | 0,011   | 58     | 1.804.466,80  | 0,001     | 0,011   |
| 14     | 21.357.921,35 | 0,016     | 0,011   | 59     | 7.190.159,14  | 0,006     | 0,011   |
| 15     | 26.217.080,92 | 0,020     | 0,011   | 60     | 12.678.595,13 | 0,010     | 0,011   |
| 16     | 8.729.196,95  | 0,007     | 0,011   | 61     | 12.984.790,26 | 0,010     | 0,011   |
| 17     | 13.114.446,03 | 0,010     | 0,011   | 62     | 8.133.154,20  | 0,006     | 0,011   |
| 18     | 19.559.738,89 | 0,015     | 0,011   | 63     | 25.455.708,00 | 0,020     | 0,011   |
| 19     | 21.150.189,90 | 0,016     | 0,011   | 64     | 14.268.316,23 | 0,011     | 0,011   |
| 20     | 49.381.811,50 | 0,038     | 0,011   | 65     | 11.920.915,76 | 0,009     | 0,011   |
| 21     | 12.086.231,47 | 0,009     | 0,011   | 66     | 13.966.884,00 | 0,011     | 0,011   |
| 22     | 10.090.296,55 | 0,008     | 0,011   | 67     | 7.400.882,00  | 0,006     | 0,011   |
| 23     | 8.702.883,73  | 0,007     | 0,011   | 68     | -             | 0,000     | 0,011   |
| 24     | 12.178.909,00 | 0,009     | 0,011   | 69     | 43.118.907,00 | 0,033     | 0,011   |
| 25     | 22.306.032,00 | 0,017     | 0,011   | 70     | 26.232.758,78 | 0,020     | 0,011   |
| 26     | 8.102.462,00  | 0,006     | 0,011   | 71     | 1.436.112,27  | 0,001     | 0,011   |
| 27     | 2.008.886,16  | 0,002     | 0,011   | 72     | 1.453.802,00  | 0,001     | 0,011   |
| 28     | 17.651.615,31 | 0,014     | 0,011   | 73     | 1.464.620,00  | 0,001     | 0,011   |
| 29     | 28.901.156,23 | 0,0223    | 0,011   | 74     | 16.495.332,32 | 0,013     | 0,011   |
| 30     | 54.170.081,18 | 0,042     | 0,011   | 75     | 825.771,60    | 0,001     | 0,011   |
| 31     | 20.191.323,24 | 0,016     | 0,011   | 76     | 7.677,60      | 0,000     | 0,011   |
| 32     | 8.178.578,80  | 0,006     | 0,011   | 77     | 7.700.000,00  | 0,006     | 0,011   |
| 33     | 16.899.173,77 | 0,013     | 0,011   | 78     | 7.820,00      | 0,000     | 0,011   |
| 34     | 19.987.749,90 | 0,015     | 0,011   | 79     | 10.360.080,99 | 0,008     | 0,011   |
| 35     | 28.703.458,31 | 0,0221    | 0,011   | 80     | 15.466.213,46 | 0,012     | 0,011   |

|    |               |       |       |    |               |       |       |
|----|---------------|-------|-------|----|---------------|-------|-------|
| 36 | 3.981.879,19  | 0,003 | 0,011 | 81 | -             | 0,000 | 0,011 |
| 37 | 16.500.054,41 | 0,013 | 0,011 | 82 | 2.483.842,00  | 0,002 | 0,011 |
| 38 | 15.676.239,44 | 0,012 | 0,011 | 83 | 921.679,62    | 0,001 | 0,011 |
| 39 | 30.271.226,99 | 0,023 | 0,011 | 84 | 1.036.170,43  | 0,001 | 0,011 |
| 40 | 41.827.930,00 | 0,032 | 0,011 | 85 | 1.700.613,00  | 0,001 | 0,011 |
| 41 | 9.163.291,46  | 0,007 | 0,011 | 86 | 86.647,47     | 0,000 | 0,011 |
| 42 | 14.830.537,59 | 0,011 | 0,011 | 87 | 87.000,00     | 0,000 | 0,011 |
| 43 | 18.699.696,83 | 0,014 | 0,011 | 88 | 8.850.000,00  | 0,007 | 0,011 |
| 44 | 1.346.832,87  | 0,001 | 0,011 | 89 | 1.885.171,06  | 0,001 | 0,011 |
| 45 | 41.176.351,39 | 0,032 | 0,011 | 90 | 13.950.871,19 | 0,011 | 0,011 |
| 46 | 14.968.432,66 | 0,012 | 0,011 | 91 | 913.480,00    | 0,001 | 0,011 |
| 47 | 15.700.644,69 | 0,012 | 0,011 | 92 | 2.779.402,00  | 0,002 | 0,011 |
| 48 | 15.077.495,00 | 0,012 | 0,011 | 93 | 930.000,00    | 0,001 | 0,011 |
| 49 | 7.085.147,11  | 0,005 | 0,011 | 94 | 1.883.628,48  | 0,001 | 0,011 |
| 50 | 78.338.872,78 | 0,060 | 0,011 | 95 | 1.045.961,58  | 0,001 | 0,011 |
| 51 | 10.857.687,39 | 0,008 | 0,011 | 96 | 192.729,59    | 0,000 | 0,011 |
| 52 | 16.284.449,08 | 0,013 | 0,011 | 97 | 3.113.182,00  | 0,002 | 0,011 |
| 53 | 6.377.085,00  | 0,005 | 0,011 | 98 | 12.848.184,00 | 0,010 | 0,011 |
| 54 | 7.055.388,00  | 0,005 | 0,011 | 99 | 4.884.890,45  | 0,004 | 0,011 |

Fonte: Elaborado pelo autor

**Tabela 41 - Combinação 7 - Teste do Primeiro Dígito**

| Dígito   | Contagem real (cr) | Contagem esperada (fb x N) | Frequência real (fr) | Benford (fb) | Diferença (fr - fb) | Teste Z | QQ     | MDA   |
|----------|--------------------|----------------------------|----------------------|--------------|---------------------|---------|--------|-------|
| <b>1</b> | 326                | 346,18                     | 0,283                | 0,301        | -0,018              | 1,265   | 1,177  | 0,018 |
| <b>2</b> | 234                | 202,50                     | 0,203                | 0,176        | 0,027               | 2,400   | 4,898  | 0,027 |
| <b>3</b> | 162                | 143,68                     | 0,141                | 0,125        | 0,016               | 1,589   | 2,336  | 0,016 |
| <b>4</b> | 119                | 111,45                     | 0,103                | 0,097        | 0,007               | 0,703   | 0,512  | 0,007 |
| <b>5</b> | 104                | 91,06                      | 0,090                | 0,079        | 0,011               | 1,359   | 1,839  | 0,011 |
| <b>6</b> | 62                 | 76,99                      | 0,054                | 0,067        | -0,013              | 1,709   | 2,918  | 0,013 |
| <b>7</b> | 47                 | 66,69                      | 0,041                | 0,058        | -0,017              | 2,421   | 5,814  | 0,017 |
| <b>8</b> | 39                 | 58,83                      | 0,034                | 0,051        | -0,017              | 2,587   | 6,682  | 0,017 |
| <b>9</b> | 57                 | 52,67                      | 0,050                | 0,046        | 0,004               | 0,540   | 0,356  | 0,004 |
| <b>N</b> | 1150               |                            | 1,000                | 1,000        |                     |         | 26,532 | 0,014 |

Fonte: Elaborado pelo autor

**Tabela 42 - Combinação 7 - Teste dos Dois Primeiros Dígitos**

| Dígito | Contagem real | Contagem esperada | Frequência real (fr) | Benford (fb) | Diferença (fr - fb) | Teste Z | QQ | MDA |
|--------|---------------|-------------------|----------------------|--------------|---------------------|---------|----|-----|
|--------|---------------|-------------------|----------------------|--------------|---------------------|---------|----|-----|

|    |     | (fb x N) |       |       |        |        |         |       |
|----|-----|----------|-------|-------|--------|--------|---------|-------|
| 10 | 122 | 47,602   | 0,106 | 0,041 | 0,065  | 10,940 | 116,280 | 0,065 |
| 11 | 18  | 43,457   | 0,016 | 0,038 | -0,022 | 3,859  | 14,913  | 0,022 |
| 12 | 28  | 39,976   | 0,024 | 0,035 | -0,010 | 1,848  | 3,588   | 0,010 |
| 13 | 13  | 37,012   | 0,011 | 0,032 | -0,021 | 3,929  | 15,578  | 0,021 |
| 14 | 28  | 34,458   | 0,024 | 0,030 | -0,006 | 1,030  | 1,210   | 0,006 |
| 15 | 54  | 32,233   | 0,047 | 0,028 | 0,019  | 3,800  | 14,699  | 0,019 |
| 16 | 10  | 30,278   | 0,009 | 0,026 | -0,018 | 3,643  | 13,581  | 0,018 |
| 17 | 19  | 28,547   | 0,017 | 0,025 | -0,008 | 1,715  | 3,193   | 0,008 |
| 18 | 13  | 27,003   | 0,011 | 0,023 | -0,012 | 2,630  | 7,262   | 0,012 |
| 19 | 21  | 25,618   | 0,018 | 0,022 | -0,004 | 0,823  | 0,832   | 0,004 |
| 20 | 60  | 24,368   | 0,052 | 0,021 | 0,031  | 7,194  | 52,104  | 0,031 |
| 21 | 47  | 23,234   | 0,041 | 0,020 | 0,021  | 4,876  | 24,311  | 0,021 |
| 22 | 10  | 22,201   | 0,009 | 0,019 | -0,011 | 2,508  | 6,705   | 0,011 |
| 23 | 12  | 21,256   | 0,010 | 0,018 | -0,008 | 1,917  | 4,031   | 0,008 |
| 24 | 13  | 20,388   | 0,011 | 0,018 | -0,006 | 1,539  | 2,677   | 0,006 |
| 25 | 32  | 19,588   | 0,028 | 0,017 | 0,011  | 2,715  | 7,864   | 0,011 |
| 26 | 11  | 18,849   | 0,010 | 0,016 | -0,007 | 1,707  | 3,268   | 0,007 |
| 27 | 11  | 18,163   | 0,010 | 0,016 | -0,006 | 1,576  | 2,825   | 0,006 |
| 28 | 13  | 17,526   | 0,011 | 0,015 | -0,004 | 0,969  | 1,169   | 0,004 |
| 29 | 25  | 16,932   | 0,022 | 0,015 | 0,007  | 1,853  | 3,845   | 0,007 |
| 30 | 54  | 16,377   | 0,047 | 0,014 | 0,033  | 9,240  | 86,436  | 0,033 |
| 31 | 11  | 15,857   | 0,010 | 0,014 | -0,004 | 1,102  | 1,487   | 0,004 |
| 32 | 9   | 15,369   | 0,008 | 0,013 | -0,006 | 1,507  | 2,639   | 0,006 |
| 33 | 5   | 14,910   | 0,004 | 0,013 | -0,009 | 2,453  | 6,586   | 0,009 |
| 34 | 11  | 14,477   | 0,010 | 0,013 | -0,003 | 0,788  | 0,835   | 0,003 |
| 35 | 28  | 14,070   | 0,024 | 0,012 | 0,012  | 3,603  | 13,793  | 0,012 |
| 36 | 8   | 13,684   | 0,007 | 0,012 | -0,005 | 1,410  | 2,361   | 0,005 |
| 37 | 12  | 13,319   | 0,010 | 0,012 | -0,001 | 0,226  | 0,131   | 0,001 |
| 38 | 7   | 12,973   | 0,006 | 0,011 | -0,005 | 1,528  | 2,750   | 0,005 |
| 39 | 17  | 12,645   | 0,015 | 0,011 | 0,004  | 1,090  | 1,500   | 0,004 |
| 40 | 25  | 12,332   | 0,022 | 0,011 | 0,011  | 3,484  | 13,012  | 0,011 |
| 41 | 4   | 12,035   | 0,003 | 0,010 | -0,007 | 2,184  | 5,365   | 0,007 |
| 42 | 23  | 11,752   | 0,020 | 0,010 | 0,010  | 3,151  | 10,766  | 0,010 |
| 43 | 8   | 11,482   | 0,007 | 0,010 | -0,003 | 0,884  | 1,056   | 0,003 |
| 44 | 5   | 11,224   | 0,004 | 0,010 | -0,005 | 1,717  | 3,451   | 0,005 |
| 45 | 18  | 10,977   | 0,016 | 0,010 | 0,006  | 1,978  | 4,493   | 0,006 |
| 46 | 4   | 10,741   | 0,003 | 0,009 | -0,006 | 1,913  | 4,231   | 0,006 |
| 47 | 11  | 10,515   | 0,010 | 0,009 | 0,000  | 0,150  | 0,022   | 0,000 |
| 48 | 9   | 10,298   | 0,008 | 0,009 | -0,001 | 0,250  | 0,164   | 0,001 |
| 49 | 12  | 10,090   | 0,010 | 0,009 | 0,002  | 0,446  | 0,362   | 0,002 |

|    |    |       |       |       |        |        |         |       |
|----|----|-------|-------|-------|--------|--------|---------|-------|
| 50 | 64 | 9,890 | 0,056 | 0,009 | 0,047  | 17,121 | 296,038 | 0,047 |
| 51 | 2  | 9,698 | 0,002 | 0,008 | -0,007 | 2,321  | 6,111   | 0,007 |
| 52 | 4  | 9,513 | 0,003 | 0,008 | -0,005 | 1,632  | 3,195   | 0,005 |
| 53 | 8  | 9,336 | 0,007 | 0,008 | -0,001 | 0,275  | 0,191   | 0,001 |
| 54 | 3  | 9,164 | 0,003 | 0,008 | -0,005 | 1,879  | 4,146   | 0,005 |
| 55 | 10 | 8,999 | 0,009 | 0,008 | 0,001  | 0,168  | 0,111   | 0,001 |
| 56 | 3  | 8,840 | 0,003 | 0,008 | -0,005 | 1,803  | 3,858   | 0,005 |
| 57 | 5  | 8,686 | 0,004 | 0,008 | -0,003 | 1,085  | 1,564   | 0,003 |
| 58 | 3  | 8,538 | 0,003 | 0,007 | -0,005 | 1,731  | 3,592   | 0,005 |
| 59 | 2  | 8,394 | 0,002 | 0,007 | -0,006 | 2,042  | 4,871   | 0,006 |
| 60 | 20 | 8,255 | 0,017 | 0,007 | 0,010  | 3,928  | 16,709  | 0,010 |
| 61 | 8  | 8,121 | 0,007 | 0,007 | 0,000  | 0,043  | 0,002   | 0,000 |
| 62 | 5  | 7,991 | 0,004 | 0,007 | -0,003 | 0,884  | 1,120   | 0,003 |
| 63 | 6  | 7,865 | 0,005 | 0,007 | -0,002 | 0,489  | 0,442   | 0,002 |
| 64 | 3  | 7,743 | 0,003 | 0,007 | -0,004 | 1,530  | 2,906   | 0,004 |
| 65 | 7  | 7,625 | 0,006 | 0,007 | -0,001 | 0,045  | 0,051   | 0,001 |
| 66 | 4  | 7,510 | 0,003 | 0,007 | -0,003 | 1,102  | 1,641   | 0,003 |
| 67 | 5  | 7,399 | 0,004 | 0,006 | -0,002 | 0,700  | 0,778   | 0,002 |
| 68 | 0  | 7,291 | 0,000 | 0,006 | -0,006 | 2,523  | 7,291   | 0,006 |
| 69 | 4  | 7,186 | 0,003 | 0,006 | -0,003 | 1,005  | 1,413   | 0,003 |
| 70 | 18 | 7,084 | 0,016 | 0,006 | 0,009  | 3,925  | 16,819  | 0,009 |
| 71 | 3  | 6,985 | 0,003 | 0,006 | -0,003 | 1,323  | 2,274   | 0,003 |
| 72 | 1  | 6,889 | 0,001 | 0,006 | -0,005 | 2,059  | 5,034   | 0,005 |
| 73 | 3  | 6,795 | 0,003 | 0,006 | -0,003 | 1,268  | 2,120   | 0,003 |
| 74 | 7  | 6,704 | 0,006 | 0,006 | 0,000  | 0,115  | 0,013   | 0,000 |
| 75 | 4  | 6,615 | 0,003 | 0,006 | -0,002 | 0,825  | 1,034   | 0,002 |
| 76 | 2  | 6,529 | 0,002 | 0,006 | -0,004 | 1,581  | 3,141   | 0,004 |
| 77 | 2  | 6,444 | 0,002 | 0,006 | -0,004 | 1,558  | 3,065   | 0,004 |
| 78 | 0  | 6,362 | 0,000 | 0,006 | -0,006 | 2,331  | 6,362   | 0,006 |
| 79 | 7  | 6,282 | 0,006 | 0,005 | 0,001  | 0,087  | 0,082   | 0,001 |
| 80 | 11 | 6,204 | 0,010 | 0,005 | 0,004  | 1,729  | 3,707   | 0,004 |
| 81 | 1  | 6,128 | 0,001 | 0,005 | -0,004 | 1,875  | 4,291   | 0,004 |
| 82 | 4  | 6,054 | 0,003 | 0,005 | -0,002 | 0,633  | 0,697   | 0,002 |
| 83 | 0  | 5,981 | 0,000 | 0,005 | -0,005 | 2,247  | 5,981   | 0,005 |
| 84 | 9  | 5,911 | 0,008 | 0,005 | 0,003  | 1,068  | 1,615   | 0,003 |
| 85 | 5  | 5,841 | 0,004 | 0,005 | -0,001 | 0,142  | 0,121   | 0,001 |
| 86 | 1  | 5,774 | 0,001 | 0,005 | -0,004 | 1,783  | 3,947   | 0,004 |
| 87 | 3  | 5,708 | 0,003 | 0,005 | -0,002 | 0,926  | 1,285   | 0,002 |
| 88 | 1  | 5,643 | 0,001 | 0,005 | -0,004 | 1,748  | 3,821   | 0,004 |
| 89 | 4  | 5,580 | 0,003 | 0,005 | -0,001 | 0,458  | 0,448   | 0,001 |
| 90 | 11 | 5,519 | 0,010 | 0,005 | 0,005  | 2,126  | 5,444   | 0,005 |
| 91 | 6  | 5,458 | 0,005 | 0,005 | 0,000  | 0,018  | 0,054   | 0,000 |
| 92 | 3  | 5,399 | 0,003 | 0,005 | -0,002 | 0,819  | 1,066   | 0,002 |

|    |      |       |       |       |        |       |         |       |
|----|------|-------|-------|-------|--------|-------|---------|-------|
| 93 | 2    | 5,342 | 0,002 | 0,005 | -0,003 | 1,232 | 2,090   | 0,003 |
| 94 | 4    | 5,285 | 0,003 | 0,005 | -0,001 | 0,342 | 0,312   | 0,001 |
| 95 | 1    | 5,230 | 0,001 | 0,005 | -0,004 | 1,635 | 3,421   | 0,004 |
| 96 | 2    | 5,176 | 0,002 | 0,005 | -0,003 | 1,179 | 1,948   | 0,003 |
| 97 | 4    | 5,122 | 0,003 | 0,004 | -0,001 | 0,276 | 0,246   | 0,001 |
| 98 | 7    | 5,070 | 0,006 | 0,004 | 0,002  | 0,636 | 0,734   | 0,002 |
| 99 | 17   | 5,020 | 0,015 | 0,004 | 0,010  | 5,135 | 28,595  | 0,010 |
| N  | 1150 |       | 1,000 | 1,000 |        |       | 927,172 | 0,007 |

Fonte: Elaborado pelo autor

**Tabela 43 - Combinação 7 - Teste da Soma**

| Dígito | Soma (R\$)    | Proporção | Benford | Dígito | Soma (R\$)    | Proporção | Benford |
|--------|---------------|-----------|---------|--------|---------------|-----------|---------|
| 10     | 57.928.437,24 | 0,049     | 0,011   | 55     | 19.962.962,35 | 0,017     | 0,011   |
| 11     | 8.181.320,61  | 0,007     | 0,011   | 56     | 6.225.600,00  | 0,005     | 0,011   |
| 12     | 13.857.804,09 | 0,012     | 0,011   | 57     | 18.375.806,95 | 0,016     | 0,011   |
| 13     | 8.561.075,77  | 0,007     | 0,011   | 58     | 1.219.907,68  | 0,001     | 0,011   |
| 14     | 18.460.428,37 | 0,016     | 0,011   | 59     | 605.979,27    | 0,001     | 0,011   |
| 15     | 32.454.642,87 | 0,027     | 0,011   | 60     | 26.738.364,81 | 0,023     | 0,011   |
| 16     | 8.907.265,79  | 0,008     | 0,011   | 61     | 25.335.423,00 | 0,021     | 0,011   |
| 17     | 15.990.074,43 | 0,013     | 0,011   | 62     | 8.133.157,00  | 0,007     | 0,011   |
| 18     | 12.003.927,52 | 0,010     | 0,011   | 63     | 12.782.127,00 | 0,011     | 0,011   |
| 19     | 17.690.028,08 | 0,015     | 0,011   | 64     | 12.954.699,39 | 0,011     | 0,011   |
| 20     | 33.482.380,42 | 0,028     | 0,011   | 65     | 9.906.319,00  | 0,008     | 0,011   |
| 21     | 14.612.422,24 | 0,012     | 0,011   | 66     | 7.353.317,00  | 0,006     | 0,011   |
| 22     | 6.135.094,08  | 0,005     | 0,011   | 67     | 14.211.914,71 | 0,012     | 0,011   |
| 23     | 5.857.642,37  | 0,005     | 0,011   | 68     | -             | 0,000     | 0,011   |
| 24     | 14.234.643,84 | 0,012     | 0,011   | 69     | 8.459.126,82  | 0,007     | 0,011   |
| 25     | 12.064.486,52 | 0,010     | 0,011   | 70     | 32.044.985,78 | 0,027     | 0,011   |
| 26     | 16.858.665,27 | 0,014     | 0,011   | 71     | 2.148.043,32  | 0,002     | 0,011   |
| 27     | 4.464.701,71  | 0,004     | 0,011   | 72     | 727.176,00    | 0,001     | 0,011   |
| 28     | 14.615.287,79 | 0,012     | 0,011   | 73     | 810.594,08    | 0,001     | 0,011   |
| 29     | 33.368.769,25 | 0,028     | 0,011   | 74     | 16.450.280,45 | 0,014     | 0,011   |
| 30     | 36.817.362,57 | 0,031     | 0,011   | 75     | 976.772,32    | 0,001     | 0,011   |
| 31     | 19.895.911,24 | 0,017     | 0,011   | 76     | 7.746.614,50  | 0,007     | 0,011   |
| 32     | 11.343.823,69 | 0,010     | 0,011   | 77     | 15.540.681,00 | 0,013     | 0,011   |
| 33     | 10.152.998,77 | 0,009     | 0,011   | 78     | -             | 0,000     | 0,011   |
| 34     | 16.215.487,98 | 0,014     | 0,011   | 79     | 41.373.272,00 | 0,035     | 0,011   |
| 35     | 20.228.196,19 | 0,017     | 0,011   | 80     | 6.568.578,04  | 0,006     | 0,011   |
| 36     | 12.039.230,39 | 0,010     | 0,011   | 81     | 819.260,00    | 0,001     | 0,011   |
| 37     | 20.589.378,52 | 0,017     | 0,011   | 82     | 9.930.860,00  | 0,008     | 0,011   |
| 38     | 12.741.060,12 | 0,011     | 0,011   | 83     | -             | 0,000     | 0,011   |
| 39     | 30.933.095,59 | 0,026     | 0,011   | 84     | 1.061.370,43  | 0,001     | 0,011   |

|    |               |       |       |    |               |       |       |
|----|---------------|-------|-------|----|---------------|-------|-------|
| 40 | 31.645.295,35 | 0,027 | 0,011 | 85 | 3.495.739,96  | 0,003 | 0,011 |
| 41 | 8.653.261,82  | 0,007 | 0,011 | 86 | 86.647,47     | 0,000 | 0,011 |
| 42 | 31.745.537,59 | 0,027 | 0,011 | 87 | 1.052.812,47  | 0,001 | 0,011 |
| 43 | 14.813.766,65 | 0,012 | 0,011 | 88 | 88.000,00     | 0,000 | 0,011 |
| 44 | 2.240.249,57  | 0,002 | 0,011 | 89 | 1.975.170,99  | 0,002 | 0,011 |
| 45 | 23.964.193,39 | 0,020 | 0,011 | 90 | 5.770.631,58  | 0,005 | 0,011 |
| 46 | 10.233.510,05 | 0,009 | 0,011 | 91 | 12.080.612,97 | 0,010 | 0,011 |
| 47 | 17.167.314,13 | 0,014 | 0,011 | 92 | 1.022.147,31  | 0,001 | 0,011 |
| 48 | 30.100.537,00 | 0,025 | 0,011 | 93 | 1.023.200,00  | 0,001 | 0,011 |
| 49 | 12.135.307,09 | 0,010 | 0,011 | 94 | 1.898.399,22  | 0,002 | 0,011 |
| 50 | 52.710.918,93 | 0,044 | 0,011 | 95 | 950.000,00    | 0,001 | 0,011 |
| 51 | 10.282.029,00 | 0,009 | 0,011 | 96 | 193.543,00    | 0,000 | 0,011 |
| 52 | 11.022.958,24 | 0,009 | 0,011 | 97 | 1.270.905,00  | 0,001 | 0,011 |
| 53 | 18.218.651,27 | 0,015 | 0,011 | 98 | 21.881.603,00 | 0,018 | 0,011 |
| 54 | 6.014.227,00  | 0,005 | 0,011 | 99 | 2.596.018,73  | 0,002 | 0,011 |

Fonte: Elaborado pelo autor

**Tabela 44 - Combinação 8 - Teste do Primeiro Dígito**

| Dígito   | Contagem real (cr) | Contagem esperada (fb x N) | Frequência real (fr) | Benford (fb) | Diferença (fr - fb) | Teste Z | QQ     | MDA   |
|----------|--------------------|----------------------------|----------------------|--------------|---------------------|---------|--------|-------|
| <b>1</b> | 321                | 340,16                     | 0,284                | 0,301        | -0,017              | 1,210   | 1,080  | 0,017 |
| <b>2</b> | 227                | 198,98                     | 0,201                | 0,176        | 0,025               | 2,149   | 3,945  | 0,025 |
| <b>3</b> | 161                | 141,18                     | 0,142                | 0,125        | 0,018               | 1,738   | 2,782  | 0,018 |
| <b>4</b> | 117                | 109,51                     | 0,104                | 0,097        | 0,007               | 0,703   | 0,513  | 0,007 |
| <b>5</b> | 96                 | 89,47                      | 0,085                | 0,079        | 0,006               | 0,664   | 0,476  | 0,006 |
| <b>6</b> | 61                 | 75,65                      | 0,054                | 0,067        | -0,013              | 1,684   | 2,837  | 0,013 |
| <b>7</b> | 46                 | 65,53                      | 0,041                | 0,058        | -0,017              | 2,422   | 5,821  | 0,017 |
| <b>8</b> | 43                 | 57,80                      | 0,038                | 0,051        | -0,013              | 1,931   | 3,791  | 0,013 |
| <b>9</b> | 58                 | 51,75                      | 0,051                | 0,046        | 0,006               | 0,818   | 0,754  | 0,006 |
| <b>N</b> | 1130               |                            | 1,000                | 1,000        |                     |         | 21,998 | 0,013 |

Fonte: Elaborado pelo autor

**Tabela 45 - Combinação 8 - Teste dos Dois Primeiros Dígitos**

| Dígito | Contagem real | Contagem esperada (fb x N) | Frequência real (fr) | Benford (fb) | Diferença (fr - fb) | Teste Z | QQ      | MDA   |
|--------|---------------|----------------------------|----------------------|--------------|---------------------|---------|---------|-------|
| 10     | 116           | 46,774                     | 0,103                | 0,041        | 0,061               | 10,264  | 102,457 | 0,061 |

|    |    |        |       |       |        |        |         |       |
|----|----|--------|-------|-------|--------|--------|---------|-------|
| 11 | 20 | 42,701 | 0,018 | 0,038 | -0,020 | 3,464  | 12,069  | 0,020 |
| 12 | 28 | 39,281 | 0,025 | 0,035 | -0,010 | 1,751  | 3,240   | 0,010 |
| 13 | 13 | 36,369 | 0,012 | 0,032 | -0,021 | 3,855  | 15,016  | 0,021 |
| 14 | 27 | 33,858 | 0,024 | 0,030 | -0,006 | 1,109  | 1,389   | 0,006 |
| 15 | 55 | 31,672 | 0,049 | 0,028 | 0,021  | 4,114  | 17,181  | 0,021 |
| 16 | 10 | 29,752 | 0,009 | 0,026 | -0,017 | 3,577  | 13,113  | 0,017 |
| 17 | 18 | 28,051 | 0,016 | 0,025 | -0,009 | 1,826  | 3,601   | 0,009 |
| 18 | 13 | 26,534 | 0,012 | 0,023 | -0,012 | 2,561  | 6,903   | 0,012 |
| 19 | 21 | 25,172 | 0,019 | 0,022 | -0,004 | 0,740  | 0,692   | 0,004 |
| 20 | 59 | 23,944 | 0,052 | 0,021 | 0,031  | 7,138  | 51,325  | 0,031 |
| 21 | 46 | 22,830 | 0,041 | 0,020 | 0,021  | 4,793  | 23,516  | 0,021 |
| 22 | 9  | 21,815 | 0,008 | 0,019 | -0,011 | 2,662  | 7,528   | 0,011 |
| 23 | 10 | 20,886 | 0,009 | 0,018 | -0,010 | 2,294  | 5,674   | 0,010 |
| 24 | 14 | 20,034 | 0,012 | 0,018 | -0,005 | 1,247  | 1,817   | 0,005 |
| 25 | 33 | 19,248 | 0,029 | 0,017 | 0,012  | 3,047  | 9,826   | 0,012 |
| 26 | 12 | 18,521 | 0,011 | 0,016 | -0,006 | 1,411  | 2,296   | 0,006 |
| 27 | 10 | 17,848 | 0,009 | 0,016 | -0,007 | 1,753  | 3,451   | 0,007 |
| 28 | 12 | 17,221 | 0,011 | 0,015 | -0,005 | 1,146  | 1,583   | 0,005 |
| 29 | 22 | 16,637 | 0,019 | 0,015 | 0,005  | 1,201  | 1,729   | 0,005 |
| 30 | 54 | 16,092 | 0,048 | 0,014 | 0,034  | 9,393  | 89,303  | 0,034 |
| 31 | 11 | 15,581 | 0,010 | 0,014 | -0,004 | 1,041  | 1,347   | 0,004 |
| 32 | 9  | 15,101 | 0,008 | 0,013 | -0,005 | 1,451  | 2,465   | 0,005 |
| 33 | 5  | 14,650 | 0,004 | 0,013 | -0,009 | 2,406  | 6,357   | 0,009 |
| 34 | 12 | 14,226 | 0,011 | 0,013 | -0,002 | 0,460  | 0,348   | 0,002 |
| 35 | 28 | 13,825 | 0,025 | 0,012 | 0,013  | 3,701  | 14,534  | 0,013 |
| 36 | 8  | 13,446 | 0,007 | 0,012 | -0,005 | 1,357  | 2,206   | 0,005 |
| 37 | 10 | 13,088 | 0,009 | 0,012 | -0,003 | 0,719  | 0,728   | 0,003 |
| 38 | 7  | 12,748 | 0,006 | 0,011 | -0,005 | 1,478  | 2,591   | 0,005 |
| 39 | 17 | 12,425 | 0,015 | 0,011 | 0,004  | 1,163  | 1,685   | 0,004 |
| 40 | 28 | 12,118 | 0,025 | 0,011 | 0,014  | 4,443  | 20,815  | 0,014 |
| 41 | 4  | 11,826 | 0,004 | 0,010 | -0,007 | 2,142  | 5,179   | 0,007 |
| 42 | 23 | 11,548 | 0,020 | 0,010 | 0,010  | 3,240  | 11,358  | 0,010 |
| 43 | 6  | 11,282 | 0,005 | 0,010 | -0,005 | 1,431  | 2,473   | 0,005 |
| 44 | 5  | 11,029 | 0,004 | 0,010 | -0,005 | 1,673  | 3,295   | 0,005 |
| 45 | 16 | 10,786 | 0,014 | 0,010 | 0,005  | 1,442  | 2,520   | 0,005 |
| 46 | 3  | 10,554 | 0,003 | 0,009 | -0,007 | 2,182  | 5,407   | 0,007 |
| 47 | 10 | 10,332 | 0,009 | 0,009 | 0,000  | 0,104  | 0,011   | 0,000 |
| 48 | 9  | 10,119 | 0,008 | 0,009 | -0,001 | 0,195  | 0,124   | 0,001 |
| 49 | 13 | 9,915  | 0,012 | 0,009 | 0,003  | 0,825  | 0,960   | 0,003 |
| 50 | 58 | 9,718  | 0,051 | 0,009 | 0,043  | 15,394 | 239,873 | 0,043 |
| 51 | 2  | 9,529  | 0,002 | 0,008 | -0,007 | 2,287  | 5,949   | 0,007 |
| 52 | 5  | 9,348  | 0,004 | 0,008 | -0,004 | 1,264  | 2,022   | 0,004 |
| 53 | 8  | 9,173  | 0,007 | 0,008 | -0,001 | 0,223  | 0,150   | 0,001 |

|    |    |       |       |       |        |       |        |       |
|----|----|-------|-------|-------|--------|-------|--------|-------|
| 54 | 2  | 9,005 | 0,002 | 0,008 | -0,006 | 2,176 | 5,449  | 0,006 |
| 55 | 7  | 8,843 | 0,006 | 0,008 | -0,002 | 0,453 | 0,384  | 0,002 |
| 56 | 2  | 8,686 | 0,002 | 0,008 | -0,006 | 2,107 | 5,147  | 0,006 |
| 57 | 5  | 8,535 | 0,004 | 0,008 | -0,003 | 1,043 | 1,464  | 0,003 |
| 58 | 4  | 8,389 | 0,004 | 0,007 | -0,004 | 1,348 | 2,296  | 0,004 |
| 59 | 3  | 8,248 | 0,003 | 0,007 | -0,005 | 1,659 | 3,339  | 0,005 |
| 60 | 20 | 8,112 | 0,018 | 0,007 | 0,011  | 4,013 | 17,423 | 0,011 |
| 61 | 8  | 7,980 | 0,007 | 0,007 | 0,000  | 0,007 | 0,000  | 0,000 |
| 62 | 5  | 7,852 | 0,004 | 0,007 | -0,003 | 0,842 | 1,036  | 0,003 |
| 63 | 5  | 7,729 | 0,004 | 0,007 | -0,002 | 0,804 | 0,963  | 0,002 |
| 64 | 3  | 7,609 | 0,003 | 0,007 | -0,004 | 1,495 | 2,792  | 0,004 |
| 65 | 7  | 7,493 | 0,006 | 0,007 | 0,000  | 0,181 | 0,032  | 0,000 |
| 66 | 4  | 7,380 | 0,004 | 0,007 | -0,003 | 1,064 | 1,548  | 0,003 |
| 67 | 4  | 7,271 | 0,004 | 0,006 | -0,003 | 1,031 | 1,471  | 0,003 |
| 68 | 0  | 7,164 | 0,000 | 0,006 | -0,006 | 2,498 | 7,164  | 0,006 |
| 69 | 5  | 7,061 | 0,004 | 0,006 | -0,002 | 0,589 | 0,602  | 0,002 |
| 70 | 17 | 6,961 | 0,015 | 0,006 | 0,009  | 3,627 | 14,477 | 0,009 |
| 71 | 3  | 6,864 | 0,003 | 0,006 | -0,003 | 1,288 | 2,175  | 0,003 |
| 72 | 1  | 6,769 | 0,001 | 0,006 | -0,005 | 2,031 | 4,917  | 0,005 |
| 73 | 3  | 6,677 | 0,003 | 0,006 | -0,003 | 1,233 | 2,025  | 0,003 |
| 74 | 7  | 6,587 | 0,006 | 0,006 | 0,000  | 0,161 | 0,026  | 0,000 |
| 75 | 4  | 6,500 | 0,004 | 0,006 | -0,002 | 0,787 | 0,962  | 0,002 |
| 76 | 2  | 6,415 | 0,002 | 0,006 | -0,004 | 1,550 | 3,039  | 0,004 |
| 77 | 2  | 6,332 | 0,002 | 0,006 | -0,004 | 1,527 | 2,964  | 0,004 |
| 78 | 0  | 6,252 | 0,000 | 0,006 | -0,006 | 2,307 | 6,252  | 0,006 |
| 79 | 7  | 6,173 | 0,006 | 0,005 | 0,001  | 0,132 | 0,111  | 0,001 |
| 80 | 13 | 6,096 | 0,012 | 0,005 | 0,006  | 2,601 | 7,818  | 0,006 |
| 81 | 2  | 6,022 | 0,002 | 0,005 | -0,004 | 1,439 | 2,686  | 0,004 |
| 82 | 4  | 5,949 | 0,004 | 0,005 | -0,002 | 0,596 | 0,638  | 0,002 |
| 83 | 0  | 5,877 | 0,000 | 0,005 | -0,005 | 2,224 | 5,877  | 0,005 |
| 84 | 10 | 5,808 | 0,009 | 0,005 | 0,004  | 1,536 | 3,026  | 0,004 |
| 85 | 5  | 5,740 | 0,004 | 0,005 | -0,001 | 0,100 | 0,095  | 0,001 |
| 86 | 1  | 5,674 | 0,001 | 0,005 | -0,004 | 1,757 | 3,850  | 0,004 |
| 87 | 3  | 5,609 | 0,003 | 0,005 | -0,002 | 0,893 | 1,213  | 0,002 |
| 88 | 1  | 5,545 | 0,001 | 0,005 | -0,004 | 1,722 | 3,726  | 0,004 |
| 89 | 4  | 5,483 | 0,004 | 0,005 | -0,001 | 0,421 | 0,401  | 0,001 |
| 90 | 11 | 5,423 | 0,010 | 0,005 | 0,005  | 2,186 | 5,736  | 0,005 |
| 91 | 7  | 5,363 | 0,006 | 0,005 | 0,001  | 0,492 | 0,499  | 0,001 |
| 92 | 3  | 5,305 | 0,003 | 0,005 | -0,002 | 0,786 | 1,002  | 0,002 |
| 93 | 2  | 5,249 | 0,002 | 0,005 | -0,003 | 1,203 | 2,011  | 0,003 |
| 94 | 4  | 5,193 | 0,004 | 0,005 | -0,001 | 0,305 | 0,274  | 0,001 |
| 95 | 1  | 5,139 | 0,001 | 0,005 | -0,004 | 1,609 | 3,333  | 0,004 |
| 96 | 4  | 5,086 | 0,004 | 0,005 | -0,001 | 0,260 | 0,232  | 0,001 |

|    |      |       |       |       |        |       |         |       |
|----|------|-------|-------|-------|--------|-------|---------|-------|
| 97 | 4    | 5,033 | 0,004 | 0,004 | -0,001 | 0,238 | 0,212   | 0,001 |
| 98 | 6    | 4,982 | 0,005 | 0,004 | 0,001  | 0,232 | 0,208   | 0,001 |
| 99 | 16   | 4,932 | 0,014 | 0,004 | 0,010  | 4,769 | 24,836  | 0,010 |
| N  | 1130 |       | 1,000 | 1,000 |        |       | 861,837 | 0,007 |

Fonte: Elaborado pelo autor

**Tabela 46 - Combinação 8 - Teste da Soma**

| Dígito | Soma (R\$)    | Proporção | Benford | Dígito | Soma (R\$)    | Proporção | Benford |
|--------|---------------|-----------|---------|--------|---------------|-----------|---------|
| 10     | 48.321.019,94 | 0,043     | 0,011   | 55     | 13.292.735,35 | 0,012     | 0,011   |
| 11     | 9.426.145,61  | 0,008     | 0,011   | 56     | 565.600,00    | 0,001     | 0,011   |
| 12     | 12.692.591,36 | 0,011     | 0,011   | 57     | 18.405.579,95 | 0,017     | 0,011   |
| 13     | 8.561.075,77  | 0,008     | 0,011   | 58     | 1.278.365,72  | 0,001     | 0,011   |
| 14     | 16.980.201,37 | 0,015     | 0,011   | 59     | 1.199.279,19  | 0,001     | 0,011   |
| 15     | 32.613.990,53 | 0,029     | 0,011   | 60     | 26.738.364,81 | 0,024     | 0,011   |
| 16     | 8.907.265,79  | 0,008     | 0,011   | 61     | 25.335.423,00 | 0,023     | 0,011   |
| 17     | 14.240.354,43 | 0,013     | 0,011   | 62     | 8.133.157,00  | 0,007     | 0,011   |
| 18     | 10.301.412,74 | 0,009     | 0,011   | 63     | 6.461.900,00  | 0,006     | 0,011   |
| 19     | 15.927.010,08 | 0,014     | 0,011   | 64     | 12.954.699,39 | 0,012     | 0,011   |
| 20     | 29.672.380,42 | 0,027     | 0,011   | 65     | 9.906.319,00  | 0,009     | 0,011   |
| 21     | 12.860.304,17 | 0,012     | 0,011   | 66     | 7.353.317,00  | 0,007     | 0,011   |
| 22     | 5.908.005,03  | 0,005     | 0,011   | 67     | 7.491.682,11  | 0,007     | 0,011   |
| 23     | 5.603.902,93  | 0,005     | 0,011   | 68     | -             | 0,000     | 0,011   |
| 24     | 16.634.643,84 | 0,015     | 0,011   | 69     | 9.159.113,82  | 0,008     | 0,011   |
| 25     | 14.861.935,24 | 0,013     | 0,011   | 70     | 32.667.985,78 | 0,029     | 0,011   |
| 26     | 19.578.892,27 | 0,018     | 0,011   | 71     | 2.148.043,32  | 0,002     | 0,011   |
| 27     | 4.437.181,36  | 0,004     | 0,011   | 72     | 727.176,00    | 0,001     | 0,011   |
| 28     | 11.765.287,79 | 0,011     | 0,011   | 73     | 810.594,08    | 0,001     | 0,011   |
| 29     | 24.466.584,10 | 0,022     | 0,011   | 74     | 16.450.280,45 | 0,015     | 0,011   |
| 30     | 37.017.263,39 | 0,033     | 0,011   | 75     | 976.772,32    | 0,001     | 0,011   |
| 31     | 19.895.911,24 | 0,018     | 0,011   | 76     | 7.746.614,50  | 0,007     | 0,011   |
| 32     | 11.343.823,69 | 0,010     | 0,011   | 77     | 15.540.681,00 | 0,014     | 0,011   |
| 33     | 10.152.998,77 | 0,009     | 0,011   | 78     | -             | 0,000     | 0,011   |
| 34     | 16.556.996,44 | 0,015     | 0,011   | 79     | 41.373.272,00 | 0,037     | 0,011   |
| 35     | 17.078.196,19 | 0,015     | 0,011   | 80     | 8.168.578,04  | 0,007     | 0,011   |
| 36     | 12.039.230,39 | 0,011     | 0,011   | 81     | 901.210,00    | 0,001     | 0,011   |
| 37     | 13.113.378,52 | 0,012     | 0,011   | 82     | 9.930.860,00  | 0,009     | 0,011   |
| 38     | 12.741.060,12 | 0,011     | 0,011   | 83     | -             | 0,000     | 0,011   |
| 39     | 30.953.549,59 | 0,028     | 0,011   | 84     | 1.069.836,43  | 0,001     | 0,011   |
| 40     | 36.404.841,35 | 0,033     | 0,011   | 85     | 3.495.739,96  | 0,003     | 0,011   |
| 41     | 8.653.261,82  | 0,008     | 0,011   | 86     | 86.647,47     | 0,000     | 0,011   |
| 42     | 31.329.737,59 | 0,028     | 0,011   | 87     | 1.052.812,47  | 0,001     | 0,011   |
| 43     | 13.935.067,82 | 0,012     | 0,011   | 88     | 88.000,00     | 0,000     | 0,011   |

|    |               |       |       |    |               |       |       |
|----|---------------|-------|-------|----|---------------|-------|-------|
| 44 | 2.240.249,57  | 0,002 | 0,011 | 89 | 1.975.170,99  | 0,002 | 0,011 |
| 45 | 23.060.481,00 | 0,021 | 0,011 | 90 | 5.770.631,58  | 0,005 | 0,011 |
| 46 | 5.603.056,05  | 0,005 | 0,011 | 91 | 12.171.712,97 | 0,011 | 0,011 |
| 47 | 12.467.314,13 | 0,011 | 0,011 | 92 | 1.022.147,31  | 0,001 | 0,011 |
| 48 | 30.100.537,00 | 0,027 | 0,011 | 93 | 1.023.200,00  | 0,001 | 0,011 |
| 49 | 12.635.300,48 | 0,011 | 0,011 | 94 | 1.898.399,22  | 0,002 | 0,011 |
| 50 | 40.705.499,15 | 0,037 | 0,011 | 95 | 950.000,00    | 0,001 | 0,011 |
| 51 | 10.282.029,00 | 0,009 | 0,011 | 96 | 2.113.679,04  | 0,002 | 0,011 |
| 52 | 16.222.958,24 | 0,015 | 0,011 | 97 | 1.270.905,00  | 0,001 | 0,011 |
| 53 | 18.218.651,27 | 0,016 | 0,011 | 98 | 20.892.368,00 | 0,019 | 0,011 |
| 54 | 5.474.227,00  | 0,005 | 0,011 | 99 | 2.496.150,53  | 0,002 | 0,011 |

Fonte: Elaborado pelo autor

**Tabela 47 - Combinação 9 - Teste do Primeiro Dígito**

| Dígito | Contagem real (cr) | Contagem esperada (fb x N) | Frequência real (fr) | Benford (fb) | Diferença (fr - fb) | Teste Z | QQ     | MDA   |
|--------|--------------------|----------------------------|----------------------|--------------|---------------------|---------|--------|-------|
| 1      | 336                | 353,41                     | 0,286                | 0,301        | -0,015              | 1,076   | 0,858  | 0,015 |
| 2      | 236                | 206,73                     | 0,201                | 0,176        | 0,025               | 2,204   | 4,144  | 0,025 |
| 3      | 169                | 146,68                     | 0,144                | 0,125        | 0,019               | 1,926   | 3,397  | 0,019 |
| 4      | 122                | 113,77                     | 0,104                | 0,097        | 0,007               | 0,762   | 0,595  | 0,007 |
| 5      | 98                 | 92,96                      | 0,083                | 0,079        | 0,004               | 0,491   | 0,273  | 0,004 |
| 6      | 64                 | 78,60                      | 0,055                | 0,067        | -0,012              | 1,646   | 2,710  | 0,012 |
| 7      | 52                 | 68,08                      | 0,044                | 0,058        | -0,014              | 1,946   | 3,799  | 0,014 |
| 8      | 40                 | 60,05                      | 0,034                | 0,051        | -0,017              | 2,590   | 6,696  | 0,017 |
| 9      | 57                 | 53,77                      | 0,049                | 0,046        | 0,003               | 0,381   | 0,194  | 0,003 |
| N      | 1174               |                            | 1,000                | 1,000        |                     |         | 22,667 | 0,013 |

Fonte: Elaborado pelo autor

**Tabela 48 - Combinação 9 - Teste dos Dois Primeiros Dígitos**

| Dígito | Contagem real | Contagem esperada (fb x N) | Frequência real (fr) | Benford (fb) | Diferença (fr - fb) | Teste Z | QQ      | MDA   |
|--------|---------------|----------------------------|----------------------|--------------|---------------------|---------|---------|-------|
| 10     | 119           | 48,595                     | 0,101                | 0,041        | 0,060               | 10,242  | 102,004 | 0,060 |
| 11     | 19            | 44,364                     | 0,016                | 0,038        | -0,022              | 3,806   | 14,501  | 0,022 |
| 12     | 28            | 40,811                     | 0,024                | 0,035        | -0,011              | 1,961   | 4,021   | 0,011 |
| 13     | 18            | 37,785                     | 0,015                | 0,032        | -0,017              | 3,189   | 10,360  | 0,017 |
| 14     | 31            | 35,177                     | 0,026                | 0,030        | -0,004              | 0,629   | 0,496   | 0,004 |

|    |    |        |       |       |        |        |         |       |
|----|----|--------|-------|-------|--------|--------|---------|-------|
| 15 | 59 | 32,906 | 0,050 | 0,028 | 0,022  | 4,526  | 20,693  | 0,022 |
| 16 | 10 | 30,910 | 0,009 | 0,026 | -0,018 | 3,720  | 14,145  | 0,018 |
| 17 | 19 | 29,143 | 0,016 | 0,025 | -0,009 | 1,809  | 3,530   | 0,009 |
| 18 | 13 | 27,567 | 0,011 | 0,023 | -0,012 | 2,711  | 7,697   | 0,012 |
| 19 | 20 | 26,152 | 0,017 | 0,022 | -0,005 | 1,118  | 1,447   | 0,005 |
| 20 | 63 | 24,876 | 0,054 | 0,021 | 0,032  | 7,625  | 58,426  | 0,032 |
| 21 | 47 | 23,719 | 0,040 | 0,020 | 0,020  | 4,726  | 22,852  | 0,020 |
| 22 | 9  | 22,664 | 0,008 | 0,019 | -0,012 | 2,792  | 8,238   | 0,012 |
| 23 | 12 | 21,700 | 0,010 | 0,018 | -0,008 | 1,993  | 4,336   | 0,008 |
| 24 | 16 | 20,814 | 0,014 | 0,018 | -0,004 | 0,954  | 1,113   | 0,004 |
| 25 | 32 | 19,997 | 0,027 | 0,017 | 0,010  | 2,594  | 7,204   | 0,010 |
| 26 | 11 | 19,242 | 0,009 | 0,016 | -0,007 | 1,780  | 3,531   | 0,007 |
| 27 | 12 | 18,542 | 0,010 | 0,016 | -0,006 | 1,414  | 2,308   | 0,006 |
| 28 | 13 | 17,892 | 0,011 | 0,015 | -0,004 | 1,046  | 1,337   | 0,004 |
| 29 | 21 | 17,285 | 0,018 | 0,015 | 0,003  | 0,779  | 0,798   | 0,003 |
| 30 | 54 | 16,718 | 0,046 | 0,014 | 0,032  | 9,060  | 83,138  | 0,032 |
| 31 | 12 | 16,187 | 0,010 | 0,014 | -0,004 | 0,923  | 1,083   | 0,004 |
| 32 | 10 | 15,689 | 0,009 | 0,013 | -0,005 | 1,319  | 2,063   | 0,005 |
| 33 | 6  | 15,221 | 0,005 | 0,013 | -0,008 | 2,250  | 5,586   | 0,008 |
| 34 | 12 | 14,780 | 0,010 | 0,013 | -0,002 | 0,597  | 0,523   | 0,002 |
| 35 | 30 | 14,363 | 0,026 | 0,012 | 0,013  | 4,019  | 17,023  | 0,013 |
| 36 | 8  | 13,970 | 0,007 | 0,012 | -0,005 | 1,472  | 2,551   | 0,005 |
| 37 | 10 | 13,597 | 0,009 | 0,012 | -0,003 | 0,845  | 0,952   | 0,003 |
| 38 | 9  | 13,244 | 0,008 | 0,011 | -0,004 | 1,035  | 1,360   | 0,004 |
| 39 | 18 | 12,909 | 0,015 | 0,011 | 0,004  | 1,285  | 2,008   | 0,004 |
| 40 | 27 | 12,590 | 0,023 | 0,011 | 0,012  | 3,942  | 16,494  | 0,012 |
| 41 | 4  | 12,286 | 0,003 | 0,010 | -0,007 | 2,233  | 5,589   | 0,007 |
| 42 | 24 | 11,997 | 0,020 | 0,010 | 0,010  | 3,338  | 12,008  | 0,010 |
| 43 | 7  | 11,721 | 0,006 | 0,010 | -0,004 | 1,239  | 1,902   | 0,004 |
| 44 | 5  | 11,458 | 0,004 | 0,010 | -0,006 | 1,769  | 3,640   | 0,006 |
| 45 | 19 | 11,206 | 0,016 | 0,010 | 0,007  | 2,189  | 5,421   | 0,007 |
| 46 | 3  | 10,965 | 0,003 | 0,009 | -0,007 | 2,265  | 5,786   | 0,007 |
| 47 | 11 | 10,734 | 0,009 | 0,009 | 0,000  | 0,081  | 0,007   | 0,000 |
| 48 | 9  | 10,513 | 0,008 | 0,009 | -0,001 | 0,314  | 0,218   | 0,001 |
| 49 | 13 | 10,301 | 0,011 | 0,009 | 0,002  | 0,688  | 0,707   | 0,002 |
| 50 | 59 | 10,097 | 0,050 | 0,009 | 0,042  | 15,299 | 236,866 | 0,042 |
| 51 | 2  | 9,901  | 0,002 | 0,008 | -0,007 | 2,362  | 6,305   | 0,007 |
| 52 | 5  | 9,712  | 0,004 | 0,008 | -0,004 | 1,357  | 2,286   | 0,004 |
| 53 | 8  | 9,530  | 0,007 | 0,008 | -0,001 | 0,335  | 0,246   | 0,001 |
| 54 | 2  | 9,356  | 0,002 | 0,008 | -0,006 | 2,250  | 5,783   | 0,006 |
| 55 | 7  | 9,187  | 0,006 | 0,008 | -0,002 | 0,559  | 0,521   | 0,002 |
| 56 | 4  | 9,024  | 0,003 | 0,008 | -0,004 | 1,512  | 2,797   | 0,004 |
| 57 | 4  | 8,867  | 0,003 | 0,008 | -0,004 | 1,472  | 2,672   | 0,004 |

|    |      |       |       |       |        |       |         |       |
|----|------|-------|-------|-------|--------|-------|---------|-------|
| 58 | 5    | 8,716 | 0,004 | 0,007 | -0,003 | 1,093 | 1,584   | 0,003 |
| 59 | 2    | 8,569 | 0,002 | 0,007 | -0,006 | 2,081 | 5,036   | 0,006 |
| 60 | 22   | 8,428 | 0,019 | 0,007 | 0,012  | 4,519 | 21,858  | 0,012 |
| 61 | 8    | 8,291 | 0,007 | 0,007 | 0,000  | 0,101 | 0,010   | 0,000 |
| 62 | 6    | 8,158 | 0,005 | 0,007 | -0,002 | 0,583 | 0,571   | 0,002 |
| 63 | 5    | 8,029 | 0,004 | 0,007 | -0,003 | 0,896 | 1,143   | 0,003 |
| 64 | 3    | 7,905 | 0,003 | 0,007 | -0,004 | 1,572 | 3,044   | 0,004 |
| 65 | 8    | 7,784 | 0,007 | 0,007 | 0,000  | 0,078 | 0,006   | 0,000 |
| 66 | 4    | 7,667 | 0,003 | 0,007 | -0,003 | 1,148 | 1,754   | 0,003 |
| 67 | 3    | 7,554 | 0,003 | 0,006 | -0,004 | 1,480 | 2,745   | 0,004 |
| 68 | 0    | 7,443 | 0,000 | 0,006 | -0,006 | 2,553 | 7,443   | 0,006 |
| 69 | 5    | 7,336 | 0,004 | 0,006 | -0,002 | 0,680 | 0,744   | 0,002 |
| 70 | 18   | 7,232 | 0,015 | 0,006 | 0,009  | 3,830 | 16,032  | 0,009 |
| 71 | 3    | 7,131 | 0,003 | 0,006 | -0,004 | 1,364 | 2,393   | 0,004 |
| 72 | 1    | 7,033 | 0,001 | 0,006 | -0,005 | 2,093 | 5,175   | 0,005 |
| 73 | 4    | 6,937 | 0,003 | 0,006 | -0,003 | 0,928 | 1,243   | 0,003 |
| 74 | 8    | 6,844 | 0,007 | 0,006 | 0,001  | 0,252 | 0,195   | 0,001 |
| 75 | 5    | 6,753 | 0,004 | 0,006 | -0,001 | 0,484 | 0,455   | 0,001 |
| 76 | 3    | 6,665 | 0,003 | 0,006 | -0,003 | 1,229 | 2,015   | 0,003 |
| 77 | 2    | 6,579 | 0,002 | 0,006 | -0,004 | 1,595 | 3,187   | 0,004 |
| 78 | 0    | 6,495 | 0,000 | 0,006 | -0,006 | 2,359 | 6,495   | 0,006 |
| 79 | 8    | 6,413 | 0,007 | 0,005 | 0,001  | 0,430 | 0,392   | 0,001 |
| 80 | 11   | 6,334 | 0,009 | 0,005 | 0,004  | 1,660 | 3,438   | 0,004 |
| 81 | 1    | 6,256 | 0,001 | 0,005 | -0,004 | 1,907 | 4,416   | 0,004 |
| 82 | 4    | 6,180 | 0,003 | 0,005 | -0,002 | 0,678 | 0,769   | 0,002 |
| 83 | 0    | 6,106 | 0,000 | 0,005 | -0,005 | 2,275 | 6,106   | 0,005 |
| 84 | 9    | 6,034 | 0,008 | 0,005 | 0,003  | 1,007 | 1,458   | 0,003 |
| 85 | 5    | 5,963 | 0,004 | 0,005 | -0,001 | 0,190 | 0,156   | 0,001 |
| 86 | 1    | 5,894 | 0,001 | 0,005 | -0,004 | 1,815 | 4,064   | 0,004 |
| 87 | 3    | 5,827 | 0,003 | 0,005 | -0,002 | 0,966 | 1,372   | 0,002 |
| 88 | 2    | 5,761 | 0,002 | 0,005 | -0,003 | 1,362 | 2,456   | 0,003 |
| 89 | 4    | 5,697 | 0,003 | 0,005 | -0,001 | 0,503 | 0,505   | 0,001 |
| 90 | 12   | 5,634 | 0,010 | 0,005 | 0,005  | 2,477 | 7,193   | 0,005 |
| 91 | 6    | 5,572 | 0,005 | 0,005 | 0,000  | 0,182 | 0,033   | 0,000 |
| 92 | 3    | 5,512 | 0,003 | 0,005 | -0,002 | 0,859 | 1,145   | 0,002 |
| 93 | 2    | 5,453 | 0,002 | 0,005 | -0,003 | 1,268 | 2,187   | 0,003 |
| 94 | 4    | 5,395 | 0,003 | 0,005 | -0,001 | 0,386 | 0,361   | 0,001 |
| 95 | 1    | 5,339 | 0,001 | 0,005 | -0,004 | 1,665 | 3,526   | 0,004 |
| 96 | 2    | 5,284 | 0,002 | 0,005 | -0,003 | 1,214 | 2,041   | 0,003 |
| 97 | 4    | 5,229 | 0,003 | 0,004 | -0,001 | 0,320 | 0,289   | 0,001 |
| 98 | 6    | 5,176 | 0,005 | 0,004 | 0,001  | 0,143 | 0,131   | 0,001 |
| 99 | 17   | 5,124 | 0,014 | 0,004 | 0,010  | 5,036 | 27,522  | 0,010 |
| N  | 1174 |       | 1,000 | 1,000 |        |       | 867,260 | 0,007 |

Fonte: Elaborado pelo autor

**Tabela 49 - Combinação 9 - Teste da Soma**

| Dígito | Soma (R\$)    | Proporção | Benford | Dígito | Soma (R\$)    | Proporção | Benford |
|--------|---------------|-----------|---------|--------|---------------|-----------|---------|
| 10     | 49.603.883,22 | 0,045     | 0,011   | 55     | 13.292.735,35 | 0,012     | 0,011   |
| 11     | 8.225.710,61  | 0,007     | 0,011   | 56     | 1.131.288,48  | 0,001     | 0,011   |
| 12     | 13.797.577,09 | 0,012     | 0,011   | 57     | 12.635.352,95 | 0,011     | 0,011   |
| 13     | 11.612.606,85 | 0,010     | 0,011   | 58     | 1.336.690,00  | 0,001     | 0,011   |
| 14     | 16.265.752,41 | 0,015     | 0,011   | 59     | 605.979,27    | 0,001     | 0,011   |
| 15     | 34.651.196,74 | 0,031     | 0,011   | 60     | 27.938.364,81 | 0,025     | 0,011   |
| 16     | 8.907.265,79  | 0,008     | 0,011   | 61     | 25.335.423,00 | 0,023     | 0,011   |
| 17     | 14.415.979,41 | 0,013     | 0,011   | 62     | 8.195.893,00  | 0,007     | 0,011   |
| 18     | 10.132.141,97 | 0,009     | 0,011   | 63     | 6.461.900,00  | 0,006     | 0,011   |
| 19     | 15.736.010,08 | 0,014     | 0,011   | 64     | 12.954.699,39 | 0,012     | 0,011   |
| 20     | 32.272.380,42 | 0,029     | 0,011   | 65     | 10.565.349,00 | 0,010     | 0,011   |
| 21     | 12.857.701,00 | 0,012     | 0,011   | 66     | 7.353.317,00  | 0,007     | 0,011   |
| 22     | 5.907.778,03  | 0,005     | 0,011   | 67     | 7.484.927,71  | 0,007     | 0,011   |
| 23     | 6.071.004,15  | 0,005     | 0,011   | 68     | -             | 0,000     | 0,011   |
| 24     | 14.755.706,91 | 0,013     | 0,011   | 69     | 9.154.242,82  | 0,008     | 0,011   |
| 25     | 12.289.486,52 | 0,011     | 0,011   | 70     | 32.737.985,78 | 0,030     | 0,011   |
| 26     | 14.518.665,27 | 0,013     | 0,011   | 71     | 2.148.043,32  | 0,002     | 0,011   |
| 27     | 7.407.181,36  | 0,007     | 0,011   | 72     | 727.176,00    | 0,001     | 0,011   |
| 28     | 14.565.287,79 | 0,013     | 0,011   | 73     | 1.549.762,08  | 0,001     | 0,011   |
| 29     | 24.167.869,25 | 0,022     | 0,011   | 74     | 17.196.581,86 | 0,016     | 0,011   |
| 30     | 34.317.036,39 | 0,031     | 0,011   | 75     | 1.726.772,32  | 0,002     | 0,011   |
| 31     | 20.211.781,24 | 0,018     | 0,011   | 76     | 8.510.464,50  | 0,008     | 0,011   |
| 32     | 11.665.829,36 | 0,011     | 0,011   | 77     | 15.540.681,00 | 0,014     | 0,011   |
| 33     | 10.485.988,25 | 0,009     | 0,011   | 78     | -             | 0,000     | 0,011   |
| 34     | 16.561.671,29 | 0,015     | 0,011   | 79     | 41.452.872,00 | 0,037     | 0,011   |
| 35     | 17.787.773,46 | 0,016     | 0,011   | 80     | 6.568.578,04  | 0,006     | 0,011   |
| 36     | 12.039.230,39 | 0,011     | 0,011   | 81     | 819.260,00    | 0,001     | 0,011   |
| 37     | 13.113.378,52 | 0,012     | 0,011   | 82     | 9.930.860,00  | 0,009     | 0,011   |
| 38     | 13.160.054,57 | 0,012     | 0,011   | 83     | -             | 0,000     | 0,011   |
| 39     | 27.813.049,11 | 0,025     | 0,011   | 84     | 1.061.370,43  | 0,001     | 0,011   |
| 40     | 28.804.841,35 | 0,026     | 0,011   | 85     | 3.495.739,96  | 0,003     | 0,011   |
| 41     | 8.653.261,82  | 0,008     | 0,011   | 86     | 86.647,47     | 0,000     | 0,011   |
| 42     | 31.789.446,81 | 0,029     | 0,011   | 87     | 1.052.812,47  | 0,001     | 0,011   |
| 43     | 18.261.776,82 | 0,016     | 0,011   | 88     | 968.000,00    | 0,001     | 0,011   |
| 44     | 2.240.249,57  | 0,002     | 0,011   | 89     | 1.975.170,99  | 0,002     | 0,011   |
| 45     | 24.010.516,40 | 0,022     | 0,011   | 90     | 5.779.631,58  | 0,005     | 0,011   |
| 46     | 5.603.056,05  | 0,005     | 0,011   | 91     | 12.080.612,97 | 0,011     | 0,011   |
| 47     | 12.939.263,03 | 0,012     | 0,011   | 92     | 1.022.147,31  | 0,001     | 0,011   |

|    |               |       |       |    |               |       |       |
|----|---------------|-------|-------|----|---------------|-------|-------|
| 48 | 30.100.537,00 | 0,027 | 0,011 | 93 | 1.023.200,00  | 0,001 | 0,011 |
| 49 | 12.185.284,09 | 0,011 | 0,011 | 94 | 1.898.399,22  | 0,002 | 0,011 |
| 50 | 40.755.499,15 | 0,037 | 0,011 | 95 | 950.000,00    | 0,001 | 0,011 |
| 51 | 10.282.029,00 | 0,009 | 0,011 | 96 | 193.543,00    | 0,000 | 0,011 |
| 52 | 11.550.699,61 | 0,010 | 0,011 | 97 | 1.270.905,00  | 0,001 | 0,011 |
| 53 | 18.218.651,27 | 0,016 | 0,011 | 98 | 20.892.368,00 | 0,019 | 0,011 |
| 54 | 5.474.227,00  | 0,005 | 0,011 | 99 | 3.491.373,53  | 0,003 | 0,011 |

Fonte: Elaborado pelo autor

### APÊNDICE C – Testes aplicados às Emendas por região

Tabela 50 - CO + N – Teste do Primeiro Dígito

| Dígito | Contagem real (cr) | Contagem esperada (fb x N) | Frequência real (fr) | Benford (fb) | Diferença (fr - fb) | Teste Z | QQ     | MDA   |
|--------|--------------------|----------------------------|----------------------|--------------|---------------------|---------|--------|-------|
| 1      | 263                | 277,25                     | 0,286                | 0,301        | -0,015              | 0,988   | 0,732  | 0,015 |
| 2      | 180                | 162,18                     | 0,195                | 0,176        | 0,019               | 1,498   | 1,958  | 0,019 |
| 3      | 128                | 115,07                     | 0,139                | 0,125        | 0,014               | 1,239   | 1,453  | 0,014 |
| 4      | 94                 | 89,25                      | 0,102                | 0,097        | 0,005               | 0,473   | 0,252  | 0,005 |
| 5      | 93                 | 72,93                      | 0,101                | 0,079        | 0,022               | 2,389   | 5,526  | 0,022 |
| 6      | 47                 | 61,66                      | 0,051                | 0,067        | -0,016              | 1,867   | 3,485  | 0,016 |
| 7      | 46                 | 53,41                      | 0,050                | 0,058        | -0,008              | 0,974   | 1,028  | 0,008 |
| 8      | 26                 | 47,11                      | 0,028                | 0,051        | -0,023              | 3,083   | 9,460  | 0,023 |
| 9      | 44                 | 42,18                      | 0,048                | 0,046        | 0,002               | 0,208   | 0,078  | 0,002 |
| N      | 921                |                            | 1,000                | 1,000        |                     |         | 23,973 | 0,014 |

Fonte: Elaborado pelo autor

Tabela 51 - CO + N - Teste dos Dois Primeiros Dígitos

| Dígito | Contagem real | Contagem esperada (fb x N) | Frequência real (fr) | Benford (fb) | Diferença (fr - fb) | Teste Z | QQ     | MDA   |
|--------|---------------|----------------------------|----------------------|--------------|---------------------|---------|--------|-------|
| 10     | 69            | 38,123                     | 0,075                | 0,041        | 0,034               | 5,025   | 25,009 | 0,034 |
| 11     | 26            | 34,803                     | 0,028                | 0,038        | -0,010              | 1,435   | 2,227  | 0,010 |
| 12     | 20            | 32,016                     | 0,022                | 0,035        | -0,013              | 2,072   | 4,510  | 0,013 |
| 13     | 21            | 29,642                     | 0,023                | 0,032        | -0,009              | 1,520   | 2,520  | 0,009 |
| 14     | 18            | 27,596                     | 0,020                | 0,030        | -0,010              | 1,758   | 3,337  | 0,010 |
| 15     | 39            | 25,814                     | 0,042                | 0,028        | 0,014               | 2,533   | 6,735  | 0,014 |

|    |    |        |       |       |        |        |         |       |
|----|----|--------|-------|-------|--------|--------|---------|-------|
| 16 | 16 | 24,249 | 0,017 | 0,026 | -0,009 | 1,595  | 2,806   | 0,009 |
| 17 | 17 | 22,863 | 0,018 | 0,025 | -0,006 | 1,136  | 1,503   | 0,006 |
| 18 | 15 | 21,626 | 0,016 | 0,023 | -0,007 | 1,333  | 2,030   | 0,007 |
| 19 | 22 | 20,517 | 0,024 | 0,022 | 0,002  | 0,220  | 0,107   | 0,002 |
| 20 | 39 | 19,515 | 0,042 | 0,021 | 0,021  | 4,344  | 19,454  | 0,021 |
| 21 | 31 | 18,607 | 0,034 | 0,020 | 0,013  | 2,785  | 8,254   | 0,013 |
| 22 | 15 | 17,780 | 0,016 | 0,019 | -0,003 | 0,546  | 0,435   | 0,003 |
| 23 | 7  | 17,023 | 0,008 | 0,018 | -0,011 | 2,330  | 5,902   | 0,011 |
| 24 | 18 | 16,328 | 0,020 | 0,018 | 0,002  | 0,293  | 0,171   | 0,002 |
| 25 | 20 | 15,688 | 0,022 | 0,017 | 0,005  | 0,971  | 1,185   | 0,005 |
| 26 | 9  | 15,096 | 0,010 | 0,016 | -0,007 | 1,452  | 2,461   | 0,007 |
| 27 | 13 | 14,547 | 0,014 | 0,016 | -0,002 | 0,277  | 0,164   | 0,002 |
| 28 | 12 | 14,036 | 0,013 | 0,015 | -0,002 | 0,413  | 0,295   | 0,002 |
| 29 | 16 | 13,560 | 0,017 | 0,015 | 0,003  | 0,531  | 0,439   | 0,003 |
| 30 | 39 | 13,115 | 0,042 | 0,014 | 0,028  | 7,060  | 51,086  | 0,028 |
| 31 | 4  | 12,699 | 0,004 | 0,014 | -0,009 | 2,317  | 5,959   | 0,009 |
| 32 | 6  | 12,308 | 0,007 | 0,013 | -0,007 | 1,667  | 3,233   | 0,007 |
| 33 | 10 | 11,941 | 0,011 | 0,013 | -0,002 | 0,420  | 0,315   | 0,002 |
| 34 | 11 | 11,595 | 0,012 | 0,013 | -0,001 | 0,028  | 0,030   | 0,001 |
| 35 | 26 | 11,268 | 0,028 | 0,012 | 0,016  | 4,266  | 19,261  | 0,016 |
| 36 | 7  | 10,959 | 0,008 | 0,012 | -0,004 | 1,051  | 1,430   | 0,004 |
| 37 | 9  | 10,667 | 0,010 | 0,012 | -0,002 | 0,359  | 0,260   | 0,002 |
| 38 | 9  | 10,390 | 0,010 | 0,011 | -0,002 | 0,278  | 0,186   | 0,002 |
| 39 | 7  | 10,127 | 0,008 | 0,011 | -0,003 | 0,830  | 0,965   | 0,003 |
| 40 | 25 | 9,877  | 0,027 | 0,011 | 0,016  | 4,678  | 23,157  | 0,016 |
| 41 | 6  | 9,639  | 0,007 | 0,010 | -0,004 | 1,016  | 1,374   | 0,004 |
| 42 | 12 | 9,412  | 0,013 | 0,010 | 0,003  | 0,684  | 0,712   | 0,003 |
| 43 | 6  | 9,195  | 0,007 | 0,010 | -0,003 | 0,893  | 1,110   | 0,003 |
| 44 | 8  | 8,989  | 0,009 | 0,010 | -0,001 | 0,164  | 0,109   | 0,001 |
| 45 | 9  | 8,791  | 0,010 | 0,010 | 0,000  | 0,071  | 0,005   | 0,000 |
| 46 | 4  | 8,602  | 0,004 | 0,009 | -0,005 | 1,405  | 2,462   | 0,005 |
| 47 | 3  | 8,421  | 0,003 | 0,009 | -0,006 | 1,704  | 3,490   | 0,006 |
| 48 | 6  | 8,247  | 0,007 | 0,009 | -0,002 | 0,611  | 0,612   | 0,002 |
| 49 | 15 | 8,081  | 0,016 | 0,009 | 0,008  | 2,268  | 5,925   | 0,008 |
| 50 | 49 | 7,921  | 0,053 | 0,009 | 0,045  | 14,481 | 213,048 | 0,045 |
| 51 | 9  | 7,767  | 0,010 | 0,008 | 0,001  | 0,264  | 0,196   | 0,001 |
| 52 | 6  | 7,619  | 0,007 | 0,008 | -0,002 | 0,407  | 0,344   | 0,002 |
| 53 | 6  | 7,477  | 0,007 | 0,008 | -0,002 | 0,359  | 0,292   | 0,002 |
| 54 | 8  | 7,339  | 0,009 | 0,008 | 0,001  | 0,060  | 0,059   | 0,001 |
| 55 | 1  | 7,207  | 0,001 | 0,008 | -0,007 | 2,134  | 5,346   | 0,007 |
| 56 | 1  | 7,080  | 0,001 | 0,008 | -0,007 | 2,105  | 5,221   | 0,007 |
| 57 | 3  | 6,956  | 0,003 | 0,008 | -0,004 | 1,315  | 2,250   | 0,004 |
| 58 | 4  | 6,838  | 0,004 | 0,007 | -0,003 | 0,897  | 1,178   | 0,003 |

|    |     |       |       |       |        |       |         |       |
|----|-----|-------|-------|-------|--------|-------|---------|-------|
| 59 | 6   | 6,723 | 0,007 | 0,007 | -0,001 | 0,086 | 0,078   | 0,001 |
| 60 | 10  | 6,611 | 0,011 | 0,007 | 0,004  | 1,127 | 1,737   | 0,004 |
| 61 | 5   | 6,504 | 0,005 | 0,007 | -0,002 | 0,395 | 0,348   | 0,002 |
| 62 | 2   | 6,400 | 0,002 | 0,007 | -0,005 | 1,547 | 3,025   | 0,005 |
| 63 | 5   | 6,299 | 0,005 | 0,007 | -0,001 | 0,319 | 0,268   | 0,001 |
| 64 | 3   | 6,201 | 0,003 | 0,007 | -0,003 | 1,088 | 1,653   | 0,003 |
| 65 | 9   | 6,107 | 0,010 | 0,007 | 0,003  | 0,972 | 1,371   | 0,003 |
| 66 | 2   | 6,015 | 0,002 | 0,007 | -0,004 | 1,438 | 2,680   | 0,004 |
| 67 | 5   | 5,926 | 0,005 | 0,006 | -0,001 | 0,175 | 0,145   | 0,001 |
| 68 | 0   | 5,839 | 0,000 | 0,006 | -0,006 | 2,217 | 5,839   | 0,006 |
| 69 | 6   | 5,755 | 0,007 | 0,006 | 0,000  | 0,102 | 0,010   | 0,000 |
| 70 | 11  | 5,674 | 0,012 | 0,006 | 0,006  | 2,032 | 5,000   | 0,006 |
| 71 | 1   | 5,594 | 0,001 | 0,006 | -0,005 | 1,736 | 3,773   | 0,005 |
| 72 | 3   | 5,517 | 0,003 | 0,006 | -0,003 | 0,861 | 1,148   | 0,003 |
| 73 | 2   | 5,442 | 0,002 | 0,006 | -0,004 | 1,265 | 2,177   | 0,004 |
| 74 | 5   | 5,369 | 0,005 | 0,006 | 0,000  | 0,160 | 0,025   | 0,000 |
| 75 | 4   | 5,298 | 0,004 | 0,006 | -0,001 | 0,348 | 0,318   | 0,001 |
| 76 | 4   | 5,229 | 0,004 | 0,006 | -0,001 | 0,320 | 0,289   | 0,001 |
| 77 | 5   | 5,161 | 0,005 | 0,006 | 0,000  | 0,071 | 0,005   | 0,000 |
| 78 | 2   | 5,095 | 0,002 | 0,006 | -0,003 | 1,153 | 1,880   | 0,003 |
| 79 | 9   | 5,031 | 0,010 | 0,005 | 0,004  | 1,551 | 3,130   | 0,004 |
| 80 | 10  | 4,969 | 0,011 | 0,005 | 0,005  | 2,038 | 5,094   | 0,005 |
| 81 | 0   | 4,908 | 0,000 | 0,005 | -0,005 | 1,995 | 4,908   | 0,005 |
| 82 | 6   | 4,848 | 0,007 | 0,005 | 0,001  | 0,297 | 0,274   | 0,001 |
| 83 | 2   | 4,790 | 0,002 | 0,005 | -0,003 | 1,049 | 1,625   | 0,003 |
| 84 | 3   | 4,734 | 0,003 | 0,005 | -0,002 | 0,568 | 0,635   | 0,002 |
| 85 | 0   | 4,678 | 0,000 | 0,005 | -0,005 | 1,937 | 4,678   | 0,005 |
| 86 | 1   | 4,624 | 0,001 | 0,005 | -0,004 | 1,456 | 2,840   | 0,004 |
| 87 | 1   | 4,571 | 0,001 | 0,005 | -0,004 | 1,440 | 2,790   | 0,004 |
| 88 | 1   | 4,520 | 0,001 | 0,005 | -0,004 | 1,424 | 2,741   | 0,004 |
| 89 | 2   | 4,469 | 0,002 | 0,005 | -0,003 | 0,934 | 1,364   | 0,003 |
| 90 | 3   | 4,420 | 0,003 | 0,005 | -0,002 | 0,439 | 0,456   | 0,002 |
| 91 | 1   | 4,371 | 0,001 | 0,005 | -0,004 | 1,377 | 2,600   | 0,004 |
| 92 | 6   | 4,324 | 0,007 | 0,005 | 0,002  | 0,567 | 0,649   | 0,002 |
| 93 | 2   | 4,278 | 0,002 | 0,005 | -0,002 | 0,862 | 1,213   | 0,002 |
| 94 | 4   | 4,233 | 0,004 | 0,005 | 0,000  | 0,113 | 0,013   | 0,000 |
| 95 | 6   | 4,188 | 0,007 | 0,005 | 0,002  | 0,642 | 0,784   | 0,002 |
| 96 | 3   | 4,145 | 0,003 | 0,005 | -0,001 | 0,318 | 0,316   | 0,001 |
| 97 | 3   | 4,102 | 0,003 | 0,004 | -0,001 | 0,298 | 0,296   | 0,001 |
| 98 | 6   | 4,061 | 0,007 | 0,004 | 0,002  | 0,716 | 0,926   | 0,002 |
| 99 | 10  | 4,020 | 0,011 | 0,004 | 0,006  | 2,739 | 8,896   | 0,006 |
| N  | 921 |       | 1,000 | 1,000 |        |       | 517,159 | 0,005 |

Fonte: Elaborado pelo autor

**Tabela 52 - CO + N - Teste da Soma**

| Dígito | Soma (R\$)     | Proporção | Benford | Dígito | Soma (R\$)     | Proporção | Benford |
|--------|----------------|-----------|---------|--------|----------------|-----------|---------|
| 10     | 39.464.776,23  | 0,018     | 0,011   | 55     | 5.579.000,00   | 0,003     | 0,011   |
| 11     | 141.245.136,32 | 0,063     | 0,011   | 56     | 560.227,00     | 0,000     | 0,011   |
| 12     | 15.590.874,64  | 0,007     | 0,011   | 57     | 11.579.922,00  | 0,005     | 0,011   |
| 13     | 41.199.756,67  | 0,018     | 0,011   | 58     | 758.597,23     | 0,000     | 0,011   |
| 14     | 7.813.356,53   | 0,004     | 0,011   | 59     | 19.728.607,00  | 0,009     | 0,011   |
| 15     | 24.612.040,66  | 0,011     | 0,011   | 60     | 15.746.535,00  | 0,007     | 0,011   |
| 16     | 60.486.646,93  | 0,027     | 0,011   | 61     | 61.084.065,64  | 0,027     | 0,011   |
| 17     | 59.793.714,65  | 0,027     | 0,011   | 62     | 6.840.701,00   | 0,003     | 0,011   |
| 18     | 47.105.412,88  | 0,021     | 0,011   | 63     | 7.022.627,00   | 0,003     | 0,011   |
| 19     | 36.600.324,23  | 0,016     | 0,011   | 64     | 13.581.198,00  | 0,006     | 0,011   |
| 20     | 59.031.579,62  | 0,026     | 0,011   | 65     | 10.574.588,57  | 0,005     | 0,011   |
| 21     | 28.821.506,47  | 0,013     | 0,011   | 66     | 13.320.219,00  | 0,006     | 0,011   |
| 22     | 45.576.532,31  | 0,020     | 0,011   | 67     | 14.155.925,73  | 0,006     | 0,011   |
| 23     | 24.757.273,32  | 0,011     | 0,011   | 68     | -              | 0,000     | 0,011   |
| 24     | 21.974.119,02  | 0,010     | 0,011   | 69     | 16.034.027,00  | 0,007     | 0,011   |
| 25     | 43.585.604,06  | 0,020     | 0,011   | 70     | 87.806.140,78  | 0,039     | 0,011   |
| 26     | 35.560.850,37  | 0,016     | 0,011   | 71     | 711.992,00     | 0,000     | 0,011   |
| 27     | 17.797.369,76  | 0,008     | 0,011   | 72     | 1.463.923,20   | 0,001     | 0,011   |
| 28     | 16.258.953,65  | 0,007     | 0,011   | 73     | 80.594,08      | 0,000     | 0,011   |
| 29     | 44.394.538,38  | 0,020     | 0,011   | 74     | 23.196.905,00  | 0,010     | 0,011   |
| 30     | 58.419.665,00  | 0,026     | 0,011   | 75     | 1.652.795,37   | 0,001     | 0,011   |
| 31     | 3.857.395,00   | 0,002     | 0,011   | 76     | 23.026.150,29  | 0,010     | 0,011   |
| 32     | 7.528.707,02   | 0,003     | 0,011   | 77     | 16.982.689,40  | 0,008     | 0,011   |
| 33     | 21.233.313,73  | 0,010     | 0,011   | 78     | 7.827.878,72   | 0,004     | 0,011   |
| 34     | 87.661.587,05  | 0,039     | 0,011   | 79     | 57.321.353,99  | 0,026     | 0,011   |
| 35     | 51.036.082,81  | 0,023     | 0,011   | 80     | 22.472.278,20  | 0,010     | 0,011   |
| 36     | 5.453.782,62   | 0,002     | 0,011   | 81     | -              | 0,000     | 0,011   |
| 37     | 9.422.350,74   | 0,004     | 0,011   | 82     | 11.582.332,99  | 0,005     | 0,011   |
| 38     | 62.602.010,59  | 0,028     | 0,011   | 83     | 9.178.862,00   | 0,004     | 0,011   |
| 39     | 20.619.910,00  | 0,009     | 0,011   | 84     | 10.180.211,00  | 0,005     | 0,011   |
| 40     | 35.415.189,00  | 0,016     | 0,011   | 85     | -              | 0,000     | 0,011   |
| 41     | 42.216.381,05  | 0,019     | 0,011   | 86     | 8.662.832,00   | 0,004     | 0,011   |
| 42     | 47.902.037,00  | 0,021     | 0,011   | 87     | 876.236,00     | 0,000     | 0,011   |
| 43     | 14.335.522,61  | 0,006     | 0,011   | 88     | 880.000,00     | 0,000     | 0,011   |
| 44     | 59.494.410,00  | 0,027     | 0,011   | 89     | 1.796.200,00   | 0,001     | 0,011   |
| 45     | 7.668.579,18   | 0,003     | 0,011   | 90     | 1.890.986,00   | 0,001     | 0,011   |
| 46     | 5.530.393,31   | 0,002     | 0,011   | 91     | 919.239,00     | 0,000     | 0,011   |
| 47     | 5.194.380,85   | 0,002     | 0,011   | 92     | 104.408.419,00 | 0,047     | 0,011   |
| 48     | 14.582.023,22  | 0,007     | 0,011   | 93     | 10.284.411,75  | 0,005     | 0,011   |

|    |               |       |       |    |               |       |       |
|----|---------------|-------|-------|----|---------------|-------|-------|
| 49 | 71.987.689,23 | 0,032 | 0,011 | 94 | 2.834.666,07  | 0,001 | 0,011 |
| 50 | 31.655.865,42 | 0,014 | 0,011 | 95 | 22.018.932,00 | 0,010 | 0,011 |
| 51 | 12.033.773,78 | 0,005 | 0,011 | 96 | 9.724.343,36  | 0,004 | 0,011 |
| 52 | 16.228.305,00 | 0,007 | 0,011 | 97 | 2.041.253,50  | 0,001 | 0,011 |
| 53 | 60.057.430,06 | 0,027 | 0,011 | 98 | 3.258.126,32  | 0,001 | 0,011 |
| 54 | 22.386.568,00 | 0,010 | 0,011 | 99 | 4.494.130,79  | 0,002 | 0,011 |

Fonte: Elaborado pelo autor

**Tabela 53 - CO + S - Teste do Primeiro Dígito**

| Dígito | Contagem real (cr) | Contagem esperada (fb x N) | Frequência real (fr) | Benford (fb) | Diferença (fr - fb) | Teste Z | QQ     | MDA   |
|--------|--------------------|----------------------------|----------------------|--------------|---------------------|---------|--------|-------|
| 1      | 297                | 295,01                     | 0,303                | 0,301        | 0,002               | 0,104   | 0,013  | 0,002 |
| 2      | 196                | 172,57                     | 0,200                | 0,176        | 0,024               | 1,923   | 3,181  | 0,024 |
| 3      | 132                | 122,44                     | 0,135                | 0,125        | 0,010               | 0,875   | 0,746  | 0,010 |
| 4      | 112                | 94,97                      | 0,114                | 0,097        | 0,017               | 1,785   | 3,053  | 0,017 |
| 5      | 94                 | 77,60                      | 0,096                | 0,079        | 0,017               | 1,881   | 3,467  | 0,017 |
| 6      | 36                 | 65,61                      | 0,037                | 0,067        | -0,030              | 3,720   | 13,362 | 0,030 |
| 7      | 50                 | 56,83                      | 0,051                | 0,058        | -0,007              | 0,865   | 0,821  | 0,007 |
| 8      | 36                 | 50,13                      | 0,037                | 0,051        | -0,014              | 1,976   | 3,983  | 0,014 |
| 9      | 27                 | 44,88                      | 0,028                | 0,046        | -0,018              | 2,656   | 7,126  | 0,018 |
| N      | 980                |                            | 1,000                | 1,000        |                     |         | 35,753 | 0,016 |

Fonte: Elaborado pelo autor

**Tabela 54 - CO + S - Teste dos Dois Primeiros Dígitos**

| Dígito | Contagem real | Contagem esperada (fb x N) | Frequência real (fr) | Benford (fb) | Diferença (fr - fb) | Teste Z | QQ     | MDA   |
|--------|---------------|----------------------------|----------------------|--------------|---------------------|---------|--------|-------|
| 10     | 81            | 40,565                     | 0,083                | 0,041        | 0,041               | 6,404   | 40,306 | 0,041 |
| 11     | 26            | 37,033                     | 0,027                | 0,038        | -0,011              | 1,764   | 3,287  | 0,011 |
| 12     | 28            | 34,067                     | 0,029                | 0,035        | -0,006              | 0,971   | 1,080  | 0,006 |
| 13     | 12            | 31,541                     | 0,012                | 0,032        | -0,020              | 3,446   | 12,106 | 0,020 |
| 14     | 34            | 29,364                     | 0,035                | 0,030        | 0,005               | 0,775   | 0,732  | 0,005 |
| 15     | 36            | 27,468                     | 0,037                | 0,028        | 0,009               | 1,554   | 2,650  | 0,009 |
| 16     | 22            | 25,802                     | 0,022                | 0,026        | -0,004              | 0,659   | 0,560  | 0,004 |
| 17     | 22            | 24,327                     | 0,022                | 0,025        | -0,002              | 0,375   | 0,223  | 0,002 |
| 18     | 15            | 23,011                     | 0,015                | 0,023        | -0,008              | 1,585   | 2,789  | 0,008 |
| 19     | 21            | 21,831                     | 0,021                | 0,022        | -0,001              | 0,072   | 0,032  | 0,001 |

|    |    |        |       |       |        |        |         |       |
|----|----|--------|-------|-------|--------|--------|---------|-------|
| 20 | 45 | 20,766 | 0,046 | 0,021 | 0,025  | 5,265  | 28,283  | 0,025 |
| 21 | 47 | 19,799 | 0,048 | 0,020 | 0,028  | 6,062  | 37,369  | 0,028 |
| 22 | 15 | 18,919 | 0,015 | 0,019 | -0,004 | 0,794  | 0,812   | 0,004 |
| 23 | 5  | 18,114 | 0,005 | 0,018 | -0,013 | 2,992  | 9,494   | 0,013 |
| 24 | 17 | 17,374 | 0,017 | 0,018 | 0,000  | 0,091  | 0,008   | 0,000 |
| 25 | 33 | 16,693 | 0,034 | 0,017 | 0,017  | 3,902  | 15,931  | 0,017 |
| 26 | 5  | 16,063 | 0,005 | 0,016 | -0,011 | 2,657  | 7,619   | 0,011 |
| 27 | 7  | 15,478 | 0,007 | 0,016 | -0,009 | 2,044  | 4,644   | 0,009 |
| 28 | 8  | 14,935 | 0,008 | 0,015 | -0,007 | 1,678  | 3,220   | 0,007 |
| 29 | 14 | 14,429 | 0,014 | 0,015 | 0,000  | 0,114  | 0,013   | 0,000 |
| 30 | 38 | 13,956 | 0,039 | 0,014 | 0,025  | 6,348  | 41,426  | 0,025 |
| 31 | 2  | 13,513 | 0,002 | 0,014 | -0,012 | 3,017  | 9,809   | 0,012 |
| 32 | 5  | 13,097 | 0,005 | 0,013 | -0,008 | 2,113  | 5,006   | 0,008 |
| 33 | 7  | 12,706 | 0,007 | 0,013 | -0,006 | 1,470  | 2,562   | 0,006 |
| 34 | 10 | 12,337 | 0,010 | 0,013 | -0,002 | 0,526  | 0,443   | 0,002 |
| 35 | 35 | 11,990 | 0,036 | 0,012 | 0,023  | 6,541  | 44,160  | 0,023 |
| 36 | 8  | 11,661 | 0,008 | 0,012 | -0,004 | 0,931  | 1,150   | 0,004 |
| 37 | 10 | 11,350 | 0,010 | 0,012 | -0,001 | 0,254  | 0,161   | 0,001 |
| 38 | 6  | 11,055 | 0,006 | 0,011 | -0,005 | 1,378  | 2,312   | 0,005 |
| 39 | 11 | 10,775 | 0,011 | 0,011 | 0,000  | 0,069  | 0,005   | 0,000 |
| 40 | 23 | 10,509 | 0,023 | 0,011 | 0,013  | 3,719  | 14,845  | 0,013 |
| 41 | 4  | 10,256 | 0,004 | 0,010 | -0,006 | 1,807  | 3,816   | 0,006 |
| 42 | 16 | 10,015 | 0,016 | 0,010 | 0,006  | 1,742  | 3,577   | 0,006 |
| 43 | 6  | 9,785  | 0,006 | 0,010 | -0,004 | 1,055  | 1,464   | 0,004 |
| 44 | 8  | 9,565  | 0,008 | 0,010 | -0,002 | 0,346  | 0,256   | 0,002 |
| 45 | 16 | 9,354  | 0,016 | 0,010 | 0,007  | 2,019  | 4,721   | 0,007 |
| 46 | 6  | 9,153  | 0,006 | 0,009 | -0,003 | 0,881  | 1,086   | 0,003 |
| 47 | 9  | 8,961  | 0,009 | 0,009 | 0,000  | 0,013  | 0,000   | 0,000 |
| 48 | 8  | 8,776  | 0,008 | 0,009 | -0,001 | 0,094  | 0,069   | 0,001 |
| 49 | 16 | 8,598  | 0,016 | 0,009 | 0,008  | 2,364  | 6,371   | 0,008 |
| 50 | 44 | 8,428  | 0,045 | 0,009 | 0,036  | 12,133 | 150,134 | 0,036 |
| 51 | 4  | 8,265  | 0,004 | 0,008 | -0,004 | 1,315  | 2,200   | 0,004 |
| 52 | 4  | 8,107  | 0,004 | 0,008 | -0,004 | 1,272  | 2,081   | 0,004 |
| 53 | 4  | 7,956  | 0,004 | 0,008 | -0,004 | 1,230  | 1,967   | 0,004 |
| 54 | 8  | 7,810  | 0,008 | 0,008 | 0,000  | 0,068  | 0,005   | 0,000 |
| 55 | 4  | 7,669  | 0,004 | 0,008 | -0,004 | 1,149  | 1,755   | 0,004 |
| 56 | 3  | 7,533  | 0,003 | 0,008 | -0,005 | 1,475  | 2,728   | 0,005 |
| 57 | 8  | 7,402  | 0,008 | 0,008 | 0,001  | 0,036  | 0,048   | 0,001 |
| 58 | 2  | 7,276  | 0,002 | 0,007 | -0,005 | 1,777  | 3,825   | 0,005 |
| 59 | 13 | 7,153  | 0,013 | 0,007 | 0,006  | 2,006  | 4,779   | 0,006 |
| 60 | 9  | 7,035  | 0,009 | 0,007 | 0,002  | 0,554  | 0,549   | 0,002 |
| 61 | 1  | 6,921  | 0,001 | 0,007 | -0,006 | 2,068  | 5,065   | 0,006 |
| 62 | 2  | 6,810  | 0,002 | 0,007 | -0,005 | 1,657  | 3,397   | 0,005 |

|    |     |       |       |       |        |       |         |       |
|----|-----|-------|-------|-------|--------|-------|---------|-------|
| 63 | 8   | 6,703 | 0,008 | 0,007 | 0,001  | 0,309 | 0,251   | 0,001 |
| 64 | 2   | 6,599 | 0,002 | 0,007 | -0,005 | 1,601 | 3,205   | 0,005 |
| 65 | 4   | 6,498 | 0,004 | 0,007 | -0,003 | 0,786 | 0,960   | 0,003 |
| 66 | 1   | 6,400 | 0,001 | 0,007 | -0,006 | 1,943 | 4,556   | 0,006 |
| 67 | 6   | 6,305 | 0,006 | 0,006 | 0,000  | 0,122 | 0,015   | 0,000 |
| 68 | 0   | 6,213 | 0,000 | 0,006 | -0,006 | 2,299 | 6,213   | 0,006 |
| 69 | 3   | 6,124 | 0,003 | 0,006 | -0,003 | 1,064 | 1,594   | 0,003 |
| 70 | 21  | 6,037 | 0,021 | 0,006 | 0,015  | 5,904 | 37,085  | 0,015 |
| 71 | 1   | 5,953 | 0,001 | 0,006 | -0,005 | 1,831 | 4,121   | 0,005 |
| 72 | 4   | 5,871 | 0,004 | 0,006 | -0,002 | 0,567 | 0,596   | 0,002 |
| 73 | 0   | 5,791 | 0,000 | 0,006 | -0,006 | 2,205 | 5,791   | 0,006 |
| 74 | 4   | 5,713 | 0,004 | 0,006 | -0,002 | 0,509 | 0,514   | 0,002 |
| 75 | 4   | 5,637 | 0,004 | 0,006 | -0,002 | 0,480 | 0,476   | 0,002 |
| 76 | 4   | 5,564 | 0,004 | 0,006 | -0,002 | 0,452 | 0,439   | 0,002 |
| 77 | 4   | 5,492 | 0,004 | 0,006 | -0,002 | 0,424 | 0,405   | 0,002 |
| 78 | 1   | 5,422 | 0,001 | 0,006 | -0,005 | 1,689 | 3,606   | 0,005 |
| 79 | 7   | 5,354 | 0,007 | 0,005 | 0,002  | 0,497 | 0,506   | 0,002 |
| 80 | 6   | 5,287 | 0,006 | 0,005 | 0,001  | 0,093 | 0,096   | 0,001 |
| 81 | 1   | 5,222 | 0,001 | 0,005 | -0,004 | 1,633 | 3,414   | 0,004 |
| 82 | 3   | 5,159 | 0,003 | 0,005 | -0,002 | 0,732 | 0,903   | 0,002 |
| 83 | 5   | 5,097 | 0,005 | 0,005 | 0,000  | 0,043 | 0,002   | 0,000 |
| 84 | 10  | 5,037 | 0,010 | 0,005 | 0,005  | 1,994 | 4,891   | 0,005 |
| 85 | 3   | 4,978 | 0,003 | 0,005 | -0,002 | 0,664 | 0,786   | 0,002 |
| 86 | 2   | 4,920 | 0,002 | 0,005 | -0,003 | 1,094 | 1,733   | 0,003 |
| 87 | 1   | 4,864 | 0,001 | 0,005 | -0,004 | 1,529 | 3,070   | 0,004 |
| 88 | 3   | 4,809 | 0,003 | 0,005 | -0,002 | 0,598 | 0,681   | 0,002 |
| 89 | 2   | 4,755 | 0,002 | 0,005 | -0,003 | 1,037 | 1,597   | 0,003 |
| 90 | 3   | 4,703 | 0,003 | 0,005 | -0,002 | 0,556 | 0,617   | 0,002 |
| 91 | 0   | 4,652 | 0,000 | 0,005 | -0,005 | 1,929 | 4,652   | 0,005 |
| 92 | 3   | 4,601 | 0,003 | 0,005 | -0,002 | 0,515 | 0,557   | 0,002 |
| 93 | 1   | 4,552 | 0,001 | 0,005 | -0,004 | 1,434 | 2,772   | 0,004 |
| 94 | 5   | 4,504 | 0,005 | 0,005 | 0,001  | 0,234 | 0,055   | 0,001 |
| 95 | 3   | 4,457 | 0,003 | 0,005 | -0,001 | 0,454 | 0,476   | 0,001 |
| 96 | 0   | 4,410 | 0,000 | 0,005 | -0,005 | 1,866 | 4,410   | 0,005 |
| 97 | 3   | 4,365 | 0,003 | 0,004 | -0,001 | 0,415 | 0,427   | 0,001 |
| 98 | 3   | 4,321 | 0,003 | 0,004 | -0,001 | 0,396 | 0,404   | 0,001 |
| 99 | 6   | 4,278 | 0,006 | 0,004 | 0,002  | 0,592 | 0,694   | 0,002 |
| N  | 980 |       | 1,000 | 1,000 |        |       | 595,498 | 0,006 |

Fonte: Elaborado pelo autor

**Tabela 55 - CO + S - Teste da Soma**

| Dígito | Soma (R\$) | Proporção | Benford | Dígito | Soma (R\$) | Proporção | Benford |
|--------|------------|-----------|---------|--------|------------|-----------|---------|
|--------|------------|-----------|---------|--------|------------|-----------|---------|

|    |               |       |       |    |                |       |       |
|----|---------------|-------|-------|----|----------------|-------|-------|
| 10 | 50.451.573,83 | 0,026 | 0,011 | 55 | 17.129.227,00  | 0,009 | 0,011 |
| 11 | 27.052.077,81 | 0,014 | 0,011 | 56 | 11.347.073,34  | 0,006 | 0,011 |
| 12 | 32.527.399,37 | 0,017 | 0,011 | 57 | 19.082.354,76  | 0,010 | 0,011 |
| 13 | 9.795.716,19  | 0,005 | 0,011 | 58 | 641.486,87     | 0,000 | 0,011 |
| 14 | 13.035.160,40 | 0,007 | 0,011 | 59 | 32.349.486,40  | 0,017 | 0,011 |
| 15 | 24.319.533,99 | 0,013 | 0,011 | 60 | 21.081.352,13  | 0,011 | 0,011 |
| 16 | 29.555.226,27 | 0,015 | 0,011 | 61 | 61.003.765,00  | 0,031 | 0,011 |
| 17 | 67.663.790,50 | 0,035 | 0,011 | 62 | 631.144,20     | 0,000 | 0,011 |
| 18 | 30.513.944,70 | 0,016 | 0,011 | 63 | 7.040.514,00   | 0,004 | 0,011 |
| 19 | 36.436.406,75 | 0,019 | 0,011 | 64 | 7.106.636,00   | 0,004 | 0,011 |
| 20 | 89.392.440,40 | 0,046 | 0,011 | 65 | 845.573,76     | 0,000 | 0,011 |
| 21 | 9.323.434,96  | 0,005 | 0,011 | 66 | 66.317,19      | 0,000 | 0,011 |
| 22 | 43.476.995,54 | 0,022 | 0,011 | 67 | 14.805.045,33  | 0,008 | 0,011 |
| 23 | 3.303.450,18  | 0,002 | 0,011 | 68 | -              | 0,000 | 0,011 |
| 24 | 17.222.673,16 | 0,009 | 0,011 | 69 | 13.926.439,00  | 0,007 | 0,011 |
| 25 | 51.443.392,98 | 0,026 | 0,011 | 70 | 96.989.825,00  | 0,050 | 0,011 |
| 26 | 3.430.077,95  | 0,002 | 0,011 | 71 | 7.152.598,00   | 0,004 | 0,011 |
| 27 | 6.072.229,58  | 0,003 | 0,011 | 72 | 9.396.440,00   | 0,005 | 0,011 |
| 28 | 17.306.157,20 | 0,009 | 0,011 | 73 | -              | 0,000 | 0,011 |
| 29 | 25.206.947,97 | 0,013 | 0,011 | 74 | 89.564.873,00  | 0,046 | 0,011 |
| 30 | 41.282.321,00 | 0,021 | 0,011 | 75 | 908.517,65     | 0,000 | 0,011 |
| 31 | 3.473.466,00  | 0,002 | 0,011 | 76 | 15.424.935,00  | 0,008 | 0,011 |
| 32 | 10.367.685,00 | 0,005 | 0,011 | 77 | 17.044.052,00  | 0,009 | 0,011 |
| 33 | 13.623.905,14 | 0,007 | 0,011 | 78 | 7.840.000,00   | 0,004 | 0,011 |
| 34 | 49.807.116,90 | 0,026 | 0,011 | 79 | 48.593.066,00  | 0,025 | 0,011 |
| 35 | 24.696.259,17 | 0,013 | 0,011 | 80 | 18.473.247,00  | 0,010 | 0,011 |
| 36 | 44.303.749,85 | 0,023 | 0,011 | 81 | 812.432,00     | 0,000 | 0,011 |
| 37 | 13.067.842,06 | 0,007 | 0,011 | 82 | 2.473.570,00   | 0,001 | 0,011 |
| 38 | 16.011.482,57 | 0,008 | 0,011 | 83 | 25.978.015,62  | 0,013 | 0,011 |
| 39 | 36.460.029,43 | 0,019 | 0,011 | 84 | 917.377,00     | 0,000 | 0,011 |
| 40 | 34.641.162,00 | 0,018 | 0,011 | 85 | 2.564.658,00   | 0,001 | 0,011 |
| 41 | 41.509.953,80 | 0,021 | 0,011 | 86 | 8.671.474,20   | 0,004 | 0,011 |
| 42 | 13.206.892,00 | 0,007 | 0,011 | 87 | 87.028,47      | 0,000 | 0,011 |
| 43 | 10.071.865,65 | 0,005 | 0,011 | 88 | 26.592.879,00  | 0,014 | 0,011 |
| 44 | 15.566.546,49 | 0,008 | 0,011 | 89 | 9.060.619,44   | 0,005 | 0,011 |
| 45 | 55.546.673,86 | 0,029 | 0,011 | 90 | 1.890.986,00   | 0,001 | 0,011 |
| 46 | 14.387.042,75 | 0,007 | 0,011 | 91 | -              | 0,000 | 0,011 |
| 47 | 29.421.097,85 | 0,015 | 0,011 | 92 | 102.608.083,62 | 0,053 | 0,011 |
| 48 | 24.714.289,00 | 0,013 | 0,011 | 93 | 9.363,20       | 0,000 | 0,011 |
| 49 | 32.454.070,32 | 0,017 | 0,011 | 94 | 2.942.134,35   | 0,002 | 0,011 |
| 50 | 47.225.253,00 | 0,024 | 0,011 | 95 | 11.458.952,42  | 0,006 | 0,011 |
| 51 | 1.591.234,39  | 0,001 | 0,011 | 96 | -              | 0,000 | 0,011 |
| 52 | 15.762.068,00 | 0,008 | 0,011 | 97 | 2.046.577,00   | 0,001 | 0,011 |

|    |               |       |       |    |               |       |       |
|----|---------------|-------|-------|----|---------------|-------|-------|
| 53 | 11.226.758,27 | 0,006 | 0,011 | 98 | 10.927.306,00 | 0,006 | 0,011 |
| 54 | 22.456.845,00 | 0,012 | 0,011 | 99 | 4.190.889,78  | 0,002 | 0,011 |

Fonte: Elaborado pelo autor

**Tabela 56 - NA - Teste do Primeiro Dígito**

| Dígito   | Contagem real (cr) | Contagem esperada (fb x N) | Frequência real (fr) | Benford (fb) | Diferença (fr - fb) | Teste Z | QQ     | MDA   |
|----------|--------------------|----------------------------|----------------------|--------------|---------------------|---------|--------|-------|
| <b>1</b> | 284                | 271,53                     | 0,315                | 0,301        | 0,014               | 0,869   | 0,573  | 0,014 |
| <b>2</b> | 205                | 158,83                     | 0,227                | 0,176        | 0,051               | 3,992   | 13,418 | 0,051 |
| <b>3</b> | 112                | 112,69                     | 0,124                | 0,125        | -0,001              | 0,020   | 0,004  | 0,001 |
| <b>4</b> | 72                 | 87,41                      | 0,080                | 0,097        | -0,017              | 1,678   | 2,718  | 0,017 |
| <b>5</b> | 97                 | 71,42                      | 0,108                | 0,079        | 0,028               | 3,092   | 9,161  | 0,028 |
| <b>6</b> | 37                 | 60,39                      | 0,041                | 0,067        | -0,026              | 3,049   | 9,057  | 0,026 |
| <b>7</b> | 33                 | 52,31                      | 0,037                | 0,058        | -0,021              | 2,679   | 7,127  | 0,021 |
| <b>8</b> | 23                 | 46,14                      | 0,025                | 0,051        | -0,026              | 3,422   | 11,605 | 0,026 |
| <b>9</b> | 39                 | 41,31                      | 0,043                | 0,046        | -0,003              | 0,289   | 0,129  | 0,003 |
| <b>N</b> | 902                |                            | 1,000                | 1,000        |                     |         | 53,792 | 0,021 |

Fonte: Elaborado pelo autor

**Tabela 57 - NA - Teste dos Dois Primeiros Dígitos**

| Dígito | Contagem real | Contagem esperada (fb x N) | Frequência real (fr) | Benford (fb) | Diferença (fr - fb) | Teste Z | QQ      | MDA   |
|--------|---------------|----------------------------|----------------------|--------------|---------------------|---------|---------|-------|
| 10     | 110           | 37,336                     | 0,122                | 0,041        | 0,081               | 12,062  | 141,418 | 0,081 |
| 11     | 24            | 34,085                     | 0,027                | 0,038        | -0,011              | 1,674   | 2,984   | 0,011 |
| 12     | 21            | 31,355                     | 0,023                | 0,035        | -0,011              | 1,791   | 3,420   | 0,011 |
| 13     | 23            | 29,031                     | 0,025                | 0,032        | -0,007              | 1,043   | 1,253   | 0,007 |
| 14     | 13            | 27,027                     | 0,014                | 0,030        | -0,016              | 2,642   | 7,280   | 0,016 |
| 15     | 49            | 25,282                     | 0,054                | 0,028        | 0,026               | 4,684   | 22,251  | 0,026 |
| 16     | 7             | 23,749                     | 0,008                | 0,026        | -0,019              | 3,379   | 11,812  | 0,019 |
| 17     | 13            | 22,391                     | 0,014                | 0,025        | -0,010              | 1,903   | 3,939   | 0,010 |
| 18     | 13            | 21,180                     | 0,014                | 0,023        | -0,009              | 1,689   | 3,159   | 0,009 |
| 19     | 11            | 20,093                     | 0,012                | 0,022        | -0,010              | 1,939   | 4,115   | 0,010 |
| 20     | 88            | 19,113                     | 0,098                | 0,021        | 0,076               | 15,811  | 248,287 | 0,076 |
| 21     | 12            | 18,223                     | 0,013                | 0,020        | -0,007              | 1,354   | 2,125   | 0,007 |
| 22     | 10            | 17,413                     | 0,011                | 0,019        | -0,008              | 1,673   | 3,156   | 0,008 |
| 23     | 11            | 16,672                     | 0,012                | 0,018        | -0,006              | 1,279   | 1,930   | 0,006 |

|    |    |        |       |       |        |        |         |       |
|----|----|--------|-------|-------|--------|--------|---------|-------|
| 24 | 7  | 15,991 | 0,008 | 0,018 | -0,010 | 2,142  | 5,056   | 0,010 |
| 25 | 50 | 15,364 | 0,055 | 0,017 | 0,038  | 8,784  | 78,081  | 0,038 |
| 26 | 5  | 14,784 | 0,006 | 0,016 | -0,011 | 2,435  | 6,475   | 0,011 |
| 27 | 5  | 14,246 | 0,006 | 0,016 | -0,010 | 2,336  | 6,001   | 0,010 |
| 28 | 9  | 13,746 | 0,010 | 0,015 | -0,005 | 1,154  | 1,639   | 0,005 |
| 29 | 8  | 13,280 | 0,009 | 0,015 | -0,006 | 1,322  | 2,100   | 0,006 |
| 30 | 40 | 12,845 | 0,044 | 0,014 | 0,030  | 7,491  | 57,408  | 0,030 |
| 31 | 5  | 12,437 | 0,006 | 0,014 | -0,008 | 1,981  | 4,447   | 0,008 |
| 32 | 9  | 12,054 | 0,010 | 0,013 | -0,003 | 0,741  | 0,774   | 0,003 |
| 33 | 6  | 11,694 | 0,007 | 0,013 | -0,006 | 1,529  | 2,773   | 0,006 |
| 34 | 7  | 11,355 | 0,008 | 0,013 | -0,005 | 1,151  | 1,671   | 0,005 |
| 35 | 17 | 11,035 | 0,019 | 0,012 | 0,007  | 1,655  | 3,224   | 0,007 |
| 36 | 3  | 10,733 | 0,003 | 0,012 | -0,009 | 2,221  | 5,572   | 0,009 |
| 37 | 10 | 10,447 | 0,011 | 0,012 | 0,000  | 0,139  | 0,019   | 0,000 |
| 38 | 3  | 10,175 | 0,003 | 0,011 | -0,008 | 2,105  | 5,060   | 0,008 |
| 39 | 12 | 9,918  | 0,013 | 0,011 | 0,002  | 0,505  | 0,437   | 0,002 |
| 40 | 25 | 9,673  | 0,028 | 0,011 | 0,017  | 4,793  | 24,286  | 0,017 |
| 41 | 2  | 9,440  | 0,002 | 0,010 | -0,008 | 2,271  | 5,864   | 0,008 |
| 42 | 6  | 9,218  | 0,007 | 0,010 | -0,004 | 0,900  | 1,123   | 0,004 |
| 43 | 3  | 9,006  | 0,003 | 0,010 | -0,007 | 1,844  | 4,005   | 0,007 |
| 44 | 4  | 8,803  | 0,004 | 0,010 | -0,005 | 1,458  | 2,621   | 0,005 |
| 45 | 9  | 8,610  | 0,010 | 0,010 | 0,000  | 0,134  | 0,018   | 0,000 |
| 46 | 2  | 8,425  | 0,002 | 0,009 | -0,007 | 2,051  | 4,899   | 0,007 |
| 47 | 7  | 8,247  | 0,008 | 0,009 | -0,001 | 0,261  | 0,189   | 0,001 |
| 48 | 6  | 8,077  | 0,007 | 0,009 | -0,002 | 0,557  | 0,534   | 0,002 |
| 49 | 8  | 7,914  | 0,009 | 0,009 | 0,000  | 0,031  | 0,001   | 0,000 |
| 50 | 60 | 7,757  | 0,067 | 0,009 | 0,058  | 18,658 | 351,833 | 0,058 |
| 51 | 1  | 7,607  | 0,001 | 0,008 | -0,007 | 2,224  | 5,738   | 0,007 |
| 52 | 1  | 7,462  | 0,001 | 0,008 | -0,007 | 2,192  | 5,596   | 0,007 |
| 53 | 2  | 7,322  | 0,002 | 0,008 | -0,006 | 1,789  | 3,869   | 0,006 |
| 54 | 5  | 7,188  | 0,006 | 0,008 | -0,002 | 0,632  | 0,666   | 0,002 |
| 55 | 12 | 7,058  | 0,013 | 0,008 | 0,005  | 1,678  | 3,460   | 0,005 |
| 56 | 2  | 6,934  | 0,002 | 0,008 | -0,005 | 1,690  | 3,510   | 0,005 |
| 57 | 2  | 6,813  | 0,002 | 0,008 | -0,005 | 1,659  | 3,400   | 0,005 |
| 58 | 5  | 6,696  | 0,006 | 0,007 | -0,002 | 0,464  | 0,430   | 0,002 |
| 59 | 7  | 6,584  | 0,008 | 0,007 | 0,000  | 0,163  | 0,026   | 0,000 |
| 60 | 14 | 6,475  | 0,016 | 0,007 | 0,008  | 2,771  | 8,745   | 0,008 |
| 61 | 2  | 6,370  | 0,002 | 0,007 | -0,005 | 1,539  | 2,998   | 0,005 |
| 62 | 3  | 6,268  | 0,003 | 0,007 | -0,004 | 1,109  | 1,704   | 0,004 |
| 63 | 1  | 6,169  | 0,001 | 0,007 | -0,006 | 1,886  | 4,331   | 0,006 |
| 64 | 2  | 6,074  | 0,002 | 0,007 | -0,005 | 1,455  | 2,732   | 0,005 |
| 65 | 4  | 5,981  | 0,004 | 0,007 | -0,002 | 0,608  | 0,656   | 0,002 |
| 66 | 5  | 5,891  | 0,006 | 0,007 | -0,001 | 0,162  | 0,135   | 0,001 |

|    |     |       |       |       |        |       |          |       |
|----|-----|-------|-------|-------|--------|-------|----------|-------|
| 67 | 2   | 5,804 | 0,002 | 0,006 | -0,004 | 1,376 | 2,493    | 0,004 |
| 68 | 0   | 5,719 | 0,000 | 0,006 | -0,006 | 2,189 | 5,719    | 0,006 |
| 69 | 4   | 5,637 | 0,004 | 0,006 | -0,002 | 0,480 | 0,475    | 0,002 |
| 70 | 7   | 5,557 | 0,008 | 0,006 | 0,002  | 0,401 | 0,375    | 0,002 |
| 71 | 3   | 5,479 | 0,003 | 0,006 | -0,003 | 0,848 | 1,122    | 0,003 |
| 72 | 4   | 5,403 | 0,004 | 0,006 | -0,002 | 0,390 | 0,364    | 0,002 |
| 73 | 0   | 5,330 | 0,000 | 0,006 | -0,006 | 2,098 | 5,330    | 0,006 |
| 74 | 4   | 5,258 | 0,004 | 0,006 | -0,001 | 0,332 | 0,301    | 0,001 |
| 75 | 5   | 5,189 | 0,006 | 0,006 | 0,000  | 0,083 | 0,007    | 0,000 |
| 76 | 6   | 5,121 | 0,007 | 0,006 | 0,001  | 0,168 | 0,151    | 0,001 |
| 77 | 1   | 5,055 | 0,001 | 0,006 | -0,004 | 1,586 | 3,253    | 0,004 |
| 78 | 0   | 4,990 | 0,000 | 0,006 | -0,006 | 2,016 | 4,990    | 0,006 |
| 79 | 3   | 4,928 | 0,003 | 0,005 | -0,002 | 0,645 | 0,754    | 0,002 |
| 80 | 7   | 4,866 | 0,008 | 0,005 | 0,002  | 0,743 | 0,936    | 0,002 |
| 81 | 2   | 4,807 | 0,002 | 0,005 | -0,003 | 1,055 | 1,639    | 0,003 |
| 82 | 2   | 4,748 | 0,002 | 0,005 | -0,003 | 1,035 | 1,591    | 0,003 |
| 83 | 2   | 4,691 | 0,002 | 0,005 | -0,003 | 1,014 | 1,544    | 0,003 |
| 84 | 2   | 4,636 | 0,002 | 0,005 | -0,003 | 0,995 | 1,499    | 0,003 |
| 85 | 3   | 4,582 | 0,003 | 0,005 | -0,002 | 0,507 | 0,546    | 0,002 |
| 86 | 1   | 4,529 | 0,001 | 0,005 | -0,004 | 1,427 | 2,750    | 0,004 |
| 87 | 1   | 4,477 | 0,001 | 0,005 | -0,004 | 1,410 | 2,700    | 0,004 |
| 88 | 2   | 4,426 | 0,002 | 0,005 | -0,003 | 0,918 | 1,330    | 0,003 |
| 89 | 1   | 4,377 | 0,001 | 0,005 | -0,004 | 1,378 | 2,605    | 0,004 |
| 90 | 4   | 4,329 | 0,004 | 0,005 | 0,000  | 0,158 | 0,025    | 0,000 |
| 91 | 4   | 4,281 | 0,004 | 0,005 | 0,000  | 0,136 | 0,018    | 0,000 |
| 92 | 6   | 4,235 | 0,007 | 0,005 | 0,002  | 0,616 | 0,736    | 0,002 |
| 93 | 4   | 4,190 | 0,004 | 0,005 | 0,000  | 0,093 | 0,009    | 0,000 |
| 94 | 3   | 4,145 | 0,003 | 0,005 | -0,001 | 0,318 | 0,316    | 0,001 |
| 95 | 4   | 4,102 | 0,004 | 0,005 | 0,000  | 0,050 | 0,003    | 0,000 |
| 96 | 3   | 4,059 | 0,003 | 0,005 | -0,001 | 0,278 | 0,277    | 0,001 |
| 97 | 3   | 4,018 | 0,003 | 0,004 | -0,001 | 0,259 | 0,258    | 0,001 |
| 98 | 1   | 3,977 | 0,001 | 0,004 | -0,003 | 1,245 | 2,228    | 0,003 |
| 99 | 7   | 3,937 | 0,008 | 0,004 | 0,003  | 1,295 | 2,383    | 0,003 |
| N  | 902 |       | 1,000 | 1,000 |        |       | 1129,959 | 0,008 |

Fonte: Elaborado pelo autor

**Tabela 58 - NA - Teste da Soma**

| Dígitos | Soma (R\$)     | Proporção | Benford | Dígitos | Soma (R\$)     | Proporção | Benford |
|---------|----------------|-----------|---------|---------|----------------|-----------|---------|
| 10      | 272.885.245,93 | 0,036     | 0,011   | 55      | 130.882.749,99 | 0,017     | 0,011   |
| 11      | 195.856.587,96 | 0,026     | 0,011   | 56      | 1.125.000,00   | 0,000     | 0,011   |
| 12      | 182.112.827,04 | 0,024     | 0,011   | 57      | 5.827.827,00   | 0,001     | 0,011   |

|    |                |       |       |    |                |       |       |
|----|----------------|-------|-------|----|----------------|-------|-------|
| 13 | 331.137.341,25 | 0,044 | 0,011 | 58 | 18.652.031,80  | 0,002 | 0,011 |
| 14 | 39.646.884,88  | 0,005 | 0,011 | 59 | 67.254.103,63  | 0,009 | 0,011 |
| 15 | 442.836.036,00 | 0,059 | 0,011 | 60 | 78.673.815,01  | 0,010 | 0,011 |
| 16 | 17.017.793,78  | 0,002 | 0,011 | 61 | 6.789.603,39   | 0,001 | 0,011 |
| 17 | 382.351.346,26 | 0,051 | 0,011 | 62 | 62.917.249,44  | 0,008 | 0,011 |
| 18 | 11.864.117,35  | 0,002 | 0,011 | 63 | 6.389.561,79   | 0,001 | 0,011 |
| 19 | 30.715.502,88  | 0,004 | 0,011 | 64 | 713.964,39     | 0,000 | 0,011 |
| 20 | 185.044.568,83 | 0,024 | 0,011 | 65 | 13.820.324,75  | 0,002 | 0,011 |
| 21 | 27.541.915,54  | 0,004 | 0,011 | 66 | 206.332.685,50 | 0,027 | 0,011 |
| 22 | 51.183.193,09  | 0,007 | 0,011 | 67 | 67.982.264,84  | 0,009 | 0,011 |
| 23 | 74.648.907,66  | 0,010 | 0,011 | 68 | -              | 0,000 | 0,011 |
| 24 | 27.887.071,85  | 0,004 | 0,011 | 69 | 21.484.340,70  | 0,003 | 0,011 |
| 25 | 896.924.158,64 | 0,119 | 0,011 | 70 | 4.900.000,00   | 0,001 | 0,011 |
| 26 | 3.501.693,52   | 0,000 | 0,011 | 71 | 72.434.381,37  | 0,010 | 0,011 |
| 27 | 877.801,95     | 0,000 | 0,011 | 72 | 80.101.890,71  | 0,011 | 0,011 |
| 28 | 352.445.725,02 | 0,047 | 0,011 | 73 | -              | 0,000 | 0,011 |
| 29 | 65.379.573,88  | 0,009 | 0,011 | 74 | 16.308.551,91  | 0,002 | 0,011 |
| 30 | 30.678.543,58  | 0,004 | 0,011 | 75 | 3.009.711,67   | 0,000 | 0,011 |
| 31 | 38.818.256,13  | 0,005 | 0,011 | 76 | 17.636.061,80  | 0,002 | 0,011 |
| 32 | 107.745.609,90 | 0,014 | 0,011 | 77 | 7.735.916,53   | 0,001 | 0,011 |
| 33 | 71.033.315,33  | 0,009 | 0,011 | 78 | -              | 0,000 | 0,011 |
| 34 | 113.750.138,35 | 0,015 | 0,011 | 79 | 8.848.438,00   | 0,001 | 0,011 |
| 35 | 97.700.721,65  | 0,013 | 0,011 | 80 | 4.889.329,28   | 0,001 | 0,011 |
| 36 | 367.586.216,00 | 0,049 | 0,011 | 81 | 89.701.485,26  | 0,012 | 0,011 |
| 37 | 417.614.687,38 | 0,055 | 0,011 | 82 | 8.352.685,74   | 0,001 | 0,011 |
| 38 | 4.317.232,33   | 0,001 | 0,011 | 83 | 8.383.050,23   | 0,001 | 0,011 |
| 39 | 14.951.860,16  | 0,002 | 0,011 | 84 | 924.638,50     | 0,000 | 0,011 |
| 40 | 101.096.980,05 | 0,013 | 0,011 | 85 | 2.556.167,46   | 0,000 | 0,011 |
| 41 | 460.573,98     | 0,000 | 0,011 | 86 | 8.640,00       | 0,000 | 0,011 |
| 42 | 13.588.557,89  | 0,002 | 0,011 | 87 | 87.574,95      | 0,000 | 0,011 |
| 43 | 48.501.207,44  | 0,006 | 0,011 | 88 | 9.710.946,19   | 0,001 | 0,011 |
| 44 | 46.000.315,69  | 0,006 | 0,011 | 89 | 8.958.065,00   | 0,001 | 0,011 |
| 45 | 15.066.425,00  | 0,002 | 0,011 | 90 | 91.055.920,12  | 0,012 | 0,011 |
| 46 | 5.099.604,90   | 0,001 | 0,011 | 91 | 18.557.785,09  | 0,002 | 0,011 |
| 47 | 54.031.204,05  | 0,007 | 0,011 | 92 | 28.959.406,04  | 0,004 | 0,011 |
| 48 | 20.346.023,37  | 0,003 | 0,011 | 93 | 10.443.278,64  | 0,001 | 0,011 |
| 49 | 11.985.416,40  | 0,002 | 0,011 | 94 | 283.875,46     | 0,000 | 0,011 |
| 50 | 53.989.479,91  | 0,007 | 0,011 | 95 | 106.813.417,36 | 0,014 | 0,011 |
| 51 | 51.038,00      | 0,000 | 0,011 | 96 | 10.674.188,31  | 0,001 | 0,011 |
| 52 | 52.927.154,42  | 0,007 | 0,011 | 97 | 975.134.755,25 | 0,129 | 0,011 |
| 53 | 5.870.525,44   | 0,001 | 0,011 | 98 | 98.608,00      | 0,000 | 0,011 |
| 54 | 1.690.233,86   | 0,000 | 0,011 | 99 | 1.597.617,13   | 0,000 | 0,011 |

Fonte: Elaborado pelo autor

**Tabela 59 - NE - Teste do Primeiro Dígito**

| Dígito   | Contagem real (cr) | Contagem esperada (fb x N) | Frequência real (fr) | Benford (fb) | Diferença (fr - fb) | Teste Z | QQ     | MDA   |
|----------|--------------------|----------------------------|----------------------|--------------|---------------------|---------|--------|-------|
| <b>1</b> | 296                | 342,27                     | 0,260                | 0,301        | -0,041              | 2,959   | 6,255  | 0,041 |
| <b>2</b> | 217                | 200,22                     | 0,191                | 0,176        | 0,015               | 1,268   | 1,407  | 0,015 |
| <b>3</b> | 152                | 142,06                     | 0,134                | 0,125        | 0,009               | 0,847   | 0,696  | 0,009 |
| <b>4</b> | 126                | 110,19                     | 0,111                | 0,097        | 0,014               | 1,535   | 2,269  | 0,014 |
| <b>5</b> | 106                | 90,03                      | 0,093                | 0,079        | 0,014               | 1,699   | 2,833  | 0,014 |
| <b>6</b> | 76                 | 76,12                      | 0,067                | 0,067        | 0,000               | 0,014   | 0,000  | 0,000 |
| <b>7</b> | 61                 | 65,94                      | 0,054                | 0,058        | -0,004              | 0,563   | 0,370  | 0,004 |
| <b>8</b> | 46                 | 58,16                      | 0,040                | 0,051        | -0,011              | 1,570   | 2,543  | 0,011 |
| <b>9</b> | 57                 | 52,07                      | 0,050                | 0,046        | 0,004               | 0,628   | 0,466  | 0,004 |
| <b>N</b> | 1137               |                            | 1,000                | 1,000        |                     |         | 16,839 | 0,012 |

Fonte: Elaborado pelo autor

**Tabela 60 – NE - Teste dos Dois Primeiros Dígitos**

| Dígito | Contagem real | Contagem esperada (fb x N) | Frequência real (fr) | Benford (fb) | Diferença (fr - fb) | Teste Z | QQ     | MDA   |
|--------|---------------|----------------------------|----------------------|--------------|---------------------|---------|--------|-------|
| 10     | 114           | 47,063                     | 0,100                | 0,041        | 0,059               | 9,891   | 95,201 | 0,059 |
| 11     | 14            | 42,966                     | 0,012                | 0,038        | -0,025              | 4,427   | 19,527 | 0,025 |
| 12     | 19            | 39,525                     | 0,017                | 0,035        | -0,018              | 3,242   | 10,658 | 0,018 |
| 13     | 16            | 36,594                     | 0,014                | 0,032        | -0,018              | 3,376   | 11,590 | 0,018 |
| 14     | 29            | 34,068                     | 0,026                | 0,030        | -0,004              | 0,795   | 0,754  | 0,004 |
| 15     | 38            | 31,869                     | 0,033                | 0,028        | 0,005               | 1,012   | 1,180  | 0,005 |
| 16     | 13            | 29,936                     | 0,011                | 0,026        | -0,015              | 3,044   | 9,581  | 0,015 |
| 17     | 18            | 28,224                     | 0,016                | 0,025        | -0,009              | 1,854   | 3,704  | 0,009 |
| 18     | 15            | 26,698                     | 0,013                | 0,023        | -0,010              | 2,193   | 5,126  | 0,010 |
| 19     | 20            | 25,328                     | 0,018                | 0,022        | -0,005              | 0,970   | 1,121  | 0,005 |
| 20     | 56            | 24,092                     | 0,049                | 0,021        | 0,028               | 6,468   | 42,259 | 0,028 |
| 21     | 36            | 22,971                     | 0,032                | 0,020        | 0,011               | 2,641   | 7,390  | 0,011 |
| 22     | 14            | 21,950                     | 0,012                | 0,019        | -0,007              | 1,606   | 2,879  | 0,007 |
| 23     | 13            | 21,016                     | 0,011                | 0,018        | -0,007              | 1,655   | 3,057  | 0,007 |
| 24     | 9             | 20,158                     | 0,008                | 0,018        | -0,010              | 2,395   | 6,176  | 0,010 |
| 25     | 26            | 19,367                     | 0,023                | 0,017        | 0,006               | 1,406   | 2,272  | 0,006 |
| 26     | 12            | 18,636                     | 0,011                | 0,016        | -0,006              | 1,433   | 2,363  | 0,006 |
| 27     | 6             | 17,958                     | 0,005                | 0,016        | -0,011              | 2,725   | 7,963  | 0,011 |
| 28     | 16            | 17,328                     | 0,014                | 0,015        | -0,001              | 0,200   | 0,102  | 0,001 |

|    |    |        |       |       |        |        |         |       |
|----|----|--------|-------|-------|--------|--------|---------|-------|
| 29 | 29 | 16,740 | 0,026 | 0,015 | 0,011  | 2,896  | 8,978   | 0,011 |
| 30 | 42 | 16,191 | 0,037 | 0,014 | 0,023  | 6,335  | 41,138  | 0,023 |
| 31 | 11 | 15,677 | 0,010 | 0,014 | -0,004 | 1,062  | 1,395   | 0,004 |
| 32 | 10 | 15,195 | 0,009 | 0,013 | -0,005 | 1,213  | 1,776   | 0,005 |
| 33 | 6  | 14,741 | 0,005 | 0,013 | -0,008 | 2,161  | 5,183   | 0,008 |
| 34 | 11 | 14,314 | 0,010 | 0,013 | -0,003 | 0,748  | 0,767   | 0,003 |
| 35 | 30 | 13,911 | 0,026 | 0,012 | 0,014  | 4,206  | 18,610  | 0,014 |
| 36 | 8  | 13,529 | 0,007 | 0,012 | -0,005 | 1,376  | 2,260   | 0,005 |
| 37 | 8  | 13,169 | 0,007 | 0,012 | -0,005 | 1,294  | 2,029   | 0,005 |
| 38 | 8  | 12,827 | 0,007 | 0,011 | -0,004 | 1,215  | 1,816   | 0,004 |
| 39 | 18 | 12,502 | 0,016 | 0,011 | 0,005  | 1,421  | 2,418   | 0,005 |
| 40 | 35 | 12,193 | 0,031 | 0,011 | 0,020  | 6,423  | 42,660  | 0,020 |
| 41 | 5  | 11,899 | 0,004 | 0,010 | -0,006 | 1,865  | 4,000   | 0,006 |
| 42 | 19 | 11,619 | 0,017 | 0,010 | 0,006  | 2,029  | 4,688   | 0,006 |
| 43 | 4  | 11,352 | 0,004 | 0,010 | -0,006 | 2,044  | 4,761   | 0,006 |
| 44 | 7  | 11,097 | 0,006 | 0,010 | -0,004 | 1,085  | 1,513   | 0,004 |
| 45 | 13 | 10,853 | 0,011 | 0,010 | 0,002  | 0,502  | 0,425   | 0,002 |
| 46 | 8  | 10,620 | 0,007 | 0,009 | -0,002 | 0,653  | 0,646   | 0,002 |
| 47 | 12 | 10,396 | 0,011 | 0,009 | 0,001  | 0,344  | 0,247   | 0,001 |
| 48 | 8  | 10,182 | 0,007 | 0,009 | -0,002 | 0,529  | 0,467   | 0,002 |
| 49 | 15 | 9,976  | 0,013 | 0,009 | 0,004  | 1,439  | 2,530   | 0,004 |
| 50 | 50 | 9,778  | 0,044 | 0,009 | 0,035  | 12,758 | 165,444 | 0,035 |
| 51 | 4  | 9,589  | 0,004 | 0,008 | -0,005 | 1,650  | 3,257   | 0,005 |
| 52 | 4  | 9,406  | 0,004 | 0,008 | -0,005 | 1,606  | 3,107   | 0,005 |
| 53 | 6  | 9,230  | 0,005 | 0,008 | -0,003 | 0,902  | 1,130   | 0,003 |
| 54 | 4  | 9,061  | 0,004 | 0,008 | -0,004 | 1,521  | 2,827   | 0,004 |
| 55 | 8  | 8,897  | 0,007 | 0,008 | -0,001 | 0,134  | 0,091   | 0,001 |
| 56 | 8  | 8,740  | 0,007 | 0,008 | -0,001 | 0,081  | 0,063   | 0,001 |
| 57 | 7  | 8,588  | 0,006 | 0,008 | -0,001 | 0,373  | 0,294   | 0,001 |
| 58 | 8  | 8,441  | 0,007 | 0,007 | 0,000  | 0,152  | 0,023   | 0,000 |
| 59 | 7  | 8,299  | 0,006 | 0,007 | -0,001 | 0,278  | 0,203   | 0,001 |
| 60 | 22 | 8,162  | 0,019 | 0,007 | 0,012  | 4,685  | 23,461  | 0,012 |
| 61 | 6  | 8,029  | 0,005 | 0,007 | -0,002 | 0,542  | 0,513   | 0,002 |
| 62 | 4  | 7,901  | 0,004 | 0,007 | -0,003 | 1,214  | 1,926   | 0,003 |
| 63 | 5  | 7,776  | 0,004 | 0,007 | -0,002 | 0,819  | 0,991   | 0,002 |
| 64 | 7  | 7,656  | 0,006 | 0,007 | -0,001 | 0,057  | 0,056   | 0,001 |
| 65 | 12 | 7,539  | 0,011 | 0,007 | 0,004  | 1,447  | 2,640   | 0,004 |
| 66 | 4  | 7,426  | 0,004 | 0,007 | -0,003 | 1,077  | 1,580   | 0,003 |
| 67 | 5  | 7,316  | 0,004 | 0,006 | -0,002 | 0,673  | 0,733   | 0,002 |
| 68 | 3  | 7,209  | 0,003 | 0,006 | -0,004 | 1,386  | 2,457   | 0,004 |
| 69 | 8  | 7,105  | 0,007 | 0,006 | 0,001  | 0,149  | 0,113   | 0,001 |
| 70 | 9  | 7,004  | 0,008 | 0,006 | 0,002  | 0,567  | 0,569   | 0,002 |
| 71 | 5  | 6,906  | 0,004 | 0,006 | -0,002 | 0,537  | 0,526   | 0,002 |

|    |      |       |       |       |        |       |         |       |
|----|------|-------|-------|-------|--------|-------|---------|-------|
| 72 | 3    | 6,811 | 0,003 | 0,006 | -0,003 | 1,273 | 2,132   | 0,003 |
| 73 | 4    | 6,718 | 0,004 | 0,006 | -0,002 | 0,858 | 1,100   | 0,002 |
| 74 | 5    | 6,628 | 0,004 | 0,006 | -0,001 | 0,439 | 0,400   | 0,001 |
| 75 | 9    | 6,540 | 0,008 | 0,006 | 0,002  | 0,768 | 0,925   | 0,002 |
| 76 | 5    | 6,455 | 0,004 | 0,006 | -0,001 | 0,377 | 0,328   | 0,001 |
| 77 | 4    | 6,372 | 0,004 | 0,006 | -0,002 | 0,744 | 0,883   | 0,002 |
| 78 | 3    | 6,290 | 0,003 | 0,006 | -0,003 | 1,116 | 1,721   | 0,003 |
| 79 | 14   | 6,211 | 0,012 | 0,005 | 0,007  | 2,933 | 9,767   | 0,007 |
| 80 | 18   | 6,134 | 0,016 | 0,005 | 0,010  | 4,601 | 22,953  | 0,010 |
| 81 | 5    | 6,059 | 0,004 | 0,005 | -0,001 | 0,228 | 0,185   | 0,001 |
| 82 | 2    | 5,985 | 0,002 | 0,005 | -0,004 | 1,428 | 2,654   | 0,004 |
| 83 | 0    | 5,914 | 0,000 | 0,005 | -0,005 | 2,232 | 5,914   | 0,005 |
| 84 | 6    | 5,844 | 0,005 | 0,005 | 0,000  | 0,065 | 0,004   | 0,000 |
| 85 | 4    | 5,775 | 0,004 | 0,005 | -0,002 | 0,532 | 0,546   | 0,002 |
| 86 | 2    | 5,709 | 0,002 | 0,005 | -0,003 | 1,346 | 2,409   | 0,003 |
| 87 | 1    | 5,643 | 0,001 | 0,005 | -0,004 | 1,749 | 3,821   | 0,004 |
| 88 | 4    | 5,580 | 0,004 | 0,005 | -0,001 | 0,458 | 0,447   | 0,001 |
| 89 | 4    | 5,517 | 0,004 | 0,005 | -0,001 | 0,434 | 0,417   | 0,001 |
| 90 | 13   | 5,456 | 0,011 | 0,005 | 0,007  | 3,023 | 10,430  | 0,007 |
| 91 | 5    | 5,397 | 0,004 | 0,005 | 0,000  | 0,171 | 0,029   | 0,000 |
| 92 | 4    | 5,338 | 0,004 | 0,005 | -0,001 | 0,364 | 0,336   | 0,001 |
| 93 | 3    | 5,281 | 0,003 | 0,005 | -0,002 | 0,777 | 0,985   | 0,002 |
| 94 | 4    | 5,225 | 0,004 | 0,005 | -0,001 | 0,318 | 0,287   | 0,001 |
| 95 | 4    | 5,171 | 0,004 | 0,005 | -0,001 | 0,296 | 0,265   | 0,001 |
| 96 | 3    | 5,117 | 0,003 | 0,005 | -0,002 | 0,716 | 0,876   | 0,002 |
| 97 | 5    | 5,065 | 0,004 | 0,004 | 0,000  | 0,029 | 0,001   | 0,000 |
| 98 | 6    | 5,013 | 0,005 | 0,004 | 0,001  | 0,218 | 0,194   | 0,001 |
| 99 | 10   | 4,963 | 0,009 | 0,004 | 0,004  | 2,041 | 5,113   | 0,004 |
| N  | 1137 |       | 1,000 | 1,000 |        |       | 668,336 | 0,006 |

Fonte: Elaborado pelo autor

**Tabela 61 - NE - Teste da Soma**

| Dígito | Soma (R\$)     | Proporção | Benford | Dígito | Soma (R\$)     | Proporção | Benford |
|--------|----------------|-----------|---------|--------|----------------|-----------|---------|
| 10     | 106.191.617,82 | 0,033     | 0,011   | 55     | 38.690.565,47  | 0,012     | 0,011   |
| 11     | 50.618.611,77  | 0,016     | 0,011   | 56     | 58.189.629,51  | 0,018     | 0,011   |
| 12     | 57.292.407,24  | 0,018     | 0,011   | 57     | 13.873.815,06  | 0,004     | 0,011   |
| 13     | 31.903.074,08  | 0,010     | 0,011   | 58     | 77.330.255,42  | 0,024     | 0,011   |
| 14     | 49.279.993,09  | 0,015     | 0,011   | 59     | 20.198.732,97  | 0,006     | 0,011   |
| 15     | 75.213.108,33  | 0,023     | 0,011   | 60     | 115.810.053,00 | 0,036     | 0,011   |
| 16     | 73.334.099,17  | 0,023     | 0,011   | 61     | 80.873.744,00  | 0,025     | 0,011   |
| 17     | 79.647.607,39  | 0,025     | 0,011   | 62     | 69.617.027,00  | 0,022     | 0,011   |
| 18     | 193.246.410,71 | 0,060     | 0,011   | 63     | 19.023.281,00  | 0,006     | 0,011   |

|    |                |       |       |    |                |       |       |
|----|----------------|-------|-------|----|----------------|-------|-------|
| 19 | 211.780.032,44 | 0,066 | 0,011 | 64 | 8.480.665,83   | 0,003 | 0,011 |
| 20 | 94.512.487,79  | 0,030 | 0,011 | 65 | 24.342.124,18  | 0,008 | 0,011 |
| 21 | 9.894.743,27   | 0,003 | 0,011 | 66 | 7.348.266,97   | 0,002 | 0,011 |
| 22 | 36.626.425,64  | 0,011 | 0,011 | 67 | 20.844.266,00  | 0,007 | 0,011 |
| 23 | 40.618.878,09  | 0,013 | 0,011 | 68 | 1.385.339,07   | 0,000 | 0,011 |
| 24 | 8.481.167,75   | 0,003 | 0,011 | 69 | 49.290.683,07  | 0,015 | 0,011 |
| 25 | 28.980.296,10  | 0,009 | 0,011 | 70 | 28.963.135,00  | 0,009 | 0,011 |
| 26 | 17.119.368,00  | 0,005 | 0,011 | 71 | 22.894.295,22  | 0,007 | 0,011 |
| 27 | 33.447.392,31  | 0,010 | 0,011 | 72 | 7.999.802,77   | 0,002 | 0,011 |
| 28 | 15.094.046,26  | 0,005 | 0,011 | 73 | 9.564.847,00   | 0,003 | 0,011 |
| 29 | 56.001.836,14  | 0,017 | 0,011 | 74 | 15.044.379,84  | 0,005 | 0,011 |
| 30 | 47.256.360,18  | 0,015 | 0,011 | 75 | 30.412.366,26  | 0,009 | 0,011 |
| 31 | 17.032.811,92  | 0,005 | 0,011 | 76 | 16.826.980,82  | 0,005 | 0,011 |
| 32 | 14.600.397,56  | 0,005 | 0,011 | 77 | 16.394.428,40  | 0,005 | 0,011 |
| 33 | 46.619.306,55  | 0,015 | 0,011 | 78 | 1.574.585,29   | 0,000 | 0,011 |
| 34 | 53.235.714,92  | 0,017 | 0,011 | 79 | 82.196.710,39  | 0,026 | 0,011 |
| 35 | 26.646.382,71  | 0,008 | 0,011 | 80 | 25.785.493,85  | 0,008 | 0,011 |
| 36 | 5.467.529,26   | 0,002 | 0,011 | 81 | 90.700.009,28  | 0,028 | 0,011 |
| 37 | 46.495.097,23  | 0,015 | 0,011 | 82 | 902.517,00     | 0,000 | 0,011 |
| 38 | 12.656.821,93  | 0,004 | 0,011 | 83 | -              | 0,000 | 0,011 |
| 39 | 45.691.896,89  | 0,014 | 0,011 | 84 | 9.413.899,30   | 0,003 | 0,011 |
| 40 | 110.990.908,00 | 0,035 | 0,011 | 85 | 2.641.855,40   | 0,001 | 0,011 |
| 41 | 8.814.935,02   | 0,003 | 0,011 | 86 | 8.727.101,47   | 0,003 | 0,011 |
| 42 | 18.615.016,84  | 0,006 | 0,011 | 87 | 878.784,00     | 0,000 | 0,011 |
| 43 | 48.502.812,04  | 0,015 | 0,011 | 88 | 27.441.926,00  | 0,009 | 0,011 |
| 44 | 14.757.224,57  | 0,005 | 0,011 | 89 | 9.922.698,48   | 0,003 | 0,011 |
| 45 | 21.799.362,00  | 0,007 | 0,011 | 90 | 24.643.719,20  | 0,008 | 0,011 |
| 46 | 19.247.456,32  | 0,006 | 0,011 | 91 | 20.242.590,00  | 0,006 | 0,011 |
| 47 | 26.169.783,20  | 0,008 | 0,011 | 92 | 102.626.400,74 | 0,032 | 0,011 |
| 48 | 24.697.329,00  | 0,008 | 0,011 | 93 | 948.726,96     | 0,000 | 0,011 |
| 49 | 8.183.523,54   | 0,003 | 0,011 | 94 | 1.900.514,21   | 0,001 | 0,011 |
| 50 | 65.586.003,18  | 0,020 | 0,011 | 95 | 12.376.397,00  | 0,004 | 0,011 |
| 51 | 15.483.355,14  | 0,005 | 0,011 | 96 | 1.065.804,28   | 0,000 | 0,011 |
| 52 | 10.929.994,24  | 0,003 | 0,011 | 97 | 3.115.183,40   | 0,001 | 0,011 |
| 53 | 8.043.148,25   | 0,003 | 0,011 | 98 | 20.803.560,00  | 0,006 | 0,011 |
| 54 | 11.945.805,00  | 0,004 | 0,011 | 99 | 2.795.840,58   | 0,001 | 0,011 |

Fonte: Elaborado pelo autor

**Tabela 62 - SE - Teste do Primeiro Dígito**

| Dígito   | Contagem real (cr) | Contagem esperada (fb x N) | Frequência real (fr) | Benford (fb) | Diferença (fr - fb) | Teste Z | QQ     | MDA   |
|----------|--------------------|----------------------------|----------------------|--------------|---------------------|---------|--------|-------|
| <b>1</b> | 389                | 414,22                     | 0,283                | 0,301        | -0,018              | 1,453   | 1,535  | 0,018 |
| <b>2</b> | 300                | 242,30                     | 0,218                | 0,176        | 0,042               | 4,048   | 13,740 | 0,042 |
| <b>3</b> | 181                | 171,92                     | 0,132                | 0,125        | 0,007               | 0,700   | 0,480  | 0,007 |
| <b>4</b> | 142                | 133,35                     | 0,103                | 0,097        | 0,006               | 0,743   | 0,561  | 0,006 |
| <b>5</b> | 140                | 108,95                     | 0,102                | 0,079        | 0,023               | 3,050   | 8,847  | 0,023 |
| <b>6</b> | 88                 | 92,12                      | 0,064                | 0,067        | -0,003              | 0,390   | 0,184  | 0,003 |
| <b>7</b> | 46                 | 79,80                      | 0,033                | 0,058        | -0,025              | 3,840   | 14,314 | 0,025 |
| <b>8</b> | 42                 | 70,39                      | 0,031                | 0,051        | -0,021              | 3,412   | 11,448 | 0,021 |
| <b>9</b> | 48                 | 63,02                      | 0,035                | 0,046        | -0,011              | 1,873   | 3,580  | 0,011 |
| <b>N</b> | 1376               |                            | 1,000                | 1,000        |                     |         | 54,689 | 0,017 |

Fonte: Elaborado pelo autor

**Tabela 63 - SE- Teste dos Dois Primeiros Dígitos**

| Dígito | Contagem real | Contagem esperada (fb x N) | Frequência real (fr) | Benford (fb) | Diferença (fr - fb) | Teste Z | QQ      | MDA   |
|--------|---------------|----------------------------|----------------------|--------------|---------------------|---------|---------|-------|
| 10     | 137           | 56,956                     | 0,100                | 0,041        | 0,058               | 10,765  | 112,489 | 0,058 |
| 11     | 32            | 51,997                     | 0,023                | 0,038        | -0,015              | 2,756   | 7,690   | 0,015 |
| 12     | 33            | 47,833                     | 0,024                | 0,035        | -0,011              | 2,109   | 4,600   | 0,011 |
| 13     | 16            | 44,286                     | 0,012                | 0,032        | -0,021              | 4,244   | 18,067  | 0,021 |
| 14     | 29            | 41,229                     | 0,021                | 0,030        | -0,009              | 1,855   | 3,627   | 0,009 |
| 15     | 56            | 38,568                     | 0,041                | 0,028        | 0,013               | 2,766   | 7,879   | 0,013 |
| 16     | 14            | 36,229                     | 0,010                | 0,026        | -0,016              | 3,658   | 13,639  | 0,016 |
| 17     | 19            | 34,157                     | 0,014                | 0,025        | -0,011              | 2,540   | 6,726   | 0,011 |
| 18     | 22            | 32,310                     | 0,016                | 0,023        | -0,007              | 1,746   | 3,290   | 0,007 |
| 19     | 31            | 30,652                     | 0,023                | 0,022        | 0,000               | 0,064   | 0,004   | 0,000 |
| 20     | 80            | 29,156                     | 0,058                | 0,021        | 0,037               | 9,424   | 88,662  | 0,037 |
| 21     | 37            | 27,800                     | 0,027                | 0,020        | 0,007               | 1,667   | 3,045   | 0,007 |
| 22     | 18            | 26,564                     | 0,013                | 0,019        | -0,006              | 1,580   | 2,761   | 0,006 |
| 23     | 14            | 25,433                     | 0,010                | 0,018        | -0,008              | 2,188   | 5,140   | 0,008 |
| 24     | 29            | 24,395                     | 0,021                | 0,018        | 0,003               | 0,839   | 0,869   | 0,003 |
| 25     | 51            | 23,438                     | 0,037                | 0,017        | 0,020               | 5,638   | 32,412  | 0,020 |
| 26     | 12            | 22,553                     | 0,009                | 0,016        | -0,008              | 2,134   | 4,938   | 0,008 |
| 27     | 21            | 21,733                     | 0,015                | 0,016        | -0,001              | 0,050   | 0,025   | 0,001 |
| 28     | 15            | 20,970                     | 0,011                | 0,015        | -0,004              | 1,204   | 1,700   | 0,004 |

|    |    |        |       |       |        |        |         |       |
|----|----|--------|-------|-------|--------|--------|---------|-------|
| 29 | 23 | 20,259 | 0,017 | 0,015 | 0,002  | 0,502  | 0,371   | 0,002 |
| 30 | 68 | 19,595 | 0,049 | 0,014 | 0,035  | 10,900 | 119,575 | 0,035 |
| 31 | 11 | 18,973 | 0,008 | 0,014 | -0,006 | 1,728  | 3,350   | 0,006 |
| 32 | 7  | 18,389 | 0,005 | 0,013 | -0,008 | 2,556  | 7,053   | 0,008 |
| 33 | 8  | 17,840 | 0,006 | 0,013 | -0,007 | 2,226  | 5,427   | 0,007 |
| 34 | 17 | 17,323 | 0,012 | 0,013 | 0,000  | 0,078  | 0,006   | 0,000 |
| 35 | 28 | 16,835 | 0,020 | 0,012 | 0,008  | 2,615  | 7,405   | 0,008 |
| 36 | 2  | 16,373 | 0,001 | 0,012 | -0,010 | 3,449  | 12,618  | 0,010 |
| 37 | 12 | 15,937 | 0,009 | 0,012 | -0,003 | 0,866  | 0,972   | 0,003 |
| 38 | 11 | 15,523 | 0,008 | 0,011 | -0,003 | 1,027  | 1,318   | 0,003 |
| 39 | 17 | 15,130 | 0,012 | 0,011 | 0,001  | 0,354  | 0,231   | 0,001 |
| 40 | 35 | 14,756 | 0,025 | 0,011 | 0,015  | 5,168  | 27,773  | 0,015 |
| 41 | 10 | 14,400 | 0,007 | 0,010 | -0,003 | 1,033  | 1,345   | 0,003 |
| 42 | 20 | 14,062 | 0,015 | 0,010 | 0,004  | 1,458  | 2,508   | 0,004 |
| 43 | 10 | 13,738 | 0,007 | 0,010 | -0,003 | 0,878  | 1,017   | 0,003 |
| 44 | 10 | 13,430 | 0,007 | 0,010 | -0,002 | 0,803  | 0,876   | 0,002 |
| 45 | 19 | 13,134 | 0,014 | 0,010 | 0,004  | 1,488  | 2,620   | 0,004 |
| 46 | 5  | 12,852 | 0,004 | 0,009 | -0,006 | 2,060  | 4,797   | 0,006 |
| 47 | 8  | 12,581 | 0,006 | 0,009 | -0,003 | 1,156  | 1,668   | 0,003 |
| 48 | 9  | 12,322 | 0,007 | 0,009 | -0,002 | 0,808  | 0,896   | 0,002 |
| 49 | 16 | 12,073 | 0,012 | 0,009 | 0,003  | 0,991  | 1,277   | 0,003 |
| 50 | 85 | 11,834 | 0,062 | 0,009 | 0,053  | 21,215 | 452,371 | 0,053 |
| 51 | 4  | 11,604 | 0,003 | 0,008 | -0,006 | 2,094  | 4,983   | 0,006 |
| 52 | 8  | 11,383 | 0,006 | 0,008 | -0,002 | 0,858  | 1,005   | 0,002 |
| 53 | 5  | 11,170 | 0,004 | 0,008 | -0,004 | 1,703  | 3,408   | 0,004 |
| 54 | 7  | 10,965 | 0,005 | 0,008 | -0,003 | 1,051  | 1,434   | 0,003 |
| 55 | 9  | 10,768 | 0,007 | 0,008 | -0,001 | 0,388  | 0,290   | 0,001 |
| 56 | 3  | 10,577 | 0,002 | 0,008 | -0,006 | 2,184  | 5,428   | 0,006 |
| 57 | 5  | 10,393 | 0,004 | 0,008 | -0,004 | 1,524  | 2,799   | 0,004 |
| 58 | 6  | 10,215 | 0,004 | 0,007 | -0,003 | 1,167  | 1,740   | 0,003 |
| 59 | 8  | 10,044 | 0,006 | 0,007 | -0,001 | 0,489  | 0,416   | 0,001 |
| 60 | 24 | 9,878  | 0,017 | 0,007 | 0,010  | 4,350  | 20,191  | 0,010 |
| 61 | 7  | 9,717  | 0,005 | 0,007 | -0,002 | 0,714  | 0,760   | 0,002 |
| 62 | 9  | 9,562  | 0,007 | 0,007 | 0,000  | 0,020  | 0,033   | 0,000 |
| 63 | 9  | 9,411  | 0,007 | 0,007 | 0,000  | 0,134  | 0,018   | 0,000 |
| 64 | 8  | 9,265  | 0,006 | 0,007 | -0,001 | 0,252  | 0,173   | 0,001 |
| 65 | 9  | 9,124  | 0,007 | 0,007 | 0,000  | 0,041  | 0,002   | 0,000 |
| 66 | 6  | 8,986  | 0,004 | 0,007 | -0,002 | 0,832  | 0,992   | 0,002 |
| 67 | 4  | 8,853  | 0,003 | 0,006 | -0,004 | 1,468  | 2,661   | 0,004 |
| 68 | 5  | 8,724  | 0,004 | 0,006 | -0,003 | 1,095  | 1,590   | 0,003 |
| 69 | 7  | 8,599  | 0,005 | 0,006 | -0,001 | 0,376  | 0,297   | 0,001 |
| 70 | 13 | 8,477  | 0,009 | 0,006 | 0,003  | 1,386  | 2,414   | 0,003 |
| 71 | 4  | 8,358  | 0,003 | 0,006 | -0,003 | 1,339  | 2,272   | 0,003 |

|    |      |       |       |       |        |       |          |       |
|----|------|-------|-------|-------|--------|-------|----------|-------|
| 72 | 4    | 8,243 | 0,003 | 0,006 | -0,003 | 1,308 | 2,184    | 0,003 |
| 73 | 2    | 8,131 | 0,001 | 0,006 | -0,004 | 1,981 | 4,623    | 0,004 |
| 74 | 5    | 8,021 | 0,004 | 0,006 | -0,002 | 0,893 | 1,138    | 0,002 |
| 75 | 5    | 7,915 | 0,004 | 0,006 | -0,002 | 0,861 | 1,074    | 0,002 |
| 76 | 6    | 7,812 | 0,004 | 0,006 | -0,001 | 0,471 | 0,420    | 0,001 |
| 77 | 0    | 7,711 | 0,000 | 0,006 | -0,006 | 2,604 | 7,711    | 0,006 |
| 78 | 1    | 7,613 | 0,001 | 0,006 | -0,005 | 2,222 | 5,744    | 0,005 |
| 79 | 6    | 7,517 | 0,004 | 0,005 | -0,001 | 0,372 | 0,306    | 0,001 |
| 80 | 15   | 7,424 | 0,011 | 0,005 | 0,006  | 2,604 | 7,732    | 0,006 |
| 81 | 2    | 7,332 | 0,001 | 0,005 | -0,004 | 1,789 | 3,878    | 0,004 |
| 82 | 3    | 7,244 | 0,002 | 0,005 | -0,003 | 1,395 | 2,486    | 0,003 |
| 83 | 1    | 7,157 | 0,001 | 0,005 | -0,004 | 2,120 | 5,297    | 0,004 |
| 84 | 3    | 7,072 | 0,002 | 0,005 | -0,003 | 1,347 | 2,345    | 0,003 |
| 85 | 5    | 6,989 | 0,004 | 0,005 | -0,001 | 0,565 | 0,566    | 0,001 |
| 86 | 1    | 6,909 | 0,001 | 0,005 | -0,004 | 2,063 | 5,053    | 0,004 |
| 87 | 5    | 6,830 | 0,004 | 0,005 | -0,001 | 0,510 | 0,490    | 0,001 |
| 88 | 5    | 6,752 | 0,004 | 0,005 | -0,001 | 0,483 | 0,455    | 0,001 |
| 89 | 2    | 6,677 | 0,001 | 0,005 | -0,003 | 1,620 | 3,276    | 0,003 |
| 90 | 10   | 6,603 | 0,007 | 0,005 | 0,002  | 1,130 | 1,747    | 0,002 |
| 91 | 2    | 6,531 | 0,001 | 0,005 | -0,003 | 1,581 | 3,144    | 0,003 |
| 92 | 4    | 6,460 | 0,003 | 0,005 | -0,002 | 0,773 | 0,937    | 0,002 |
| 93 | 3    | 6,391 | 0,002 | 0,005 | -0,002 | 1,146 | 1,800    | 0,002 |
| 94 | 6    | 6,324 | 0,004 | 0,005 | 0,000  | 0,129 | 0,017    | 0,000 |
| 95 | 5    | 6,258 | 0,004 | 0,005 | -0,001 | 0,304 | 0,253    | 0,001 |
| 96 | 4    | 6,193 | 0,003 | 0,005 | -0,002 | 0,682 | 0,776    | 0,002 |
| 97 | 3    | 6,129 | 0,002 | 0,004 | -0,002 | 1,064 | 1,598    | 0,002 |
| 98 | 4    | 6,067 | 0,003 | 0,004 | -0,002 | 0,638 | 0,704    | 0,002 |
| 99 | 7    | 6,006 | 0,005 | 0,004 | 0,001  | 0,202 | 0,165    | 0,001 |
| N  | 1376 |       | 1,000 | 1,000 |        |       | 1091,860 | 0,006 |

Fonte: Elaborado pelo autor

**Tabela 64 – SE - Teste da Soma**

| Dígito | Soma (R\$)     | Proporção | Benford | Dígito | Soma (R\$)    | Proporção | Benford |
|--------|----------------|-----------|---------|--------|---------------|-----------|---------|
| 10     | 205.252.163,85 | 0,083     | 0,011   | 55     | 14.393.638,35 | 0,006     | 0,011   |
| 11     | 41.937.894,28  | 0,017     | 0,011   | 56     | 6.225.688,48  | 0,003     | 0,011   |
| 12     | 49.584.081,78  | 0,020     | 0,011   | 57     | 23.024.162,48 | 0,009     | 0,011   |
| 13     | 13.958.510,69  | 0,006     | 0,011   | 58     | 6.062.502,80  | 0,002     | 0,011   |
| 14     | 37.898.703,77  | 0,015     | 0,011   | 59     | 4.774.048,14  | 0,002     | 0,011   |
| 15     | 60.666.352,07  | 0,024     | 0,011   | 60     | 28.968.027,92 | 0,012     | 0,011   |
| 16     | 45.183.620,51  | 0,018     | 0,011   | 61     | 13.198.950,26 | 0,005     | 0,011   |
| 17     | 38.307.379,86  | 0,015     | 0,011   | 62     | 38.152.966,00 | 0,015     | 0,011   |

|    |                |       |       |    |               |       |       |
|----|----------------|-------|-------|----|---------------|-------|-------|
| 18 | 18.065.878,88  | 0,007 | 0,011 | 63 | 12.912.339,96 | 0,005 | 0,011 |
| 19 | 67.279.030,25  | 0,027 | 0,011 | 64 | 27.650.596,92 | 0,011 | 0,011 |
| 20 | 79.116.646,56  | 0,032 | 0,011 | 65 | 16.492.542,00 | 0,007 | 0,011 |
| 21 | 31.567.165,45  | 0,013 | 0,011 | 66 | 14.019.926,09 | 0,006 | 0,011 |
| 22 | 27.621.565,54  | 0,011 | 0,011 | 67 | 7.448.867,07  | 0,003 | 0,011 |
| 23 | 15.271.901,90  | 0,006 | 0,011 | 68 | 1.455.455,03  | 0,001 | 0,011 |
| 24 | 37.005.742,65  | 0,015 | 0,011 | 69 | 23.686.995,35 | 0,010 | 0,011 |
| 25 | 88.153.362,00  | 0,035 | 0,011 | 70 | 25.362.320,81 | 0,010 | 0,011 |
| 26 | 19.536.506,00  | 0,008 | 0,011 | 71 | 2.146.838,27  | 0,001 | 0,011 |
| 27 | 49.759.071,51  | 0,020 | 0,011 | 72 | 15.974.730,00 | 0,006 | 0,011 |
| 28 | 51.982.334,97  | 0,021 | 0,011 | 73 | 812.461,20    | 0,000 | 0,011 |
| 29 | 32.779.700,68  | 0,013 | 0,011 | 74 | 83.670.095,02 | 0,034 | 0,011 |
| 30 | 57.096.553,79  | 0,023 | 0,011 | 75 | 17.250.000,00 | 0,007 | 0,011 |
| 31 | 20.158.825,82  | 0,008 | 0,011 | 76 | 3.146.191,10  | 0,001 | 0,011 |
| 32 | 4.566.502,92   | 0,002 | 0,011 | 77 | -             | 0,000 | 0,011 |
| 33 | 78.539.685,72  | 0,032 | 0,011 | 78 | 7.858,01      | 0,000 | 0,011 |
| 34 | 33.488.248,77  | 0,013 | 0,011 | 79 | 32.760.316,00 | 0,013 | 0,011 |
| 35 | 24.066.646,00  | 0,010 | 0,011 | 80 | 17.040.444,75 | 0,007 | 0,011 |
| 36 | 7.300.000,00   | 0,003 | 0,011 | 81 | 1.629.260,00  | 0,001 | 0,011 |
| 37 | 23.756.291,73  | 0,010 | 0,011 | 82 | 9.028.272,00  | 0,004 | 0,011 |
| 38 | 31.213.663,53  | 0,013 | 0,011 | 83 | 8.385.053,05  | 0,003 | 0,011 |
| 39 | 34.778.581,90  | 0,014 | 0,011 | 84 | 177.326,93    | 0,000 | 0,011 |
| 40 | 53.863.358,35  | 0,022 | 0,011 | 85 | 2.731.127,15  | 0,001 | 0,011 |
| 41 | 29.216.569,76  | 0,012 | 0,011 | 86 | 866.454,00    | 0,000 | 0,011 |
| 42 | 30.953.867,22  | 0,012 | 0,011 | 87 | 2.790.436,20  | 0,001 | 0,011 |
| 43 | 35.295.566,00  | 0,014 | 0,011 | 88 | 19.591.356,00 | 0,008 | 0,011 |
| 44 | 60.442.329,98  | 0,024 | 0,011 | 89 | 989.916,00    | 0,000 | 0,011 |
| 45 | 35.745.765,35  | 0,014 | 0,011 | 90 | 13.780.516,77 | 0,006 | 0,011 |
| 46 | 10.691.061,00  | 0,004 | 0,011 | 91 | 1.823.480,00  | 0,001 | 0,011 |
| 47 | 16.201.300,71  | 0,007 | 0,011 | 92 | 1.864.053,86  | 0,001 | 0,011 |
| 48 | 20.807.896,20  | 0,008 | 0,011 | 93 | 10.337.843,58 | 0,004 | 0,011 |
| 49 | 19.516.416,36  | 0,008 | 0,011 | 94 | 3.112.458,34  | 0,001 | 0,011 |
| 50 | 131.767.536,46 | 0,053 | 0,011 | 95 | 21.953.272,00 | 0,009 | 0,011 |
| 51 | 61.953.590,68  | 0,025 | 0,011 | 96 | 11.691.502,00 | 0,005 | 0,011 |
| 52 | 12.625.161,25  | 0,005 | 0,011 | 97 | 1.165.871,00  | 0,000 | 0,011 |
| 53 | 69.795.690,00  | 0,028 | 0,011 | 98 | 2.068.584,89  | 0,001 | 0,011 |
| 54 | 17.999.900,43  | 0,007 | 0,011 | 99 | 698.531,71    | 0,000 | 0,011 |

Fonte: Elaborado pelo autor